

MINISTERUL EDUCATIEI SI INVATAMINTULUI
INSTITUTUL POLITEHNIC "TRAIAN VULIA"
T. I. M. I. S. O. A. R. A.

Facultatea de constructii

Catedra de constructii hidrotehnice
si imbunătățiri funciare

Ing. GHEORGHE POPA

"CONTRIBUTII LA CALCULUL CINTRELOR METALICE
PLANE SI A IMBRACAMINTII GALERIILOR SUBTERANE"

- Teză de doctorat -

Conducător științific
Academician Dan Matescu

BIBLIOTECA CENTRALĂ
UNIVERSITATEA "POLITEHNICA"
TIMIȘOARA

- 1974

| |
|---------------------------------|
| INSTITUTUL POLITEHNIC TIMIȘOARA |
| BIBLIOTECA CENTRALĂ |
| Vol. nr. Nr. 276.998 |
| Dulap 263 Lit. G |

G U P R I N S

Pag

Capitolul 1 - ASUPRA GĂLESCULUI CENTRELOR LIMBACIŢE PLANE SI A LĂBRĂCĂMIN- ŢII GALERIILOR SUBTERANE

- § 1.1.- Introducere
- § 1.2.- Destinația galeriilor subterane.
Studii existente

Capitolul 2 - STUDIUL FORMEI SI A ÎNCĂRĂRI- LOR GALERIILOR SUBTERANE

- § 2.1.- Studiul geometriei secțiunilor
 - 1.- Generalități
 - 2.- Secțiunea de formă specială
 - 3.- Secțiunea de formă specială având cen-
trul la cheia arcului
 - 4.- Forma specială. Peneți laterali verti-
coli
 - 5.- Forma specială. Radier orizontal
 - 6.- Secțiuni încastrate la capete
- § 2.2.- Studiul variației momentului de inerție
 - 1.- Căptușeală cu moment de inerție constant
 - 2.- Căptușeală cu moment de inerție variabil
 - 3.- Căptușeală cu boltă având moment de iner-
ție variabil continuu
- § 2.3.- Studiul încălzirilor galeriilor subterane
 - 1.- Încălziri provenite din faptingerea muntelui
 - 2.- Presiunea epoi
 - 3.- Greutatea proprie
 - 4.- Presiunea pasivă a rocii
 - 5.- Presiunea "locuitorilor de umplutură"

6.- Aderența betonului cu roca

7.- Reacțiunea terenului

Concluzii

Capitolul 3 - STATUL DE TENSIUNI LA CALCULUL

CĂPTUȘIIILOR GALERIILOR

SUBTERANE

§ 3.1.- Sistematizarea calculului static al căptușiiilor galeriilor subterane

1.- Generalități

2.- Ușușii de echilibru

§ 3.2.- Studiul efectului forșei axiale în calculul static al galeriilor

§ 3.3.- Studiul efectului curburi în calculul galeriilor

§ 3.4.- Calculul deformașiiilor

Concluzii

Capitolul 4 - STABILITATEA DE FORMĂ SPECIALĂ

§ 4.1.- Determinarea eforturilor și deformașiiilor în cinstrele și căptușiiile galeriilor de formă specială

1.- Determinarea eforturilor

2.- Determinarea deformașiiilor

§ 4.2.- Înșirșiri curante

1.- Reacșiiunea terenului uniform distribuită

2.- Împingșrea verticală, uniform distribuită,
a mantoului

3.- Proclunșa pozitivă a mantoului

Capitolul 5 - CĂPTUȘIIILE DE FORMĂ "ALIER DE CORD"

§ 5.1.- Eforturile și deformașiiile pentru o încălșare concavă

1.- Determinarea eforturilor

2.- Determinarea deformațiilor

§ 5.2.- Încărcări din reacțiunea terenului

- 1.- Reacțiunea terenului uniform distribuită
- 2.- Reacțiunea terenului distribuită hiperbolic

§ 5.3.- Încărcări din împingerea muntelui

- 1.- Împingerea verticală, uniform distribuită
- 2.- Împingerea verticală, distribuită parabolic
- 3.- Împingerea laterală, distribuită uniform
- 4.- Împingerea pasivă a muntelui

§ 5.4.- Încărcări din presiunea apei

- 1.- Presiunea uniformă a apei
- 2.- Presiunea apei care umple galeria

§ 5.5.- Încărcarea din greutatea proprie

§ 5.6.- Încărcări tehnologice

- 1.- Încărcarea din presiunea injecțiilor de apă subterană
- 2.- Încărcarea provenită din aderența betonului cu roca

Capitolul 6 - CAPTUSELI DE FORMA CIRCULARĂ

§ 6.1.- Determinarea cotelurilor și deformațiilor pentru o încărcare corectă

- 1.- Determinarea cotelurilor
- 2.- Determinarea deformațiilor

§ 6.2.- Încărcări din reacțiunea terenului

- 1.- Reacțiunea terenului, uniform distribuită
- 2.- Reacțiunea terenului, distribuită cosinusoidal
- 3.- Reacțiunea terenului, distribuită după o lege hiperbolică

§ 6.3.- Încărcări din împingerea muntelui

- 1.- Împingerea verticală, uniform distribuită
- 2.- Împingerea verticală, distribuită parabolic

3.- Împingerea laterală, distribuită uniform

4.- Împingerea pasivă a muntelui

§ 6.4.- Încălziri din presiunea apei

1.- Presiunea uniformă a apei

2.- Presiunea apei care umple galeria

§ 6.5.- Încălzirea provenită din greutatea proprie

§ 6.6.- Încălziri tehnologice

1.- Presiunea injecțiilor de umplutură

2.- Aderența betonului cu roca

§ 6.7.- Încălzirea din variația de temperatură

1.- Variația uniformă de temperatură

2.- Variația neuniformă a temperaturii

Concluzii

Capitolul 7 - GĂȘTUIȚII DE FORȚĂ "ARC DE CERC"

§ 7.1.- Determinarea eforturilor

1.- Reazeme rigide

2.- Reazeme elastice

§ 7.2.- Calculul eforturilor din încălziri curente

Concluzii

Capitolul 8 - LĂȘII DE ÎMBULȘEA ALTE FRONȚURILOR

PRINTELE STRUCTURILOR TOLOSATE LA GA-

LĂȘII SUBSTRATE

§ 8.1.- Linii de influență ale necunoscutele pentru

secțiunea de forță specială

1.- Bazele de calcul "

2.- Linia de influență pentru cazul forței

normale

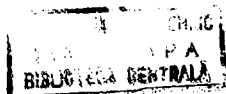
§ 8.2.- Linii de influență ale necunoscutele pentru

secțiunea "mâner de cerc"

1.- Bazele de calcul

Capitolul 1 - ASUPRA CALCULULUI CENTRELOR METALICE
PLANE SI A LĂBRĂCĂMINTII GALERIILOR
SUBTERANE

§ 1.1.- Introducere



Cerințele din ce în ce mai mari ale economiei naționale în domeniul energetic pun în fața tehnicienilor probleme complexe ce se cer rezolvate cu maximum de operativitate. Inducerea soluției tehnice de realizare a unui obiect trebuie să fie precedată de un studiu tehnico-economic bine fundamentat. Aceasta presupune analizarea mai multor variante tehnice posibile, cunoașterea caracteristicilor materialelor ce urmează a fi puse în operă precum și un algoritm de calcul pentru toate variantele, astfel ca din analiza tuturor factorilor ce concurează la alegerea soluției să rezulte în timp scurt toate datele necesare execuției.

Sistematizarea calcululelor și a alegerii soluției adecvate conduce la scurtarea timpului de execuție și punere în operă a obiectivelor economice.

În vederea instalării unor puteri hidroelectrice mari se urmărește concentrarea în puncte cât mai puține atât a căderilor cât și a debitelor de apă. Pentru aceasta se execută galerii de deviere a apelor din bazine învecinate într-un singur bazin prevăzut cu un lac a cărui volum poate prelua debitul învecinate. Lucrările de deviere a debitelor pentru amenajările hidrotehnice de pe râul Argeș depășesc 40 km în lun-

glue și au un volum de excavații de peste 2 miliarde m³. Amenajările de pe râul Lotru depășesc 150 km galerii subterane.

Concentrarea puterii în puncte cît mai puține presupune adesea realizarea unor centrale subterane de mare cădere. Realizarea galeriilor cu deschidere mare presupune o cunoaștere exactă a modului de lucru a îmbrăcăminții și cintrelor metalice ce preiau în faza de execuție și exploatare încărcările din împingerea muntelui, a betonului și a altor încărcări ce apar la asemenea lucrări. Cele de mai sus susțin îndeajuns necesitatea cunoașterii încărcărilor, a posibilităților de alegere a secțiunilor celor mai adecvate precum și importanța sistematizării calculului astfel ca proiectarea să se facă rapid și eficient. Sînt situații în care cunoașterea parametrilor stîncii se face mai exact odată cu execuția galeriei. În aceste situații proiectarea cintrelor metalice de susținere precum și a îmbrăcăminții trebuie făcută rapid, lucru posibil numai în ipoteza existenței unor algoritme rapide de calcul.

Lucrarea de față își propune să studieze parametri legați de forma secțiunii, a distribuției încărcărilor și a calculului structurilor ce apar la execuția galeriilor subterane prin intermediul unor scheme logice ce pot fi ușor rulate la un calculator.

§ 1.2.- Destinația galeriilor subterane. Studii existente

Galeriile subterane se execută pentru complexe hidro-tehnice /1,2,3,4,5/, tuneluri de cale ferată /6,7,8/, centrale hidroelectrice subterane /9,10/ etc. În literatura de specialitate se tratează atît starea de eforturi unitare în roca din jurul galeriei /11,12,13,14,15/ cît și eforturile ce iau

naștere din conlucrarea cintrului metalic sau îmbrăcămintii cu roca, prin intermediul presiunii pasive /16,17,18,19,20,21/.

Paralel cu dezvoltarea teoriilor de calcul au apărut metode moderne de parjizare a galeriilor /22,23,24,25,26,27/ precum și utilaje ce permit execuții rapide, în orice tip de rocă și cu caracteristici tehnice superioare /28, 29, 30, 31, 32, 33, 34, 35, 36/.

Studiile existente privitoare la îmbrăcămintea galeriilor subterane se referă mai ales la secțiunea de formă circulară /37, 38, 39, 40/ și bolțile centralelor subterane /41, 42, 43, 44/.

Teoria de calcul a bolților centralelor hidroelectrice subterane a fost impulsionată de existența unor studii asemănătoare pentru barajele în arc /45, 46, 47, 48, 49, 50/.

Realizarea nodurilor hidrotehnice cu galerii ce derivează apa din alte bazine precum și galeriile de fugă ale centralelor subterane au condus la secțiuni de scurgere fără presiune sau cu presiune mică. Pentru galeriile fără presiune, împingerea muntelui devine încărcarea principală. Forma secțiunii se adaptează noilor condiții de lucru a galeriei, devenind alungită cu pereți laterali verticali sau curbați, radierul orizontal sau sub formă de boltă descendentă.

Lucrarea de față se ocupă mai ales de secțiunile de formă specială folosite tot mai des în execuția galeriilor și centralelor hidroelectrice. Având în vedere importanța acestor galerii se calculează (în cap.8) liniile de influență ale solicitărilor principale.

În lucrare se analizează în cap.2 mărimile și legile de distribuție ale încărcărilor ce acționează asupra tuturor tipurilor de secțiuni folosite la construcția galeriilor.

capitol se face un studiu amănunțit al formelor secțiunilor folosite la construcția galeriilor. Capitolul 3 prezintă o metodă unitară, foarte generală, de calculul eforturilor și deformațiilor lor galeriilor.

În cadrul cap.4,5 se analizează eforturile în galeriile de formă specială și miner de coș folosite la galeriile de fugă (cu presiune mică) și la centrale hidroelectrice subterane. Capitolul 6 este destinat studierii eforturilor la secțiunea de formă circulară folosită la tuneluri sub presiune. Capitolul 7 se referă la bolțile galeriilor centralelor subterane și tunelurilor cu împingere laterală mică.

Capitolul 8 sintetizează calculul eforturilor la toate tipurile de secțiuni prin metoda liniilor de influență a eforturilor.

Concluziile sînt în evidență importanța conlucrării structurii (prin caracteristicile ei geometrice și elastice) cu roca în care este forată galeria (prin caracteristicile fizice și elastice) atât în ce privește mărimea reacțiunii pasive cît și a eforturilor ce iau naștere în structură.

Autorul rămîne recunoscător celui ce a fost ilustrul său profesor, om de știință emerit Nicolau Pompiliu pentru aportul deosebit la formarea sa tehnică și științifică.

Mulțumește pe această cale profesorului emerit academician ing.Dan Mateescu pentru înțelegerea și sprijinul acordat la realizarea acestei lucrări. Autorul mulțumește de asemenea profesorului dr.ing.Mihai Bălă pentru îndrumările și interesul manifestat față de această lucrare.

Capitolul 2 - STUDIUL FORMEI ȘI A ÎNCĂRCĂRILOR GALERIILOR SUBTERANE

§ 2.1 - Studiul geometriei secțiunilor

1.- Generalități

Prezentul capitol analizează formele cele mai des folosite în practica construcțiilor subterane, atât sub aspectul formei liniei mediane cât și sub aspectul variației momentului de inerție de-a lungul conturului /51/, /52/, /53/.

Se pornește de la un contur trasat sub forma generalizată a unei linii curbe formată din mai multe arce de cerc, fiecare arc are definit centrul, unghiul la centru și sensul de măsurare a acestui unghi (fig.2.1-1).

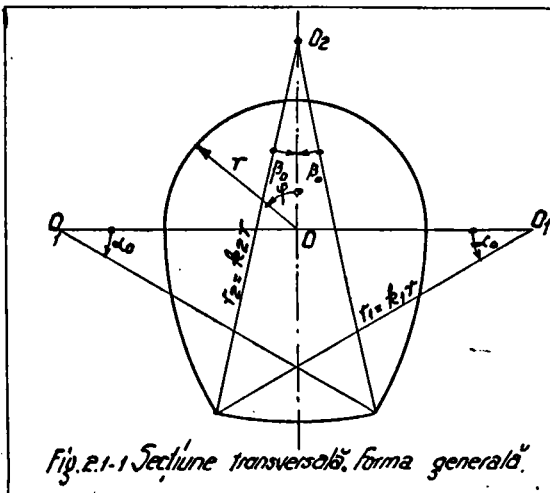


Fig.2.1-1 Secțiune transversală, forma generală.

Se ia drept variabilă a problemei unghiul θ , acesta poate lua pe rând notația φ , α sau β după zona în care se găsește variabila.

Limitele de variație a acestui unghi sînt :

$$\varphi \in (0, \varphi_0); \quad \alpha \in (0, \alpha_0)$$

$$\beta \in (0, \beta_0)$$

În practică se caută, pe cât posibil, ca două centre consecutive O_i , O_{i+1} să se găsească pe aceeași rază vectorială. În acest caz se înlătură discontinuitățile de tangentă ce apar la îmbinarea arcelor. Condițiile constructive impun uneori, însă, ca aceste discontinuități să apară. În zonele de discontinuitate a tangentei se realizează o rigidizare suplimentară a construcției.

Prin studiul geometriei secțiunii se va înțelege, în cele de mai jos, determinarea dependenței funcționale dintre parametrii geometrici ai secțiunii, indicarea modului de variație a parametrilor ce apar în calculele statice și de rezistență a acestor secțiuni. În acest mod se pune la îndemâna proiectanților un material concret de care se pot folosi cu minimum de timp consumat.

Toate secțiunile sînt construite avînd axa verticală drept axă de simetrie.

2.- Secțiunea de formă specială

În tunelurile hidrotehnice, de cale ferată etc., executată în terenuri cu împingeri mari atât la partea superioară cît și la partea inferioară, se folosește rațional și cu mult succes fig.2.1-2, avînd trei centre, dintre care două pe aceeași rază vectorială O , O_1 și cu unghiul $\varphi = \frac{\pi}{2}$.

Secțiunea este caracterizată de următorii parametri:

r - raza arcului de boltă, elementul geometria ce definește mărimea unei secțiuni dintr-un grup de secțiuni de aceeași formă dar mărimi diferite k_1 , k_2 - coeficienți ce definesc razele de trasare a arcelor ;

$\varphi = \frac{\pi}{2}$; α ; β - unghiurile maxime ale arcelor secțiunii.

Între acești parametri ce caracterizează secțiunea se poate scrie o singură relație de dependență, ea se poate obține

scriind că segmentul r se compune din valoarea b_0 și înălțimea segmentului arcului cu centrul în O_1 și de unghi α_0 .

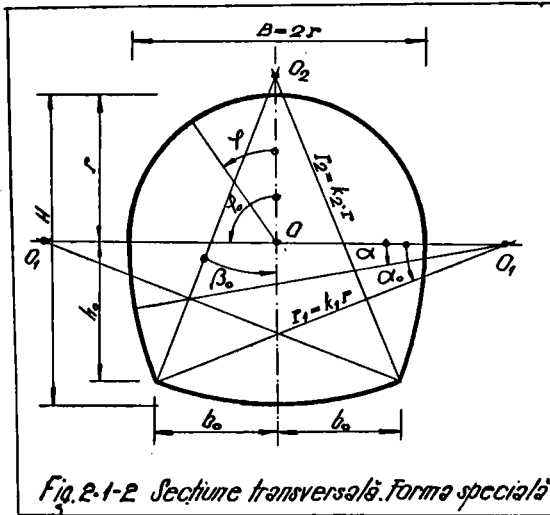


Fig. 2-1-2 Secțiune transversală. Forma specială

Conform celor spusese mai sus se poate scrie :

$$r = b_0 + k_1 r (1 - \cos \alpha_0)$$

Pentru ca relația să devină adimensională se exprimă și valoarea b_0 sub forma :

$$b_0 = k_2 r \sin \beta_0$$

Reunind cele două relații se poate sim-

plifica cu r și relația se pune sub forma :

$$\sin \beta_0 = \frac{1 - k_1}{k_2} + \frac{k_1}{k_2} \cos \alpha_0 \quad (2.1-1)$$

Relația de mai sus leagă mărimile α_0 , β_0 , k_1 , k_2 ce caracterizează secțiunea. Numai trei dintre acestea sînt independente, ceea ce înseamnă că secțiunea este perfect determinată dacă se dau trei dintre aceste mărimi.

Calcululele practice sînt ușurate de tabelul 2.1-1, unde sînt indicate valori discrete ale acestor variabile în interdependența dictată de relația 2.1-1.

Datele coținute, în puncte izolate, ale variabilelor pot fi trasate sub formă liniarizată dacă se adoptă un sistem de axe funcțional :

$$\begin{aligned} x &= \cos \alpha_0 \\ y &= \sin \beta_0 \end{aligned} \quad (2.1-2)$$

Pentru determinarea rapidă, fără interpolări numerice,

Valorile $\sin \beta_0$ Tabelul 2.1-1

| k_1 | k_2 | Valorile α_0 | | | | | | |
|-------|-------|---------------------|-------|-------|-------|-------|-------|----|
| | | 0 | 15 | 30 | 45 | 60 | 75 | 90 |
| 1 | 1 | 1,000 | 0,970 | 0,866 | 0,707 | 0,500 | 0,259 | 0 |
| | 2 | 0,500 | 0,485 | 0,433 | 0,354 | 0,250 | 0,129 | 0 |
| | 3 | 0,333 | 0,320 | 0,286 | 0,236 | 0,165 | 0,088 | 0 |
| | 5 | 0,200 | 0,194 | 0,173 | 0,144 | 0,100 | 0,052 | 0 |
| 2 | 1 | 1,000 | 0,940 | 0,730 | 0,420 | 0 | — | — |
| | 2 | 0,500 | 0,470 | 0,366 | 0,207 | 0 | — | — |
| | 3 | 0,333 | 0,317 | 0,243 | 0,138 | 0 | — | — |
| | 5 | 0,200 | 0,188 | 0,146 | 0,082 | 0 | — | — |
| 3 | 1 | 1,000 | 0,910 | 0,600 | 0,130 | — | — | — |
| | 2 | 0,500 | 0,460 | 0,300 | 0,060 | — | — | — |
| | 3 | 0,333 | 0,310 | 0,206 | 0,041 | — | — | — |
| | 5 | 0,200 | 0,182 | 0,119 | 0,024 | — | — | — |
| 5 | 1 | 1,000 | 0,860 | 0,340 | — | — | — | — |
| | 2 | 0,500 | 0,430 | 0,170 | — | — | — | — |
| | 3 | 0,333 | 0,280 | 0,100 | — | — | — | — |
| | 5 | 0,200 | 0,170 | 0,066 | — | — | — | — |

a unuia din
cei patru pa-
rametrii s-au
construit

graficele din
fig.2.1-3 ;

2.1-4 ; 2.1-5

2.1-6 ; 2.1-7

Pe acele gra-

ficelor au

fost trasate

unghiurile

α_0 și β_0 la

scările

funcționale

dictate de

relațiile

2.1-2 astfel

că eventualele

interpolări

se vor efectua

ținând cont de

definițiile

scărilor.

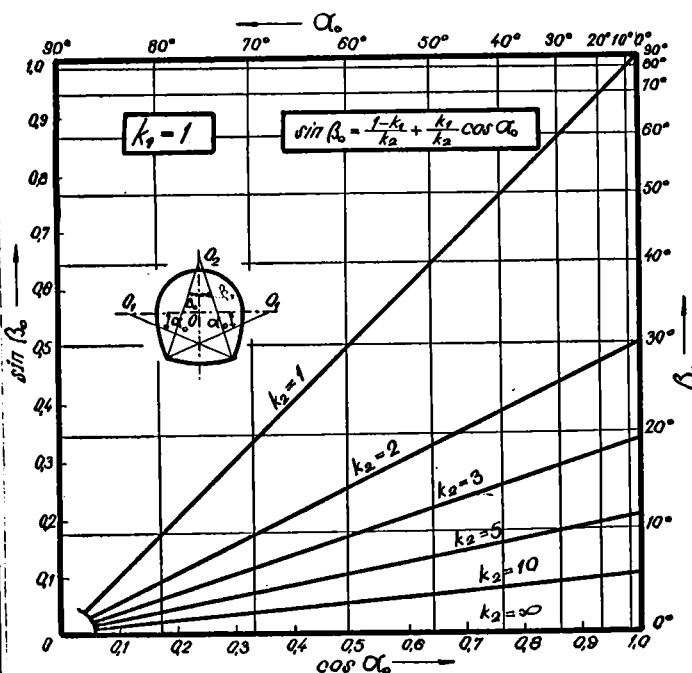


Fig.2.1-3 Diagramă pentru determinarea unghiului β_0 .

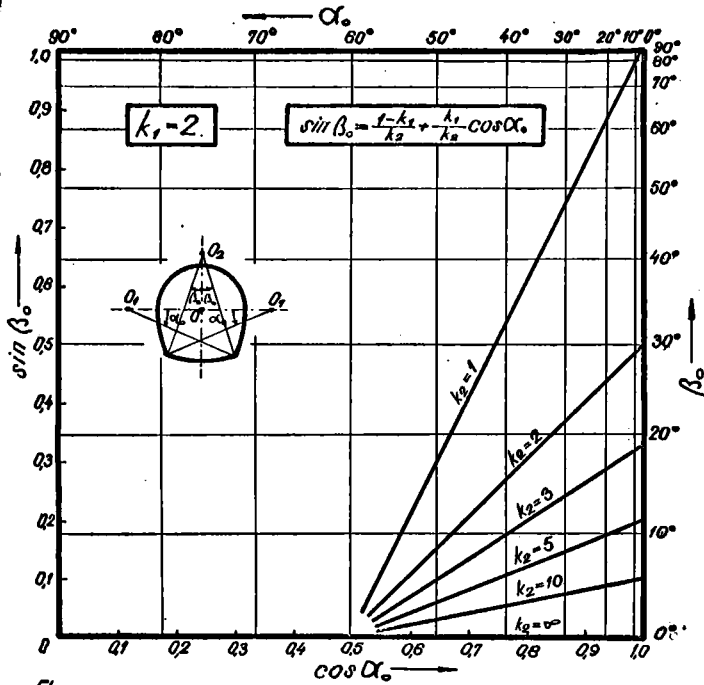


Fig.2.1-4 Diagramă pentru determinarea unghiului β_0

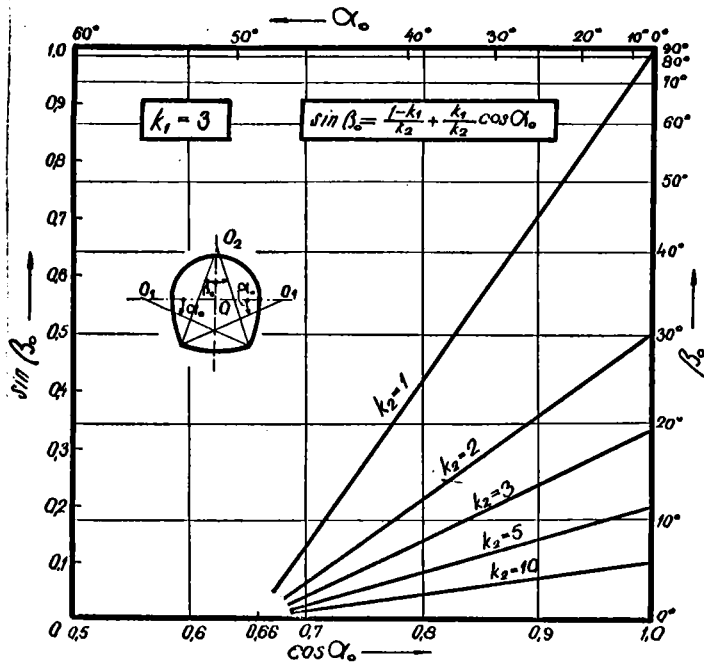


Fig.2.1-5 Diagramă pentru determinarea unghiului β_0

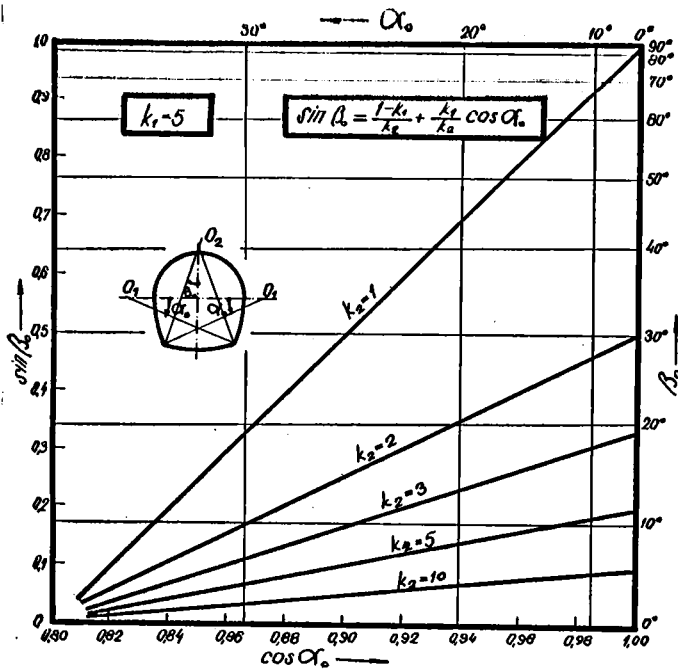


Fig.2.1-6 Diagramă pentru determinarea unghiului β_0 .

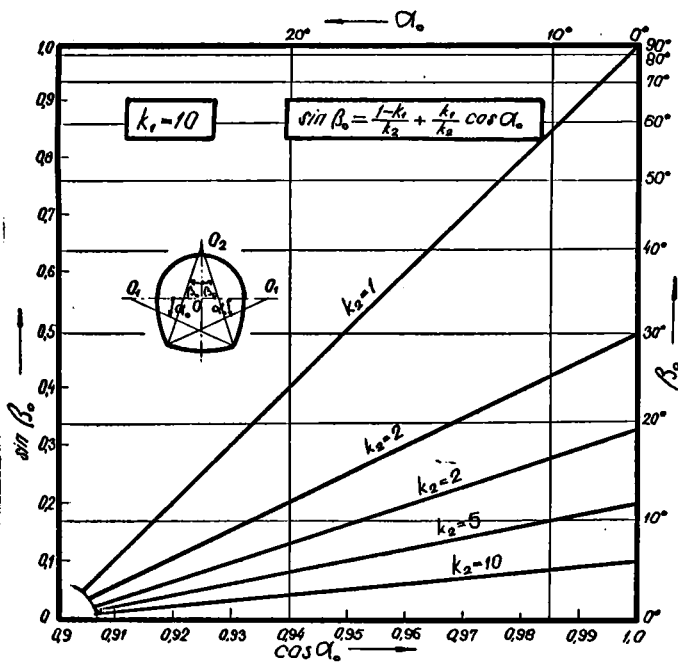
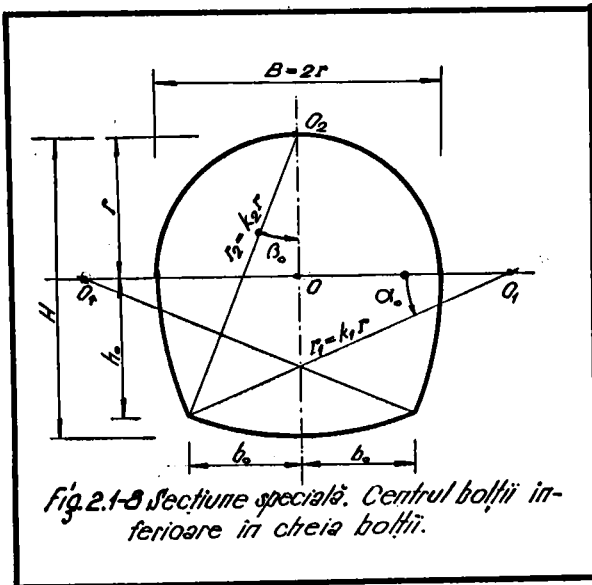


Fig.2.1-7 Diagramă pentru determinarea unghiului β_0 .

**3.- Secțiunea de formă specială avînd centrul la
cheia arcului**

Această variantă a secțiunii speciale este des folosită pentru simplitatea trasării ei, în acest caz centrul O_2 fiind fixat la cheia arcului, fig.2.1-8, valorile β_0 și k_2 sînt perfect determinate dacă



se cunosc parametrii k_1 și α_0 . Pentru ca O_2 să coincidă cu vârful boltii se cere să fie îndeplinită condiția :

$$r + h_0 = k_2 \cdot r \cdot \sin \beta_0$$

Relația poate fi scrisă sub formă adimensională, dacă se ține cont că se poate scrie :

$$h_0 = k_1 \cdot r \cdot \sin \beta_0$$

În acest fel, condiționarea ca punctul O_2 să cadă în cheie se reduce la relația :

$$\cos \beta_0 = \frac{1}{k_2} + \frac{k_1}{k_2} \sin \alpha_0 \tag{2.1-3}$$

Valorile β_0 și k_2 se pot obține reunind ecuațiile 2.1-1 și 2.1-3 sub forma unui sistem :

$$\sin \beta_0 = \frac{1 - k_1}{k_2} + \frac{k_1}{k_2} \cos \alpha_0 \tag{2.1-4}$$

$$\cos \beta_0 = \frac{1}{k_2} + \frac{k_1}{k_2} \sin \alpha_0$$

Sistemul de mai sus dă posibilitatea explicitării celor două variabile dependente β_0 și k_2 .

Unghiul β_0 se obține din relația :

$$\operatorname{tg} \beta_0 = \frac{k_1 \cdot \cos \alpha_0 - (k_1 - 1)}{1 + k_1 \cdot \sin \alpha_0} \quad (2.1-5)$$

În tabelul 2.1-2 sînt calculate valorile $\operatorname{tg} \beta_0$ pentru valorile uzuale ale variabilelor independente α_0 și k_1 .

Valorile $\operatorname{tg} \beta_0$ Tabel 2.1-2

| k_1 | α în grade sexazecimale | | | | | | | | | |
|-------|--------------------------------|-------|-------|-------|-------|-------|-------|-------|-------|------------|
| | 0° | 10 | 20 | 30 | 40 | 50 | 60 | 70 | 80 | 90° |
| 1 | 1,00 | 0,845 | 0,705 | 0,573 | 0,465 | 0,363 | 0,267 | 0,176 | 0,088 | 0 |
| 2 | 1,00 | 0,645 | 0,525 | 0,366 | 0,235 | 0,111 | 0,000 | — | — | — |
| 3 | 1,00 | 0,631 | 0,400 | 0,238 | 0,101 | — | — | — | — | — |
| 5 | 1,00 | 0,495 | 0,258 | 0,132 | — | — | — | — | — | — |
| 10 | 1,00 | 0,310 | 0,092 | — | — | — | — | — | — | — |

Reprezentarea grafică a acestor valori scoate în evidență că :

- pentru $\alpha_0 = 0$ $\operatorname{tg} \beta_0 = 1$, toate curbele pornesc din acelaș punct al axei verticale.

- Curbele intersecțează axa absciselor în punctele în care $\operatorname{tg} \beta_0 = 0$, aceste puncte sînt date de relația :

$$\cos \alpha_0 = \frac{k_1 - 1}{k_1} \Rightarrow \alpha_0 = \arccos \frac{k_1 - 1}{k_1} \quad (2.1-6)$$

pentru :

$$k_1 = 1 \Rightarrow \alpha_0 = \arccos 0 = 90^\circ$$

$$k_1 = 2 \Rightarrow \alpha_0 = \arccos \frac{1}{2} = 60^\circ$$

$$k_1 = 3 \Rightarrow \alpha_0 = \arccos \frac{2}{3} = 48^\circ$$

$$k_1 = 5 \Rightarrow \alpha_0 = \arccos \frac{4}{5} = 37^\circ$$

$$k_1 = 10 \Rightarrow \alpha_0 = \arccos \frac{9}{10} = 23^\circ$$

- Inclinarea curbelor se poate obține calculând :

$$\frac{d}{d\alpha_0} (\operatorname{tg} \beta_0) = - \frac{k_1^2 - k_1 (k_1 - 1) \cos \alpha_0 + k_1 \sin \alpha_0}{(1 + k_1 \sin \alpha_0)^2}$$

La origine inclinarea curbelor se obține făcând $\alpha_0 = 0$

$$\left[\frac{d(\operatorname{tg} \beta_0)}{d\alpha_0} \right]_{\alpha_0=0} = -k_1$$

Observațiile de mai sus împreună cu datele din tabel permit trasarea graficului din fig.2.1-9 .

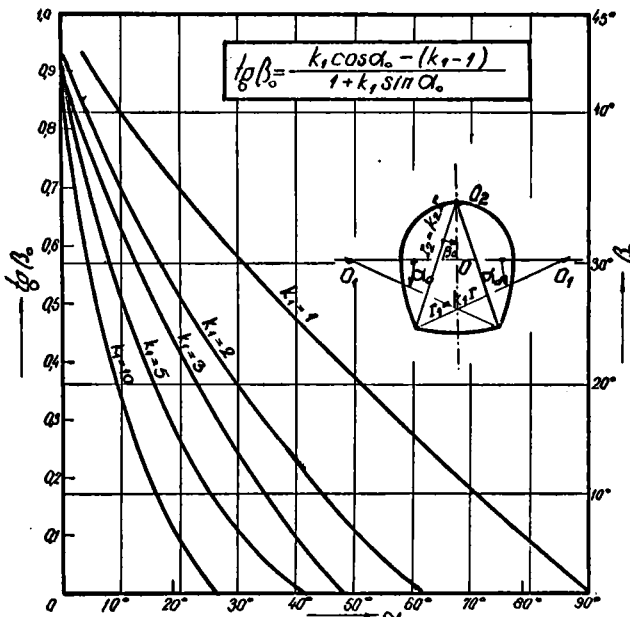


Fig.2.1.9 Secțiune specială. Valorile $\operatorname{tg} \beta_0$.

Valoarea k_2 ce determină mărimea razei R_2 se obține, de asemenea, din sistemul 2.1-4 :

$$\frac{k_2^2}{2} = (k_1^2 - k_1 + 1) + k_1(1 - k_1) \cos \alpha_0 + k_1 \sin \alpha_0$$

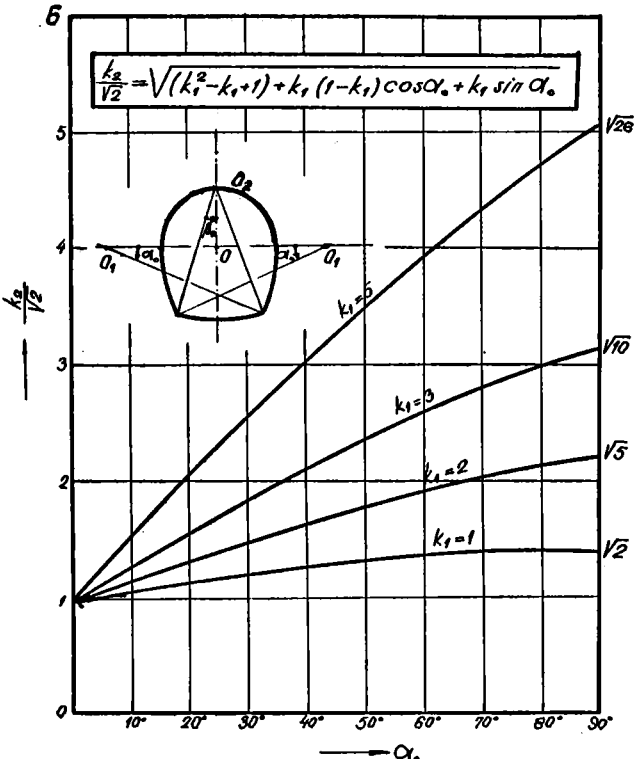
(2.1-7)

Expresia $\frac{k_2^2}{2}$ este calculată în tabela 2.1-3 pentru oțeva valori uzuale ale parametrilor k_1, α_0 .

Valorile $\frac{k_2^2}{2}$ Tabel 2.1-3

| k_1 | α_0 în grade sexazecimale | | | | | | | | | |
|-------|----------------------------------|-------|-------|-------|-------|--------|--------|--------|--------|------------|
| | 0° | 10 | 20 | 30 | 40 | 50 | 60 | 70 | 80 | 90° |
| 1 | 1.00 | 1,174 | 1,342 | 1,500 | 1,645 | 1,766 | 1,866 | 1,940 | 1,985 | 2,000 |
| 2 | 1.00 | 1,377 | 1,805 | 2,268 | 2,754 | 3,346 | 3,732 | 4,195 | 4,623 | 5,000 |
| 3 | 1.00 | 1,611 | 2,388 | 3,304 | 4,332 | 5,440 | 6,598 | 7,767 | 8,913 | 10,000 |
| 5 | 1.00 | 2,170 | 3,916 | 6,180 | 8,894 | 11,965 | 15,330 | 18,858 | 22,452 | 26,000 |

Reprezentarea grafică a relației 2.1-7 (fig.2.1-10) po-



te fi ușor făcută dacă se reprezintă valorile :

$$\frac{k_2}{\sqrt{2}} = \sqrt{(k_1^2 - k_1 + 1) + k_1(1 - k_1)\cos\alpha_0 + k_1\sin\alpha_0}$$

Curba poate fi ușor reprezentată dacă se observă :

- Panta curbei este dată la expresia :

$$k_2 \frac{d(\frac{k_2}{\sqrt{2}})}{d\alpha_0} = k_1(k_1 - 1)\sin\alpha_0 + k_1\cos\alpha_0$$

Fig. 2.1.10 Secțiune specială

expresia este pozitivă pentru valori $\alpha_0 \in (0, \frac{\pi}{2})$ și curbele vor fi continuu crescătoare.

- Pentru : $\alpha_0 = 0$

$$\left[\frac{d(\frac{k_2}{\sqrt{2}})}{d\alpha_0} \right]_{\alpha_0=0} = \frac{k_1}{2}$$

curbele pornesc cu o pantă egală cu valoarea k_1

- Pentru : $\alpha_0 = \frac{\pi}{2}$

$$\left[\frac{d(\frac{k_2}{\sqrt{2}})}{d\alpha_0} \right]_{\alpha_0=\frac{\pi}{2}} = \frac{k_1(k_1 - 1)}{2\sqrt{1 + k_1^2}}$$

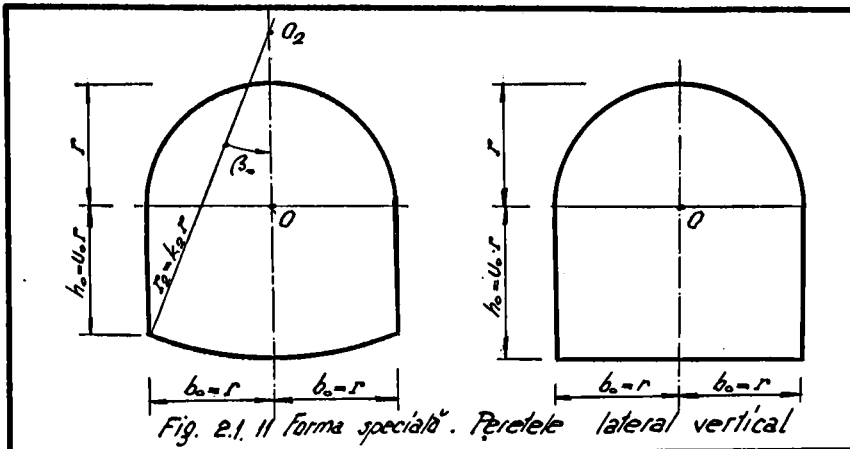
- La extremități valorile funcției sînt :

$$\alpha_0 = 0 \quad \frac{k_2}{\sqrt{2}} = 1$$

$$\alpha_0 = \frac{\pi}{2} \quad \frac{k_2}{\sqrt{2}} = \sqrt{1 + k_1^2}$$

4.- Forma specială. Pereți laterali verticale

Secțiunea cu pereți laterali verticale se folosește la secțiunile galeriilor de cale ferată sau galeriile de fugă ale centralelor hidrotehnice, în acest caz radierul poate fi soluționat sub forma unei bolți descendente (fig.2.1-11 a) pentru un teren cu tendințe de umflare sau sub forma unui radier orizontal (fig.2.1-11 b).



Secțiunea se obține prin particularizarea :

$$\alpha_0 \rightarrow 0 \quad k_1 \rightarrow \infty$$

$$k_1 \cdot \sin \alpha_0 \rightarrow u_0$$

În ambele cazuri, centrul O_2 al radierului poate fi ales oriunde, valoarea unghiului β_0 rezultă din relația :

$$\sin \beta_0 = \frac{1}{k_2} \quad (2.1-8)$$

Secțiunea este determinată dacă se cunosc :

r - raza cercului de bază ;

$u_0 = \frac{h_0}{r}$ - coeficientul ce definește înălțimea pereților laterali ;

k_2 - coeficientul ce definește centrul boltii radiatorului .

Dacă se pune condiția :

$$k_2 \rightarrow \infty$$

$$\beta_0 \rightarrow 0$$

se obține secțiunea numită "mîner de coș" (fig.2.1-11 b), folosită la tuneluri.

Impunînd punctului O_2 să coincidă cu cheia boltii se obține o secțiune a cărei caracteristici trebuie să satisfacă relația :

$$k_2 \cdot \cos \beta_0 = 1 + u. \quad (2.1-9)$$

Relațiile 2.1-8 ; 2.1-9 determină valorile β_0 și k_2 sub forma :

$$\operatorname{tg} \beta_0 = \frac{1}{1+u} \quad (2.1-10)$$

$$k_2 = \sqrt{1+(1+u)^2}$$

Pentru a se manevra mai ușor, mărimile ce intră în relațiile 2.1-10 sînt reprezentate valorile $\operatorname{tg} \beta_0$ și k_2 în fig.2.1-12.

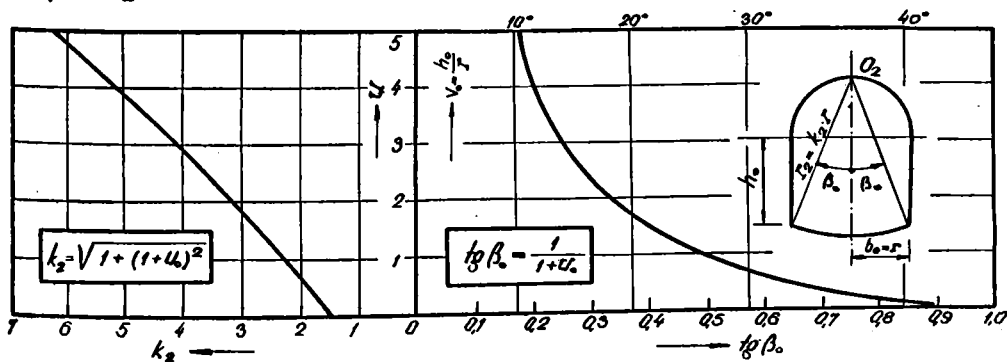


Fig. 2.1-12 Valorile $\operatorname{tg} \beta_0, k_2$.

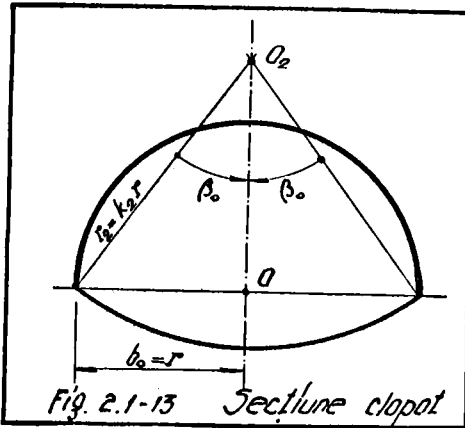
Graficele sînt ridicate în baza tabelului 2.1-4 dat mai jos :

Valorile $\operatorname{tg} \beta_0$; k_2 Tabel 2.1-4

| u | 0 | 1 | 2 | 3 | 4 | 5 |
|-----------------------------|------|------|------|------|------|------|
| $\operatorname{tg} \beta_0$ | 1,00 | 0,50 | 0,33 | 0,25 | 0,20 | 0,17 |
| k_2 | 1,41 | 2,23 | 3,16 | 4,12 | 5,09 | 6,08 |

Secțiunea reprezentată în fig.2.1-11 se folosește adesea și cu particularizarea $u_0 \rightarrow 0$

Fig.2.1-13, se obține în acest mod secțiunea clopot, des utilizată în canalizări pentru



transportul apelor meteorice.

Intre parametrii secțiunii există relația :

$$\sin \beta_0 = \frac{1}{k_2}$$

5.- Forma specială. Radier orizontal

Impingerea laterală a terenului în rocile slabe se preconizează a fi preluată nu prin pereți verticali, ci prin arce de cerc. În acest mod făcând particularizarea :

$$k_2 \rightarrow \infty ; \beta_0 \rightarrow 0$$

se ajunge la secțiunea din fig.2.1-14. În acest caz trebuie să se țină cont că :

$$k_2 \cdot \sin \beta_0 \rightarrow v_0$$

Secțiunea este determinată de parametrii : r , k_1 , u_0 , v_0 legați între ei prin relația :

$$v_0 = (1 - k_1) + k_1 \cdot \cos \alpha_0 \quad (2.1-11)$$

Valorile mai des folosite pentru α_0 , k_1 au fost în-tabelate în tabola 2.1-5.

Valorile v_0 Tabel 2.1-5

| K_1 | α_0 în grade sexzecimale | | | | | | | | | |
|-------|---------------------------------|-------|-------|-------|-------|-------|-------|-------|-------|-------|
| | 0 | 10 | 20 | 30 | 40 | 50 | 60 | 70 | 80 | 90° |
| 1 | 1,000 | 0,985 | 0,940 | 0,866 | 0,766 | 0,643 | 0,500 | 0,342 | 0,174 | 0,000 |
| 2 | 1,000 | 0,970 | 0,880 | 0,732 | 0,532 | 0,286 | 0,002 | — | — | — |
| 3 | 1,000 | 0,954 | 0,819 | 0,598 | 0,298 | — | — | — | — | — |
| 5 | 1,000 | 0,924 | 0,698 | 0,33 | — | — | — | — | — | — |

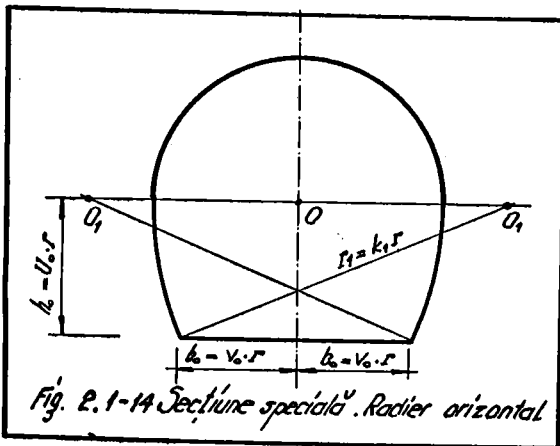
Graficul valorilor v_0 se face ținând cont că pentru $\alpha_0 = 0$ rezultă $v_0 = 1$. Intersecția cu axa absciselor se obține făcând :

$$v_0 = 0 \rightarrow \cos \alpha_0 = \frac{k_1 - 1}{k_1}$$

Derivata funcției :

$$\frac{d}{d\alpha_0}(v_0) = -k_1 \cdot \sin \alpha_0$$

arată că diagramele descresc și pornesc orizontal, deoarece derivata se anulează în punctul $\alpha_0 = 0$ (fig. 2.1-15).



Se poate ajunge și în acest caz la secțiunea "miner de coș" dacă se face

$$k_1 \rightarrow \infty$$

$$\alpha_0 \rightarrow 0$$

$$k_1 \cdot \sin \alpha_0 \rightarrow u_0$$

5.- Secțiuni încastrate la capete

Terenurile stîncose nu necesită ca radier decât un beton de egalizare de mică grosime. În acest caz sînt folosite

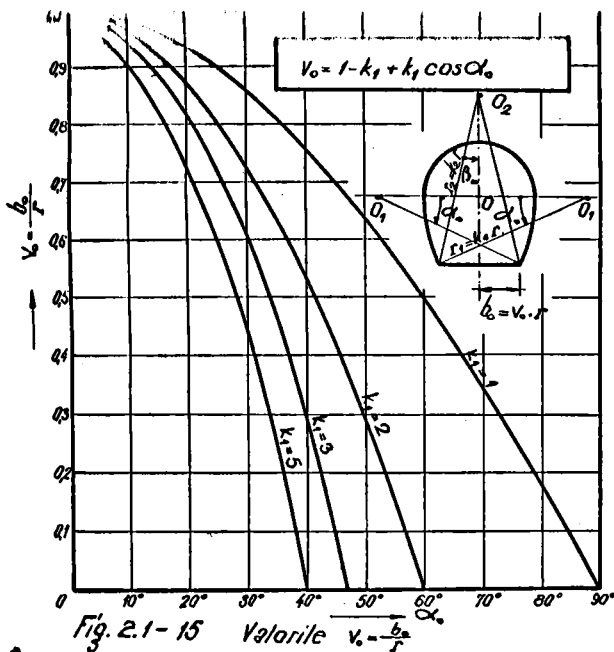
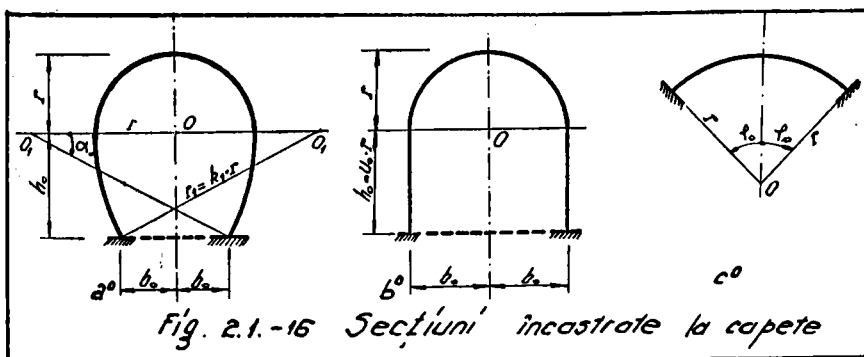


fig.2.1-16.

În toate cazurile descrise mai sus se face $v_0 = 0$ și astfel se neglijează toate efectele pe porțiunea radio-rului.

Secțiunea 2.1-16 c este folosită la bolțile centrelor hidroelectrice subterane sau la

galerii în stîncă foarte bună, unde pereții verticali se fac cu



rigiditate foarte mică astfel încît se poate neglija în calcul efectul lor. Unghiul φ_0 poate lua valori cuprinse între 0° și 90° .

Secțiunea de formă circulară fig.2.1-17 se poate obține făcînd $\varphi_0 = \pi$ și anulînd toate celelalte variabile. Această formă se folosește aproape exclusiv în cazul tunelurilor ce transportă apă sub presiune sau la tunelurile de orice altă natură cu încărcări foarte mari.

In rezumat se dă un tabel sinoptic al secțiunilor folosite mai des în practica construirii galeriilor, împreună cu

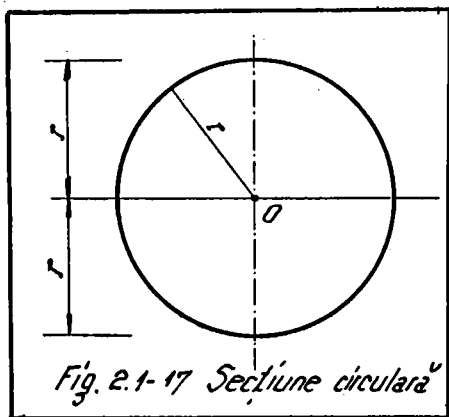


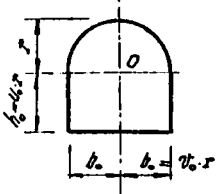
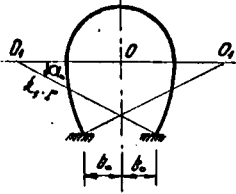
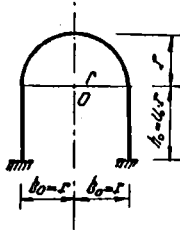
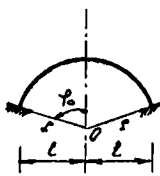
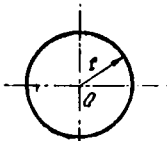
Fig. 2.1-17 Secțiune circulară

relațiile ce intervin între parametri ce caracterizează fiecare secțiune (tabela 2.1-6). Aceste contururi sînt derivate dintr-unul singur definit sub formă generală și numit "secțiune specială"

Tabel 2.1-6

Forma conturilor galeriilor subterane

| Nr. crt | Forma geometrică a conturului | Parametrii caracteristici | Relatii importante | Observatii |
|---------|-------------------------------|--|---|--|
| 1 | | r k_1 k_2 α_0 β_0 | $\sin \beta_0 = \frac{1-k_1}{k_2} + \frac{k_1}{k_2} \cos \alpha_0$ | r , element ce definește mărimea formei. |
| 2 | | r k_1 k_2 α_0 β_0 | $\sin \beta_0 = \frac{1-k_1}{k_2} + \frac{k_1}{k_2} \cos \alpha_0$ $\cos \beta_0 = \frac{1}{k_2} + \frac{k_1}{k_2} \sin \alpha_0$ | O_2 coincide cu cheia arcului |
| 3 | | r u_0 k_2 β_0 | $\alpha_0 \rightarrow 0; k_1 \rightarrow \infty$ $k_1 \sin \alpha_0 = u_0$ $\sin \beta_0 = \frac{1}{k_2}$ | pereți laterali verticali |
| 4 | | r k_2 β_0 | $\alpha_0 = 0; k_1 = 0$ $u_0 = 0$ $\sin \beta_0 = \frac{1}{k_2}$ | secțiune ovoid folosită în canalizări. |
| 5 | | r k_1 α_0 v_0 | $\beta_0 \rightarrow 0; k_2 \rightarrow \infty$ $k_2 \sin \beta_0 = v_0$ $v_0 = (1-k_1) + k_1 \cos \alpha_0$ | secțiune cu radier orizontal |

| | 3 | 4 | 5 | |
|----|---|-----------------------------|--|---|
| 6 |  | r U_0 φ_0 | $\alpha_0 \rightarrow 0 \quad k_1 \rightarrow \infty$ $k_1 \cdot \sin \alpha_0 \rightarrow U_0$ $k_2 \cdot \cos \beta_0 \rightarrow \varphi_0$ | secțiune „miner de cos” |
| 7 |  | r k_1 k_2 | $\varphi_0 = 0$ | secțiune încastrată la margini. |
| 8 |  | r U_0 | $k_1 \rightarrow \infty ; \alpha_0 \rightarrow 0$ $k_1 \cdot \sin \alpha_0 \rightarrow U_0$ $\varphi_0 = 0$ | secțiune cu pereți laterali verticali, încastrată la margini |
| 9 |  | r φ_0 | $l = r \cdot \sin \varphi_0$ | arc încastrat, se folosește la tuneluri pentru centrale subterane |
| 10 |  | r | $k_1 = 0 ; \alpha_0 = 0$ $k_2 = 0 ; \beta_0 = 0$ $\varphi_0 = \pi$ | secțiune circulară. |

In concluzie :

- Pornind de la definirea sub forma generală a unui tip de secțiune, de bază, se găsește o prezentare unitară a unor game mari de secțiuni ce pot satisface toate necesitățile practice de alcătuire a secțiunilor. Se studiază în detaliu parametri ce caracterizează secțiunea.

- Prin descrierea tuturor secțiunilor pornind de la una generală se dă o metodă unitară de studiu a parametrilor geometrici, de încărcare și statici.

- Diagramele și tabelatele date în acest paragraf înlesnesc conducerea calculului și permit alegerea rapidă a parametrilor celor mai potriviți unei situații date.

§ 2.2.- Variația momentelor de inerție

Căptușeala tunelurilor trebuie să satisfacă următoarele deziderate /54/ :

- Înlăturarea posibilității surpării rocilor muntelui și preluarea presiunii lor.

- În rocile rezistente, unde excavația se menține fără armătură, înlăturarea posibilității căderii unor pietre separate.

- Egalizarea și uniformizarea suprafeței interioare a tunelului și micșorarea rugozității ei.

- Micșorarea posibilității de infiltrare a apei în rocile muntelui (pentru tuncelile ce transportă apă) și pătrunderea apelor de infiltrație în galerie.

- Preluarea încărcărilor din presiunea muntelui, presiunea apei, etc.

Aceste condiții determină grosimea căptușeală pe fiecare porțiune în parte.

Variația momentelor de inerție este funcție de natura rocilor în care este construită galeria, destinația galeriei și mărirea încărcurilor utile.

În studiul de față se vor lua în considerare următoarele tipuri de variație a momentelor de inerție :

1.- Căptușeală cu moment de inerție constant,

este folosită la galeriile construite în roce rezistente. Împingerea muntelui fiind relativ mică, grosimea betonului se face pentru a micșora rugozitatea la tunelările hidrotehnice, pentru a preveni căderea bolovanilor și în ultimă instanță pentru a prelua eforturile din încărcare (fig.2.2-1)

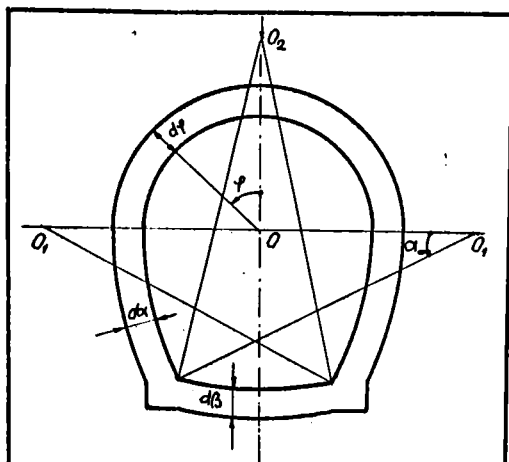


Fig. 2.2-1 Secțiune cu grosime constantă.

Pentru aceste secțiuni, variația momentelor de inerție se poate accepta sub forma :

$$i_{\varphi} = \frac{J_{\varphi}}{J_p}; \quad i_{\alpha} = \frac{J_{\alpha}}{J_{\alpha}}; \quad i_{\beta} = \frac{J_{\beta}}{J_{\beta}}$$

$$i_{\varphi}; i_{\alpha}; i_{\beta} = 1; 1; 1$$

(2.2-1)

În calculele statice se poate accepta grosimea pereților subțiri la arce pentru care valoarea :

$$k = \frac{r}{d}$$

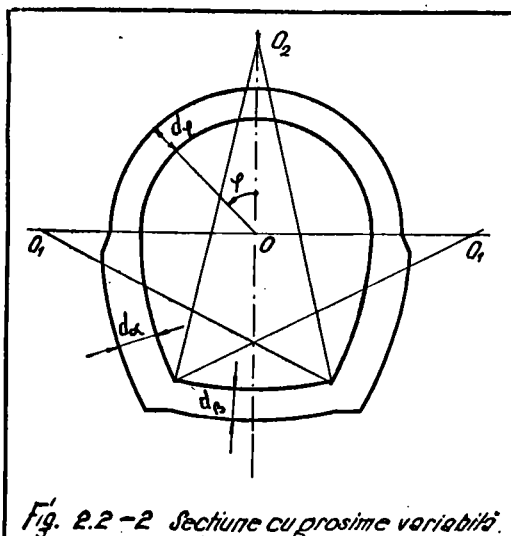
este mai mare decât 5.

Acest tip de căptușeală se folosește și la încărcări mijlocii când variația momentelor de inerție este insensibilă în calcule statice sau când variația grosimilor ar conduce la complicații de execuție.

De asemenea pentru secțiunile circulare ce transportă apă sub presiune, se adoptă grosime constantă pe întregul contur.

2.- Căptușeală cu moment de inerție variabil

În cazul când galeria traversează roci mai puțin rezistente, împingerile verticale și laterale pot diferi ca valoare și se manifestă diferit asupra căptușelilor în funcție de înălțimea și lățimea galeriei. Preluarea rațională a încărcărilor se poate face numai prin adoptarea unor grosimi diferite ale căptușelii (fig.2.2-2).



În calcule, se apreciază a priori raportul momentelor de inerție. Calculele prezentului studiu sînt conduse pentru următoarele rapoarte ale momentelor de inerție :

$$\begin{aligned} & I_y ; I_x ; I_z \\ & 1 ; 5 : 5 \\ & 1 : 5 : 0 \\ & 1 : 1 : 1 \\ & 1 : 1 : 0 \end{aligned}$$

Variațiile de mai sus acoperă suficient de bine necesitățile de preluare a unor încărcări mari.

Pentru cazul secțiunilor de tip minor de coș se indică aceeași notație simbolică : $I_y ; I_x ; I_z$

În cele ce urmează se acceptă și pentru aceste secțiuni, aceleași variații ale momentelor de inerție.

3.- Căptuseală cu boltă având moment de inerție variabil continuu

În cazul galeriilor având înșingeri mari ale terenului precum și în cazul centrelor subterane cu deschideri mari, este rațional să se varieze momentul de inerție, de la cheie spre nașteri (fig.2.2-3) astfel încât să acopere mo-

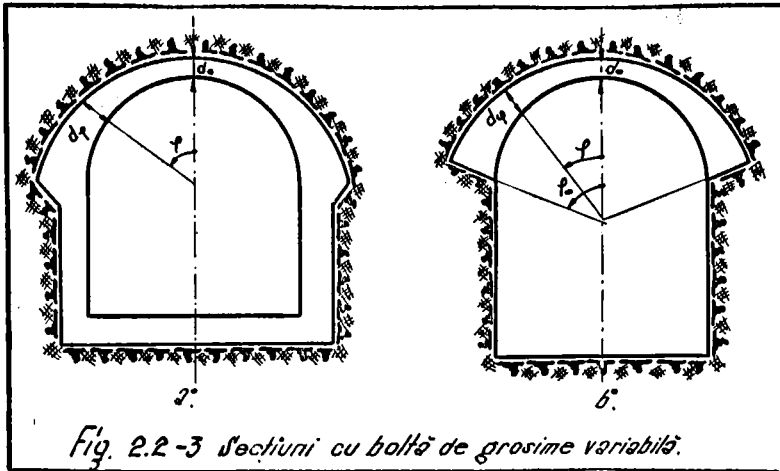


Fig. 2.2-3 Secțiuni cu boltă de grosime variabilă.

voiere diferite ce iau naștere în cele două puncte extreme.

Cresterea eforturilor la nașteri, față de cheie poate fi acoperită cu o lege de forma :

$$d_{\varphi} = \frac{d_0}{\cos \alpha \cdot \varphi} \quad (2.2-1)$$

unde :

- d_{φ} - grosimea curentă a boltii într-o secțiune definită de unghiul φ
- d_0 - grosimea la cheia boltii ;
- α - un parametru care definește într-o formă raplicită raportul grosimilor la cheie și nașteri.

Croșterea grosimii arcului poate fi impusă prin alegerea corespunzătoare a mărimii α . În tabelul 2.2-1 și fig. 2.2-4 sînt calculate valorile $\frac{d_f}{d_0}$ la diferite valori ale parametrului α .

Valorile $\frac{d_f}{d_0}$ Tabel 2.2-1

| φ_0 | α în grade sexzecimale | | | | | | |
|-------------|-------------------------------|-------|-------|-------|-------|----------|-------|
| | 0,0 | 0,2 | 0,4 | 0,6 | 0,8 | 1,00 | 1,2 |
| 45 | 1,00 | 1,013 | 1,051 | 1,133 | 1,231 | 1,415 | 1,701 |
| 60 | 1,00 | 1,022 | 1,095 | 1,231 | 1,481 | 2,001 | 3,237 |
| 70 | 1,00 | 1,031 | 1,133 | 1,321 | 1,779 | 2,828 | 9,568 |
| 80 | 1,00 | 1,040 | 1,179 | 1,481 | 2,243 | 5,768 | 9,568 |
| 90 | 1,00 | 1,051 | 1,236 | 1,699 | 3,237 | ∞ | 3,237 |

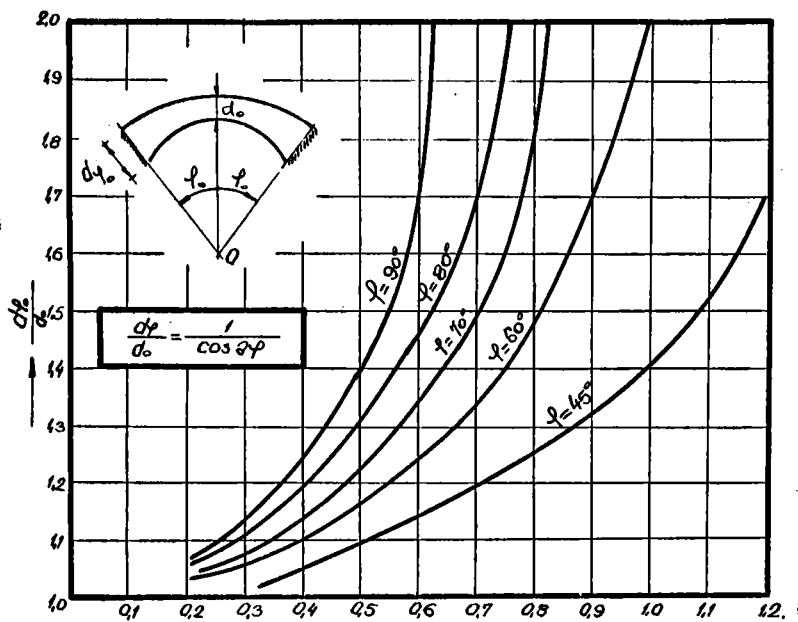


Fig 2.2-4 Valorile $\frac{d_f}{d_0}$

Elementele geometrice ce intră în calculele de rezistență pot fi scrise sub forma :

$$\frac{I_p}{I_0} = \frac{1}{\cos^3 \alpha/2}$$

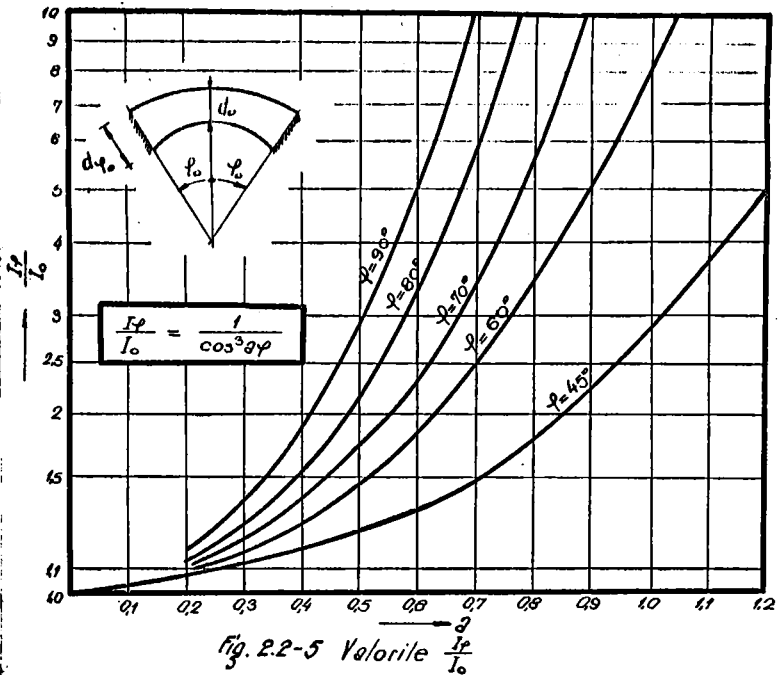
(2.2-2)

$$\frac{A_p}{A_0} = \frac{1}{\cos \alpha/2}$$

In tabela 2.2-2 și diagrama 2.2.5 se dau valorile raportului momentelor de inerție.

Valorile $\frac{I_{\varphi}}{I_0}$ Tabel 2.2-2

| φ_0 | Valorile α în grade sexagesimale | | | | | | |
|-------------|---|-------|-------|-------|--------|--------|--------|
| | 0,0 | 0,2 | 0,4 | 0,6 | 0,8 | 1,0 | 1,2 |
| 45° | 1,000 | 1,038 | 1,162 | 1,424 | 1,888 | 2,880 | 4,925 |
| 60° | 1,000 | 1,093 | 1,312 | 1,889 | 3,338 | 8,004 | 33,91 |
| 70° | 1,000 | 1,095 | 1,453 | 2,439 | 5,722 | 25,010 | 87,587 |
| 84° | 1,111 | 1,170 | 1,641 | 3,341 | 11,810 | 19,311 | — |
| 90° | 1,000 | 1,162 | 1,889 | 4,932 | 33,910 | 0,000 | — |



Valoarea parametrului a se determină după ce s-au impus valorile d_0 și d_{φ} din condiția de rezistență la cheie și nașteri. În acest fel arcu are aceeași condiție de rezistență în cele două secțiuni caracteristice și este mult mai rațional.

În concluzie :

- Pentru galerii în roci stîncoase precum și la gale-

riile sub presiune de formă circulară se preconizează cămășuoli cu grosime constantă.

- În rocile degradate, șistose sau în rocile fără coeziune se preconizează cămășuoli având grosimi cu variații discontinue.

- Galeriiile centralelor hidroelectrice subterane și bolțile tunelurilor cu mare deschidere se recomandă a fi executate cu variația continuă a grosimii bolții.

§ 2.3.- Studiul încărcărilor galeriilor subterane

Pentru o judicioasă dimensionare a secțiunii lucrărilor subterane este absolut necesar să se cunoască mărimea și modul de distribuție a încărcărilor.

Încărcările ce acționează asupra căptușelii tunelurilor se împart, după caracterul lor și condițiile în care acționează, în trei grupe /55/, /56/ :

- încărcări fundamentale ;
- încărcări accidentale ;
- încărcări extraordinare.

Din grupa încărcărilor fundamentale fac parte :

- presiunea verticală a muntelui ;
- împingerea laterală a muntelui ;
- presiunea pasivă a muntelui asupra galeriei ;
- greutatea proprie a căptușelii ;
- presiunea apei ;
- presiunea exercitată de injecțiile de lapte de ciment ;
- aderența betonului cu roca.

Din grupa încărcărilor accidentale fac parte :

~

- creșterea presiunilor peste cea hidrostatică datorită mișcării nepermanente intervenită în urma manevrelor de închidere sau deschidere a vanelor ;

- Variațiile de temperatură a apei în galerie, contracția și curgerea betonului.

Din grupa încărcărilor extraordinare fac parte :

- cutremurele pe direcțiile de cea mai mică rigiditate
- eșirea din funcțiune a unui element de construcție ;
- prăbușiri de versanți.

Ipotezele de verificare a secțiunii galeriei trebuie să corespundă ipotezelor celor mai defavorabile de combinație a încărcărilor, cu condiția ca acea combinație să fie posibilă .

În cele ce urmează se expune modul de apreciere a diferitelor încărcări cu precizarea legii de distribuție și se dau tabele și diagrame care să ușureze introducerea lor în calcul

1.- Încărcări provenite din împingerea muntelui

Forțele ce iau naștere într-o galerie, în urma deranjării echilibrului litologic, se manifestă sub forma unor presiuni dinspre exteriorul spre interiorul galeriei.

În afara cauzelor deranjării echilibrului litologic apar presiuni și datorită altor factori ce intervin odată cu execuția lucrărilor de forare :

- șocurile exploziilor provoacă dislocări și fisuri în masiv ;

- curentul de aer ce pătrunde în galerie provoacă răciră straturilor și ca urmare apare fenomenul de contracție a rocilor ;

- conlucrarea rocii cu căptușeala provoacă deformația rocii și apariția unor presiuni pasive.

Determinarea exactă a forțelor ce apar din împingerea muntelui a preocupat pe mulți cercetători /57/, /58/, /59/. Ipotezele teoretice au fost dublate de cercetări experimentale /60/, /61/, /62/ care s-au referit numai la anumite tipuri de roci avînd caracteristici fizico-mecanice bine stabilite.

În realitate terenurile nu se încadrează în scheme dinaintea stabilite, astfel că în ultima vreme se contează cel mai mult pe datele experimentale culese la fața locului /63/, /64/, /65/ cu ajutorul unei aparaturi moderne. Proiectarea secțiunilor făcîndu-se în urma cercetărilor la fața locului este necesară o sistematizare maximă a calculului acestor galerii pentru ca proiectarea să se facă operativ și în timp scurt. Acesta este unul din scopurile acestei lucrări .

Una dintre teoriile cele mai răspîndite /66/ presupune că rocile constituie corpuri care datorită fisurilor, ce apar în timpul execuției, pot fi considerate ca lipsite de coeziune pînă la un anumit grad, aplicîndu-le legile corpurilor friabile (granule fără coeziune). Coeziunea dintre particole se introduce indirect, astfel :

Pentru rocile care au numai frecare interioară tensiunile de forfecare au expresia :

$$\tau = G \cdot \tan \varphi = G \cdot f$$

Pentru rocile care au frecare interioară și coeziune se introduce expresia :

$$\tau = G \cdot \tan \varphi + C$$

Ultima relație poate fi scrisă sub forma :

$$\frac{\tau}{G} = \tan \varphi + \frac{C}{G}$$

relație ce se poate scrie sub forma :

$$f_a = f + \frac{C}{G} \quad (2.3-1)$$

Relația 2.3-1 este foarte generală, putînd fi particu-

lizată :

- pentru roci friabile cu coeziune neglijabilă :

$$f_a = f - tg \varphi$$

- pentru roci cu coeziune mare :

$$f_a = tg \varphi + \frac{C}{\sigma}$$

- pentru roci stîncose și semistîncose se adoptă o formulă empirică :

$$f = \frac{C_c}{100}$$

În relațiile de mai sus s-au folosit următoarele semnificații :

f_a - coeficient de tărie a rocilor, caracterizează rocile din punct de vedere al presiunilor ce le predau galeriei ;

φ - unghiul de frecare interioară al materialului ;

C_c - rezistența la rupere prin compresiune a rocii.

Coeficientul de tărie al rocilor este dat în tabelul de mai jos după datele propuse de Protodîaconov

Tabela 2.3-1

Coeficienții de tărie ai rocilor

| Grad de duritate | Denumirea rocilor | f_t |
|----------------------------------|---|-------|
| Roci extrem de dure | Cele mai dure cuarțite și bazalturi | 20 |
| Roci foarte dure | Granit, porfir, cuarțitic, sisturi de oremene | 15 |
| Roci dure | Granit compact, gresia și calcarele foarte dure, minereuri tari de fier, marmura dură, dolomita | 8-10 |
| Roci suficient de dure | Gresii obișnuite, sisturi nisipoase și gresii șistoase | 5-6 |
| Roci cu duritate slabe, mijlocie | Sisturi argiloase dure, gresii și calcare moi slabe, marne compacte | 3-4 |

| Grad de duritate | Denumirea rocilor | f_t |
|----------------------|--|---------|
| Roci destul de slabe | Sisturi moi, creta, sarea gemă, gips, pământ înghețat, gresii alterate, pământ pietros, pietriș de carieră, cărbuni de piatră dură | 1,5-2 |
| Roci slabe | Argila compactă, aluviuni tari de pământuri argiloase, argilă nisipoasă ușoară, loess, pietriș | 0,8-1 |
| Pământurile | Pământ negru, turba, argila nisipoasă umedă | 0,6 |
| Roci friabile | Nisipuri, pământuri mărunte, pietriș mărunț | 0,5 |
| Roci îmbibate | Pământuri mlăștinoase, loess rarefiat | 0,1-0,3 |

Prin executarea unei galerii subterane se admite că deasupra tavanului se formează o boltă de echilibru natural a cărei formă și mărime depinde de lățimea galeriei, punând condiția ca în linia deasupra boltii să nu existe decât compresiuni bolta se delimitază cu condiția momentelor nule de-a lungul liniei (fig. 2.3-1), *mediane*.

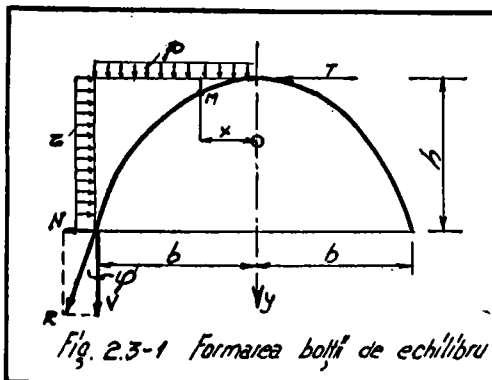


Fig. 2.3-1 Formarea boltii de echilibru

Condiția de moment nul conduce la forma curbei :

$$y = \frac{P}{2T} x^2$$

adică o parabolă având săgeata dată de relația

$$h = \frac{b}{tg^2 \varphi} \quad (2.3-2)$$

Încărcarea totală ce acționează pe unitatea

de lungime a galeriei va fi :

$$P = \frac{2}{3} \gamma \cdot 2b \cdot h = \frac{2}{3} \gamma \cdot 2b \cdot \frac{b}{tg^2 \varphi}$$

presiunea rezultantă pe boltă :

$$P = \frac{4}{9} \gamma_c \frac{b^2}{f_0}$$

În calculele practice diagrama se poate lua sub formă parabolică (fig.2.3-2 a) . În acest caz :

$$q_x = \gamma_c \frac{b}{f_0 \varphi} = \gamma_c \frac{b}{f_0} \quad (2.3-3)$$

γ_c - greutatea volumetrică a rocii.

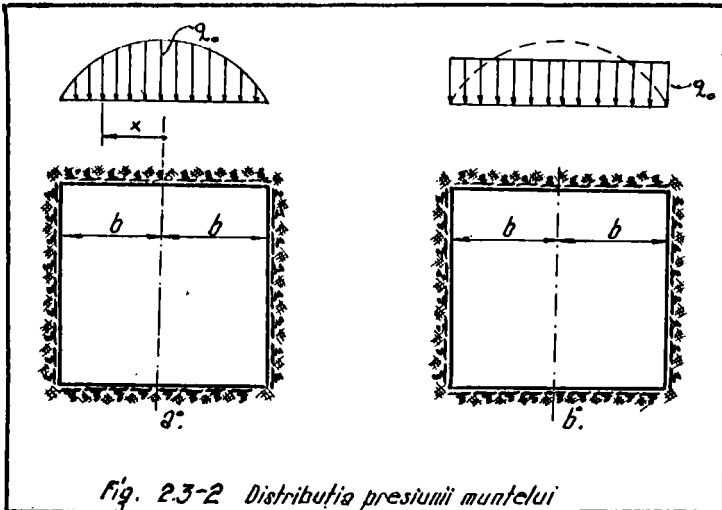


Fig. 2.3-2 Distribuția presiunii muntelui

Valoarea curentă a încărcării într-o secțiune x va fi :

$$q_x = q_0 \left[1 - \left(\frac{x}{b} \right)^2 \right] \quad (2.3-4)$$

În cazul în care bolta are formă circulară, $\frac{x}{b} = \sin \varphi$ legea se scrie : $q_x = q_0 \cos^2 \varphi$

Sînt situații cînd diagrama parabolică se mediază pe lățimea galeriei obținîndu-se o diagramă cu o distribuție uniformă. În acest caz (fig.2.3-2 b) :

$$\frac{P}{2b} = \frac{2}{3} \gamma_c \frac{b}{f_0}$$

sau cu aproximație :

$$q_0 = 0,7 \gamma_c \frac{b}{f_0} \quad (2.3-5)$$

În cazul în care condițiile de echilibru, după ce se așază al-
oă de la suprafață nu mai există condiții favorabile pentru
formarea boltii de echilibru natural. În acest caz, presiunea
rocilor se poate accepta /67/ egală cu întreaga coloană a rocii
aflată deasupra din care se scad forțele de frecare pe suprafe-
țele de rupere considerate verticale (fig. 2.3-3)

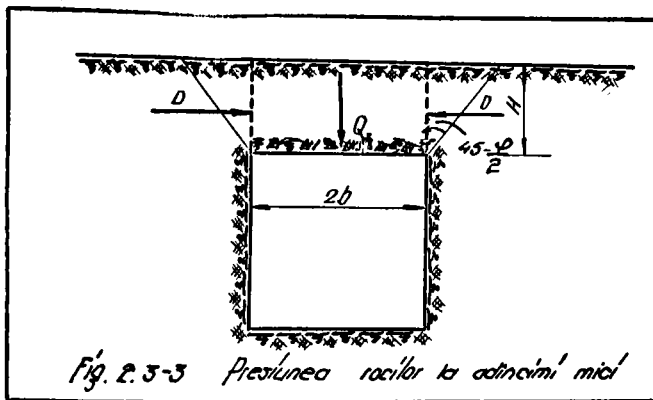


Fig. 2.3-3 Presiunea rocilor la adâncimi mici

Conform acestei
presupunerii va-
loarea presiunii
minime asupra
tavanului este
dată de relația :

$$F = Q - 2b \operatorname{tg} \varphi$$

în care :

$$Q = 2 \delta_c \cdot b \cdot H$$

$$F = 2 \delta_c \cdot b \cdot H \left(1 - \frac{H}{2b} \operatorname{tg} \varphi \operatorname{tg}^2 \left(45 - \frac{\varphi}{2} \right) \right)$$

Relațiile de mai sus permit determinarea încărcării
uniform distribuite pe tavan :

$$Q = \frac{F}{2b} \quad (2.3-6)$$

precum și adâncimea de amplasare a lucrării subterane, până la
care este valabilă această relație :

$$H = \frac{2b}{\operatorname{tg} \varphi \operatorname{tg}^2 \left(45 - \frac{\varphi}{2} \right)} \quad (2.3-7)$$

Practic H nu poate depăși 20 - 35 m.

Lupingerea orizontală se apreciază considerând că se
formează o a doua boltă de surpare în momentul când perețele

Intensitatea împingerii (Fig. 2.3-4) .

mărima supraîncăririi q_0 se poate calcula considerând că întreaga greutate g masivului dintre cele două bolți se prădă celor două porțiuni de mărime $L-b$

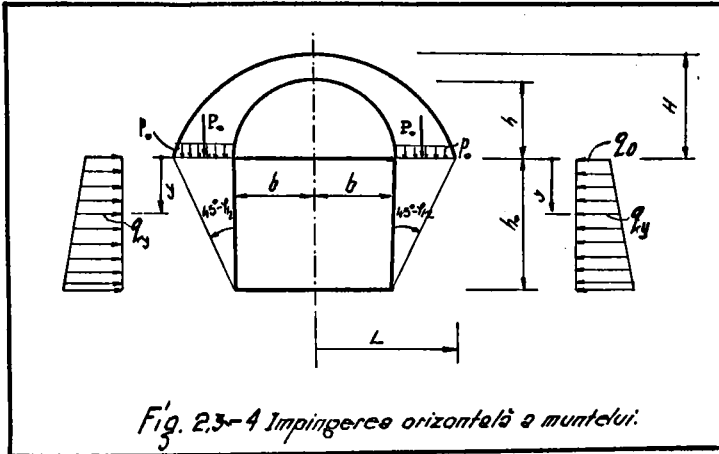


Fig. 2.3-4 Impingerea orizontală a muntelui.

Conform celor prezentate în relațiile 2.3-2 se poate calcula :

$$L = b + h_0 \cdot \operatorname{tg} \left(45^\circ - \frac{\varphi}{2} \right)$$

$$h = \frac{b}{f} \quad H = \frac{L}{f}$$

mărima forței P_0 (fig. 2.3-4) va fi :

$$P_0 = \frac{1}{2} \cdot \frac{2}{3} \cdot (2LH - 2bh)$$

încărcarea distribuită la nivelul bolții este :

$$p_0 = \frac{P_0}{L-b} = \frac{2}{3f} \left[2b + h_0 \operatorname{tg} \left(45^\circ - \frac{\varphi}{2} \right) \right]$$

mărima supraîncăririi la nivelul superior al bolții va fi :

$$q_0 = \delta_c \cdot \operatorname{tg}^2 \left(45^\circ - \frac{\varphi}{2} \right) \cdot \frac{2}{3f} \left[2b + h_0 \operatorname{tg} \left(45^\circ - \frac{\varphi}{2} \right) \right] \quad (2.3-8)$$

Intensitatea împingerii la un nivel curent y , măsurat de la nivelul superior al bolții va avea valoarea :

$$q_y = q_0 + \delta_c \cdot y \cdot \operatorname{tg}^2 \left(45^\circ - \frac{\varphi}{2} \right)$$

$$q_y = q_0 + \delta_i \cdot y \cdot \lg^2(45 - \frac{\gamma}{2}) \quad (2.3-9)$$

Presiunea medie se obține pentru :

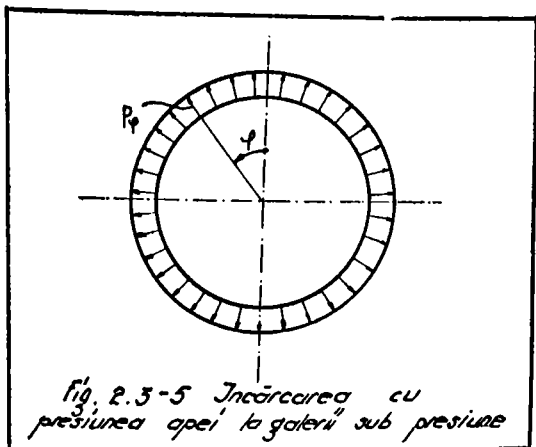
$$q = \delta_i \cdot h_0 \cdot \lg^2(45 - \frac{\gamma}{2}) \left\{ \frac{2}{3\gamma} \left[\frac{2b}{h_0} + \lg(45 - \frac{\gamma}{2}) \right] + \frac{1}{2} \right\} \quad (2.3-10)$$

Pentru roci stîncoase se apreciază că valoarea presiunii medii q este (1/2 - 1/5) din împingerea verticală medie a muntelui.

2.- Presiunea apei

Galeriile hidrotehnice au ca încărcare principală valoarea presiunii apei.

În cazul galeriilor sub presiune secțiunea se adoptă de formă circulară și încărcarea este considerată uniform distribuită radial (fig.2.3-5).



Legea de distribuție a presiunii este :

$$p = \sigma \cdot H = \text{constant} \quad (2.3-11)$$

În cazul galeriilor de fugă ale centrelor hidrotehnice, nivelul apei nu depășește ochia boltii, nivelul maxim de scurgere fiind egal

cu înălțimea galeriei. În acest caz presiunea este considerată distribuită normal pe axa galeriei, (fig.2.3-6) și are următoarele legi de distribuție :

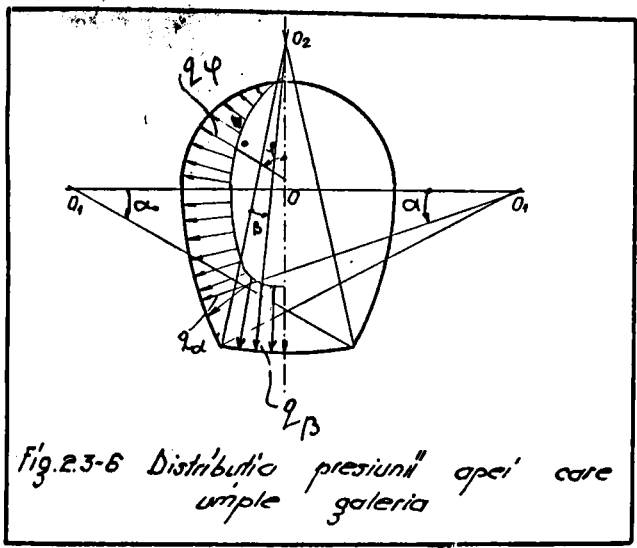


Fig.2.3-6 Distribuția presiunii apei care umple galeria

- pentru $\varphi \in (0, \frac{\pi}{2})$

$$q_\varphi = q_0 (1 - \cos \varphi) \tag{2.3-12}$$

- pentru $\alpha \in (0, \alpha_0)$

$$q_\alpha = q_0 (1 + k_1 \sin \alpha) \tag{2.3-13}$$

- pentru $\beta \in (0, \beta_0)$

$$q_\beta = q_0 \left\{ 1 + k_1 \sin \alpha + k_2 [\cos(\beta_0 - \beta) - \cos \beta_0] \right\} \tag{2.3-14}$$

In expresiile de mai sus s-a notat :

$$q_0 = \delta \cdot r \tag{2.3-15}$$

Valorile q_φ , q_α , q_β pot fi luate in punctele extreme din diagramele A_φ , A_α , A_β dacă se schimbă semnul din minus in plus.

3.- Greutatea proprie

Se va admite in calcule sub forma unei încărcări distribuită de alungul liniei mediane a conturului, avind direcția verticală (fig.2.3-7). Valorile încărcării au expresiile :

$$q_\varphi = \delta_0 \cdot d_\varphi \cdot l$$

$$q_\alpha = \delta_0 \cdot d_\alpha \cdot l$$

$$q_\beta = \delta_0 \cdot d_\beta \cdot l$$

unde :

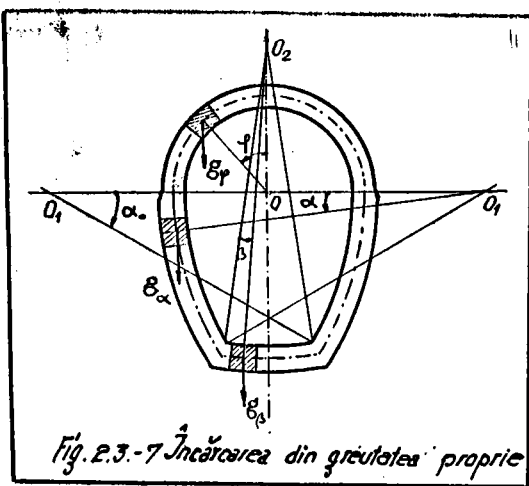


Fig. 2.3-7 Încărcarea din greutatea proprie

δ_b - greutatea specifică a betonului ;
 $d_p; d_\alpha; d_\beta$ - grosimea peretelui galeriei în porțiunile definite de unghiurile : $\varphi; \alpha; \beta$

4.- Presiunea pasivă a rocii

Încărcarea apare datorită conlucrării peretelui de beton cu roca. Deformația datorită unei încărcări ce acționează pe perete se transmite rocii înconjurătoare, aceasta va fi împiedicată și în consecință apar presiuni. Mărimea presiunilor într-un punct este egală, conform ipotezei lui Winkler :

$$q = k \cdot \delta \tag{2.3-16}$$

unde :

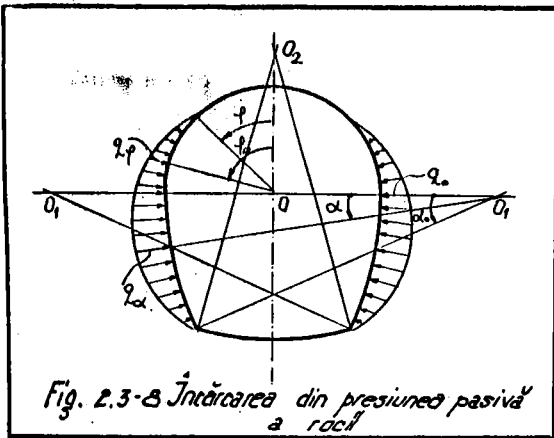
k - coeficientul de pat al rocii ;

δ - deformația peretelui.

În practică se calculează deformația pe diametrul orizontal δ_H (fig.2.3-8). În acest caz presiunea pasivă pe diametrul orizontal dintr-o încărcare exterioară p , va fi :

$$q_o = k \cdot \delta_H^p \tag{2.3-17}$$

Distribuția încărcării presiunii pasive se acceptă ca în figura (2.3-8) cu următoarele valori :



- pentru $\varphi \in (\varphi, \frac{\pi}{2})$

$$q_p = q_0 \frac{\sin \varphi - \sin \varphi_0}{1 - \sin \varphi_0} = q_0 n (\sin \varphi - \sin \varphi_0)$$

$$(2.3-18)$$

unde : $n = \frac{1}{1 - \sin \varphi_0}$

φ_0 - unghiul ce cores-

punde punctului de nul al deformației, acesta se apreciază la $40^\circ - 50^\circ$. Prezenta lucrare admite $\varphi_0 = 46^\circ$

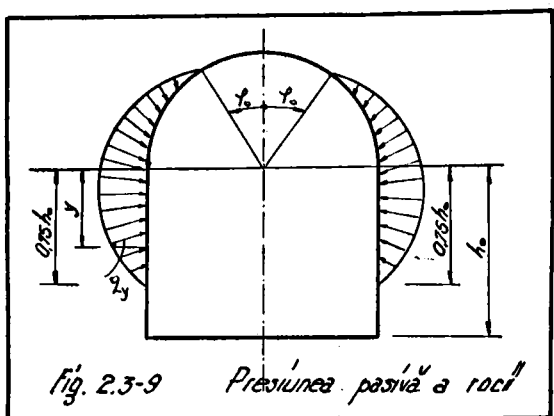
- pentru $\alpha \in (0, \alpha_0)$

$$q_\alpha = q_0 \frac{\cos \alpha - \cos \alpha_0}{1 - \cos \alpha_0} = q_0 m (\cos \alpha - \cos \alpha_0)$$

$$(2.3-19)$$

unde : $m = \frac{1}{1 - \cos \alpha_0}$

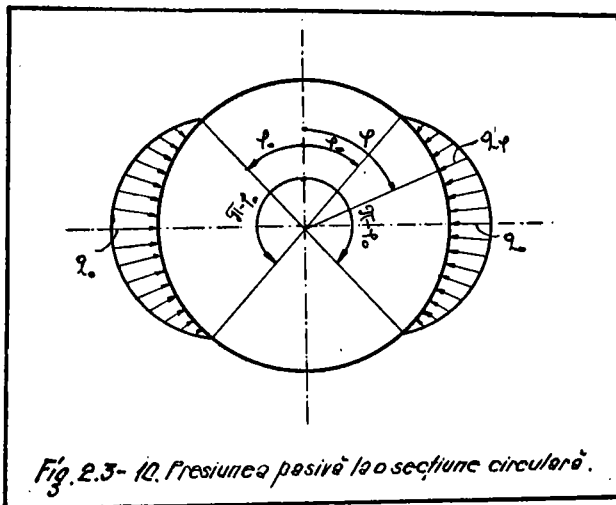
Pentru secțiunea în formă "mîner de coș" se stabilesc două puncte de nul. Punctul superior este definit de $\varphi_0 = 46^\circ$. Punctul inferior se află la $y = 0,75 h_0$ (fig.2.3-9).



Distribuția încărcării pe prima porțiune corespunde relației (2.3-18) pentru porțiunea verticală distribuția încărcării se consideră parabolică :

$$q_y = q_0 \left(1 - \frac{y^2}{h_0^2}\right) \quad (2.3-20)$$

În secțiunea de formă circulară se consideră încărcarea cu distribuția de forma (2.3-18) și are forma din fig.2.3-10.



5.- Presiunea injectiilor de umplură

Practica execuției galeriilor impune ca după turnarea betonului în perete să se lase găuri în boltă pentru injectarea locurilor goale rămase între beton și rocă. În acest mod se realizează o legătură intimă între beton și rocă. Presiunile de injecție se execută la o presiune nominală :

$$q_0 = \delta \cdot h \quad (2.3-21)$$

unde :

h - este sarcina presiunii de injecție.

Distribuția încărcării datorită injectiilor la presiunea q_0 se va admite conform unei distribuții de forma :

$$q_y = q_0 \left(1 - \frac{\sin \varphi}{\sin \varphi_0}\right) \quad (2.3-22)$$

unde s-a notat :

φ_0 - unghiul de influență a presiunii de injecții ($\varphi_0 = 45^\circ$)

q_0 - presiunea de injecție.

6.- Aderența betonului cu roca

Prin întărirea mortarului, presiunea inițială exercită pe căptușeală, se micșorează, datorită contracției betonului, respectiv a deformațiilor plastice ale betonului din căptușeală și datorită contracției rocii înconjurătoare. Lucrările de injectare în mod normal se execută pe întreg perimetrul, când s-a întărit căptușeala îndeosebi în partea inferioară a arcului și în două secțiuni dispuse sub un unghi de 45° de la arcul vertical.

În calculul static al căptușelii trebuie luate în considerare forțele de aderență a betonului cu roca.

La căptușelile cu secțiune circulară forța de aderență se va calcula pe părțile laterale ale conturului între secțiunea $\varphi = \frac{\pi}{4}$ și $\varphi = \frac{3\pi}{4}$ (de la verticala ce trece prin cheie) fig.2.3-11 a și are valoarea :

$$q_p = q_0 \cdot \sin \varphi$$

(2.3-23)

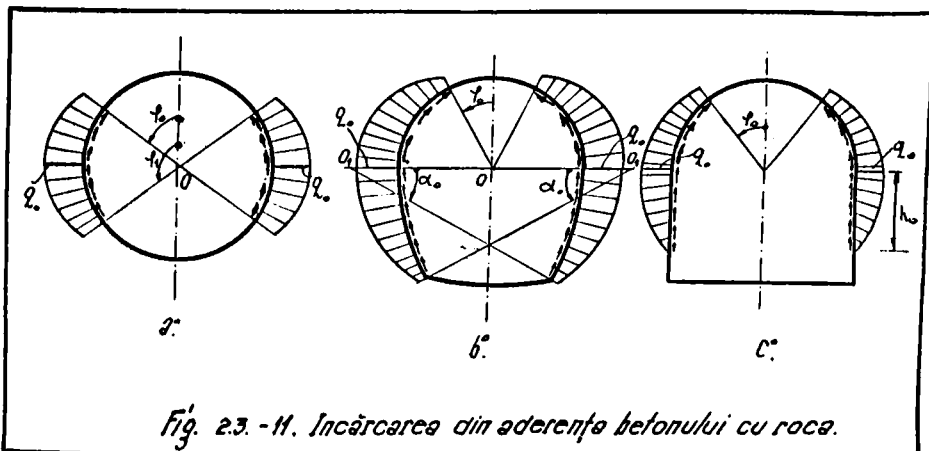


Fig. 2.3 - 11. Încărcarea din aderența betonului cu roca.

Valoarea q_0 se apreciază la (0,5 - 0,7) din încărcarea presiunilor de injecție.

La secțiunea "specială" încărcarea are expresia (fig. 2.3-11 b).

- pentru $\varphi \in (\varphi_0, \frac{\pi}{2})$

$$q_\varphi = q_0 \cdot \sin \varphi \quad (2.3-24)$$

- pentru $\alpha \in (0, \alpha_0)$

$$q_\alpha = q_0 \cdot \cos \alpha \quad (2.3-25)$$

Secțiunea de formă "mîner de coș" se va considera asemănătoare celei speciale pînă la diametrul orizontal (fig. 2.3-11 c) iar pe porțiunea dreaptă se consideră o încărcare parabolică după legea :

$$q_y = q_0 \left[1 - \left(\frac{y}{h_0} \right)^2 \right] \quad (2.3-26)$$

Înălțimea h_0 se adoptă : (0,5 - 0,75 h) . Sensul încărcării este dat în fig. 2.3-11.

8.- Reacțiunea terenului

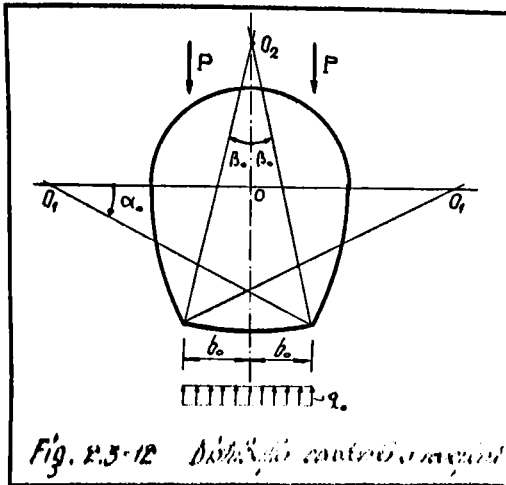
Reacțiunea terenului se determină din condiția echilibrului global al tuturor încărcărilor. Distribuția reacțiunii este funcție de natura și forma radierului galeriei. Pentru galerii cu radier orizontal sau aproape orizontal, în terenuri stîncose se poate accepta o distribuție constantă a încărcării. Dacă încărcarea verticală pe jumătatea secțiunii este P , se poate deduce valoarea reacțiunii :

$$q_0 = \frac{P}{k_2 \cdot r \cdot \sin \beta_0} \quad (2.3-27)$$

Pentru terenuri slabe sau nestîncose distribuția încărcării

cazilor nu poate accepta după forma hiperbolei sau în alte cazuri după o distribuție cosinusoidală.

Distribuția cosinusoidală (fig.2.3-13) se acceptă după



legea :

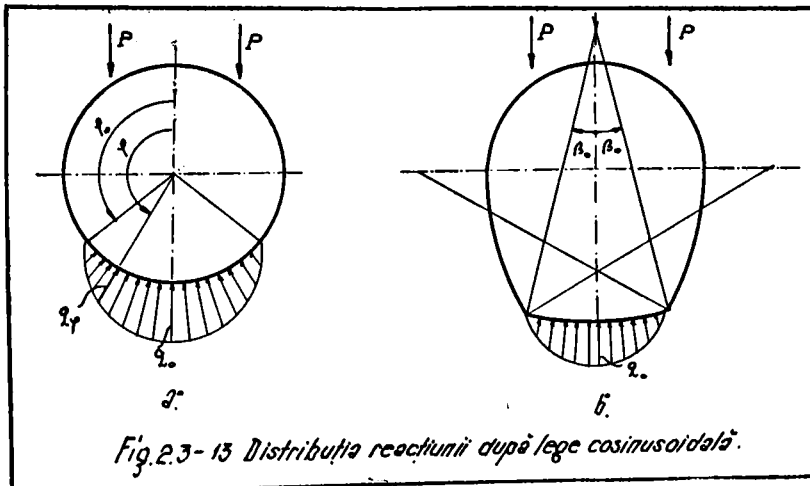
$$q_{\varphi} = q_0 \frac{\cos \varphi_0 - \cos \varphi}{1 + \cos \varphi_0} \quad (2.3-28)$$

dacă secțiunea este de formă circulară și sub forma :

$$q_{\beta} = q_0 \frac{\cos(\beta_0 - \beta) - \cos \beta_0}{1 - \cos \beta_0} \quad (2.3-29)$$

pentru secțiunea de formă

specială.



Pentru o încălcare verticală de mărime P pe jumătatea secțiunii se poate calcula valoarea q_0 după relația :

$$P = q_0 r \int_0^{\pi} \frac{\cos \varphi_0 - \cos \varphi}{1 + \cos \varphi_0} r \, d\varphi \quad (2.3-30)$$

$$P = q_0 r \int_0^{\beta_0} \frac{\cos(\beta_0 - \beta) - \cos \beta_0}{1 - \cos \beta_0} r \, d\beta$$

Efectuind calculele se obține :

$$Q_{op} = \frac{P}{I} \cdot \frac{1 + \cos \beta_0}{(\pi - \beta_0) \cos \beta_0 + \sin \beta_0}$$

$$Q_{ap} = \frac{P}{I} \cdot \frac{1 - \cos \beta_0}{\sin \beta_0 - \beta_0 \cos \beta_0}$$
(2.3-31)

Distribuția de formă hiperbolică (fig.2.3-14) se definește sub forma :

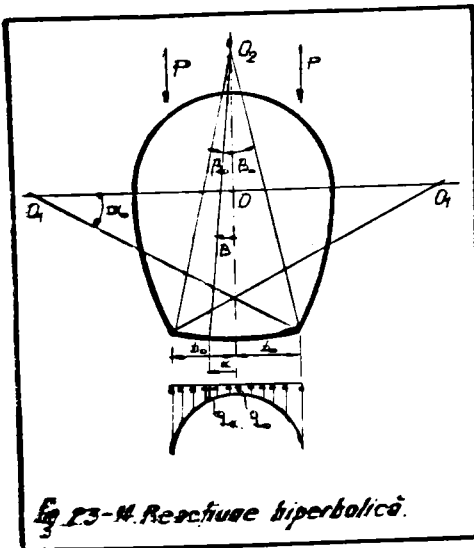


Fig. 2.3-14. Reacțiune hiperbolică.

$$q_x = q_0 \frac{1}{\sqrt{1 - (\frac{x}{b_0})^2}}$$
(2.3-32)

unde : q_0 se obține din relația :

$$P = q_0 \cdot b_0 \int_0^1 \frac{1}{\sqrt{1 - (\frac{x}{b_0})^2}} d(\frac{x}{b_0})$$
(2.3-33)

efectuind calculele rezultă :

$$q_0 = \frac{2}{\pi} \frac{P}{b_0}$$
(2.3-34)

In afara încărcărilor descrise mai sus, sînt unele fenomene ce apar și pot să influențeze comportarea unui tunel sub presiune, fenomene de care în mod curent nu se ține seama în calcule. Aceste fenomene sînt : fisuri suplimentare în rocă, variația de temperatură, neuniformitatea secțiunii căptușelii, creșterea rezistențelor betonului, diferența dintre grosimile teoretice ale căptușelii și cele reale, permeabilitatea căptușelilor etc.

In cele ce urmează se analizează foarte pe scurt influența acestor fenomene.

Unul dintre factorii principali care stau la baza diferențierii valorilor lui K_0 pe traseul tunelului este gradul de fisurare a rocii.

$$K_0 = \frac{E_{rocă}^3}{r(1+m)} ; \quad m = \frac{1}{\mu_{rocă}}$$

Pe traseul unui tunel sub presiune există motive să apară fisuri, deoarece ca urmare a executării tunelului, zona rocii din vecinătatea golului excavat este supusă la o serie de încărcări suplimentare. Astfel :

- din cauza executării excavației apare o zonă de discontinuitate în masivul muntos, ceea ce duce la o concentrare a eforturilor produse de presiunea litostatică pe zona din vecinătatea tunelului ;

- excavarea făcîndu-se cu ajutorul exploziilor, șocurile provocate de acestea supun unei solicitări importante roca din vecinătate ;

- curentul de aer care apare în tunelul străpuns produce o răcire a intradosului excavației, ceea ce are ca urmare apariția unui fenomen de contracție în rocă, deci implicit eforturi de întindere și tendința apariției unor fisuri radiale ;

- după darea tunelului în funcțiune, din cauza apei rocii care trece prin el, se răcește suplimentar zona din vecinătate, ceea ce accentuează contracția rocii.

Ca o ultimă cauză care contribuie la apariția fisurilor în rocă este însăși conclucrarea căptușelii cu roca la preluarea eforturilor produse de presiunea apei.

Fisurile produse de fenomenele care apar înainte de darea tunelului în exploatare sînt închise prin lucrările de injecții, cu condiția ca injecțiile să se execute foarte corect și ca roca să prezinte nu numai fisuri radiale, ci și cele cauzate de răcire, ori și fisuri transversale.

Dacă fisurile radiale se întind pe o zonă corespunzătoare unei raze R se constată că valoarea coeficientului de rezistență elastică specifică scade de la valoarea inițială K_0 la valoarea K_0' funcție de raportul între raza zonei pînă la care se întind fisurile și raza excavației.

Temperatura rocii în diferite puncte ale traseului unui tunel de aducțiune, dacă acesta este situat la suficientă depărtare de suprafața terenului, poate fi considerată practic constantă, în timp și funcție numai de așa-zitul grad geotermic.

În condițiile climatice ale țării noastre există premisa ca temperatura apei care curge prin tunel, după darea lui în exploatare, să difere sensibil față de temperatura rocii, mai ales iarna. Această situație va cauza apariția unor deformări sau, dacă deformările nu se pot dezvolta liber, apariția unor eforturi în toate elementele care suferă o variație de temperatură, adică în căptușeală și în roca din vecinătatea tunelului. De exemplu, în caz că apa răcoasă căptușeala și roca din jur, căptușeala se contractă și își micșorează raza extradosului; roca presupusă fisurată se contractă și ea, ceea ce are ca efect mărirea razei excavației; rezultatul final este apariția unui spațiu liber între căptușeală și rocă; dacă acest spațiu este mai mare decît valoarea deformăției extradosului căptușelii produse de contracția anterioară a apei

calculată presupunând căptușeala ca un tub în aer liber), eforturile pe care le produce presiunea interioară în căptușeală se dezvoltă ca și când $K_0 = 0$. Situația mai des întâlnită în realitate arată că efortul răcirii duce la o micșorare a coeficientului K_0 , analog ca în cazul apariției fisurilor.

Trebuie reținut, deci, că variațiile de temperatură și alte fenomene care apar la tunelurile sub presiune duc la sporirea importantă a eforturilor produse de presiunea interioară a apei, în special în cazul căptușelilor subțiri.

Alt aspect interesant de analizat este neuniformitatea grosimii căptușelii care apare datorită condițiilor în care se execută tunelul. Din cauza îngroșării, căptușeala nu mai lucrează ca un cilindru cu pereții de grosime constantă, cum se presupune în toate calculele, deoarece rigiditatea diferită a secțiunilor corespunzătoare diferitelor unghiuri la centru face ca deformațiile căptușelii să nu fie funcție numai de rază, ci și de unghiul la centru, ceea ce implicit duce la apariția unor momente încovoietoare și forțe tăietoare, respectiv la eforturi suplimentare. În roci dure, în care F_{roca} este sensibil egal cu F_{beton} efectul îngroșărilor în ceea ce privește eforturile produse de presiunea interioară încetează să se mai resimtă.

Un avantaj mare pe care îl are căptușeala unui tunel constă în faptul că microclimatul în care face priză și se întărește betonul din care este confecționată este foarte prielnic ținuturii unor betoane rezistente. Ținând seama de condițiile prielnice în care își face priză și se întărește betonul și de timpul de dare în funcțiune, se poate admite că, în aceluia cazuri fiind există deplină siguranță că eforturile maxime în căptușeală vor fi atinse la mai mult de 6 luni de la betonare,

se iau rezistențele de rupere din norme sporite cu 25 %. Acest procedeu este utilizat în mai multe țări.

Un alt factor care contribuie la mărirea capacității de rezistență este faptul că în condițiile de lucru specifice excavațiilor subterane, volumul excavat real este sensibil mai mare decât cel teoretic, din cauză că se lucrează cu explozivi și din cauza sprijinirilor. Ingrășarea incertă a căptușelii are ca efect o micșorare a eforturilor pe care le produc diferitele încărcări. Se calculează grosimea medie reală corespunzătoare, iar pe baza acestei noi grosimi se poate face verificarea rezistențelor. Trebuie ținut seama însă de influența pe care o are faptul că intradosul excavației prezintă multe neregularități.

Un alt factor care influențează rezistența căptușelii este permeabilitatea betonului. Căptușelile din beton simplu sau beton armat nu pot fi socotite practic impermeabile nici înaintea de apariția fisurilor. Permeabilitatea căptușelilor se explică ținând seama de condițiile în care se execută și de eforturile care apar în ele la punerea sub sarcină.

De o deosebit de mare importanță pentru etanșitatea unui tunel este gradul de permeabilitate a rocilor pe care le străbate.

Un strat de torcret simplu bine executat care nu prezintă nici un fel de fisuri reduce semnificativ permeabilitatea căptușelii. Apariția fisurilor în torcret duce practic la anihilarea efectului de etanșare.

Înainte de apariția fisurilor permeabilitatea torcretului este foarte mică. După apariția fisurilor, pierderile căptușelii cu torcret slab armat, chiar la presiuni mult mai mici decât cea care a produs fisurarea, sînt cu mult mai mari

decît în situația căptușelii nefisurate. Prezența unei armături puternice limitează foarte mult deschiderea fisurilor, ceea ce împiedică apariția unor pierderi suplimentare importante.

În general vorbind, căptușeliile tunelurilor sub presiune nu sînt perfect etanșe, chiar și cele cu fororeț destul de gros în interior, datorită neuniformității execuției torcretului, umflării fisurilor capilare etc.

Această lipsă de etanșeitățe a căptușeliilor, înainte chiar de apariția fisurilor în octon, influențează sensibil comportarea statică a căptușelii, deoarece contribuie într-o măsură mai mult sau mai puțin accentuată la micșorarea eforturilor de întindere care apar în căptușeală. Cu cît căptușeala este mai permeabilă, cu atît raportul între presiunea interioară și presiunea exterioară va fi mai apropiată de unitate și deci, eforturile vor fi mai mici.

Concluziile asupra modului cum trebuie să fie tratată problema alegerii și dimensionării căptușelii tunelurilor sub presiune se pot rezuma după cum urmează .

În primul rînd, ca o observație generală, roca nu trebuie caracterizată numai prin caracteristicile sale clasice K_0 , ci și prin caracteristicile sale în ceea ce privește permeabilitatea și felul cum se dezvoltă împingerea activă.

Se pot considera următoarele cazuri :

- Tunelul străbate, pe o bună parte a traseului, roci foarte dure, nefisurate, cu coeficientul $K_0 \geq 1000 \text{ kgf/cm}^2$, practic impermeabile, cu coeficienți de permeabilitate $k < (10^{-5} - 10^{-6}) \text{ cm/s}$. În acest caz s-ar putea lăsa necăptușit dacă n-ar interveni problema pierderilor de sarcină. Dacă se prevede căptușeală, este indicat ca aceasta să se execute din beton simplu, marcă redusă (100 - 150) ; cît mai subțire, mini-

mul constructiv, peste care se aplică tencuială torcretată, sau numai căptușeală simplă de torcret aruncat direct pe rocă.

Fisurile care pot apărea în exploatare pe unele zone nu prezintă practic nici o importanță, deoarece nu periclitează stabilitatea și nu duc la mărirea pierderilor de apă.

- Tunelul străbate roci dure sau foarte dure ($K_0 \geq 500$), fisurate, cu coeficientul de permeabilitate $k \geq (10^{-5} - 10^{-6})$ cm/s. În această situație, funcția principală pe care trebuie să o îndeplinească căptușeala este micșorarea cât mai mult a pierderilor de apă în exploatare.

Tunelul străbate roci fisurate, cu coeficient de permeabilitate $k \geq 10^{-5} - 10^{-6}$, slabe ($K_0 = 100 - 500$). În acest caz în afară de funcția de reducere a permeabilității, căptușeala are și rol de sprijinire a mantelului.

Grosimea căptușelii este indicat să se calculeze punând condiția clasică ca în exploatare să nu fisureze, iar armătura este necesar să fie dimensionată astfel încât să poată împiedica deschiderea fisurilor în cazul când ele totuși s-ar produce. La dimensionarea grosimii căptușelii se iau în considerație eforturile produse numai de presiunea interioară a apei, împingerea mantelului, greutatea proprie, luate după formule recomandate de diferiți autori. Armătura se dimensionează punând condiția să preia, fără să depășească rezistența admisibilă, forța de întindere care ar produce fisurarea betonului.

Trebuie remarcat că, în cazul acestor roci puternic fisurate, cu toate măsurile care se iau, pierderile de apă în exploatare vor fi mai mari decât în cazul când tunelul străbate roci practic impermeabile. În ultimii ani, pentru astfel de situații, s-a trecut în unele țări la aplicarea unui nou tip de căptușeli - căptușeli precomprimate.

57

- Galeria străbate roci cu caracter pronunțat plastic, roci care au, în general, un conținut ridicat de material argilos, ceea ce face ca ele să intre în categoria rocilor impermeabile. Coeficientul de permeabilitate fiind mai mic ca 10^{-5} - 10^{-6} cm/s nu este necesară dimensionarea căptușelii pe considerentul împiedicării fisurilor. Pe de altă parte, presiunile date de împingerea muntelui, curgerea lentă a betonului plus umflarea argilei pot atinge valori excepțional de mari, valori ce devin hotărâtoare pentru stabilirea grosimii. Ipoteza care dimensionează în mod normal căptușeala va fi tunelul golit, iar pe extradós acționează împingerea muntelui cu valoarea ei maximă probabilă. Valoarea ei, așa cum s-a văzut, nu poate fi stabilită precis ca în cazul apei din interior. Presiunea exterioară a muntelui va fi introdusă în calcul sub forma unei presiuni medii uniforme pe contur. Deoarece vor apărea totuși unele momente încovășitoare este remarcabil ca, în acestfel de cazuri, căptușeala să fie prevăzută cu armarea minimă. Este necesar ca armarea să fie continuă pe tot conturul și deoarece nu se cunosc semnele momentelor, deci zona care va fi întinsă, este bine ca armatura să fie duală (la intradós și extradós) ; situație care duce la dualizarea coeficientului minim de armare.

În concluzie, încărcările ce solicită înordămintea tunelurilor sînt multiple. Introducerea în calcul a încărcărilor, trebuie să țină cont de conlucrarea rocii cu înordămintea, în acest sens, determinarea presiunii pasive corespunzătoare reacției încărcării reprezintă un element de bază al calculului static.

Aprecierea coeficientului de put, al modului de elasticitate, a coeficientului împingerii active, etc., trebuie făcută cu atenție deosebită. În cele mai multe situații, aceste

caracteristici se determină pe măsură ce se execută excavațiile. În funcție de aceste elemente calculele trebuie executate cu maximum de operativitate.

Capitolul 3. CONTRIBUTII LA CALCULUL CAPTUȘELILOR GALERIILOR SUBTERANE

§ 3.1.- Sistematizarea calculului static a căptușelilor galeriilor subterane

1.- Generalități

Realizarea nodurilor hidrotehnice mari presupune galerii lungi, necesitate de concentrarea în puncte cât mai puține a debitelor. Execuția lor cere o sistematizare a calculelor statice și de rezistență.

Dimensionarea rapidă și eficientă a căptușelilor galeriilor este impusă de faptul că sînt foarte dese cazurile cînd, pe măsura execuției galeriei, se determină parametrii caracteristici ai rocilor și în funcție de aceștia se dimensionează căptușeala dîndu-se soluție diferențiată de armare și betonare pe fiecare porțiune de galerie.

În ultima vreme în practica construcțiilor /68/ galeriilor s-a răspîndit foarte mult tipul de secțiune "specială" a căreia formă geometrică a fost prezentată și studiată în cap.2. Secțiunea are avantajul de a putea fi adusă la oricare alt tip de secțiune, prin particularizări, așa cum se poate vedea din tab.2.1.-6.

2.- Fonctii de echilibru

Se definește o secțiune închisă fig.2.1-1 a cărei formă este determinată de ecuația :

$$s = r f(\theta), \quad (3.1-1)$$

unde :

- θ - unghiul curent, măsurat față de raza origine ;
- r - constanta de omotetie a secțiunilor de aceeași formă ;
- $f(\theta)$ - funcția ce definește forma secțiunii.

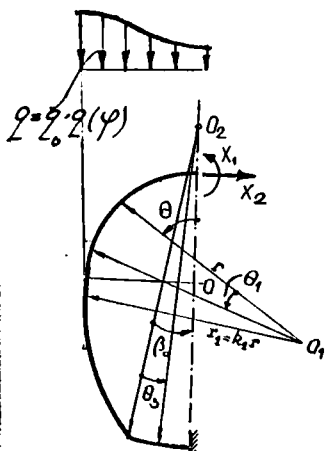


Fig. 3.1-1 Forma de bază

Secțiunea se acceptă a fi simetrică în raport cu o axă verticală și încărcată simetric. În acest caz, ridicarea nedeterminării se poate face printr-un sistem de bază tăiat după verticală. La unul din capete se consideră încastrare iar la cheie se introduc legăturile.

Conform ipotezei simetriei secțiunii și a încărcării, în secțiunea de la cheie sînt numai două necunoscute distincte (fig.3.1-1).

Solicitările create de necunoscutele unitare, pe sistemul de bază au valorile :

$$u_1 = 1 \quad ; \quad v_1 = 0 \quad ; \quad t_1 = 0$$

$$u_2 = 1 r f_1(\theta) ; n_2 = 1 f_2(\theta) ; t_2 = 1 f_3(\theta) \quad (3.1-2)$$

Funcțiile $f_1(\theta)$; $f_2(\theta)$; $f_3(\theta)$ depind de forma secțiunii și derivă din funcția $f(\theta)$ ce definește secțiunea, ele pot fi calculate din funcția $f(\theta)$ cunoscând condițiile geometrice ale secțiunii.

Sistemul ce ridică nedeterminarea, în metoda eforturilor, poate fi scris anulând deplasările după necunoscutele X_1 și X_2 /69/ în punctul de la cheia arcului :

$$\begin{vmatrix} \delta_{11} & \delta_{12} \\ \delta_{21} & \delta_{22} \end{vmatrix} \begin{vmatrix} X_1 \\ X_2 \end{vmatrix} + \begin{vmatrix} \Delta_{1q} \\ \Delta_{2q} \end{vmatrix} = 0 \quad (3.1-3)$$

unde :

δ_{ij} - invarianții sistemului de bază ales, deplasările pe direcțiile necunoscutelor din efectul încărcărilor unitare a necunoscutelor ;

Δ_{ip} - deplasările pe direcțiile necunoscutelor datorită încărcărilor exterioare.

Conducerea calculului sub această formă se dovedește a fi anevoioasă dacă numărul încărcărilor este mare. În lucrarea de față sistematizarea calculului este condusă prin transformarea acestui sistem într-unul avînd mării adiimensionale. Se va urmări de asemenea, scrierea și a eforturilor sub formă adiimensională. În acest fel conducerea calculului în mod paralel, pentru mai multe încărcări este mult ușurată iar întabularea și trasarea diagramelor de calcul se ușurează prin micșorarea numărului de parametri ce variază independent.

Pentru a se ajunge la necunoscute adiimensionale se calculează :

$$d_{11}^{\circ} = \frac{EJ_0}{r} d_{11}^r = \int_0^{\frac{J_0}{J_0}} f_1(\theta) d\theta$$

$$d_{12}^{\circ} = \frac{EJ_0}{r^2} d_{12}^r = \int_0^{\frac{J_0}{J_0}} f_1'(\theta) f_2(\theta) d\theta$$

$$(3-1-4) \quad d_{22}^{\circ} = \frac{EJ_0}{r^3} d_{22}^r = \int_0^{\frac{J_0}{J_0}} f_1''(\theta) f_2(\theta) d\theta + \int_0^{\frac{J_0}{\lambda_0 \cdot r^2}} \left(\frac{J_0}{J_0} \right) f_2''(\theta) d\theta$$

$$\Delta_{1q}^{\circ} = \frac{EJ_0}{q_0 \cdot r^3} \Delta_{1q}^r = \int_0^{\frac{J_0}{J_0}} \left(\frac{M_{0q}^{\circ}}{q_0 \cdot r^2} \right) f_1(\theta) d\theta$$

$$\Delta_{2q}^{\circ} = \Delta_{2q}^r \frac{EJ_0}{q_0 \cdot r^4} = \left[\int_0^{\frac{J_0}{J_0}} \left(\frac{M_{0q}^{\circ}}{q_0 \cdot r^2} \right) f_1'(\theta) f_2(\theta) d\theta + \int_0^{\frac{J_0}{\lambda_0 \cdot r^2}} \left(\frac{N_{0q}^{\circ}}{q_0} \right) \left(\frac{J_0}{J_0} \right) f_2'(\theta) d\theta \right]$$

In relațiile de mai sus s-a notat :

d_{ij}° - invarianții sistemului scriși sub formă adimensională ;

Δ_{ij}° - deplasările adimensionale datorate încărcărilor ;

$M_{0q}^{\circ} N_{0q}^{\circ}$ - solicitările din încărcările exterioare pe sistemul de bază.

In calcule se vor folosi notațiile :

$$i_0 = \frac{J_0}{J_0}$$

(3-1-5)

, coeficientul raportului momentelor de inerție, de asemenea adimensional

$$\gamma_0 = \frac{\mathcal{F}_0}{\lambda_0 \cdot r^2} \quad , \text{ coeficientul efectului torței axiale .}$$

In ipoteza că, pe o anumită porțiune grosimea elementului nu variază continuu valorile de mai sus se scriu :

$$l_0 = \left(\frac{d_0}{d_0} \right)^3 = \text{constant} \quad (3.1-6)$$

$$\gamma_0 = \frac{1}{12 \lambda^2}$$

$\lambda = \frac{d_0}{r}$, grosimea relativă a căptușelii

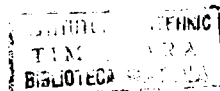
Modul adimensional de scriere a acestor relații are un mare avantaj dacă se observă că :

- Valorile δ_{11}^0 , δ_{12}^0 ; δ_{22}^0 , depind numai de forma secțiunii nu și de mărimea secțiunii (deci de dimensiunile efective ale secțiunii). Acest lucru are un avantaj pentru că valorile coeficienților odată calculați pentru o anumită formă a secțiunii vor fi aceiași pentru toate secțiunile omotetice unei forme date (dar de dimensiuni geometrice diferite).

- Valorile A_{12}^0 , A_{22}^0 depind numai de forma secțiunii și modul de distribuție al încărcării nu și de mărimea secțiunii sau a încărcării. Acest lucru înseamnă că : odată calculată pentru o anumită formă de încărcare și o anumită formă a secțiunii ei vor fi valabili pentru diferite mărimi de încărcări de aceeași distribuție și diferite mărimi ale secțiunii.

Se vede, de altfel, că mărimile :

$$\left(\frac{M_{0q}^0}{Q_0 \cdot r^2} \right) \quad \left(\frac{N_{0q}^0}{Q_0 \cdot r} \right)$$



ce intră în relațiile de mai sus au formă adimensională. În calculele ele vor fi trecute în paranteză pentru a simboliza independența lor de mărimea încărcării (precizată prin Q_0) și mărimea secțiunii (precizată prin r)

După același principiu se definesc și necunoscute adi-

mensionale, conform relațiilor de mai jos :

$$\begin{aligned} X_1^{\circ} &= \left(\frac{X_1}{q_0 \cdot r^2} \right) \\ X_2^{\circ} &= \left(\frac{X_2}{q_0 \cdot r} \right) \end{aligned} \quad (3.1-7)$$

mărimile X_1° , X_2° depind de forma secțiunii și modul de distribuție al încărcării (nu și de mărimea secțiunii și a încărcării definite prin r și q_0).

Sistemul de ecuații (3.1-3) poate fi adus la o formă convenabilă și generală dacă se introduce mărimile definite de relațiile (3.1-4) ; (3.1-7). În acest mod se obține :

$$\begin{vmatrix} \frac{r}{E\mathcal{J}_0} d_{11}^{\circ} & \frac{r^2}{E\mathcal{J}_0} d_{12}^{\circ} \\ \frac{r^2}{E\mathcal{J}_0} d_{21}^{\circ} & \frac{r^3}{E\mathcal{J}_0} d_{22}^{\circ} \end{vmatrix} \begin{vmatrix} X_1^{\circ} q_0 r^2 \\ X_2^{\circ} q_0 r \end{vmatrix} + \begin{vmatrix} \frac{q_0 r^3}{E\mathcal{J}_0} \Delta_{1q}^{\circ} \\ \frac{q_0 r^4}{E\mathcal{J}_0} \Delta_{2q}^{\circ} \end{vmatrix} = 0 \quad (3.1-8)$$

prin împărțirea sistemului cu valorile $\frac{q_0 r^3}{E\mathcal{J}_0}$ în linia întâia și $\frac{q_0 r^4}{E\mathcal{J}_0}$ în linia a doua se obține sistemul de mai jos.

$$\begin{vmatrix} d_{11}^{\circ} & d_{12}^{\circ} \\ d_{21}^{\circ} & d_{22}^{\circ} \end{vmatrix} \begin{vmatrix} X_1^{\circ} \\ X_2^{\circ} \end{vmatrix} + \begin{vmatrix} \Delta_{1q}^{\circ} \\ \Delta_{2q}^{\circ} \end{vmatrix} = 0 \quad (3.1-9)$$

Sistemul 3.1-9 este complet adimensional și are o generalitate mare pentru faptul că este unul și același pentru secțiuni de aceeași formă și încărcări cu același mod de distribuție.

Rezolvarea sistemului este simplă, necunoscutele adimensionale au valorile :

$$X_1^{\circ} = \frac{d_{12}^{\circ}}{\Delta^{\circ}} \Delta_{2q}^{\circ} - \frac{d_{22}^{\circ}}{\Delta^{\circ}} \Delta_{1q}^{\circ} \quad ; \quad X_2^{\circ} = K_{12}^{\circ} \Delta_{2q}^{\circ} - K_{22}^{\circ} \Delta_{1q}^{\circ} \quad (3.1-10)$$

$$X_2^0 = \frac{d_{12}^0}{\Delta^0} \Delta_{1q}^0 - \frac{d_{11}^0}{\Delta^0} \Delta_{2q}^0 \dots = k_{12}^0 \Delta_{1q}^0 - k_{11}^0 \Delta_{2q}^0$$

cu notațiile :

$$k_{ij}^0 = \frac{d_{ij}^0}{\Delta^0} \quad (3.1-11)$$

$$\Delta^0 = d_{11}^0 d_{22}^0 - (d_{12}^0)^2$$

3.- Scrierea eforturilor

Eforturile M_θ , N_θ , T_θ în lungul axei mediane a gale-
leriei pot fi scrise sub o formă convenabilă. Pentru o secțiune
curentă, definită de unghiul θ :

$$\left(\frac{M_\theta}{q_0 \cdot r^2} \right) = \left(\frac{M_{q\theta}^0}{q_0 \cdot r^2} \right) + X_1^0 + X_2^0 f_1(\theta) = F_M(\theta)$$

$$\left(\frac{N_\theta}{q_0 \cdot r} \right) = \left(\frac{N_{q\theta}^0}{q_0 \cdot r} \right) + X_2^0 f_2(\theta) = F_N(\theta) \quad (3.1-12)$$

$$\left(\frac{T_\theta}{q_0 \cdot r} \right) = \left(\frac{T_{q\theta}^0}{q_0 \cdot r} \right) + X_2^0 f_3(\theta) = F_T(\theta)$$

Relațiile de mai sus sînt scrise sub formă adimensio-
nală, membru din dreapta ecuației nu depinde decît de forma
secțiunii și a distribuției încărcării prin constantele X_1^0 , X_2^0 ,

funcțiile variază numai cu unghiul curent θ și pot fi
intabulate sau reprezentate grafic de-a lungul conturului secțiun-
ii sau pe desfășurata secțiunii în raport cu unghiul curent

fig.3.1-2.

În concluzie, ordinea de efectuare a calculelor este
următoare:

- calculul invariantilor adimensionali d_{11}^0 , d_{12}^0 , d_{22}^0
- din expresiile (3.1-4) ;

- calculul mărlurilor ce depind de forma încărcării :

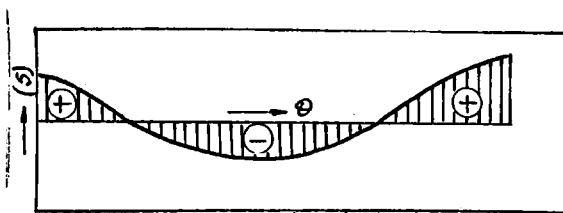


Fig. 3.1-2 Variația solicitărilor

Δ_1^0 , Δ_2^0 din relațiile (3.1-4) ;

- Se calculează x_1^0 ,
 x_2^0 , din relațiile (3.1-10).

+ Se calculează expresiile solicitărilor din 3.1-12

$$\begin{aligned} M_{\theta} &= F_M(\theta) z_0 r^2 \\ N_{\theta} &= F_N(\theta) z_0 r \\ T_{\theta} &= F_T(\theta) z_0 r^2 \end{aligned} \quad (3.1-13)$$

Variația expresiilor de mai sus se poate obține prin intermediul unghiului θ . Calculul poate fi intabulat sau trecut în diagrame.

Schema logică de conducere a calculului la o mașină electronică este dată ~~în fig. 4.1-17~~ în fig. 4.1-17 și fig. 4.1-18.

§ 3 - 2 Studiul efectului forței axiale în calculul static al galeriilor

Calculul deplasărilor pentru un contur dat se face ținând cont de relația :

$$\Delta = \int_s \frac{M_i M_j}{EJ} ds + \int_s \frac{N_i N_j}{EA} ds + \int_s \frac{T_i T_j}{kEA} ds \quad (3.2-1)$$

Este cunoscut faptul că, în general efectul forței tăietoare poate fi neglijat în calcule [70], [71], pentru contururi formate din elemente drepte sau contururi curbate având curbura mică.

Galeriile subterane se execută, în general, cu oaltă superioară sub formă de arc de cerc, pereții laterali și radierul se execută drept sau având raze de trasare relativ mari așa după cum s-a văzut din studiile geometrice ale cap.2.

În cele ce urmează se va studia efectul luării în considerare a forței axiale în calculul deplasărilor, pentru cazul bolții superioare. Restul conturului galeriilor având curbură mică se poate neglija de la sine efectul forței axiale.

Se adoptă un contur de formă circulară având unghiul la centru 2φ

În acest caz (fig.3.2-1) se pot scrie :

$$\begin{aligned} n_1 &= 1 & n_2 &= 0 & t_1 &= 0 \\ n_2 &= -r(1-\cos\varphi) & n_1 &= r\cos\varphi & t_2 &= r\sin\varphi \end{aligned} \quad (3.2-2)$$

Efectul forței axiale apare în calculul valorilor

$$\sigma_{22}^{\circ}, \Delta_{22}^{\circ} \text{ sub forma : (vezi 3.1-4)}$$

$$\sigma_{22}^{\circ} = \int_{\varphi} \frac{J_0}{J_{\varphi}} (1 - \cos \varphi)^2 d\varphi + \int_{\varphi} \left(\frac{J_0}{J_{\varphi}} \right) \eta \cos^2 \varphi d\varphi \quad (3.2-3)$$

Se limitează studiul, în acest paragraf, numai pentru cazul grăsimii constante a căptușelii, relația de mai sus se pune sub forma :

$$\sigma_{22}^{\circ} = \lambda \int_{\varphi} (1 - \cos \varphi)^2 d\varphi [1 + \epsilon_N]$$

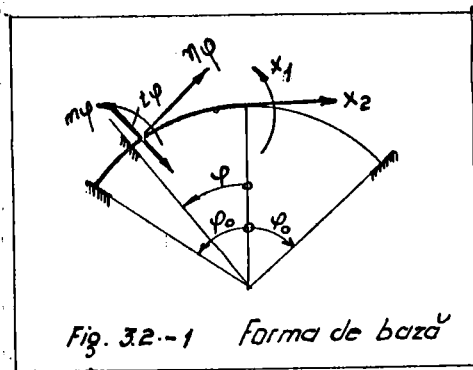


Fig. 3.2-1 Forma de bază

cu notația :

$$\epsilon_N = \eta_0 \frac{\int_0^{\varphi_0} \cos^2 \varphi d\varphi}{\int_0^{\varphi_0} (1 - \cos \varphi)^2 d\varphi} \quad (3.2-4)$$

Formula (2.3-3) calculează valoarea ϵ_N , care dă semnificația procentuală a efectului forței axiale în calculul valorii σ_{22}° . Făcînd calculele se obține :

$$\epsilon_N = \frac{1}{12\lambda^2} \frac{\varphi_0 + \sin \varphi_0 \cos \varphi_0}{(2\varphi_0 - \varphi_0 \sin \varphi_0) + (\varphi_0 + \sin \varphi_0 \cos \varphi_0)} \quad (3.2-5)$$

Pentru valori curente ale unghiului $\varphi_0 \in (60^\circ, 90^\circ)$ expresia de mai sus este :

$$\epsilon_N \in \left(\frac{1}{12\lambda^2} 0,23, \frac{1}{12\lambda^2} 0,10 \right)$$

acceptînd o valoare medie a coeficienților 0,18 - 0,23, avînd în vedere că diferența între ei nu este mare, se poate scrie :

$$\epsilon_N \% = \frac{1,66}{\lambda^2} \quad (3.2-6)$$

Reprezentarea grafică a acestei relații arată ca în fig.3.2-2.

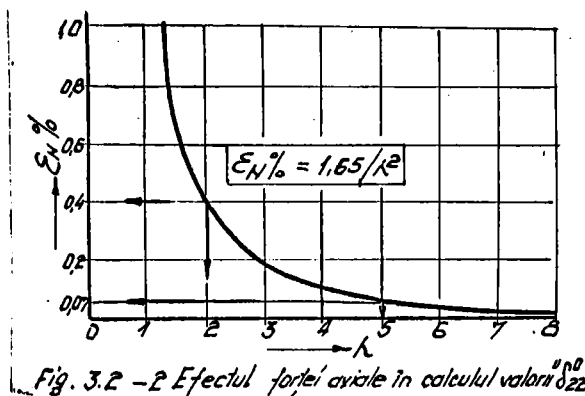


Fig. 3.2 - 2 Efectul forței axiale în calculul valorii δ_{22}^0

Se vede că efectul forței axiale nu depășește, față de efectul momentului valoarea de 0,5 % pentru valori $\lambda > 2$

În concluzie, efectul forței axiale se introduce în calculul

valorilor δ_{22}^0 numai pentru arce groase având $\lambda < 2$ pentru arcele subțiri întâlnite cel mai des în calcule efectul forței axiale este neglijabil.

Calculul valorii Δ_{2q}^0 se face după relația (vezi 3.1-4

$$\Delta_{2q}^0 = - \int_{\varphi} \frac{q_0}{r} \left(\frac{M_{\varphi}^0}{q_0 \cdot r^2} \right) (1 - \cos \varphi) d\varphi + \int_{\varphi} \frac{q_0}{r} \gamma_{\varphi} \left(\frac{M_{\varphi}^0}{q_0 \cdot r} \right) \cos \varphi d\varphi \quad (3.2-7)$$

În mod analog, relația de mai sus se scrie :

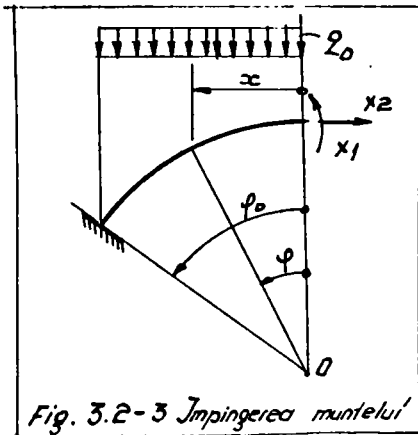
$$\Delta_{2q}^0 = - \gamma_{\varphi} \int_{\varphi} \frac{M_{\varphi}^0}{q_0 \cdot r^2} (1 - \cos \varphi) d\varphi [1 - \epsilon_N] \quad (3.2-8)$$

Efectul forței axiale în calculul acestui element este conținut în raportul :

$$\epsilon_N = \frac{\gamma_{\varphi} \int_0^{\varphi} \left(\frac{M_{\varphi}^0}{q_0 \cdot r} \right) \cos \varphi d\varphi}{\int_0^{\varphi} \left(\frac{M_{\varphi}^0}{q_0 \cdot r^2} \right) (1 - \cos \varphi) d\varphi} \quad (3.2-9)$$

Se analizează valoarea \mathcal{E}_N pentru încărcarea uniformă distribuită a împingerii muntelui, ce apare cel mai des la calculul gurilor.

În acest caz (fig.3.2-3) se pot calcula expresiile :



$$\frac{M_x^0}{q_0 r^2} = -\frac{1}{2} \sin^2 \varphi$$

(3.2-10)

$$\frac{N_x^0}{q_0 r} = -\frac{1}{2} \sin \varphi$$

cu aceste valori se poate scrie :

$$\mathcal{E}_N = \frac{1}{12 \lambda^2} \frac{\int_0^{\varphi_0} \sin \varphi \cos \varphi d\varphi}{\int_0^{\varphi_0} \sin^2 \varphi (1 - \cos \varphi) d\varphi} = \frac{1}{12 \lambda^2} \mathcal{E}_{\varphi_0} \quad (3.2-11)$$

unde :

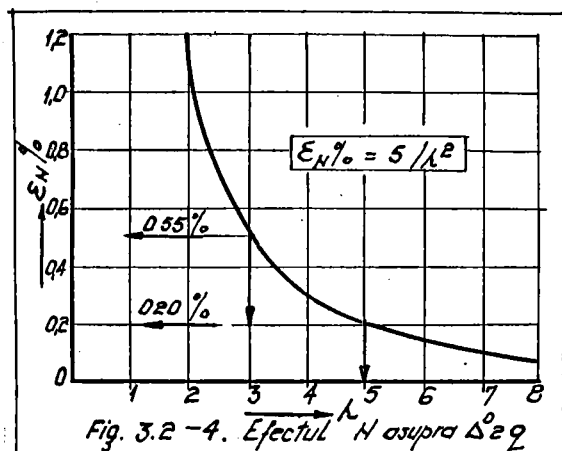
$$\mathcal{E}_{\varphi_0} = \frac{\sin^2 \varphi_0}{\varphi_0 - \sin \varphi_0 \cos \varphi_0 + \frac{2}{3} \sin^3 \varphi_0}$$

Valoarea $\mathcal{E}_{\varphi_0} \in (0,7 \dots 0,6)$ pentru valori ale unghiului $\varphi_0 \in (60^\circ \dots 90^\circ)$. Pe acest interval valorile \mathcal{E}_{φ_0} pot fi considerate deoarece diferența între ele este mică.

$$\mathcal{E}_{N\%} \approx \frac{0,8}{12 \lambda^2} 100 = \frac{5}{\lambda^2}$$

Se vede din relația de mai sus și fig.3.2-4 că pentru valori $\lambda > 3$ efectul forței axiale este sub 1 % și deci pentru cele ce apar cel mai des la calculul gurilor, valoarea efectivă este

poate fi neglijat în calculul valorii $\Delta \varphi$.



În concluzie, la galeriile ce apar curent în practică, cu valori ale deschiderii arcelor $\varphi \in (60^\circ \dots 90^\circ)$ și cu grosimi relative $\lambda = \frac{r}{d} > 3$ efectul forței axiale în calculul static poate fi neglijat în raport cu efectul momentului inco-

voietor.

Pentru alte distribuții ale încărcării, valoarea coeficientului ϵ_N crește cu foarte puțin, elementul preponderent fiind factorul $\frac{1}{12\lambda^2}$. Rezultă că grosimea arcului este preponderentă în acest calcul, ori se vede că efectul grosimii arcului scade cu patratul grosimii relative.

§ 3.3 - Studiul efectului curburii în calculul galeriilor

Efectul curburii în calculul static al galeriilor poate fi studiat în raport cu efectul momentului incovoietor [72] deoarece se știe deplasarea luând în considerare termenii ce țin cont de curbura :

$$\Delta l = \int_s m_i M_i \frac{ds}{EJ} + \int_s n_i N_i \frac{ds}{EA} - \int_s q_i M_i \frac{ds}{EA_r} - \int_s \frac{m_i N_i}{EA_r} ds \quad (3.3-1)$$

Scrind relația sub formă adimensională și neglijind termenul ce conține forța axială (neglijabil în raport cu efectul momentului, conform celor găsite în paragraful precedent), se obține :

$$\Delta_i = \int_s m_i M_i \frac{ds}{EI} (1 - \epsilon_p) \quad (3.3-2)$$

Valoarea ϵ_p apare în calculul valorilor δ_{22}° și Δ_{2g}° . Se va studia mărimea ϵ_p pentru fiecare caz în parte

1.- Valoarea ϵ_p pentru calculul mărării δ_{22}° , poate fi ușor obținută pentru forma circulară, avînd grosime constantă în lungul arcului :

$$\epsilon_p = \gamma_0 \frac{2 \int_0^{\gamma_0} \left(\frac{m_i}{r}\right) r_i d\varphi}{\int \left(\frac{m_i}{r}\right)^2 d\varphi} \quad (3.3-3)$$

introducînd relațiile (3.2-2) se obține :

$$\epsilon_p = 2 \frac{1}{12 \lambda^2} \frac{\int_0^{\gamma_0} (1 - \cos\varphi) \cos\varphi d\varphi}{\int_0^{\gamma_0} (1 - \cos\varphi)^2 d\varphi} \quad (3.3-4)$$

Efectuînd calculele impuse de relația (3.3-4) se găsește

$$\epsilon_p = 2 \frac{1}{12 \lambda^2} \epsilon_{\gamma_0} \quad (3.3-5)$$

$$\epsilon_{\gamma_0} = \frac{4 \sin \gamma_0 - 2 \gamma_0 - \sin 2 \gamma_0}{6 \gamma_0 + \sin 2 \gamma_0 - 8 \cdot \sin \gamma_0}$$

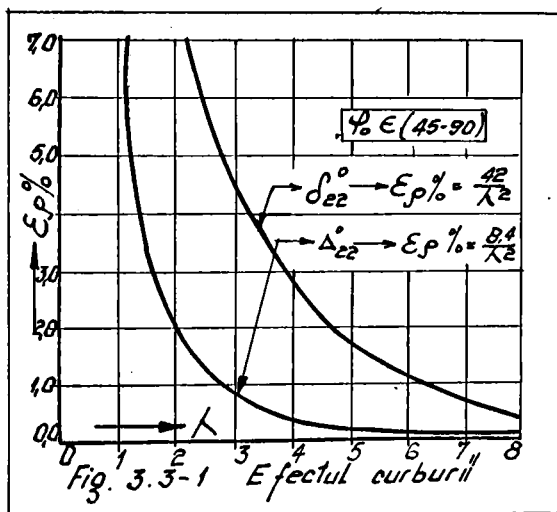
pentru $\gamma_0 = 60^\circ$ se găsește $\epsilon_p = 2,5$

În calculul arcelor cele mai des întîlnite $\gamma_0 \in (45^\circ, 90^\circ)$ valoarea δ_{22}° va fi influențată de efectul curburii cu valoarea

$$\epsilon_p \% = 2 \frac{100}{12 \lambda^2} 2,5 = \frac{42}{\lambda^2} \quad (3.3-6)$$

pentru $\lambda = 5$ $\epsilon_p \% = 1,7\%$

- Pentru arce subțiri avînd $\lambda > 5$ se poate neglija, în calculul valorii δ_{22}^0 , efectul curburii.



2.- Valoarea ϵ_p în calculul valorii Δ_{22}^0 , va avea expresia :

$$\epsilon_p = \gamma \frac{\int_{\varphi} n_i \left(\frac{M_i}{Q_0 R^2} \right) d\varphi + \int_{\varphi} \left(\frac{m_i}{R} \right) \left(\frac{N_i}{Q_0 R} \right) d\varphi}{\int_{\varphi} \left(\frac{m_i}{R} \right) \left(\frac{M_i}{Q_0 R^2} \right) d\varphi} \quad (3.3-7)$$

în care se introduc valorile corespunzătoare unei secțiuni de formă circulară avînd deschiderea $2\varphi_0$ și valorile eforturilor M_i , N_i corespunzătoare distribuției încărcării celei mai reprezentative, împingerea uniformă a rocii.

Din relațiile (3.2-2), respectiv (3.2-10) se scrie :

$$M_i = -(1 - \cos \varphi) \quad \pi_i = \cos \varphi$$

$$\frac{M_i}{q \cdot l^2} = -\frac{1}{2} \sin^2 \varphi \quad N_i = -\frac{1}{2} \sin \varphi$$

cu aceste valori relația (3.3-7) devine :

$$E_p = \frac{1}{12 \lambda^2} \frac{\int_{\varphi} -\frac{1}{2} \sin^2 \varphi \cdot \cos \varphi \cdot d\varphi + \int_{\varphi} \frac{1}{2} \sin \varphi (1 - \cos \varphi) d\varphi}{\int_{\varphi} \frac{1}{2} (1 - \cos \varphi) \sin^2 \varphi d\varphi} \quad (3.3-8)$$

Efectuând integralele impuse de relația (3.3-8) se obține :

$$E_p = \frac{1}{12 \lambda^2} E_{\varphi} \quad (3.3-9)$$

$$E_{\varphi} = \frac{-\frac{1}{3} \sin^3 \varphi_0 + 1 - \cos \varphi_0 - \frac{1}{2} \sin^2 \varphi_0}{\frac{1}{2} \varphi_0 - \frac{1}{4} \sin 2\varphi_0 - \frac{1}{3} \sin^3 \varphi_0}$$

Pentru $\varphi_0 = 60^\circ$ se găsește $E_{\varphi} = -1$

Efectul curburii în calculul termenului Δ_{eq}^0 va fi adus de coeficientul :

$$E_p \% = \frac{100}{12 \lambda^2} = \frac{8,4}{\lambda^2} \quad (3.3-10)$$

Un arc avînd grosimea relativă $\lambda = 5$ va conduce la valoarea : $E_p \% \approx 0,3\%$

- Pentru arce susțirii, avînd $\lambda > 5$, se poate neglija în calculul valorii Δ_{eq}^0 efectul curburii.

In concluzie, efectul curburii poate fi neglijat în calculele statice pentru arce susțirii ($\lambda = \frac{l}{r} > 5$) deoarece :

- în calculul valorii δ_{22}^0 eroarea este sub 1,7 % ;
- în calculul valorii Δ_{2q}^0 eroarea este sub 0,3 %.

Celelalte valori ce intră în ecuațiile de echilibru (3.1-9) nu sînt afectate de efectul curburii.

Concluziile paragrafelor 3.2-2 și 3.2.3 permit o simplificare, în cele ce urmează, a calculului. Pentru arcele înfilnate frecvent în construcția tunelurilor ($\lambda > 5$), calculele statice se pot conduce luînd în considerare numai efectul momentelor încovoiătoare.

§ 3.4 - Calculul deformațiilor

Deformațiile îmbrăcămintilor galeriilor subterane nu se pot manifesta liber. În condițiile în care galeria se găsește în contact cu roca înconjurătoare, deformațiile proprii ale galeriei sînt în strînsă legătură cu caracteristicile elastice ale rocii. Împiedecarea deformații libere a îmbrăcămintii (sub acțiunea încărcării), creează în jurul galeriei reacțiuni ale rocii. Încărcarea ce ia naștere în urma concluzării elastice a rocii cu îmbrăcămintea se numește presiune pasivă fig.3.4-1

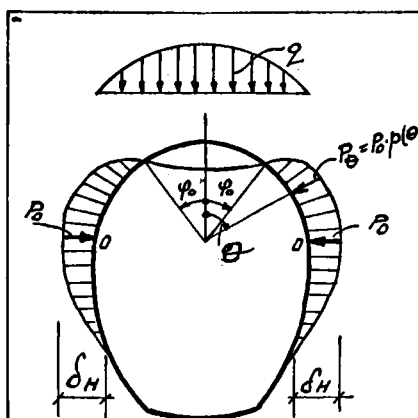


Fig. 3.4-1 Deformația și împingerea pasivă

a mantelii. Ipoteza cea mai răspîndită [73] presupune că într-un loc oarecare presiunea este proporțională cu deformația totală a îmbrăcămintii (ipoteza lui Winkler), conform relației

$$p = k \cdot \delta \quad (3.4-1)$$

unde :

β - presiunea pasivă ;

k - coeficientul de pat la încărcări normale a rocii ;

δ - deplasarea normală a îmbrăcăminții.

Conform relației 3.4-1 încărcarea din presiunea pasivă s-ar obține după ce în prealabil s-au calculat toate deformațiile totale. Problema pusă sub această formă este static nedeterminată deoarece deformația totală δ include lucrarea în considerare a încărcării propriu zise și a încărcării datorită presiunii pasive, presupusă (apriori) cunoscută.

Pentru simplificarea calculelor, în literatură [24] se admite ca presiunea pasivă să fie acceptată după o lege de variație dată (vezi cap. IV, V, VI).

Legea de variație este adoptată în funcție de deformația elastică cea mai caracteristică. În cele mai multe cazuri se acceptă deformația orizontală δ_H , drept cea mai semnificativă. Încărcarea din presiunea pasivă din acest punct se va nota :

$$\beta = k \delta_H \quad (3.4-2)$$

Distribuția încărcării pasive, va urmări forma deformației și va fi exprimată de o lege pusă sub forma :

$$\beta = \beta_0 \cdot f(\theta) \quad (3.4-3)$$

Problema se reduce în acest mod la determinarea încărcării β_0 , sau ceea ce este tot una, la determinarea deformației δ_H în punctul de pe axa orizontală.

Încărcarea β_0 va rezulta din ecuația :

$$\delta_H^2(q) + \delta_H^p(\rho) + \delta_H^r(l) - 2 \frac{\beta_0}{k} \quad (3.4-4)$$

unde :

δ_H^q, δ_H^r deformația în punctul O datorată încărcării exterioare q (cunoscută) și a reacțiunii din această încărcare ;

δ_H^p - deformația în punctul O datorată încărcării p , ce poate fi determinată abstractiv făcând de un factor p_0 .

p_0 - încărcarea necunoscută în punctul O ;

k - coeficientul de pat al rocii (după normală).

Relația 3.4-4 se poate scrie și sub forma unor coeficienți adimensionali ai deplasării

$$\frac{q \cdot r^4}{EJ_0} \delta_H^{oq} (q_0) + \frac{p_0 \cdot r^4}{EJ_0} \delta_H^{op} (p_0) + \frac{q_{or} \cdot r^4}{EJ_0} \delta_H^{or} (q_{or}) = 2 \frac{p_0}{k} \quad (3.4-5)$$

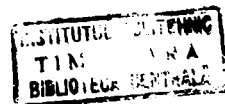
unde :

$\delta_H^{oq}, \delta_H^{op}, \delta_H^{or}$ reprezintă deplasările adimensionale ale încărcării q_0 , reacțiunii q_{or} și ale presiunii pasive p_0 . Necunoscuta problemei (p_0) se explicitază din ecuația :

$$p_0 = q_0 \frac{\delta_H^{oq} + \frac{q_{or}}{q_0} \delta_H^{or}}{2 \frac{EJ_0}{k \cdot r^4} - \delta_H^{op}} \quad (3.4-6)$$

mărimea deformației specifice δ_H^o se calculează cu metoda Mohr [75] luând în considerare numai efectul momentului încovoiător

$$\frac{EJ_0}{q \cdot r^4} \delta_H^o = \int_0^l i \frac{M_0}{q \cdot r^2} \cdot \frac{m_0}{r} \left(\frac{ki \cdot r \cdot db}{r} \right)$$



unde :

$i = \frac{J_0}{J_c}$, raportul momentelor de inerție în por-

țiunea pe care se face integrarea ;

+ $k_i = \frac{r_i}{r}$ raportul dintre raza arcului pe care se integrează și raza față de care se raportează calculele ,

$$\begin{aligned}
 + \frac{M_\theta}{q r^2} &= \frac{M_\theta^0}{q_0 r^2} + m_1 X_1^0 + m_2 X_2^0 \\
 + \frac{m_\theta}{r} &= \frac{m_\theta^0}{r} + m_1 X_1^0 + m_2 X_2^0
 \end{aligned}
 \tag{3.4-8}$$

+ M_θ^0 , momentul dat de încărcarea q pe schema de bază

+ $\frac{m_\theta^0}{r}$, momentul pe schema de bază, dat de o forță

$P = 1$, aplicată pe direcția deformației (fig.3.4-2).

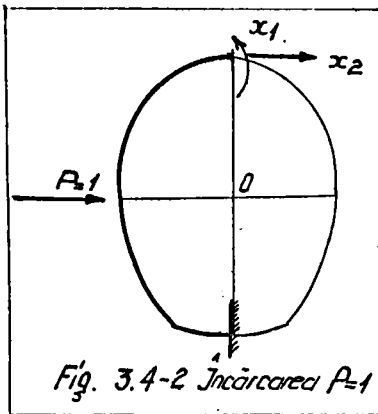


Fig. 3.4-2 Încărcarea $P=1$

Valorile necunoscutele x_1 ; x_2 ; X_1 ; X_2 se obțin din sistemele :

$$\left[d_{ij}^0 \right] \left[X_i^0 \right] + \left[\Delta_{iq}^0 \right] = 0 \tag{3.4-9}$$

$$\left[d_{ij}^0 \right] \left[x_i \right] + \left[\Delta_{ip}^0 \right] = 0 \tag{3.4-10}$$

Pentru efectuarea calculelor se introduc expresiile (3.4-8) în 3.4-7 și se efectuează calculele așezând termenii într-o ordine convenabilă :

$$d_{ij}^{0q} = \int_0^{\theta_0} i \frac{M_\theta^0}{q_0 r^2} \frac{m_\theta^0}{r} k_i d\theta + X_1^0 \int_0^{\theta_0} i m_1 \frac{m_\theta^0}{r} k_i d\theta + X_2^0 \int_0^{\theta_0} i m_2 \frac{m_\theta^0}{r} k_i d\theta +
 \tag{3.4-11}$$

$$+ (d_{11}^0 X_1^0) x_1 + (d_{12}^0 X_2^0) x_1 + (\Delta_{1q}^0) x_1 + (d_{21}^0 X_1^0) x_2 + (d_{22}^0 X_2^0) x_2 + (\Delta_{2q}^0) x_2$$

După modul în care au fost așezați termenii, se observă că ultimii șase reprezintă ecuațiile de echilibru (3.4-9) înmulțite cu χ_i° respectiv χ_i° . Acestea vor fi nule.

Făcînd notațiile :

$$\begin{aligned} J_2 &= \int_{\theta} i \frac{M_{\theta}^{\circ}}{L_0 R^2} \cdot \frac{m_{\theta}^{\circ}}{R} k_i \cdot d\theta \\ \Delta_{1p}^{\circ} &= \int_{\theta} i m_1 \frac{m_{\theta}^{\circ}}{R} k_i \cdot d\theta \\ \Delta_{2p}^{\circ} &= \int_{\theta} i m_2 \frac{m_{\theta}^{\circ}}{R} k_i \cdot d\theta \end{aligned} \quad (3.4-12)$$

$$d_H^{\circ} = \frac{E J_0}{L_0 \cdot R^4} d_H \quad \text{Se obține}$$

pentru deformația adițională :

$$d_H^{\circ} = J_2 + \chi_1^{\circ} \Delta_{1p}^{\circ} + \chi_2^{\circ} \Delta_{2p}^{\circ} \quad (3.4-13)$$

unde :

$-\Delta_{1p}^{\circ}$; Δ_{2p}° reprezintă deplasările elastice datorită încărcării $P = 1$;

$-m_1$; m_2 sînt momentele datorită necunoscutelor unitare $\chi_1 = 1$; $\chi_2 = 1$ aplicate în cheia obișnuită.

In concluzie - Determinarea deformației adiționale în punctul 0, pe diametrul orizontal al secțiunii se face printre-

relație relativ simplă, ce poate fi ușor efectuată dacă se cunoaște geometria secțiunii și modul de distribuție al încălzirii q .

Mărimile Δ_{1p}° , Δ_{2p}° sînt invarianți pentru un anumit punct de calcul al deformației, pentru că încălzirea $P = 1$ este cunoscută și acționează în același loc și pe aceeași direcție.

Încălzirea datorită prostunii pasive a mantelului se obține printr-o distribuție impusă (în funcție de forma secțiunii) avînd ca factor mărirea încălzirii, $\rho - k \cdot \sigma_H$ corespunzătoare în punctul 0 pe diametrul orizontal.

Valorile σ_H vor fi calculate pentru fiecare secțiune și formă de încălzire.

Capitolul 4 - SECȚIUNEA DE "FORMĂ SPECIALĂ"

§ 4.1.- Determinarea eforturilor și deformațiilor în
cintrele și căptușelile galeriilor de
"Formă specială"

1.- Determinarea eforturilor

Secțiunea de formă specială fig.2.1-2 este des folosită în execuția galeriilor. Ea folosește și ca secțiune generală de la care prin trecere la limită se obțin alte tipuri de secțiuni : "miner de coș" ; circulară ; ovoidală ; arc, etc. Condițiile de trecere de la una la alta precum și forma lor sînt prezentate în tabloul 2.1-6.

Secțiunea este definită de :

- r - raza cercului de boltă, caracterizează mărimea secțiunii ;
- $\alpha_0; \beta_0; k_1; k_2$ - parametri ce caracterizează forma secțiunii.

Parametrii de formă ai secțiunii sînt legați între ei prin relația (2.1-1) astfel că forma secțiunii este definită de trei din parametri enumerați mai sus.

Calculul eforturilor se poate conduce pornind de la forma de bază fig.4.1-1 secționată după axa verticală.

Solicitările unitare pe forma de bază în diferite domenii de variație ale unghiului θ au expresiile :

$$m_{1\varphi} = 1 ; n_{1\varphi} = 0 ; t_{1\varphi} = 0 ;$$

$$m_{1\alpha} = 1 ; n_{1\alpha} = 0 ; t_{1\alpha} = 0 ;$$

$$m_{1\beta} = 1 ; n_{1\beta} = 0 ; t_{1\beta} = 0 ;$$

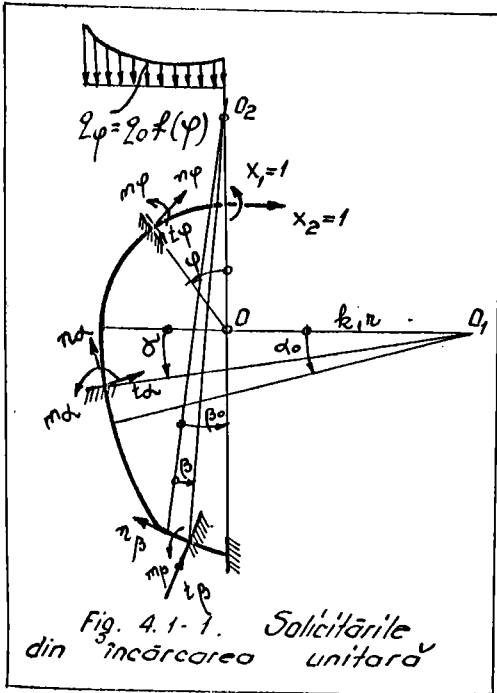
$$m_{2\varphi} = -\tau(1 - \cos\varphi); \quad n_{2\varphi} = \cos\varphi; \quad t_{2\varphi} = \sin\varphi;$$

$$m_{2\alpha} = -\tau(1 + K_1 \sin\alpha); \quad n_{2\alpha} = -\sin\alpha; \quad t_{2\alpha} = \cos\alpha$$

$$m_{2\beta} = -\tau \left\{ 1 + K_1 \sin\alpha_0 + K_2 [\cos(\beta_0 - \beta) - \cos\beta_0] \right\}$$

$$n_{2\beta} = -\cos(\beta_0 - \beta); \quad t_{2\beta} = \sin(\beta_0 - \beta) \quad (4.1-1)$$

Invarianții adimensionali ai sistemului pot fi calculați



după modelul relațiilor

(3.1-4).

Cu ajutorul relațiilor

(4.1-1) se obține :

$$\delta_{11}^0 = \int_0^1 L_3 m_1^2 \frac{ds}{\tau}$$

$$\delta_{12}^0 = \int_0^1 L_5 m_1 \left(\frac{m_2}{\tau} \right) \frac{ds}{\tau} \quad (4.1-2)$$

$$\delta_{22}^0 = \int_0^1 L_5 \left(\frac{m_2}{\tau} \right)^2 \frac{ds}{\tau}$$

Pentru secțiuni la care grosimile nu variază conti-

nuu, putând varia discontinuu de la o zonă la alta, se obțin coeficienții L_0 constanți pe porțiunea φ , α , β . Luând

$J_0 = J_\varphi$ se obține :

$$L_\varphi = 1; \quad L_\alpha = \frac{J_\varphi}{J_\alpha}; \quad L_\beta = \frac{J_\varphi}{J_\beta} \quad (4.1-3)$$

Expresiile 4.1-2 se pot scrie separînd efectul pe fiecare porțiune după cum urmează :

$$\delta_{11}^0 = 1(\delta_{11}^0)_\varphi + L_\alpha(\delta_{11}^0)_\alpha + L_\beta(\delta_{11}^0)_\beta$$

(4.1-4)

$$\delta_{12} = 1(\delta_{12}^{\circ})_{\varphi} + L\alpha(\delta_{12}^{\circ})_{\alpha} + L\beta(\delta_{12}^{\circ})_{\beta}$$

$$\delta_{22} = 1(\delta_{22}^{\circ})_{\varphi} + L\alpha(\delta_{22}^{\circ})_{\alpha} + L\beta(\delta_{22}^{\circ})_{\beta}$$

În cele ce urmează se explicitază coeficienții relațiilor (4.1-4) :

- Pentru calculul valorii δ_{11}° :

$$(\delta_{11}^{\circ})_{\varphi} = \int_0^{\frac{\pi}{2}} d\varphi = \frac{\pi}{2}$$

$$(\delta_{11}^{\circ})_{\alpha} = \int_0^{\alpha_0} K_1 d\alpha = K_1 \alpha_0 \quad (4.1-5)$$

$$(\delta_{11}^{\circ})_{\beta} = \int_0^{\beta_0} K_2 d\beta = K_2 \beta_0$$

Însușind efectele și ținând cont de raportul momentelor de inerție, se obține :

$$\delta_{11}^{\circ} = \frac{\pi}{2} + L\alpha(K_1\alpha_0) + L\beta(K_2\beta_0) \quad (4.1-6)$$

Valorile δ_{11}° pot fi calculate parțial conform relațiilor (4.1-5) sau global, conform relației (4.1-6). Pentru a ușura calculele se folosește tabelul 4.1.1 calculat pentru oțeva

Valorile k_e și θ Tabel 4.1-1

| k_e | θ în radiani | | | | |
|-------|---------------------|----------|----------|----------|----------|
| | 0 | $\pi/6$ | $\pi/4$ | $\pi/3$ | $\pi/2$ |
| 0 | 0 | 0 | 0 | 0 | 0 |
| 1 | 0 | $\pi/6$ | $\pi/4$ | $\pi/3$ | $\pi/2$ |
| 2 | 0 | $\pi/3$ | $\pi/2$ | $2\pi/3$ | π |
| 3 | 0 | $\pi/2$ | $3\pi/4$ | π | $3\pi/2$ |
| 5 | 0 | $5\pi/6$ | $5\pi/4$ | $5\pi/3$ | $5\pi/2$ |

valori θ (α_0 sau β_0) sau a diagramei din fig.4.1-2.

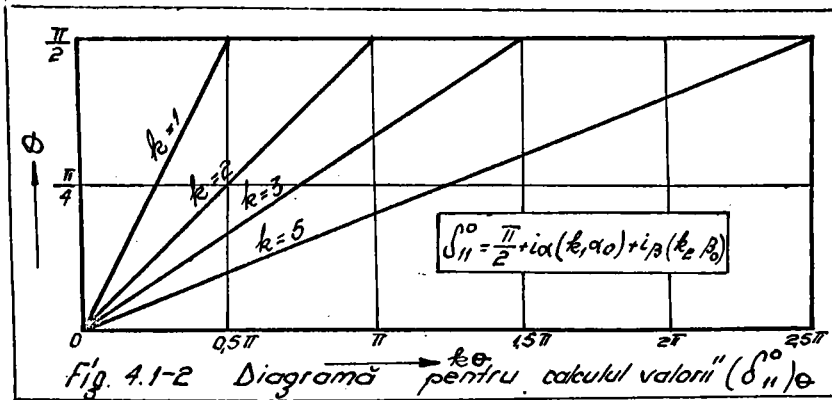
Valorile β_0 vor fi calculate în funcție de α_0 , K_1 și K_2 .

Valoarea δ_{11}° poate fi calculată cu ajutorul diagramei

de mai sus dacă este cunoscut raportul momentelor de inerție :

$$1 : L\alpha : L\beta$$

Valoarea δ_{12}° se explicitază după cum urmează :



$$(\delta_{12}^0)_\varphi = -\int_0^{\frac{\pi}{2}} (1 - \cos \varphi) d\varphi = -\left(\frac{\pi}{2} - 1\right)$$

$$(\delta_{12}^0)_\alpha = -\int_0^{\alpha} (1 + K_1 \sin \alpha) K_1 d\alpha = -K_1 [\alpha_0 + K_1 (1 - \cos \alpha_0)]$$

$$(\delta_{12}^0)_\beta = -\int_0^{\beta_0} \left\{ (1 + K_1 \sin \alpha_0) + K_2 [\cos(\beta_0 - \beta) - \cos \beta_0] \right\} K_2 d\beta = \quad (4.1-7)$$

$$= -K_2 [(1 + K_1 \sin \alpha_0) \beta_0 - K_2 (\beta_0 \cos \beta_0 - \sin \beta_0)]$$

Prin însumarea relațiilor de mai sus multiplicată cu valorile $i_\varphi = 1$; $i_\alpha = \frac{J_\varphi}{J_\alpha}$; $i_\beta = \frac{J_\varphi}{J_\beta}$ se obține δ_{12}^0 pentru în-
tregul contur :

$$\delta_{12}^0 = i_\varphi (\delta_{12}^0)_\varphi + i_\alpha (\delta_{12}^0)_\alpha + i_\beta (\delta_{12}^0)_\beta \quad (4.1-7a)$$

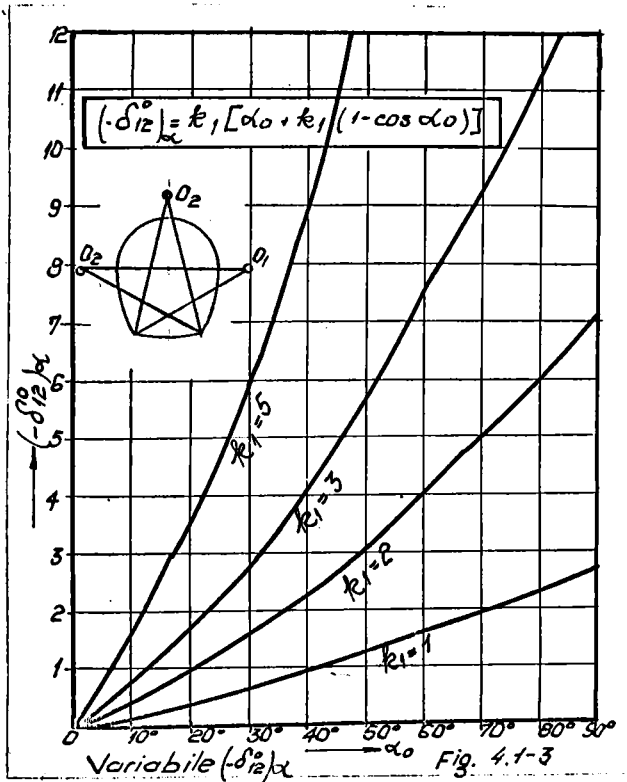
Expresiile $(\delta_{12}^0)_\alpha$ și $(\delta_{12}^0)_\beta$ sînt calculate în tabelele (4.1-2) ; (4.1-3) și sînt reprezentate grafic în diagramele din fig.4.1-3,4,5,6,7.

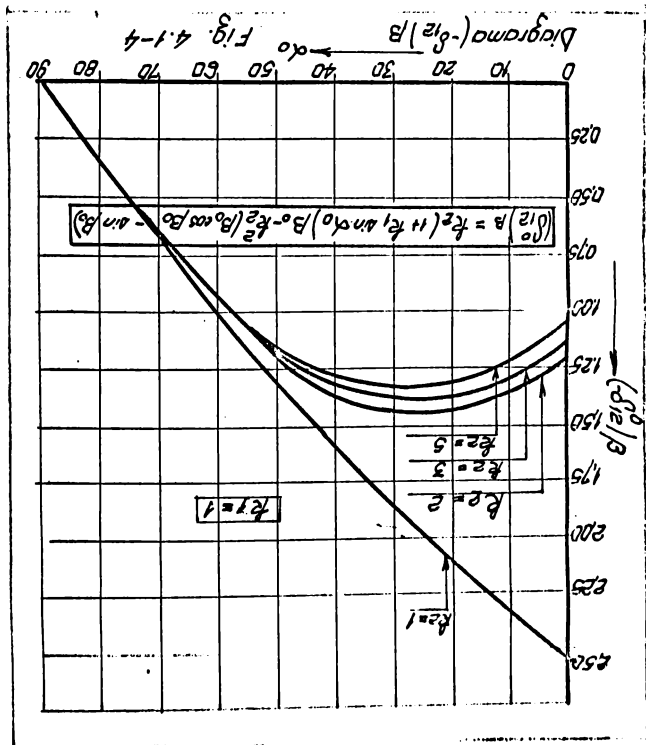
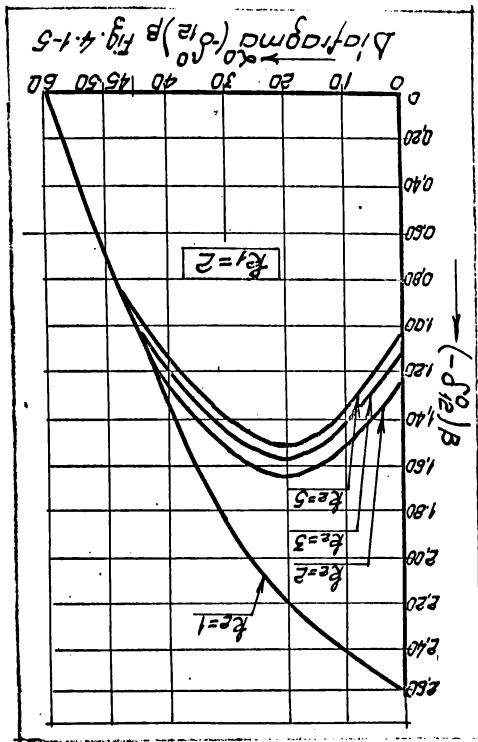
Valorile $(-\delta_{12}^0)_\alpha$ Tabel 4.1-2

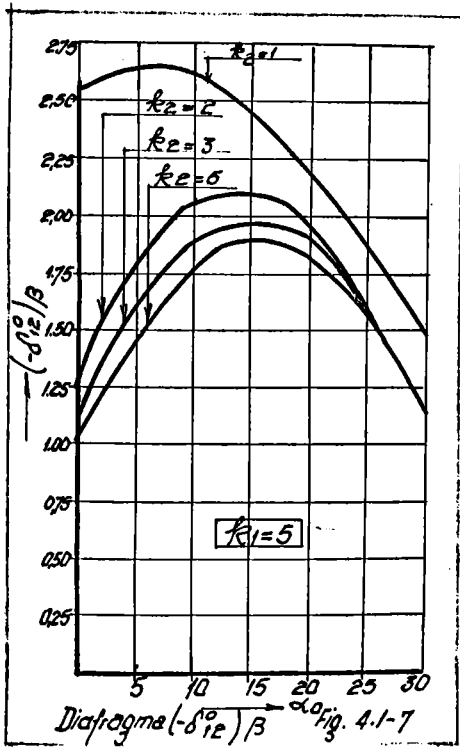
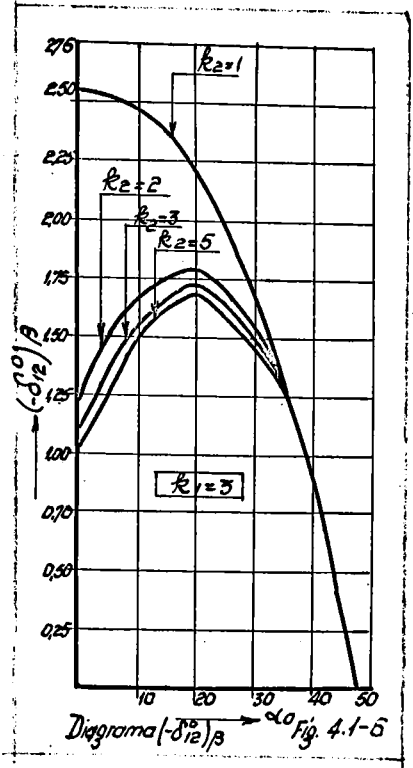
| k_1 | α° în grade sexagesimale | | | | |
|-------|--------------------------------------|-------|--------|--------|--------|
| | 0 | 30 | 45 | 60 | 90 |
| 1 | 0,000 | 0,658 | 1,078 | 1,547 | 2,570 |
| 2 | 0,000 | 1,584 | 2,742 | 4,094 | 7,140 |
| 3 | 0,000 | 2,778 | 4,992 | 7,631 | 13,710 |
| 5 | 0,000 | 5,970 | 11,250 | 17,735 | 32,850 |

Valurile $(-\delta_{12}^{\circ})/\beta = k_2(1+k_1 \sin \alpha_0)/\beta_0 - k_2^2 (\beta_0 \cos \beta - \sin \beta_0)$ Tabel 4.1-3

| k_1 | k_2 | 0° | 10° | 20° | 30° | 40° | 45° | 60° | 70° | 80° | 90° |
|-------|-------|-------------|--------------|--------------|--------------|--------------|--------------|--------------|--------------|--------------|--------------|
| 1 | 1 | 2,570 | 2,375 | 2,100 | 1,910 | 1,609 | 1,490 | 1,022 | 0,690 | 0,347 | 0,000 |
| | 2 | 1,236 | 1,384 | 1,467 | 1,482 | 1,375 | 1,293 | 0,964 | 0,676 | 0,346 | 0,000 |
| | 3 | 1,143 | 1,298 | 1,383 | 1,395 | 1,324 | 1,263 | 1,002 | 0,675 | 0,346 | 0,000 |
| | 5 | 1,060 | 1,224 | 1,336 | 1,355 | 1,289 | 1,227 | 0,932 | 0,649 | 0,337 | 0,000 |
| 2 | 1 | 2,570 | 2,428 | 2,200 | 1,910 | 1,280 | 1,057 | 0,000 | — | — | — |
| | 2 | 1,236 | 1,536 | 1,668 | 1,568 | 1,257 | 1,021 | 0,000 | — | — | — |
| | 3 | 1,143 | 1,440 | 1,594 | 1,527 | 1,240 | 0,990 | 0,000 | — | — | — |
| | 5 | 1,060 | 1,405 | 1,530 | 1,500 | 1,221 | 0,998 | 0,000 | — | — | — |
| 3 | 1 | 2,570 | 2,497 | 2,217 | 1,681 | 0,894 | 0,381 | — | — | — | — |
| | 2 | 1,236 | 1,679 | 1,810 | 1,557 | 0,880 | 0,381 | — | — | — | — |
| | 3 | 1,143 | 1,566 | 1,730 | 1,527 | 0,870 | 0,375 | — | — | — | — |
| | 5 | 1,060 | 1,551 | 1,696 | 1,513 | 0,878 | 0,390 | — | — | — | — |
| 5 | 1 | 2,570 | 2,664 | 2,245 | 1,489 | — | — | — | — | — | — |
| | 2 | 1,236 | 2,066 | 1,998 | 1,164 | — | — | — | — | — | — |
| | 3 | 1,143 | 1,908 | 1,955 | 1,164 | — | — | — | — | — | — |
| | 5 | 1,060 | 1,828 | 2,065 | 1,149 | — | — | — | — | — | — |







Valoarea $\bar{\sigma}_{22}^{\circ}$ va rezulta, in mod analog, pe porțiuni :

$$\begin{aligned}
 (\bar{\sigma}_{22}^{\circ})_{\varphi} &= \int_0^{\frac{\pi}{2}} (1 - \cos \varphi)^2 d\varphi = \frac{3\pi}{4} - 2 \\
 (\bar{\sigma}_{22}^{\circ})_{\alpha} &= \int_0^{\alpha} (1 + K_1 \sin \alpha)^2 K_1 d\alpha = K_1 \left[\alpha_0 \left(1 + \frac{1}{2} K_1 \right) + 2K_1 (1 - \cos \alpha_0) - \frac{1}{4} K_1 \sin 2\alpha_0 \right] \\
 (\bar{\sigma}_{22}^{\circ})_{\beta} &= \int_0^{\beta} \left[1 + K_1 \sin \alpha_0 - K_2 \cos \beta_0 + K_2 \cos (\beta_0 - \beta) \right]^2 K_2 d\beta = \quad (4.1-8) \\
 &= K_2 \left[(1 + K_1 \sin \alpha_0)^2 \beta_0 + 2K_2 (1 + K_1 \sin \alpha_0) (\sin \beta_0 - \beta_0 \cos \beta_0) + \right. \\
 &\quad \left. + K_2^2 (\beta_0 \cos^2 \beta_0 - \frac{3}{2} \sin \beta_0 \cos \beta_0 + \frac{1}{2} \beta_0) \right]
 \end{aligned}$$

Calculul acestor elemente pentru cazuri particulare este făcut in tabelele 4.1-4,5. Diagramele de variație sînt reprezentate in fig.4.1-8,9,10,11,12. Folosind aceste diagrame se poate stabili cu suficientă exactitate valorile parțiale ale relației:

(4.1-8a)

$$\bar{\sigma}_{22}^{\circ} = L_{\varphi} (\bar{\sigma}_{22}^{\circ})_{\varphi} + L_{\alpha} (\bar{\sigma}_{22}^{\circ})_{\alpha} + L_{\beta} (\bar{\sigma}_{22}^{\circ})_{\beta}$$

Valorile $(\bar{\sigma}_{22}^{\circ})_{\alpha}$ Tabel 4.1-4

| X_1 | α_0 | | | | | | |
|-------|-------------|--------------|--------------|--------------|--------------|--------------|--------------|
| | 0° | 15° | 30° | 45° | 60° | 75° | 90° |
| 1 | 0,000 | 0,331 | 0,839 | 1,513 | 2,354 | 3,319 | 4,356 |
| 2 | 0,000 | 0,784 | 2,298 | 3,784 | 7,322 | 10,660 | 14,284 |
| 3 | 0,000 | 1,372 | 4,387 | 7,911 | 14,553 | 22,023 | 29,782 |
| 5 | 0,000 | 2,942 | 10,442 | 22,137 | 37,912 | 56,815 | 77,492 |

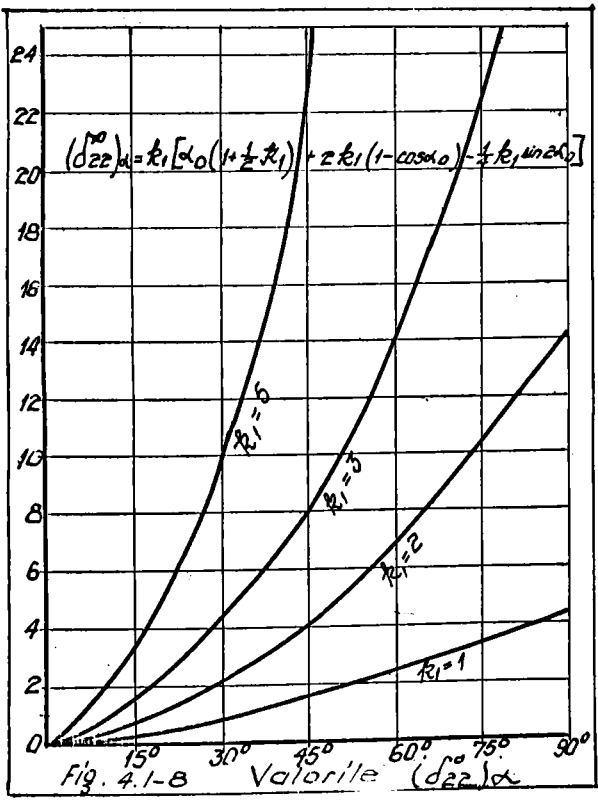
Deplasările din încărcări pot fi puse sub forma :

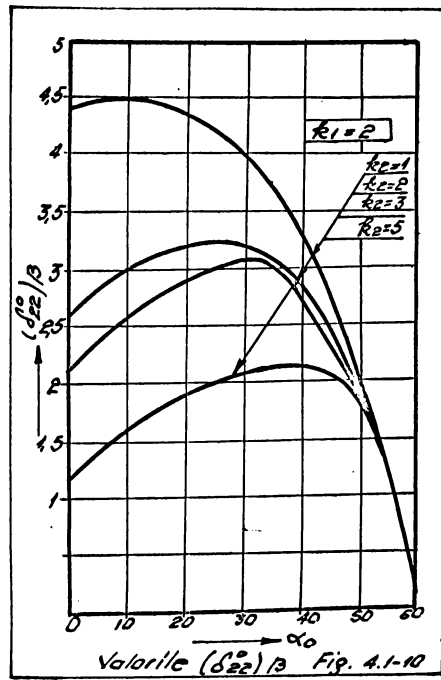
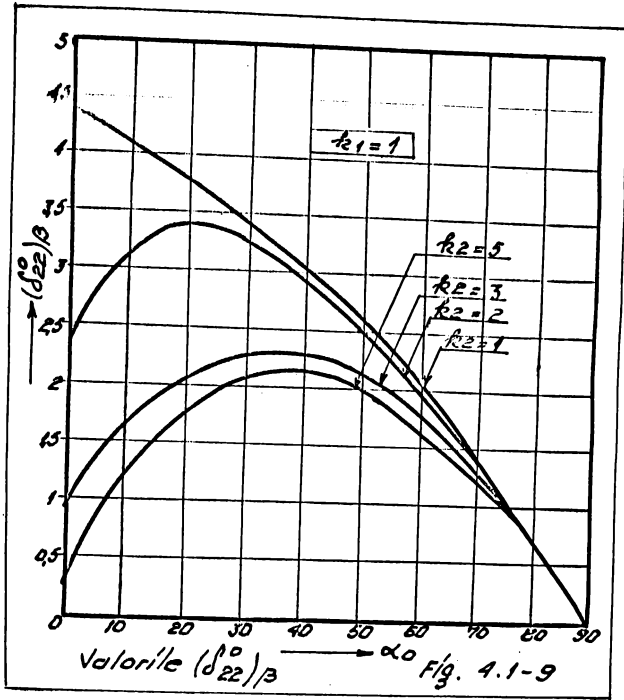
$$\Delta_1^{\circ} \varphi = (\Delta_1^{\circ} \varphi)_{\varphi} + K_1 L_{\alpha} (\Delta_1^{\circ} \varphi)_{\alpha} + K_2 L_{\beta} (\Delta_1^{\circ} \varphi)_{\beta} \quad (4.1-9)$$

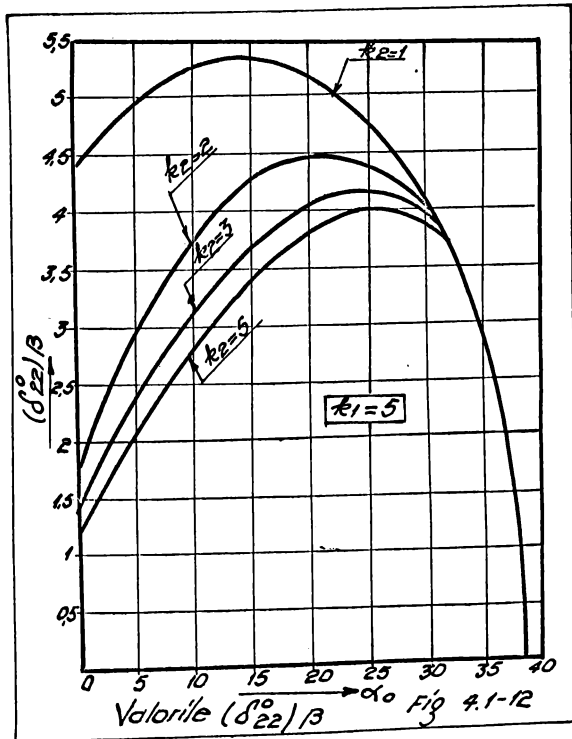
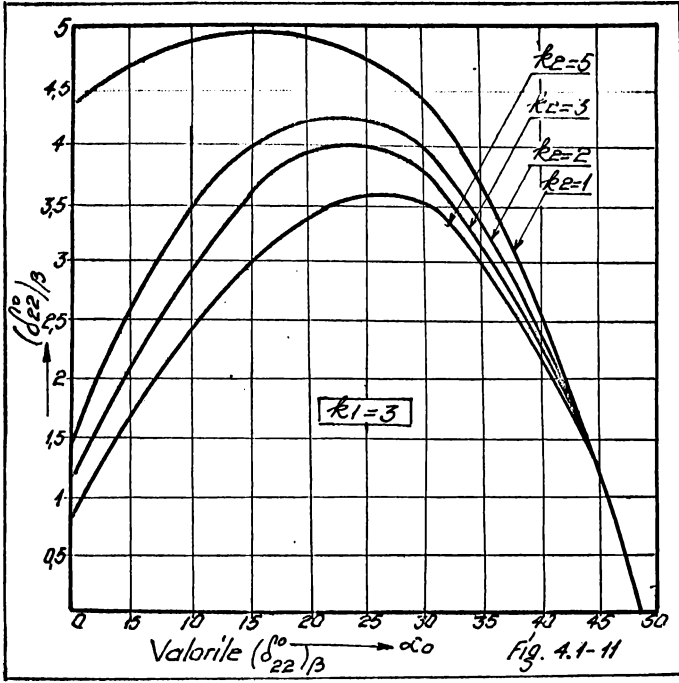
$$\Delta_2^{\circ} \varphi = (\Delta_2^{\circ} \varphi)_{\varphi} + K_1 L_{\alpha} (\Delta_2^{\circ} \varphi)_{\alpha} + K_2 L_{\beta} (\Delta_2^{\circ} \varphi)_{\beta}$$

Valorile $(\delta_{22}^0)\beta$ Tabel 4.1-5

| k_1 | k_2 | α_0 | | | | |
|-------|-------|------------|------------|------------|------------|------------|
| | | 0° | 30° | 45° | 60° | 90° |
| 1 | 1 | 4,358 | 3,936 | 2,842 | 2,004 | 0,000 |
| | 2 | 1,464 | 3,279 | 2,747 | 1,803 | 0,000 |
| | 3 | 1,271 | 2,245 | 2,236 | 1,784 | 0,000 |
| | 5 | 1,136 | 2,089 | 2,157 | 1,764 | 0,000 |
| 2 | 1 | 4,358 | 4,015 | 2,620 | 0,000 | — |
| | 2 | 1,464 | 3,285 | 2,496 | 0,000 | — |
| | 3 | 1,271 | 3,149 | 2,466 | 0,000 | — |
| | 5 | 1,136 | 3,043 | 2,467 | 0,000 | — |
| 3 | 1 | 4,358 | 4,444 | 1,192 | — | — |
| | 2 | 1,464 | 4,002 | 1,190 | — | — |
| | 3 | 1,271 | 3,857 | 1,169 | — | — |
| | 5 | 1,136 | 3,825 | 1,169 | — | — |
| 5 | 1 | 4,358 | 4,231 | — | — | — |
| | 2 | 1,464 | 4,109 | — | — | — |
| | 3 | 1,271 | 4,099 | — | — | — |
| | 5 | 1,136 | 4,115 | — | — | — |







Expresiile parțiale ale deplasărilor se pot exprima după cum urmează :

$$\begin{aligned}(\Delta_{1\varphi}^{\circ})_{\varphi} &= I_{1\varphi}; & (\Delta_{1\varphi}^{\circ})_{\alpha} &= I_{1\alpha}; & (\Delta_{1\varphi}^{\circ})_{\beta} &= I_{1\beta}; \\(\Delta_{2\varphi}^{\circ})_{\varphi} &= -I_{1\varphi} + I_{2\varphi} \\(\Delta_{2\varphi}^{\circ})_{\alpha} &= -I_{1\alpha} - K_1 I_{2\alpha} \\(\Delta_{2\varphi}^{\circ})_{\beta} &= -I_{1\beta} - (K_1 \sin \alpha_0 - K_2 \cos \beta_0) I_{1\beta} - K_2 I_{2\beta}\end{aligned}\tag{4.1-10}$$

unde s-au folosit notațiile :

$$\begin{aligned}I_{1\varphi} &= \int_{\varphi} \frac{M_{\varphi}^{\circ}}{\varrho_0 r^2} d\varphi; & I_{1\alpha} &= \int_{\alpha} \frac{M_{\alpha}^{\circ}}{\varrho_0 r^2} d\alpha; & I_{1\beta} &= \int_{\beta} \frac{M_{\beta}^{\circ}}{\varrho_0 r^2} d\beta \\I_{2\varphi} &= \int_{\varphi} \frac{M_{\varphi}^{\circ}}{\varrho_0 r^2} \cos \varphi d\varphi; & I_{2\alpha} &= \int_{\alpha} \frac{M_{\alpha}^{\circ}}{\varrho_0 r^2} \sin \alpha d\alpha; & I_{2\beta} &= \int_{\beta} \frac{M_{\beta}^{\circ}}{\varrho_0 r^2} \cos (\beta_0 - \beta) d\beta\end{aligned}\tag{4-1-11}$$

Relațiile (4.1-9) permit rezolvarea sistemului (3.1-9) și în final scrierea expresiilor eforturilor.

mărimile M_{θ}° cu $\theta = \varphi; \alpha; \beta$, reprezintă eforturile pe sistemul de bază, provenite din încărcările exterioare. Eforturile pe porțiunea $\alpha; \beta$ pot fi scrise și în funcție de eforturile la limita intervalului după cum urmează :

- pentru $\alpha \in (0, \alpha_0)$

$$\begin{aligned}N_{\alpha}^{\circ} &= N_{\frac{\alpha}{2}}^{\circ} \cdot \cos \alpha - T_{\frac{\alpha}{2}}^{\circ} \sin \alpha + N_{\alpha}^{\circ} q \\M_{\alpha}^{\circ} &= M_{\frac{\alpha}{2}}^{\circ} - N_{\frac{\alpha}{2}}^{\circ} \cdot K_1 \cdot \gamma (1 - \cos \alpha) - T_{\frac{\alpha}{2}}^{\circ} \cdot K_1 \cdot \gamma \cdot \sin \alpha + M_{\alpha}^{\circ} q \\T_{\alpha}^{\circ} &= N_{\frac{\alpha}{2}}^{\circ} \cdot \sin \alpha + T_{\frac{\alpha}{2}}^{\circ} \cos \alpha + T_{\alpha}^{\circ} q\end{aligned}\tag{4.1-12}$$

unde :

$-N_{\frac{\alpha}{2}}^{\circ}; M_{\frac{\alpha}{2}}^{\circ}; T_{\frac{\alpha}{2}}^{\circ}$ reprezintă eforturile la limita primului interval
 $-N_{\alpha}^{\circ} q; M_{\alpha}^{\circ} q; T_{\alpha}^{\circ} q$ efortul adus de încărcarea din porțiu-

nea $\alpha \in (0, \alpha_0)$

- pentru $\beta \in (0, \beta_0)$

$$N_{\beta}^{\circ} = N_{\alpha_0}^{\circ} \sin(\alpha_0 + \beta_0 - \beta) - T_{\alpha_0}^{\circ} \cos(\alpha_0 + \beta_0 - \beta) + N_{\beta q}^{\circ}$$

$$T_{\beta}^{\circ} = N_{\alpha_0}^{\circ} \cos(\alpha_0 + \beta_0 - \beta) + T_{\alpha_0}^{\circ} \sin(\alpha_0 + \beta_0 - \beta) + T_{\beta q}^{\circ}$$

$$M_{\beta}^{\circ} = M_{\alpha_0}^{\circ} - N_{\alpha_0}^{\circ} K_2 \cdot r [\sin(\alpha_0 + \beta_0) - \sin(\alpha_0 + \beta_0 - \beta)] - T_{\alpha_0}^{\circ} K_2 \cdot r [\cos(\alpha_0 + \beta_0 - \beta) - \cos(\alpha_0 + \beta_0)] + M_{\beta q}^{\circ} \quad (4.1-13)$$

unde :

- $N_{\alpha_0}^{\circ}; M_{\alpha_0}^{\circ}; T_{\alpha_0}^{\circ}$ reprezintă eforturile la limită intervalului,

- $N_{\beta q}^{\circ}; M_{\beta q}^{\circ}; T_{\beta q}^{\circ}$ eforturile provenite din încălcarea de pe porțiunea $\beta \in (0, \beta_0)$

Pentru o secțiune curentă eforturile finale sînt :

- pentru $\varphi \in (0, \frac{\pi}{2})$

$$\frac{M_{\varphi}}{q_0 r^2} = \frac{M_{\varphi}^{\circ}}{q_0 r^2} + X_1^{\circ} - X_2^{\circ} (1 - \cos \varphi)$$

$$\frac{N_{\varphi}}{r q_0} = \frac{N_{\varphi}^{\circ}}{q_0 r} + X_2^{\circ} \cos \varphi \quad (4.1-14)$$

$$\frac{T_{\varphi}}{q_0 r} = \frac{T_{\varphi}^{\circ}}{q_0 r} + X_2^{\circ} \sin \varphi$$

- pentru $\alpha \in (0, \alpha_0)$

$$\frac{M_{\alpha}}{q_0 r^2} = \frac{M_{\alpha}^{\circ}}{q_0 r^2} + X_1^{\circ} - X_2^{\circ} (1 + K_1 \sin \alpha)$$

$$\frac{N_{\alpha}}{q_0 r} = \frac{N_{\alpha}^{\circ}}{q_0 r} - X_2^{\circ} \sin \alpha \quad (4.1-15)$$

$$\frac{T_{\alpha}}{q_0 r} = \frac{T_{\alpha}^{\circ}}{q_0 r} + X_2^{\circ} \cos \alpha$$

- pentru $\beta \in (0; \beta_0)$

$$\frac{M_{\beta}}{q_{or2}} = \frac{M_{\beta}^{\circ}}{q_{or2}} + X_1^{\circ} - X_2^{\circ} \left\{ (1 + k_1 \sin \alpha_0) + k_2 [\cos(\beta_0 - \beta) - \cos \beta_0] \right\}$$

$$\frac{N_{\beta}}{q_{or}} = \frac{N_{\beta}^{\circ}}{q_{or}} - X_2^{\circ} \cos(\beta_0 - \beta)$$

$$\frac{T_{\beta}}{q_{or}} = \frac{T_{\beta}^{\circ}}{q_{or}} + X_2^{\circ} \sin(\beta_0 - \beta) \quad (4.1-16)$$

În general, partea dreaptă a relațiilor (4.1-14,15,16) sînt funcții numai de poziția punctului definit de un unghi de-a lungul curbei.

Se vede că relațiile au formă generală :

$$\frac{M}{q_{or2}} = \frac{M^{\circ}}{q_{or2}} + X_1^{\circ} + X_2^{\circ} A(\theta)$$

$$\frac{N}{q_{or}} = \frac{N^{\circ}}{q_{or}} + X_2^{\circ} B(\theta) \quad (4.1-17)$$

$$\frac{T}{q_{or}} = \frac{T^{\circ}}{q_{or}} + X_2^{\circ} C(\theta)$$

Valorile A, B, C sînt funcții de-a lungul variabilelor φ, α, β și pot fi întabulate (vezi tab.4.1-6,7) sau trecute în diagrama fig.4.1-13,14,15. Valorile A_{β} pot fi obținute prin combinații ale celorlalte variabile.

Valorile $A_{\varphi}, B_{\varphi}; C_{\varphi}$

Tabel 4.1-6

| | 0° | 15° | 30° | 45° | 60° | 75° | 90° | 105° | 120° | 135° | 150° | 165° | 180° |
|---------------|-------|--------|--------|-------|--------|--------|--------|--------|--------|--------|--------|--------|--------|
| A_{φ} | 0,000 | -0,030 | -0,134 | 0,293 | -0,500 | -0,741 | -1,000 | -1,259 | -1,500 | -1,707 | -1,866 | -1,970 | -2,000 |
| B_{φ} | 1,000 | 0,970 | 0,866 | 0,707 | 0,500 | 0,259 | 0,000 | -0,259 | -0,500 | -0,707 | -0,866 | -0,970 | -1,000 |
| C_{φ} | 0,000 | 0,259 | 0,500 | 0,707 | 0,866 | 0,970 | 1,000 | 0,970 | 0,866 | 0,707 | 0,500 | 0,259 | 0,000 |

Valorile $M^{\circ}, N^{\circ}, T^{\circ}$ sînt eforturi pe arcul de bază și pot fi calculate prin integrarea efectului încălzirii pînă în secțiunea curentă.

Forma integralelor depinde de modul de distribuție al încălzirii.

Relațiile finale ale eforturilor pot fi ușor întabulate pentru diferite tipuri de încălziri sub formă adimensională, ast-

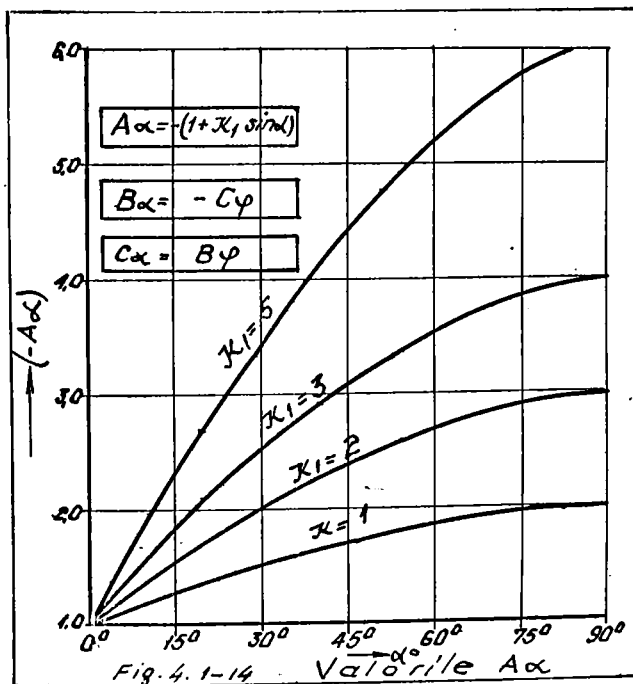
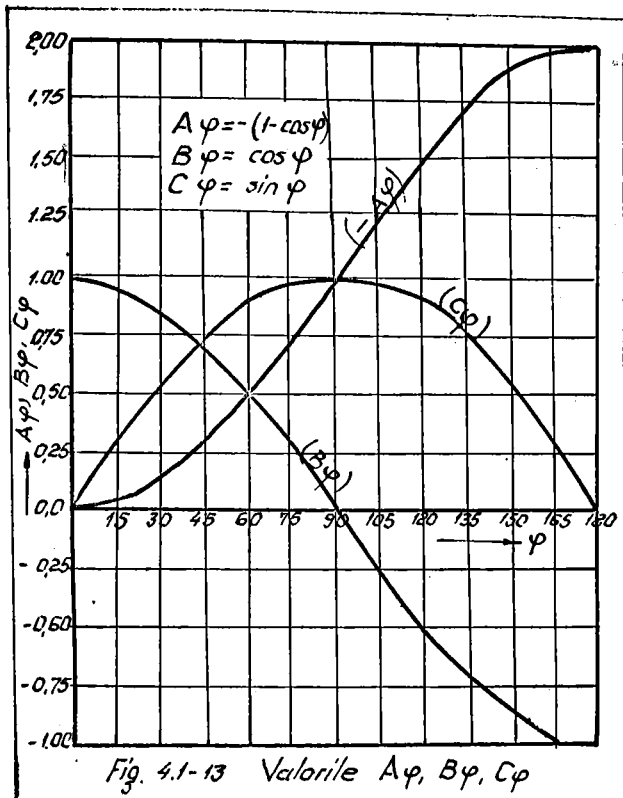
valorile $A_\alpha, B_\alpha, C_\alpha$

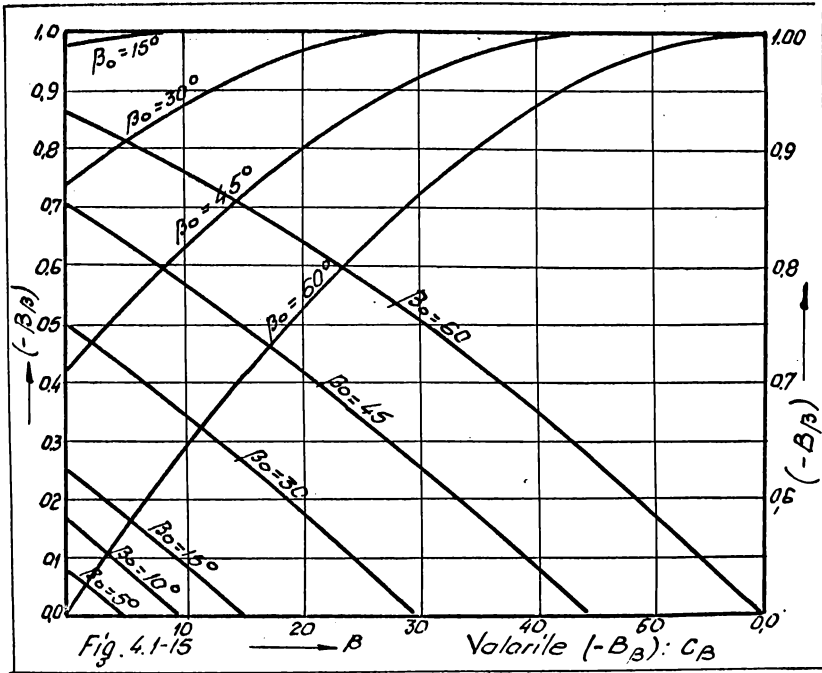
TABELUL 4.1-7

| X_i | | α | | | | | | |
|-------|------------|----------|------------|------------|------------|------------|------------|------------|
| | | 0 | 15° | 30° | 45° | 60° | 75° | 90° |
| 1 | A_α | -1,000 | -1,259 | -1,500 | -1,707 | -1,866 | -1,970 | -2,000 |
| | B_α | 0,000 | -0,259 | -0,500 | -0,707 | -0,866 | -0,970 | -1,000 |
| | C_α | 1,000 | 0,970 | 0,866 | 0,707 | 0,500 | 0,259 | 0,000 |
| 2 | A_α | -1,000 | -1,519 | -2,000 | -2,414 | -2,732 | -2,940 | -3,000 |
| | B_α | 0,000 | -0,259 | -0,500 | -0,707 | -0,866 | -0,970 | -1,000 |
| | C_α | 1,000 | 0,970 | 0,866 | 0,707 | 0,500 | 0,259 | 0,000 |
| 3 | A_α | -1,000 | -1,777 | -2,500 | -3,121 | -3,598 | -3,910 | -4,000 |
| | B_α | 0,000 | -0,259 | -0,500 | -0,707 | -0,866 | -0,970 | -1,000 |
| | C_α | 1,000 | 0,970 | 0,866 | 0,707 | 0,500 | 0,259 | 0,000 |
| 5 | A_α | -1,000 | -2,295 | -3,500 | -4,535 | -5,350 | -5,850 | -6,000 |
| | B_α | 0,000 | -0,259 | -0,500 | -0,707 | -0,866 | -0,970 | -1,000 |
| | C_α | 1,000 | 0,970 | 0,866 | 0,707 | 0,500 | 0,259 | 0,000 |

Valorile B_β, C_β Tabelul 4.1-8

| β_0 | β | B | C |
|-----------|---------|--------|-------|
| 0 | 0 | 1,000 | 0,000 |
| | 5 | -0,996 | 0,087 |
| 5 | 5 | -1,000 | 0,000 |
| | 10 | -0,984 | 0,173 |
| 10 | 5 | -0,996 | 0,087 |
| | 10 | -1,000 | 0,000 |
| 15 | 0 | -0,965 | 0,258 |
| | 5 | -0,984 | 0,173 |
| 15 | 10 | -0,996 | 0,087 |
| | 15 | -1,000 | 0,000 |
| 30 | 0 | -0,866 | 0,500 |
| | 10 | -0,939 | 0,342 |
| 30 | 30 | -1,000 | 0,000 |
| | 0 | -0,707 | 0,707 |
| 45 | 15 | -0,866 | 0,500 |
| | 30 | -0,965 | 0,258 |
| 45 | 45 | -1,000 | 0,000 |
| | 0 | -0,500 | 0,866 |
| 60 | 20 | -0,766 | 0,642 |
| | 30 | -0,866 | 0,500 |
| 60 | 40 | -0,939 | 0,342 |
| | 60 | -1,000 | 0,000 |





fel că ele pot fi valabile pentru întreaga serie de secțiuni de același tip și pentru încărcări de aceeași distribuție dar de mărimi diferite.

În practica construcției tunelurilor se folosește o secțiune care nu se depărtează prea mult de secțiunea unui patrat. Analiza lucrărilor executate în acest domeniu /31/, /32/, /33/, /34/ conduce la o secțiune optimă având următoarele date :

$$K_1 = 3; K_2 = 3; K_1 \sin \alpha_0 = 1; \alpha_0 = 19^\circ 25'; \alpha_0 = 0,3388$$

Secțiunea poate fi mărită sau micșorată (ținând cont de

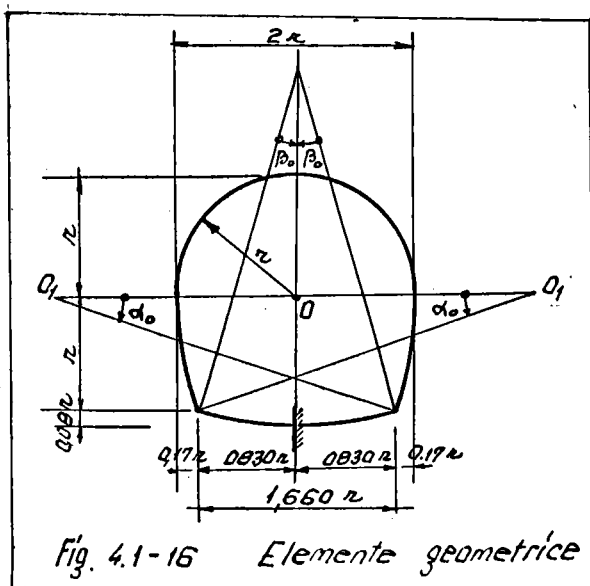


Fig. 4.1-16 Elemente geometrice

dimensiunile impuse de condiții hidraulice) păstrând acelaș raportul dimensiunilor (fig.4.1-16)

Se calculează :

$$\sin \beta_0 = \frac{1-K_1}{K_2} + \frac{K_1}{K_2} \cos \alpha_0$$

Rezultă :

$$\beta_0 = 16^\circ 2'$$

$$\beta_0 = 0,280$$

Tabelele și diagramele date în acest

capitol permit scrierea deplasărilor sub forma :

$$\delta_{11}^0 = 1,571 L \varphi + 1,016 L \alpha + 0,840 L \beta$$

$$\delta_{12}^0 = -0,571 L \varphi - 1,530 L \alpha - 1,720 L \beta$$

(4.1-18)

$$\delta_{22}^0 = 0,355 L \varphi + 2,300 L \alpha + 3,855 L \beta$$

Pentru determinarea necunoscutelor adimensionale în diferite situații de încărcări se calculează valorile K_{ij}^0 la dife-

rite rapoarte ale momentelor de inerție $i_{\varphi} : i_{\alpha} : i_{\beta}$

Valorile k_{ij} Tabel 4.1-9

| $i_{\varphi} : i_{\alpha} : i_{\beta}$ | k_{11}^0 | k_{12}^0 | k_{22}^0 |
|--|------------|------------|------------|
| 1:1:1 | 0,444 | -0,495 | 0,844 |
| 1:1:0 | 1,053 | -0,855 | 1,081 |
| 1:5:5 | 0,198 | -0,307 | 0,561 |
| 1:5:0 | 0,592 | -0,732 | 1,055 |

Se obține în acest fel tabelul 4.1-9.

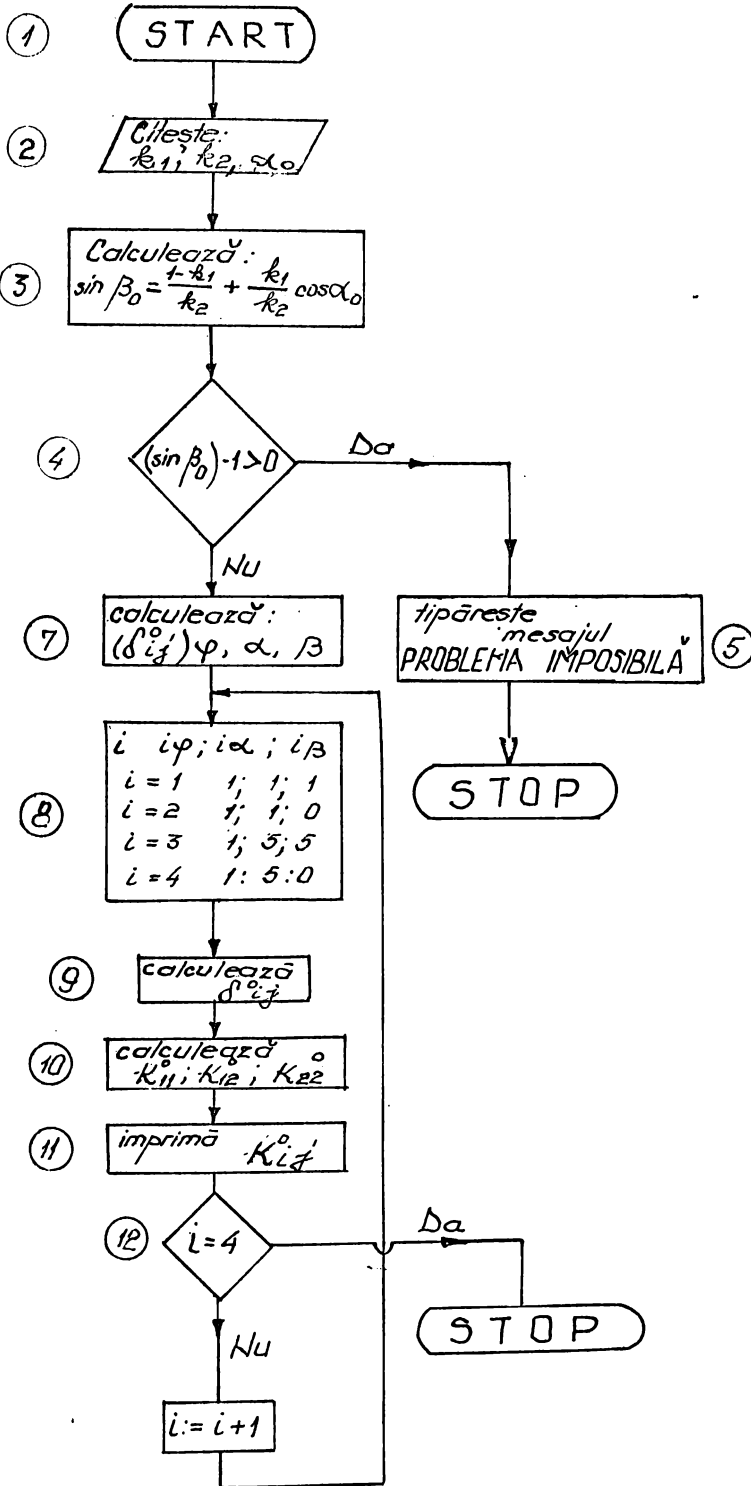
Schema logică de calcul a datelor preliminare este dată în fig.4.1-17.

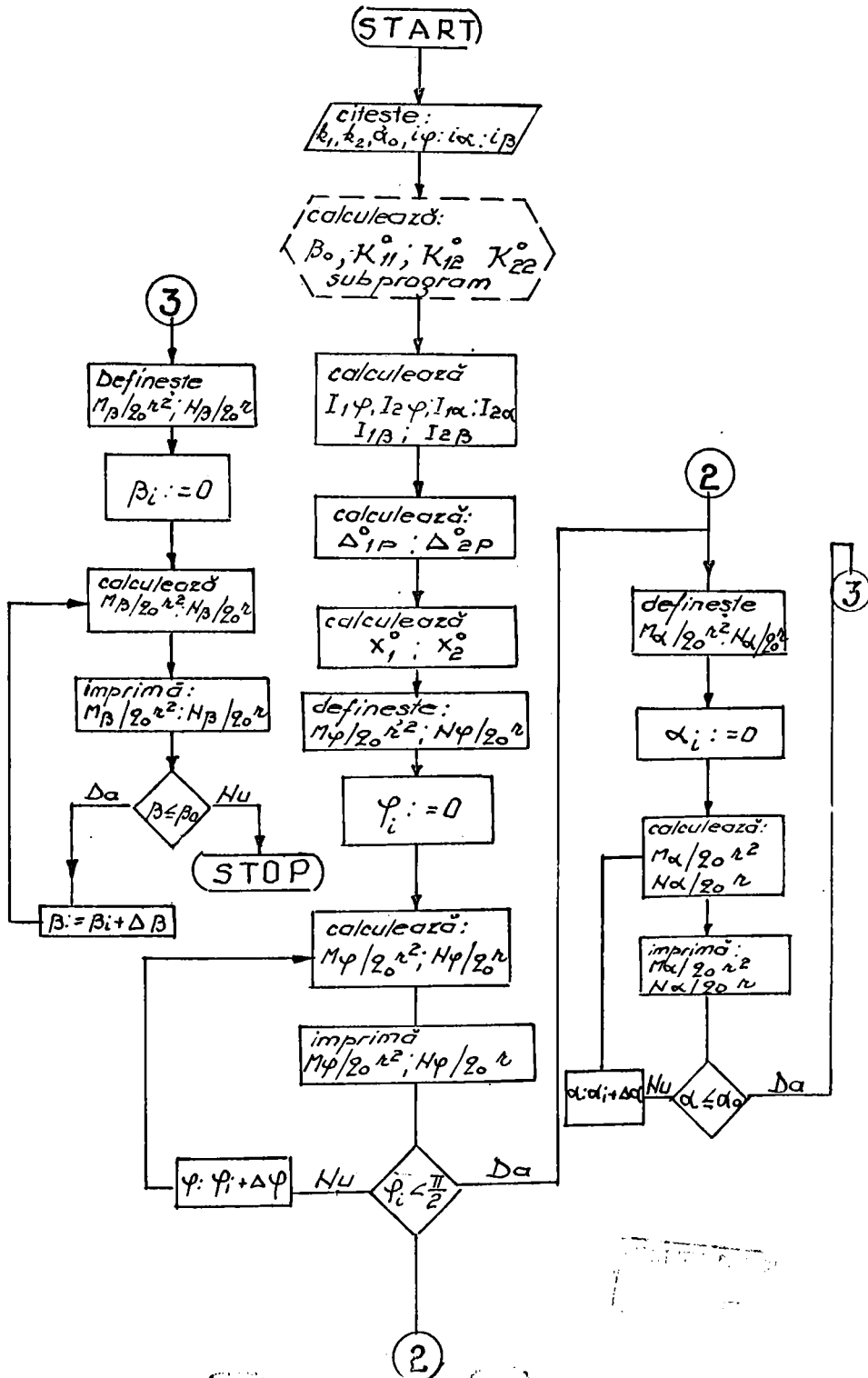
Această schemă permite calculul secțiunii în mai multe ipoteze de variație a momentelor de inerție astfel că în final se poate alege varianta optimă în funcție de situația încărcărilor pe porțiunea respectivă de tunel.

Programul prevede următoarele operații:

- 2 Alegerea datelor inițiale K_1, K_2, α_0
- 3 4 5 Calculul valorii $\sin \beta_0$, programul prevede o testare a valorii $\sin \beta_0$. În ipoteza că datele K_1, K_2, α_0 nu sînt bine alese mașina tipărește mesajul "Problemă imposibilă" și se oprește urmînd a se alege altă combinație a valorilor inițiale.
- 7 Calculul deplasărilor $(\delta_{ij})_{\varphi, \alpha}$ după relațiile 4.1-5 ; 4.1-7 ; 4.1-8 .
- 8 Se adoptă mai multe variante ale variației momentelor de inerție numerotate de la 1 la n
- 9 Calculul valorilor δ_{ij} după relațiile 4.1-6 ; 4.1-7a ; 4.1-8a . .
- 10 11 Calculul coeficienților k_{ij} și imprimarea lor
- 11 Numărător de ture, pentru a testa dacă toate variantele propuse inițial au fost calculate.

Schema logică pentru calculul eforturilor în secțiunile $\varphi \in (0; \frac{\pi}{2})$ și $\alpha \in (0; \alpha_0)$ și $\beta \in (0; \beta_0)$ este dată în fig.4.1-17, schema conține programul anterior ca pe un subprogram.





Ținând cont de parametrii secțiunii optime propuse se pot face calcule preliminare, valabile pentru toate tipurile de încărcări. Astfel se pot explicita după relațiilor (4.1-12) valorile eforturilor la limita intervalului :

- pentru $\alpha = \alpha_0$ se obține :

$$\begin{aligned} \left(\frac{M_{\alpha_0}^{\circ}}{q_0 r^2}\right) &= \left(\frac{M_{\frac{\pi}{2}}^{\circ}}{q_0 r^2}\right) - 0,171 \left(\frac{N_{\frac{\pi}{2}}^{\circ}}{q_0 r}\right) - \left(\frac{T_{\frac{\pi}{2}}^{\circ}}{q_0 r}\right) + \left(\frac{M_{\alpha_0 q}^{\circ}}{q_0 r^2}\right) \\ \left(\frac{N_{\alpha_0}^{\circ}}{q_0 r}\right) &= 0,943 \left(\frac{N_{\frac{\pi}{2}}^{\circ}}{q_0 r}\right) - 0,333 \left(\frac{T_{\frac{\pi}{2}}^{\circ}}{q_0 r}\right) + \left(\frac{N_{\alpha_0 q}^{\circ}}{q_0 r}\right) \\ \left(\frac{T_{\alpha_0}^{\circ}}{q_0 r}\right) &= 0,333 \left(\frac{N_{\frac{\pi}{2}}^{\circ}}{q_0 r}\right) + 0,943 \left(\frac{T_{\frac{\pi}{2}}^{\circ}}{q_0 r}\right) + \left(\frac{T_{\alpha_0 q}^{\circ}}{q_0 r}\right) \end{aligned} \quad (4.1-19)$$

În mod analog se pot calcula coeficienții numerici ai relațiilor 4.1-11 :

$$\begin{aligned} I_{1\alpha} &= 0,339 \left(\frac{M_{\frac{\pi}{2}}^{\circ}}{q_0 r^2}\right) - 0,016 \left(\frac{N_{\frac{\pi}{2}}^{\circ}}{q_0 r}\right) - 0,171 \left(\frac{T_{\frac{\pi}{2}}^{\circ}}{q_0 r}\right) + \int_0^{\alpha_0} \left(\frac{M_{\alpha q}^{\circ}}{q_0 r^2}\right) d\alpha \\ I_{2\alpha} &= 0,057 \left(\frac{M_{\frac{\pi}{2}}^{\circ}}{q_0 r^2}\right) - 0,004 \left(\frac{N_{\frac{\pi}{2}}^{\circ}}{q_0 r}\right) - 0,037 \left(\frac{T_{\frac{\pi}{2}}^{\circ}}{q_0 r}\right) + \int_0^{\alpha_0} \left(\frac{M_{\alpha q}^{\circ}}{q_0 r^2}\right) \sin \alpha d\alpha \\ I_{1\beta} &= 0,280 \left(\frac{M_{\alpha_0}^{\circ}}{q_0 r^2}\right) - 0,102 \left(\frac{N_{\alpha_0}^{\circ}}{q_0 r}\right) - 0,057 \left(\frac{T_{\alpha_0}^{\circ}}{q_0 r}\right) + \int_0^{\beta_0} \left(\frac{M_{\beta q}^{\circ}}{q_0 r^2}\right) d\beta \\ I_{2\beta} &= 0,277 \left(\frac{M_{\alpha_0}^{\circ}}{q_0 r^2}\right) - 0,101 \left(\frac{N_{\alpha_0}^{\circ}}{q_0 r}\right) - 0,054 \left(\frac{T_{\alpha_0}^{\circ}}{q_0 r}\right) + \int_0^{\beta_0} \left(\frac{M_{\beta q}^{\circ}}{q_0 r^2}\right) \cos(\beta_0 - \beta) d\beta \end{aligned} \quad (4.1-20)$$

Deplasările adimensionale se vor scrie :

$$\begin{aligned} \Delta_{1q}^{\circ} &= I_{1\varphi} \dot{\varphi} + 3I_{1\alpha} \dot{\alpha} + 3I_{1\beta} \dot{\beta} \\ \Delta_{2q}^{\circ} &= -(I_{1\varphi} - I_{2\varphi}) \dot{\varphi} - (3I_{1\alpha} + 9I_{2\alpha}) \dot{\alpha} - (-2,649I_{1\beta} + 9I_{2\beta}) \dot{\beta} \end{aligned} \quad (4.1-21)$$

unde :

$$3I_{1\alpha} + 9I_{2\alpha} = 1530 \left(\frac{M_{\frac{\pi}{2}}^{\circ}}{q_0 r^2}\right) - 0,840 \left(\frac{N_{\frac{\pi}{2}}^{\circ}}{q_0 r}\right) - 0,840 \left(\frac{T_{\frac{\pi}{2}}^{\circ}}{q_0 r}\right) + 9 \left(\frac{M_{\alpha_0 q}^{\circ}}{q_0 r^2}\right)$$

$$-2,649I_{1\beta} + 9I_{2\beta} = 1,751 \left(\frac{M_{\alpha_0}^{\circ}}{q \cdot r^2} \right) - 0,639 \left(\frac{N_{\alpha_0}^{\circ}}{q \cdot r} \right) - 0,395 \left(\frac{T_{\alpha_0}^{\circ}}{q \cdot r} \right) + (-2,649I_{1\beta q} + 9I_{2\beta q})$$

Valorile necunoscutelor se vor calcula cu relațiile :

$$X_1^{\circ} = K_{12}^{\circ} \Delta_{2q}^{\circ} - K_{22}^{\circ} \Delta_{1q}^{\circ}$$

$$X_2^{\circ} = K_{12}^{\circ} \Delta_{1q}^{\circ} - K_{11}^{\circ} \Delta_{2q}^{\circ}$$

Diagramele de eforturi se pot trasa ținând cont de relațiile :

$$\left(\frac{M}{q \cdot r^2} \right) = \left(\frac{M^{\circ}}{q \cdot r^2} \right) + X_1^{\circ} + A X_2^{\circ} ; \quad \left(\frac{N}{q \cdot r} \right) = \left(\frac{N^{\circ}}{q \cdot r} \right) + B X_2^{\circ}$$

Valorile A, B sînt calculate în tabelul 4.1-10.

| A, B | φ în grade | | | | | | | | α în grade | | | | | β în grade | | | |
|----------------|--------------------|--------|--------|--------|--------|--------|-------|-------|-------------------|--------|--------|--------|--------|------------------|--------|--------|--|
| | 0° | 15° | 30° | 45° | 60° | 75° | 90° | 0° | 5° | 10° | 15° | 19°26' | 0° | 5° | 10° | 16°21' | |
| $A_{p,1\beta}$ | 0,000 | -0,034 | -0,134 | -0,293 | -0,500 | -0,741 | -1,00 | -1,00 | -1,261 | -1,521 | -1,776 | -2,000 | -2,00 | -2,060 | -2,099 | -2,117 | |
| $B_{p,1\beta}$ | 1,000 | 0,956 | 0,866 | 0,707 | 0,500 | 0,259 | 0,000 | 0,00 | -0,087 | -0,173 | -0,259 | -0,333 | -0,381 | -0,398 | -0,394 | -1,000 | |

2.- Determinarea deformațiilor

În calculul deformațiilor interesează în primul rînd deplasarea pe direcția razei în punctul $\varphi = \frac{\pi}{2}$, $\alpha = 0$. În funcție de această deplasare se pot exprima deplasările celorlalte puncte datorită unei combinații de încălziri.

Aproximarea diagramei deplasărilor revine la a admite o anumită formă a încălzirii pasive. Deplasarea δ_H° se va exprima, conform celor obținute în capitolul 3, sub forma :

$$\delta_H^{\circ} = J_q + X_1^{\circ} \Delta_{1p}^{\circ} + X_2^{\circ} \Delta_{2p}^{\circ} \quad (4.1-22)$$

unde :

$$J_q = \int_0^R \left(\frac{M_{\alpha, \beta}}{q \cdot r^2} \right) \left(\frac{m_p}{p \cdot r} \right) \left(\frac{ds}{r} \right)$$

reprezintă deplasarea adimensională datorită încărcărilor exterioare pe structura de bază ;

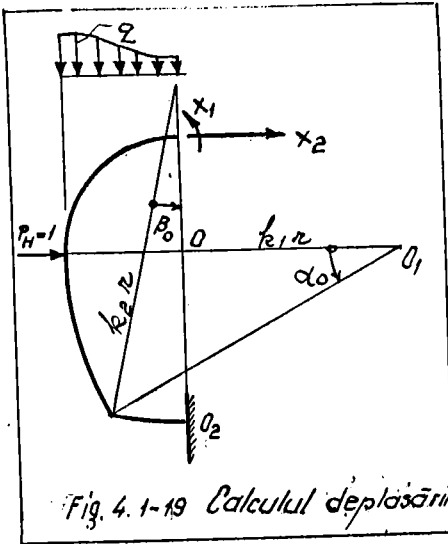


Fig. 4.1-19 Calculul deplasării

- $\Delta_{1P}^{\circ}, \Delta_{2P}^{\circ}$ reprezintă deplasările pe direcția H datorită încărcărilor unitare $x_1^{\circ} = 1$, $x_2^{\circ} = 1$ pe arcu de bază.

Valorile lor pot fi explicitate (fig.4.1-19) ținând cont de semnificația lor statică.

Forțele din încărcarea $P_H=1$ pe direcția de calcul a deformației sînt :

- pentru $\alpha \in (0; \alpha_0)$

$$\left(\frac{m^{\circ}P}{r}\right)_{\alpha} = -K_1 \sin \alpha$$

- pentru $\beta \in (0; \beta_0)$

$$\left(\frac{m^{\circ}P}{r}\right)_{\beta} = -[K_1 \sin \alpha_0 - K_2 \cos \beta_0] + K_2 \cos(\beta_0 - \beta)$$

Cu aceste valori se pot calcula :

$$J_q^{\circ} = \int_0^{\alpha_0} i_{\alpha} \left(\frac{M_{\alpha}^{\circ}}{q_0 r^2}\right) (-K_1 \sin \alpha) K_1 d\alpha + \int_0^{\beta_0} i_{\beta} \left(\frac{M_{\beta}^{\circ}}{q_0 r^2}\right) [-K_1 \sin \alpha_0 + K_2 \cos \beta_0 - K_2 \cos(\beta_0 - \beta)] K_2 d\beta$$

$$\Delta_{1P}^{\circ} = \int_0^{\alpha_0} \left(\frac{m^{\circ}P}{r}\right)_{\alpha} (m_1) K_1 d\alpha + \int_0^{\beta_0} \left(\frac{m^{\circ}P}{r}\right)_{\beta} (m_2) K_2 d\beta$$

$$\Delta_{2P}^{\circ} = \int_0^{\alpha_0} i_{\alpha} \left(\frac{m^{\circ}P}{r}\right)_{\alpha} \left(\frac{m_2}{r}\right) K_1 d\alpha + \int_0^{\beta_0} i_{\beta} \left(\frac{m^{\circ}P}{r}\right)_{\beta} \left(\frac{m_2}{r}\right) K_2 d\beta \quad (4.1-23)$$

Execuțînd calculele se obține :

$$J_q^{\circ} = [(\Delta_{1q}^{\circ})_{\alpha} + (\Delta_{2q}^{\circ})_{\alpha}] i_{\alpha} + [(\Delta_{1q}^{\circ})_{\beta} + (\Delta_{2q}^{\circ})_{\beta}] i_{\beta}$$

$$\Delta_{1P}^{\circ} = [(\delta_{11}^{\circ})_{\alpha} + (\delta_{12}^{\circ})_{\alpha}] \dot{L}_{\alpha} + [(\delta_{11}^{\circ})_{\beta} + (\delta_{12}^{\circ})_{\beta}] \dot{L}_{\beta}$$

$$\Delta_{2P}^{\circ} = [(\delta_{12}^{\circ})_{\alpha} + (\delta_{22}^{\circ})_{\alpha}] \dot{L}_{\alpha} + [(\delta_{12}^{\circ})_{\beta} + (\delta_{22}^{\circ})_{\beta}] \dot{L}_{\beta}$$

(4.1-24)

Relațiile 4.1-24 se pot pune sub formă, (efectuând anumite calcule impuse de definițiile simbolurilor ce formează aceste expresii) :

$$I_2 \varphi = \Delta_{1P}^{\circ} + \Delta_{2P}^{\circ} - I_2 \varphi$$

$$\Delta_{1P}^{\circ} = \delta_{11}^{\circ} + \delta_{12}^{\circ} - (\delta_{11}^{\circ})_{\varphi} - (\delta_{12}^{\circ})_{\varphi}$$

(4.1-25)

$$\Delta_{2P}^{\circ} = \delta_{12}^{\circ} + \delta_{22}^{\circ} - (\delta_{12}^{\circ})_{\varphi} - (\delta_{22}^{\circ})_{\varphi}$$

Dacă se ține cont de valorile deplasărilor pe porțiunea $\varphi \in (0; \frac{\pi}{4})$ se găsește :

$$I_2 \varphi = \Delta_{1P}^{\circ} + \Delta_{2P}^{\circ} - I_2 \varphi$$

$$\Delta_{1P}^{\circ} = \delta_{11}^{\circ} + \delta_{12}^{\circ} - 1$$

(4.1-26)

$$\Delta_{2P}^{\circ} = \delta_{12}^{\circ} + \delta_{22}^{\circ} + 1 - \frac{\pi}{4}$$

Substituind relațiile 4.1-26 în 4.1-22 se obține :

$$\delta_H^{\circ} = \Delta_{1P}^{\circ} + \Delta_{2P}^{\circ} - I_2 \varphi + x_1^{\circ} (\delta_{11}^{\circ} + \delta_{12}^{\circ}) - x_1^{\circ} + x_2^{\circ} (\delta_{12}^{\circ} + \delta_{22}^{\circ}) + (1 - \frac{\pi}{4}) x_2^{\circ}$$

(4.1-27)

Ordonând convenabil relația de mai sus și ținând cont de ecuațiile de echilibru static se obține în final :

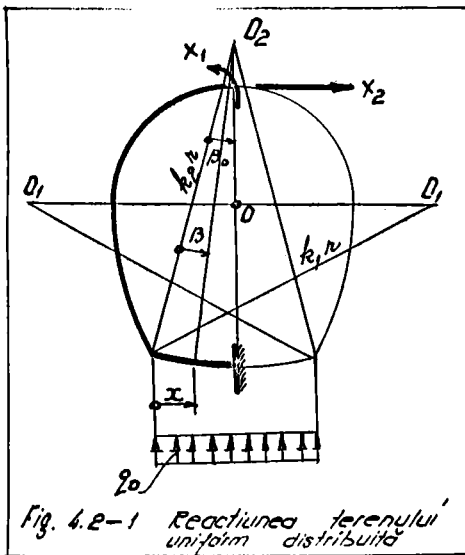
$$\delta_H^{\circ} = -I_2 \varphi + 0,215 x_2^{\circ} - x_1^{\circ}$$

(4.1-28)

4.2.- Încălziri curente

1.- Reacțiunea terenului uniform distribuită

Pentru o încălzire a cărei componentă verticală este $2P$ și un teren utinca rezultat, pentru reacțiune, relația (fig.4.2-1) :



$$q_0 = \frac{P}{k_2 r \sin \beta_0} \quad (4.2-1)$$

Eforturile pe structura static determinate sînt :

$$\frac{M_\beta^0}{q_0 r^2} = -\frac{1}{2} k_2^2 [\sin \beta_0 - \sin(\beta_0 - \beta)]^2 \quad (4.2-2)$$

$$\frac{N_\beta^0}{q_0 r} = k_2 [\sin \beta_0 - \sin(\beta_0 - \beta)] \sin(\beta_0 - \beta)$$

$$\frac{T_\beta^0}{q_0 r} = k_2 [\sin \beta_0 - \sin(\beta_0 - \beta)] \cos(\beta_0 - \beta)$$

Fig. 4.2-1 Reacțiunea terenului uniform distribuită

Integralele definite în 4.1-11 au expresiile :

$$I_1 \varphi = 0; I_2 \varphi = 0; I_1 \alpha = 0; I_2 \alpha = 0$$

$$I_{1\beta} = \int_0^\beta \frac{M_\beta^0}{q_0 r^2} = -\frac{1}{2} k_2^2 \left(\frac{1}{2} \beta_0 + \beta_0 \sin^2 \beta_0 - 2 \sin \beta_0 + \frac{2}{3} \sin \beta_0 \cos \beta_0 \right) \quad (4.2-3)$$

$$I_{2\beta} = \int_0^\beta \left(\frac{M_\beta^0}{q_0 r^2} \right) \cos(\beta_0 - \beta) d\beta = -\frac{1}{2} k_2^2 \cdot \frac{1}{3} \sin^3 \beta_0$$

Deplasirile adimensionale se calculează după relațiile 4.1-9 și au expresiile :

$$\Delta_{1\varphi}^{\circ} = K_2 I_{1\beta} \dot{\varphi}$$

$$\Delta_{2\varphi}^{\circ} = -K_2 [(1 + K_1 \sin \alpha_0 - K_2 \cos \beta_0) I_{1\beta} - K_2 I_{2\beta}] \dot{\varphi} \quad (4.2-4)$$

Coordonatele adimensionale sînt :

$$X_1^{\circ} = K_{12}^{\circ} \Delta_{2\varphi}^{\circ} - K_{22}^{\circ} \Delta_{1\varphi}^{\circ}$$

$$X_2^{\circ} = K_{12}^{\circ} \Delta_{1\varphi}^{\circ} - K_{11}^{\circ} \Delta_{2\varphi}^{\circ} \quad (4.2-5)$$

pentru cazul unei secțiuni cu parametrii $K_1 = K_2 = 3; K_0 \sin \alpha_0 =$
se găsesc coordonatele $X_1^{\circ}; X_2^{\circ}$ și deplasarea δ_H° :

- pentru $\dot{\varphi} : \dot{\alpha} : \dot{\beta} \Rightarrow 1:1:1$

$$X_1^{\circ} = -0,015 ; X_2^{\circ} = -0,038$$

$$\delta_H^{\circ} = 0,215 X_2^{\circ} - X_1^{\circ} = 0,0068$$

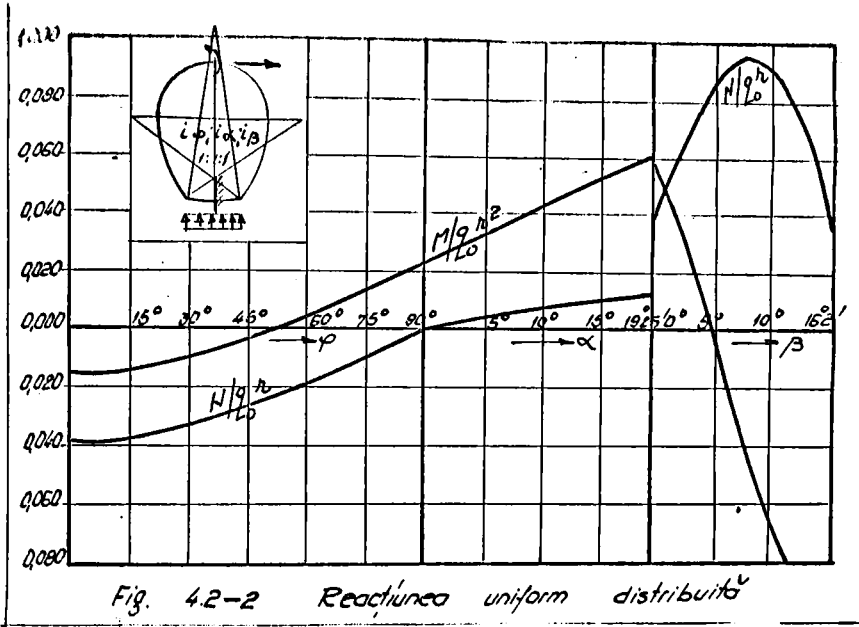
- pentru $\dot{\varphi} : \dot{\alpha} : \dot{\beta} \Rightarrow 1:5:5$

$$X_1^{\circ} = -0,025 ; X_2^{\circ} = -0,045$$

$$\delta_H^{\circ} = 0,0153$$

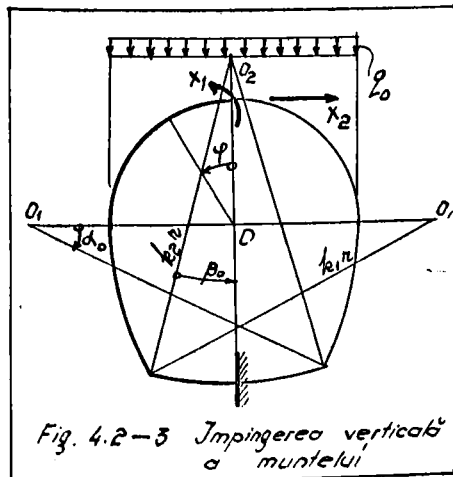
Variația eforturilor este calculată în tabelul 4.2.1 și reprezentată grafic pentru cazul momentelor de inerție constante, în figura 4.2-2.

| | φ in grade | | | | | | | α in grade | | | | β in grade | | | | |
|------------------------|--------------------|--------|--------|--------|--------|--------|--------|-------------------|--------|-------|-------|------------------|-------|-------|--------|--------|
| | 0° | 15° | 30° | 45° | 60° | 75° | 90° | 0° | 5° | 10° | 15° | 15'25" | 0° | 5° | 10° | 16'27" |
| $M_{1\varphi}^{\circ}$ | -0,015 | -0,014 | -0,004 | -0,004 | 0,004 | +0,013 | +0,023 | 0,023 | +0,033 | 0,043 | 0,052 | 0,061 | 0,051 | 0,030 | -0,068 | -0,265 |
| $M_{2\varphi}^{\circ}$ | -0,038 | -0,037 | -0,035 | -0,027 | -0,019 | -0,010 | 0,000 | 0,000 | 0,033 | 0,007 | 0,010 | 0,013 | 0,037 | 0,086 | 0,092 | 0,038 |
| $H_{1\varphi}^{\circ}$ | -0,025 | -0,024 | -0,019 | -0,012 | -0,003 | 0,008 | 0,020 | 0,020 | 0,032 | 0,043 | 0,055 | 0,065 | 0,065 | 0,035 | -0,064 | -0,275 |
| $H_{2\varphi}^{\circ}$ | -0,045 | -0,043 | -0,039 | -0,031 | -0,022 | -0,012 | 0,000 | 0,000 | 0,004 | 0,005 | 0,010 | 0,015 | 0,043 | 0,093 | 0,099 | 0,045 |



2.- Impingerea verticală uniform distribuită a muntelui

In cazul galeriilor săpate în roci dure, împingerea muntelui se poate aproxima sub forma unei încărcări uniforme distribuite (Fig.4.2-3) .



Forțele pe structura static determinată sînt :

• pentru $\varphi \in (0, \frac{\pi}{2})$

$$\frac{M_{\varphi}^0}{q_0 R^2} = -\frac{1}{2} \sin^2 \varphi$$

$$\frac{N_{\varphi}^0}{q_0 R} = -\sin^2 \varphi \quad (4.2-5)$$

$$\frac{T_{\varphi}^0}{q_0 R} = \sin \varphi \cos \varphi$$

la limita intervalului, pentru $\varphi = \frac{\pi}{2}$ rezultă :

$$\frac{M_{\frac{\pi}{2}}}{q_0 r^2} = -0,500 ; \frac{N_{\frac{\pi}{2}}}{q_0 r} = -1,00 ; \frac{T_{\frac{\pi}{2}}}{q_0 r} = 0,000 \quad (4.2-7)$$

- pentru $\alpha \in (0, \alpha_0)$ relațiile eforturilor sînt analoge cu formele celor din 4.1-2.

- pentru $\beta \in (0, \beta_0)$ eforturile se scriu după relațiile 4.1-13.

Indicarea nodeterminării se face calculînd succesiv după relațiile (4.1-20,21) valorile deplasărilor dimensionale din încărcarea exterioară.

$$\Delta_{1\varphi} = -0,3925 L \varphi - 0,459 L \alpha + 0,022 L \beta$$

$$\Delta_{2\varphi} = 0,226 L \varphi + 0,680 L \alpha - 0,139 L \beta \quad (4.2-8)$$

Recunoșterile se vor calcula cu ajutorul 4.2-5 pentru diferite valori ale raportelor momentelor de inerție.

Valorile recunoștelor sînt date în tabelul 4.2-2.

Valorile x_1^0, x_2^0, δ_H^0 Tabel 4.2-2

| φ, α, β | x_1^0 | x_2^0 | δ_H^0 |
|--------------------------|---------|---------|--------------|
| 120° | 0,000 | 0,000 | 0,000 |
| 110° | 0,000 | 0,000 | 0,000 |
| 100° | 0,000 | 0,000 | 0,000 |
| 90° | 0,000 | 0,000 | 0,000 |

Expresiile eforturilor totale se scriu prin suprapunerea efectelor, după relațiile (4.1-14,15,16).

Valorile nodelor structurilor analizate, pentru diferite valori ale variabilelor, în tabelul 4.2-3

și reprezentate grafic pentru cazul momentelor de inerție constante, în fig.4.2-4.

Valorile eforturilor totale Tabel 4.2-3

| φ | N | φ | | | | | | | | α | | | | | β | | |
|-----------|---------|-----------|--------|--------|--------|--------|--------|--------|--------|----------|--------|--------|--------|--------|---------|--------|--------|
| | | 0° | 15° | 30° | 45° | 60° | 75° | 90° | 0° | 5° | 10° | 15° | 19°25' | 0° | 5° | 10° | 15° |
| 120° | M/r^2 | 0,321 | 0,285 | 0,187 | 0,050 | -0,069 | -0,193 | -0,249 | -0,249 | -0,158 | -0,240 | -0,201 | -0,148 | -0,148 | +0,103 | 0,333 | 0,573 |
| 110° | M/r^2 | 0,070 | 0,001 | -0,189 | -0,451 | -0,735 | -0,915 | -1,000 | -1,000 | -1,020 | -0,997 | -0,904 | -0,968 | -0,346 | -0,260 | -0,774 | -0,673 |
| 110° | M/r^2 | 0,146 | 0,120 | 0,051 | -0,038 | -0,116 | -0,154 | -0,128 | -0,129 | -0,060 | +0,035 | 0,149 | 0,269 | - | - | - | - |
| 110° | M/r^2 | -0,226 | -0,293 | -0,448 | -0,660 | -0,863 | -0,992 | -1,000 | -1,000 | -0,976 | -0,946 | -0,907 | -0,868 | - | - | - | - |
| 150° | M/r^2 | 0,546 | 0,505 | 0,393 | 0,234 | 0,065 | -0,077 | -0,165 | -0,165 | -0,211 | -0,230 | -0,227 | -0,208 | -0,205 | +0,037 | 0,287 | 0,593 |
| 150° | M/r^2 | 0,211 | 0,137 | -0,067 | -0,351 | -0,644 | -0,876 | -1,000 | -1,000 | -1,014 | -1,022 | -1,020 | -1,013 | -0,488 | -0,398 | -0,314 | -0,211 |
| 150° | M/r^2 | 0,181 | 0,153 | 0,080 | -0,016 | -0,104 | -0,153 | -0,139 | -0,137 | 0,083 | 0,008 | 0,103 | 0,212 | - | - | - | - |
| 150° | M/r^2 | -0,241 | -0,406 | -0,627 | -0,840 | -1,000 | -1,000 | -1,000 | -1,000 | -0,983 | -0,954 | -0,919 | -0,883 | - | - | - | - |

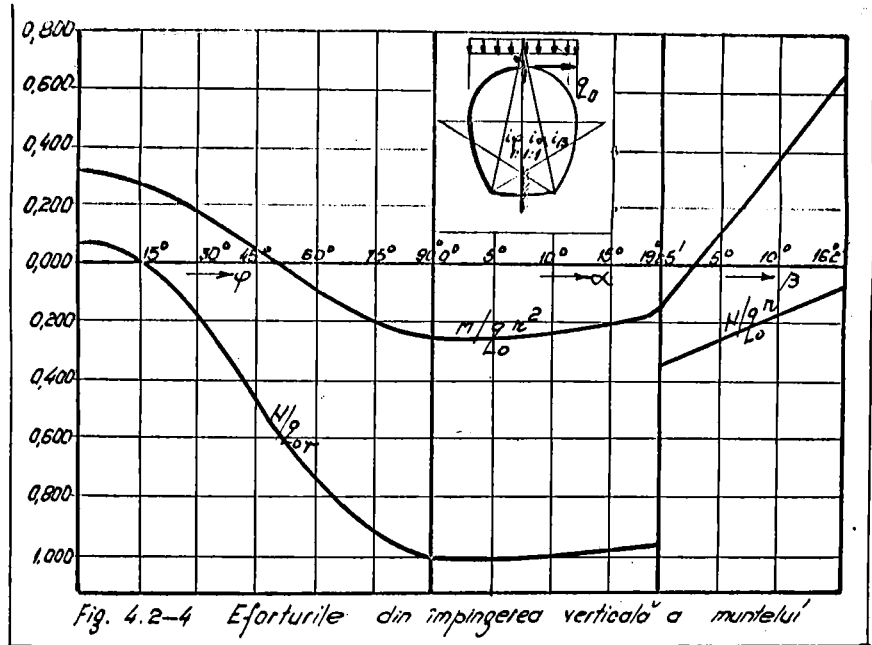


Fig. 4.2-4 Eforturile din împingerea verticală a muntelui

deplasările adimensionale se calculează după (4.1-26) și sînt trecute în tabelul 4.2-2.

3.- Presiunea pasivă a muntelui

Acastă încărcare apare ca urmare a rezistenței pasive a rocii sub acțiunea celorlalte încărcări direct aplicate. Distribuția încărcării (fig.4.2-5) este dată pe porțiuni de următoarele legi :

- pentru $\varphi \in (\varphi_0; \frac{\pi}{2})$

$$\frac{q\varphi}{q_0} = m(\sin\varphi - \sin\varphi_0) \quad (4.2-5)$$

unde :
$$m = \frac{1}{1 - \sin\varphi_0}$$

- pentru $\alpha \in (0; \alpha_0)$

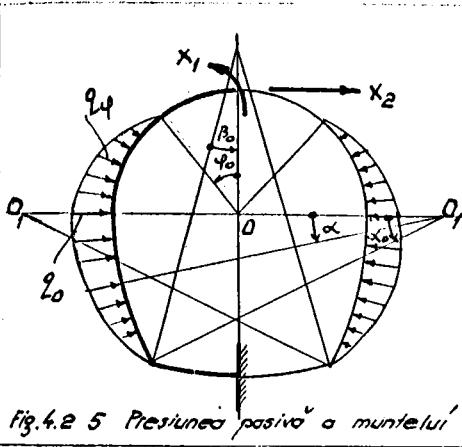


Fig. 4.2 5 Presiunea pasivă a muntelui

$$\frac{q_{xx}}{q_0} = r_2(\cos \varphi - \cos \varphi_0) \quad (4.2-10)$$

$$\text{unde : } n = \frac{1}{1 - \cos \varphi_0}$$

Solicitările pe arcul dețerminat se obțin prin integrări asupra unei variabile intermediare θ după cum urmează :

$$\begin{aligned} & \text{- pentru } \varphi \in (\varphi_0; \frac{\pi}{2}) \\ & \frac{M_{\varphi}^0}{q_0 r^2} = - \int_{\varphi_0}^{\varphi} m(\sin \theta - \sin \varphi_0) \sin(\varphi - \theta) d\theta; \quad \frac{N_{\varphi}^0}{q_0 r^2} = \frac{M_{\varphi}^0}{q_0 r^2} \\ & \frac{T_{\varphi}^0}{q_0 r} = \int_{\varphi_0}^{\varphi} m(\sin \theta - \sin \varphi_0) \cos(\varphi - \theta) d\theta \end{aligned} \quad (4.2-11)$$

prin integrare între limitele φ_0 și φ rezultă :

$$\begin{aligned} \frac{M_{\varphi}^0}{q_0 r^2} &= -m \left[\frac{1}{2}(\varphi - \varphi_0) \cos \varphi + \frac{1}{2} \sin \varphi - \sin \varphi_0 + \frac{1}{2} \sin \varphi_0 \cos(\varphi - \varphi_0) \right] \\ \frac{N_{\varphi}^0}{q_0 r} &= \frac{M_{\varphi}^0}{q_0 r^2}; \quad \frac{T_{\varphi}^0}{q_0 r} = \frac{1}{2} m [(\varphi - \varphi_0) \sin \varphi - \sin \varphi_0 \sin(\varphi - \varphi_0)] \end{aligned} \quad (4.2-12)$$

- pentru $\alpha \in (0, \alpha_0)$, rezultă :

$$\begin{aligned} \left(\frac{M_{\alpha}^0}{q_0 r^2} \right) &= \left(\frac{M_{\frac{\pi}{2}}^0}{q_0 r^2} \right) - \left(\frac{N_{\frac{\pi}{2}}^0}{q_0 r} \right) k_1 (1 - \cos \alpha) - \left(\frac{T_{\frac{\pi}{2}}^0}{q_0 r} \right) k_2 \sin \alpha + \left(\frac{M_{\alpha q_0}^0}{q_0 r^2} \right) \\ \left(\frac{N_{\alpha}^0}{q_0 r} \right) &= \left(\frac{N_{\frac{\pi}{2}}^0}{q_0 r} \right) \cos \alpha - \left(\frac{T_{\frac{\pi}{2}}^0}{q_0 r} \right) \sin \alpha + \left(\frac{N_{\alpha q_0}^0}{q_0 r} \right) \\ \left(\frac{T_{\alpha}^0}{q_0 r} \right) &= \left(\frac{N_{\frac{\pi}{2}}^0}{q_0 r} \right) \sin \alpha + \left(\frac{T_{\frac{\pi}{2}}^0}{q_0 r} \right) \cos \alpha + \left(\frac{T_{\alpha q_0}^0}{q_0 r} \right) \end{aligned} \quad (4.2-13)$$

unde : $M_{\frac{\pi}{2}}^0$; $N_{\frac{\pi}{2}}^0$; $T_{\frac{\pi}{2}}^0$ reprezintă eforturile în punctul $\varphi = \frac{\pi}{2}$

$M_{\alpha q_0}^0$; $N_{\alpha q_0}^0$; $T_{\alpha q_0}^0$ sînt eforturile pe porțiunea $\alpha \in (0, \alpha_0)$

venite din încărcarea uniformă pe această zonă

țin prin integrare în raport cu o variabilă intermediară

$$\left(\frac{M_{\alpha}^{\circ} q_0}{q_0 r^2}\right) = \int_0^{\alpha} -n (\cos \theta - \cos \alpha_0) k_1^2 \sin(\alpha - \theta) d\theta$$

$$\left(\frac{N_{\alpha}^{\circ} q_0}{q_0 r^2}\right) = \frac{1}{k_1} \left(\frac{M_{\alpha}^{\circ} q_0}{q_0 r^2}\right)$$

(4.2-14)

$$\left(\frac{T_{\alpha}^{\circ} q_0}{q_0 r}\right) = \int_0^{\alpha_0} n k_1 (\cos \theta - \cos \alpha_0) \cos(\alpha - \theta) d\theta$$

Realizând operațiile, se obține :

$$\left(\frac{M_{\alpha}^{\circ} q_0}{q_0 r^2}\right) = -n k_1^2 \left[\frac{1}{2} \alpha \sin \alpha - \cos \alpha_0 (1 - \cos \alpha_0)\right]$$

$$\left(\frac{N_{\alpha}^{\circ} q_0}{q_0 r}\right) = -n k_1 \left[\frac{1}{2} \alpha \sin \alpha - \cos \alpha_0 (1 - \cos \alpha_0)\right]$$

$$\left(\frac{T_{\alpha}^{\circ} q_0}{q_0 r}\right) = n k_1 \left[\frac{1}{2} \alpha \sin \alpha + \frac{1}{2} \sin \alpha - \sin \alpha \cos \alpha_0\right]$$

(4.2-15)

- pentru $\beta \in (0; \beta_0)$ solicitările se calculează după relațiile 4.1-13 după ce în prealabil s-au calculat valorile solicitărilor la limita intervalului precedent pentru $\alpha = \alpha_0$.

Se va ține cont că pe acest interval nefiind încălzire efecturile $M_{\beta}^{\circ} q_0; N_{\beta}^{\circ} q_0; T_{\beta}^{\circ} q_0$ vor fi nule.

Pentru ridicarea nedeterminării, considerând $\varphi = \frac{\pi}{4}$ se calculează :

$$(\Delta_1^{\circ} q)_\varphi = \int_0^{\frac{\pi}{2}} \left(\frac{M_\varphi}{q_0 r^2}\right) d\varphi = -0,031$$

$$(\Delta_2^{\circ} q)_\varphi = \int_0^{\frac{\pi}{2}} -\left(\frac{M_\varphi}{q_0 r^2}\right) (1 - \cos \varphi) d\varphi = 0,024$$

(4.2-16)

celelalte deplasări se calculează după relațiile 4.1-10 respectiv 4.1-21 pentru un caz particular.

se calculează în prealabil :

$$I_{1\alpha q_0} = \int_0^{\alpha_0} \left(\frac{M\alpha q_0}{q_0 r^2} \right) d\alpha = -n k_1^2 \frac{1}{2} \left[\sin\alpha_0 - \alpha_0 \cos\alpha_0 - 2\cos\alpha_0(\alpha_0 - \sin\alpha_0) \right]$$

$$I_{2\alpha q_0} = \int_0^{\alpha_0} \frac{M\alpha q_0}{q_0 r^2} \sin\alpha d\alpha = -n k_1^2 \left[\frac{1}{4}(\alpha_0^2 + \sin^2\alpha_0) - \frac{1}{2}\alpha_0 \sin\alpha_0 \cos\alpha_0 - \cos\alpha_0(1 - \cos\alpha_0) + \frac{1}{2}\cos\alpha_0 \sin^2\alpha_0 \right]$$

(4.2-17)

În cazul particular $k_1 = k_2 = 3$; $k_1 \sin\alpha_0 = 1$ rezultă, după relațiile 4.1-21:

$$\Delta_{1q}^{\circ} = -0,031 i\varphi - 1,200 L\alpha - 0,912 L\beta$$

$$\Delta_{2q}^{\circ} = 0,024 i\varphi + 2,200 L\alpha + 1,868 L\beta$$

(4.2-18)

Valorile necunoscutele sînt calculate în tabelul 4.2-4 împreună cu deplasările δ_H° . Valorile eforturilor totale sînt calculate în tabelul 4.2-5 și reprezentate pentru unul din cazuri în fig.4.2-6.

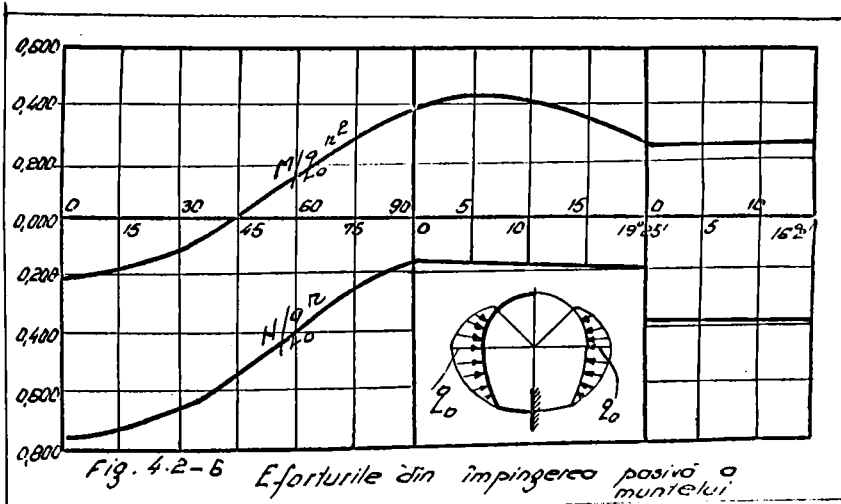
Pentru alte tipuri de încărcări calculul se conduce la fel.

Valorile $x_1^{\circ}; x_2^{\circ}; \delta_H^{\circ}$
Tabel 4.2-4

| $i\varphi; i\alpha; i\beta$ | x_1° | x_2° | δ_H° |
|-----------------------------|---------------|---------------|--------------------|
| 1:1:1 | -0,217 | -0,756 | 0,273 |
| 1:1:0 | -0,571 | -1,289 | 0,287 |
| 1:5:5 | -0,304 | -0,778 | 0,130 |
| 1:5:0 | -1,707 | -2,111 | 1,246 |

Valorile eforturilor $M/9_0 R^2$; $N/9_0 R$; $T/9_0 R$ Tabel 4.2-5

| | φ | | | | | | | α | | | | | β | | | |
|-------------------|-----------|--------|--------|--------|--------|--------|--------|----------|--------|--------|--------|--------|---------|--------|--------|--------|
| | 0 | 15 | 30 | 45 | 60 | 75 | 90 | 0 | 5 | 10 | 15 | 19°26' | 0 | 6 | 10 | 16°21' |
| 1:1 $M/9_0 R^2$ | -0,217 | -0,191 | -0,116 | 0,005 | 0,154 | 0,292 | 0,392 | 0,392 | 0,430 | 0,411 | 0,349 | 0,251 | 0,261 | 0,256 | 0,259 | 0,276 |
| $N/9_0 R$ | 0,755 | -0,730 | -0,555 | -0,534 | -0,385 | -0,247 | -0,147 | -0,147 | -0,135 | -0,141 | -0,161 | -0,191 | -0,377 | -0,380 | -0,379 | -0,374 |
| $T/9_0 R$ | 0,000 | -0,195 | -0,378 | -0,534 | -0,580 | -0,471 | -0,270 | -0,270 | -0,071 | 0,184 | 0,280 | 0,326 | 0,035 | 0,003 | -0,030 | -0,071 |
| 1:1,0 $M/9_0 R^2$ | -0,571 | -0,527 | -0,395 | -0,193 | 0,060 | 0,353 | 0,571 | 0,571 | 0,749 | 0,868 | 0,841 | 0,973 | - | - | - | - |
| $N/9_0 R$ | -1,229 | -1,245 | -1,115 | -0,911 | -0,652 | -0,385 | -0,147 | -0,147 | -0,088 | -0,048 | -0,023 | -0,013 | - | - | - | - |
| $T/9_0 R$ | 0,000 | -0,334 | -0,565 | -0,911 | -1,041 | -0,985 | -0,803 | -0,803 | -0,602 | -0,345 | -0,233 | -0,175 | - | - | - | - |
| 1:5,0 $M/9_0 R^2$ | -0,304 | -0,278 | -0,200 | -0,076 | 0,078 | 0,221 | 0,327 | 0,327 | 0,371 | 0,357 | 0,301 | 0,218 | 0,218 | 0,214 | 0,218 | 0,235 |
| $N/9_0 R$ | -0,778 | -0,752 | -0,547 | -0,550 | -0,395 | -0,253 | -0,147 | -0,147 | -0,132 | -0,137 | -0,158 | -0,184 | -0,356 | -0,358 | -0,357 | -0,352 |
| $T/9_0 R$ | 0,000 | -0,202 | -0,389 | -0,550 | -0,599 | -0,493 | -0,292 | -0,292 | -0,093 | 0,161 | 0,258 | 0,307 | 0,029 | -0,002 | -0,033 | -0,071 |
| 1:3,0 $M/9_0 R^2$ | -1,707 | -1,635 | -1,424 | -1,088 | -0,658 | -0,194 | 0,257 | 0,257 | 0,658 | 0,982 | 1,258 | 1,481 | - | - | - | - |
| $N/9_0 R$ | -2,111 | -2,039 | -1,828 | -1,492 | -1,063 | -0,598 | -0,147 | -0,147 | -0,016 | 0,098 | 0,189 | 0,261 | - | - | - | - |
| $T/9_0 R$ | 0,000 | -0,547 | -1,055 | -1,492 | -1,753 | -1,780 | -1,625 | -1,625 | -1,421 | -1,152 | -1,209 | -0,950 | - | - | - | - |



Capitolul 5 - Căptuseli de formă "finer de coș"

§ 5.1. - Eforturile și deplasările pentru o încărcare
oarecare

1. - Determinarea eforturilor

Secțiunea de formă "finer de coș" se poate obține din cea de formă specială (fig.2.1-11 b) punând condițiile :

$$\begin{aligned} \alpha \rightarrow 0 & \quad R_1 \cdot \sin \alpha_0 \rightarrow U_0 \\ R_1 \rightarrow \infty & \quad R_2 \cdot \cos \beta_0 \rightarrow v_0 \end{aligned} \quad (5.1-1)$$

Parametrii ce caracterizează secțiunea sînt :

- r - definește mărimea secțiunii din grupul secțiunilor de aceeași formă ;

- $u = \frac{h_0}{r}$ - definește înălțimea porțiunii drepte ;

- $v_0 = 1$ - definește mărimea radierului.

Secțiunea este perfect definită dacă se dau valorile

r, u_0 .

Un punct de pe circumferință este determinat de variabilele φ ; $y = u h_0$; $x = v r$, avînd originea și sensul de măsurare așa cum se vede în fig.5.1-1 . Domeniile de variație a variabililor sînt :

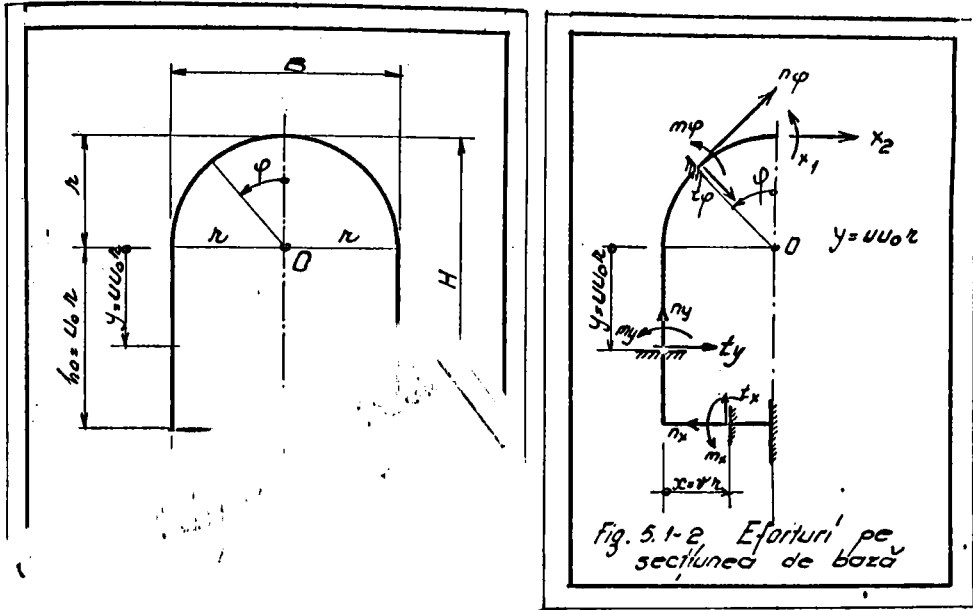
$$\varphi \in (0, \varphi_0) \quad u \in (0, 1) \quad v \in (0, 1)$$

cu notațiile :

$$y = u \cdot u_0 \cdot r \quad x = v \cdot r \quad h_0 = u_0 \cdot r$$

Calculul eforturilor se poate face pornind de la secțiunea de bază tăiată după verticală.

Definim funcțiile unitare f_{ij} pe forma de bază, în diferitele cazuri de variație ale variabililor cu expresiile :



$$\begin{array}{lll}
 \pi_{1\varphi} = 1 & \pi_{1\psi} = 0 & t_{1\varphi} = 0 \\
 \pi_{1y} = 1 & \pi_{1y} = 0 & t_{1y} = 0 \\
 \pi_{1x} = 1 & \pi_{1x} = 0 & t_{1x} = 0
 \end{array} \quad (5.1-2)$$

$$\begin{array}{lll}
 \pi_{2\varphi} = -(1 - \cos\varphi) & \pi_{2\psi} = \cos\varphi & t_{2\varphi} = \sin\varphi \\
 \pi_{2y} = -(1 + U \cdot U_0) \Gamma & \pi_{2y} = 0 & t_{2y} = 1 \\
 \pi_{2x} = -(1 + U_0) \cdot \Gamma & \pi_{2x} = -1 & t_{2x} = 0
 \end{array} \quad (5.1-2)$$

Invarianții adimensionali ai sistemului pot fi calculați după modelul relațiilor (3.1-4). Se ajunge la următoarea formă:

$$\delta_{11}^{\circ} = \int_S i_0 m_1^2 \left(\frac{ds}{r} \right) = (\delta_{11}^{\circ})_{\varphi} \cdot i_{\varphi} + i_y (\delta_{11}^{\circ})_y + i_x (\delta_{11}^{\circ})_x$$

$$\delta_{12}^{\circ} = \int_S i_s m_1 \left(\frac{m_2}{r} \right) \left(\frac{ds}{r} \right) = i_{\varphi} (\delta_{12}^{\circ}) + i_y (\delta_{12}^{\circ})_y + i_x (\delta_{12}^{\circ})_x$$

$$\delta_{22}^{\circ} = \int_S i_s \left(\frac{m_2}{r} \right)^2 \left(\frac{ds}{r} \right) = i_y (\delta_{22}^{\circ}) + i_y (\delta_{22}^{\circ})_y + i_x (\delta_{22}^{\circ})_x \quad (5.1-3)$$

Pentru secțiunile la care momentele de inerție sînt constante (pe porțiuni) se va folosi relația : i_{φ} ; i_y ; i_x cu semnificația :

$$i_{\varphi} = \frac{J_{\varphi}}{J_{\varphi}} \quad i_y = \frac{J_{\varphi}}{J_y} \quad i_x = \frac{J_{\varphi}}{J_x} \quad (5.1-4)$$

Dezvoltînd relația (5.1-3) pe porțiuni se găsește :

- pentru δ_{11}°

$$(\delta_{11}^{\circ})_{\varphi} = \int_0^{\pi/2} 1 \cdot d\varphi = \frac{\pi}{2}$$

$$(\delta_{11}^{\circ})_y = \int_0^1 1 \cdot u_0 \cdot du = u_0$$

$$(\delta_{11}^{\circ})_x = \int_0^1 1 \cdot dv = 1$$

(5.1-5)

Valoarea deplasării adimensionale δ_{11}° totale :

$$\delta_{11}^{\circ} = i_{\varphi} \frac{\pi}{2} + i_y \cdot u_0 + i_x \cdot 1 \quad (5.1-6)$$

- pentru δ_{12}°

$$(\delta_{12}^{\circ})_{\varphi} = \int_0^{\pi/2} -1 (1 - \cos \varphi) d\varphi = - \left(\frac{\pi}{2} - 1 \right)$$

$$(\delta_{12}^{\circ})_y = \int_0^1 -1 (1 + u \cdot u_0) u_0 \cdot du = - \left(\frac{u_0^2}{2} + u_0 \right)$$

(5.1-7)

$$(\delta_{12}^{\circ})_x = \int_0^1 -1 (1 + u_0) dv = - (1 + u_0)$$

Valoarea deplasării δ_{12}° pe întregul contur va fi :

$$\delta_{12}^{\circ} = - \left[\dot{i}_{\varphi} \left(\frac{\pi}{2} - 1 \right) + \dot{i}_y \left(\frac{1}{2} u_0^2 + u_0 \right) + \dot{i}_x (1 + u_0) \right] \quad (5.1-8)$$

- pentru δ_{22}°

$$\left(\delta_{22}^{\circ} \right)_{\varphi} = \int_0^{\pi/2} (1 - \cos \varphi)^2 d\varphi = \frac{3\pi}{4} - 2$$

$$\left(\delta_{22}^{\circ} \right)_y = \int_0^1 (1 + u \cdot u_0)^2 u_0 \cdot du = u_0 \left(\frac{1}{3} u_0^2 + u_0 + 1 \right) \quad (5.1-9)$$

$$\left(\delta_{22}^{\circ} \right)_x = \int_0^1 (1 + u_0)^2 d\varphi = (1 + u_0)^2$$

Valoarea totală a deplasării are expresia :

$$\delta_{22}^{\circ} = \dot{i}_{\varphi} \left(\frac{3\pi}{4} - 2 \right) + \dot{i}_y \cdot u_0 \left(\frac{1}{3} u_0^2 + u_0 + 1 \right) + \dot{i}_x (1 + u_0)^2 \quad (5.1-10)$$

Expresiile invariantilor adimensionali sînt calculați în tabelul 5.1-1 pentru cele mai frecvente cazuri.

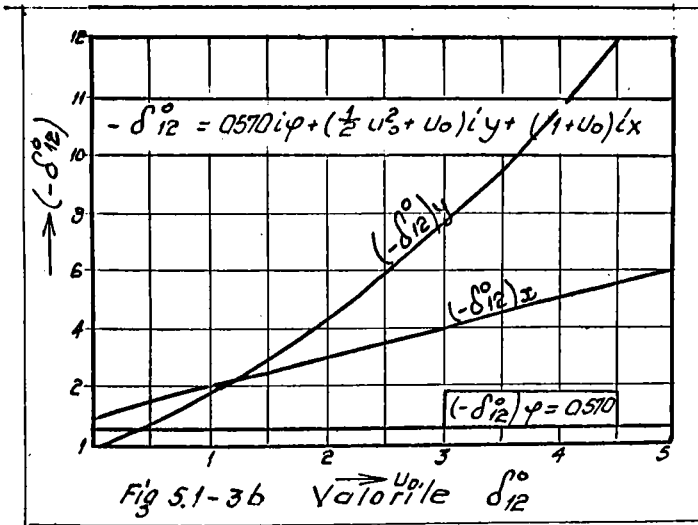
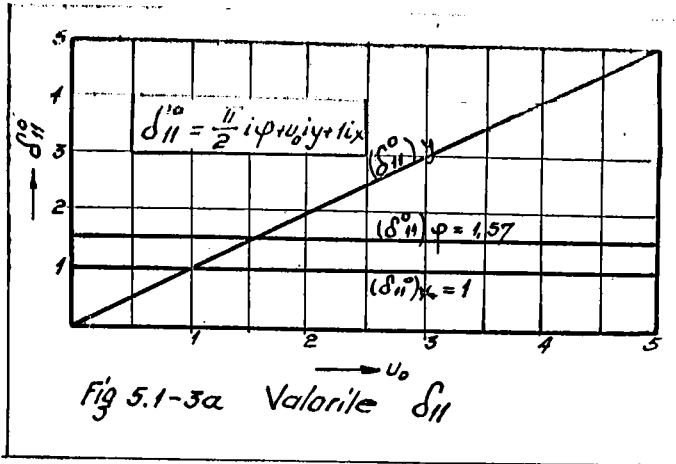
Diagramele din fig.5.1-3 permit calculul valorilor :

$$\delta_{ij}^{\circ} = \left(\delta_{ij}^{\circ} \right)_{\varphi} \cdot \dot{i}_{\varphi} + \left(\delta_{ij}^{\circ} \right)_y \cdot \dot{i}_y + \left(\delta_{ij}^{\circ} \right)_x \cdot \dot{i}_x \quad (5.1-11)$$

pentru orice valoare u_0 și oricare raport ($i_{\varphi} : i_y : i_x$) al momentelor de inerție.

Valorile numerice ale invariantilor Tabel 5.1-1

| u_0 | $i_{\varphi} : i_y : i_x$ | δ_{11}° | δ_{12}° | δ_{22}° | Δ° | κ_{11}° | κ_{12}° | κ_{22}° |
|-------|---------------------------|-----------------------|-----------------------|-----------------------|------------------|-----------------------|-----------------------|-----------------------|
| 1,5 | 1:1:1 | 4,07 | -5,695 | 11,48 | 14,29 | 0,285 | -0,398 | 0,803 |
| | 1:1:0 | 3,07 | -3,195 | 5,23 | 5,85 | 0,525 | -0,546 | 0,894 |
| | 1:5:5 | 14,07 | -26,195 | 55,98 | 101,44 | 0,139 | -0,259 | 0,552 |
| | 1:5:0 | 9,07 | -13,695 | 24,730 | 36,75 | 0,247 | -0,373 | 0,675 |
| 3 | 1:1:1 | 6,571 | -12,071 | 37,355 | 62,398 | 0,089 | -0,193 | 0,539 |
| | 1:1:0 | 4,571 | -8,071 | 21,355 | 32,47 | 0,141 | -0,248 | 0,660 |
| | 1:5:5 | 21,571 | -58,071 | 185,355 | 626,05 | 0,034 | -0,093 | 0,295 |
| | 1:5:0 | 16,371 | -38,071 | 105,355 | 296,44 | 0,056 | -0,128 | 0,355 |

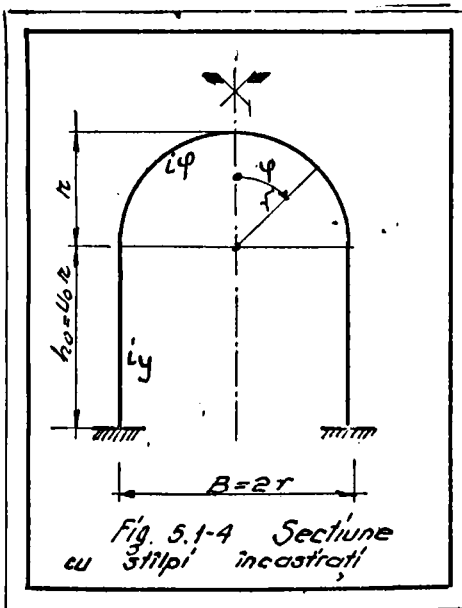
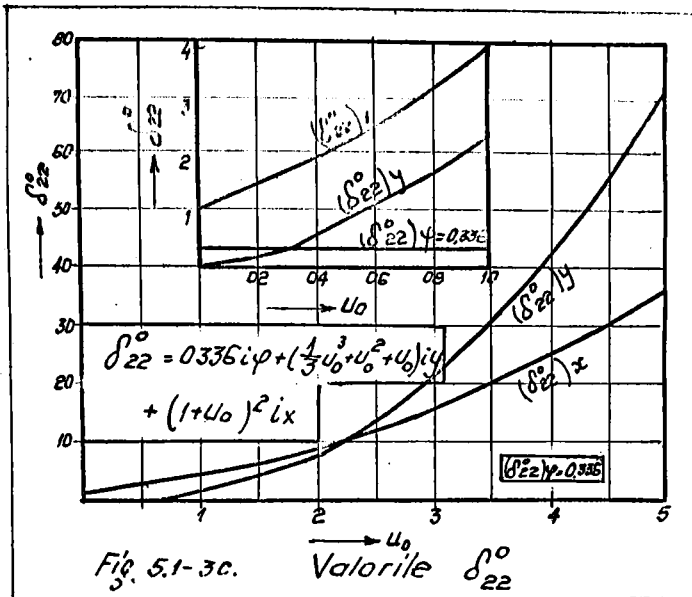


Se poate ușor observa că făcînd $i_x = 0$ se obține o secțiune a cărei radier (fig.5.1-4) nu este rigid legat de pereții laterali.

Deplasările din încărcările exterioare pe arcul de bază se pun sub forma adimensională :

$$\Delta_{12}^0 = (\Delta_{12}^0)_\varphi + \hat{i}_y (\Delta_{12}^0)_y + \hat{i}_x (\Delta_{12}^0)_x \quad (5.1-12)$$

$$\Delta_{20}^0 = (\Delta_{20}^0)_\varphi + \hat{i}_y (\Delta_{20}^0)_y + \hat{i}_x (\Delta_{20}^0)_x$$



Integralele parțiale ale deplasărilor au valorile :

$$(\Delta_{12})_{\varphi} = I_{1\varphi} = \int_0^{\pi/2} \frac{M_{\varphi}^0}{\rho_0 \cdot r^2} d\varphi$$

$$(\Delta_{12})_y = I_{1y} = \int_0^1 \frac{M_y^0}{\rho_0 \cdot r^2} \cdot 1 \cdot u_0 \cdot du$$

$$(\Delta_{12})_x = I_{1x} = \int_0^1 \frac{M_x^0}{\rho_0 \cdot r^2} d\varphi$$

$$(\Delta_{22})_{\varphi} = \int_0^{\pi/2} -1 \frac{M_{\varphi}^0}{\rho_0 \cdot r^2} (1 - \cos \varphi) d\varphi = -I_{1\varphi} + \int_0^{\pi/2} \frac{M_{\varphi}^0}{\rho_0 \cdot r^2} \cos \varphi d\varphi = -I_{1\varphi} + I_{2\varphi}$$

$$(\Delta_{2q})_y = \int_0^1 -\frac{M_y^0}{q_0 \cdot r^2} (1+u \cdot u_0) u_0 \, du = -I_{1y} - \int_0^1 u \cdot u_0^2 \frac{M_y^0}{q_0 \cdot r^2} \, du = -I_{1y} - I_{2y}$$

$$(\Delta_{2q})_x = \int_0^1 -\left(\frac{M_x^0}{q_0 \cdot r^2}\right) (1+u_0) \, dv = -I_{1x} - \int_0^1 \frac{M_x^0}{q_0 \cdot r^2} u_0 \, dv = -I_{1x} - I_{2x} = -(1+u_0) I_{1x}$$

S-au făcut următoarele notații :

$$I_{1\varphi} = \int_0^{\pi/2} \frac{M_\varphi^0}{q_0 \cdot r^2} \, d\varphi \quad I_{2\varphi} = \int_0^{\pi/2} \frac{M_\varphi^0}{q_0 \cdot r^2} \cos \varphi \, d\varphi$$

$$I_{1y} = \int_0^1 u_0 \frac{M_y^0}{q_0 \cdot r^2} \, du \quad I_{2y} = \int_0^1 u_0^2 \frac{M_y^0}{q_0 \cdot r^2} \, u \cdot du$$

(5.1-13)

$$I_{1x} = \int_0^1 \frac{M_x^0}{q_0 \cdot r^2} \, dv \quad I_{2x} = \int_0^1 u_0 \frac{M_x^0}{q_0 \cdot r^2} \, dv$$

Se vede că există identitatea $I_{2x} = I_{1x} u_0$.

mărimile (5.1-3) și (5.1-12) permit determinarea valorilor X_1^0 și X_2^0 , conform relațiilor de mai jos.

$$X_1^0 = K_{12}^0 \Delta_{2q} - K_{22}^0 \Delta_{1q} \quad (5.1-14)$$

$$X_2^0 = K_{12}^0 \Delta_{1q} - K_{11}^0 \Delta_{2q}$$

În expresiile de mai sus s-au folosit următoarele notații :

$$\Delta^0 = \delta_{11}^0 \cdot \delta_{22}^0 - (\delta_{12}^0)^2 \quad K_{11}^0 = \frac{\delta_{11}^0}{\Delta^0} \quad K_{12}^0 = \frac{\delta_{12}^0}{\Delta^0} \quad K_{22}^0 = \frac{\delta_{22}^0}{\Delta^0} \quad (5.1-14')$$

Eforturile într-o secțiune curentă, definită pe intervalele φ , u , v se pot scrie după cum urmează :

- pentru $\varphi \in (0, \frac{\pi}{2})$ se obțin expresiile :

$$\frac{M_\varphi}{2_0 \cdot r^2} = \frac{M_\varphi^0}{2_0 \cdot r^2} + X_1^0 - X_2^0 (1 - \cos \varphi)$$

$$\frac{N_\varphi}{2_0 \cdot r} = \frac{N_\varphi^0}{2_0 \cdot r} + X_2^0 \cdot \cos \varphi$$

$$\frac{T_\varphi}{2_0 \cdot r} = \frac{T_\varphi^0}{2_0 \cdot r} + X_2^0 \cdot \sin \varphi \quad (5.1-15)$$

- pentru $U \in (0, 1)$

$$\frac{M_y}{2_0 \cdot r^2} = \frac{M_y^0}{2_0 \cdot r^2} + X_1^0 - X_2^0 (1 + U \cdot U_0)$$

$$\frac{N_y}{2_0 \cdot r} = \frac{N_y^0}{2_0 \cdot r} \quad (5.1-16)$$

$$\frac{T_y}{2_0 \cdot r} = \frac{T_y^0}{2_0 \cdot r} + X_2^0$$

- pentru $\vartheta \in (0, 1)$

$$\frac{M_x}{2_0 \cdot r^2} = \frac{M_x^0}{2_0 \cdot r^2} + X_1^0 - (1 + U_0) X_2^0$$

$$\frac{N_x}{2_0 \cdot r} = \frac{N_x^0}{2_0 \cdot r} - X_2^0 \quad \frac{T_x}{2_0 \cdot r} = \frac{T_x^0}{2_0 \cdot r} \quad (5.1-17)$$

Relațiile de mai sus au următoarea formă generală :

$$\frac{M_\theta}{2_0 \cdot r^2} = \frac{M_\theta^0}{2_0 \cdot r^2} + X_1^0 + A_\theta \cdot X_2^0$$

$$\frac{N_\theta}{2_0 \cdot r} = \frac{N_\theta^0}{2_0 \cdot r} + X_2^0 \cdot B_\theta \quad (5.1-18)$$

$$\frac{T_\theta}{2_0 \cdot r} = \frac{T_\theta^0}{2_0 \cdot r} + X_2^0 \cdot C_\theta$$

Expresiile M_θ^0 , N_θ^0 , C_θ^0 sînt eforturi din încărcarea exterioră pe schema de bază. Valorile eforturilor pe schema de bază în intervalul $\varphi \in (0, \frac{\pi}{2}]$ se obțin prin integrarea încărcării pe porțiunea $\theta \in (0, \varphi)$. Eforturile pe schema de bază, din încărcarea exterioră, pe celelalte intervale se obțin după relațiile de mai jos :

• pentru $y \in (0, h_0)$

$$M_y^{\circ} = M_{\frac{\pi}{2}}^{\circ} - T_{\frac{\pi}{2}}^{\circ} \cdot u \cdot u_0 \cdot r + M_{2y}^{\circ}$$

$$N_y^{\circ} = N_{\frac{\pi}{2}}^{\circ} + N_{2y}^{\circ} \quad ; \quad T_y^{\circ} = T_{\frac{\pi}{2}}^{\circ} + T_{2y}^{\circ} \quad (5.1-19)$$

in care : M_{2y}° , N_{2y}° , T_{2y}° sînt eforturile obținute în această zonă cu încărcarea numai de pe această porțiune. Efectul încărcării superioare a fost totalizat în secțiunea $\varphi = \frac{\pi}{2}$

- pentru $x \in (0, r)$

$$M_x^{\circ} = M_{u_0}^{\circ} - T_{u_0}^{\circ} \cdot x$$

$$N_x^{\circ} = N_{u_0}^{\circ} + N_{2x}^{\circ}$$

$$T_x^{\circ} = T_{u_0}^{\circ} + T_{2x}^{\circ}$$

(5.1-20)

Valorile $M_{u_0}^{\circ}$, $N_{u_0}^{\circ}$, $T_{u_0}^{\circ}$ reprezintă eforturile la limita $y = h_0$ a intervalului y .

Coefficienții ce intră în relația (5.1-18) au expresiile:

$$\theta = \varphi \Rightarrow A_{\varphi} = -(1 - \cos \varphi) ; \quad B_{\varphi} = \cos \varphi \quad C_{\varphi} = \sin \varphi$$

$$\theta = y \Rightarrow A_y = -(1 + u_0 \cdot u) ; \quad B_y = 0 \quad C_y = 1 \quad (5.1-21)$$

$$\theta = x \Rightarrow A_x = -(1 + u_0) ; \quad B_x = -1 \quad C_x = 0$$

Valorile A_{φ} , B_{φ} , C_{φ} au fost intabulate, celelalte valori sînt constante sau se pot determina rapid din relațiile de definiție.

In rezumat, determinarea eforturilor la secțiunile de tipul "afiner de coș", pentru un anumit tip de încărcare, se face respectînd următoarea ordine de calcul, conform unei scheme logice generale (vezi cap.3) :

- Pregătirea datelor inițiale :

$$r ; u_0 ; \varphi ; \dot{c}_y ; \dot{c}_x.$$

- Calculul invariantilor adimensionali

$$\delta_{ij}^{\circ} \quad \begin{matrix} i=1,2 \\ j=1,2 \end{matrix}$$

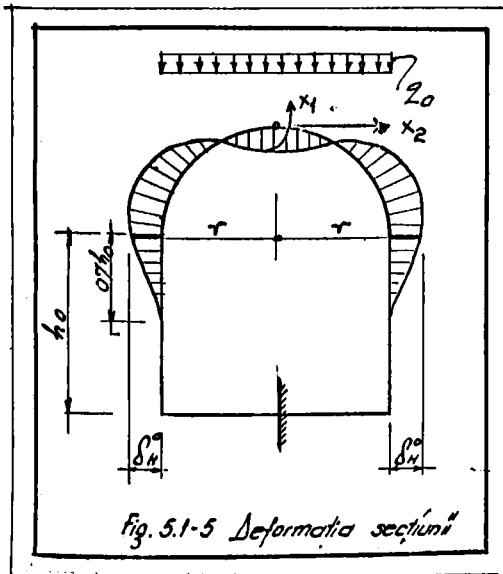
- Calculul eforturilor pe schema de bază $M_0^{\circ} ; N_0^{\circ} ; T_0^{\circ}$
 în diferite domenii $\alpha = \varphi, y, x$

- Determinarea necunoscutelor $X_1^{\circ} ; X_2^{\circ}$

- Calculul eforturilor $M_0 ; N_0 ; T_0$.

2.- Determinarea deformațiilor

Determinarea deformațiilor corespunzător diferitelor încărcări se va conduce pentru secțiunea $\varphi = \frac{\pi}{2}$. Deplasarea pe orizontală δ_H° va interesa, în primul rând, pentru determinarea încărcării din împingerea pasivă a muntelui.



Pentru determinarea deformației δ_H° (fig.5.1-5) se aplică pe direcția II o forță $P = 1$. Conform relației Mohr - Maxwell se poate scrie :

$$\delta_H^{\circ} = \int_s \frac{M}{q_0 \cdot r^2} \frac{\pi}{r} \frac{ds}{r} \quad (5.1-22)$$

unde :

$$\delta_H = \delta_H^{\circ} \frac{q_0 \cdot r^4}{E J \varphi}$$

Integrala din (5.1-22) se poate efectua ținând cont că:

- momentul "m" se scrie sub forma :

$$\frac{M}{q_0 \cdot r^2} = \frac{M^0}{q_0 \cdot r^2} + X_1^0 + A \cdot X_2^0 \quad (5.1-23)$$

și are expresii diferite dealungul variabililor $\varphi; y; x$ în conformitate cu relațiile (5.1-15 , 16 , 17)

- momentul "m" are pe diferite domenii expresia :

$$\frac{m}{r} = \frac{m^0}{r} + X_1^0 + X_2^0 \cdot A \quad (5.1-24)$$

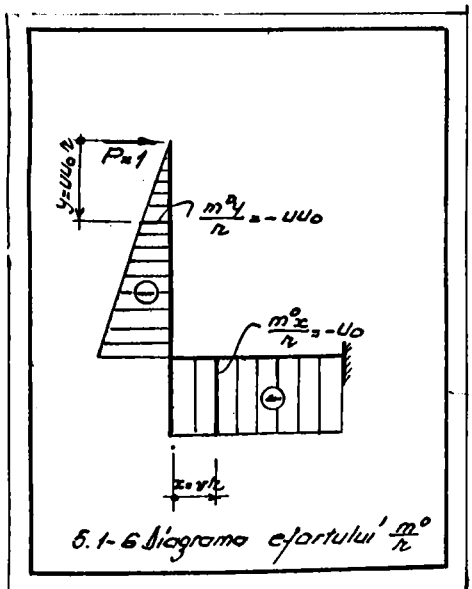
Ținând cont de cele obținute în cap.3, relația 5.1-22 se poate simplifica și aduce la forma :

$$\delta_H^0 = \int_S \frac{M}{q_0 \cdot r^2} \frac{m^0}{r} \frac{ds}{r} + \Delta_{1p}^0 X_1^0 + \Delta_{2p}^0 X_2^0 \quad (5.1-25)$$

În cele ce urmează, relația 5.1-25 se pune sub forma :

$$\delta_H^0 = J + X_1^0 \Delta_{1p}^0 + X_2^0 \cdot \Delta_{2p}^0 \quad (5.1-26)$$

constantelor din relația de mai sus se pot calcula având în vedere fig.5.1-6.



$$J = \int_0^1 \dot{y} \frac{M_y}{q_0 \cdot r^2} (-u \cdot u_0) u_0 du + \int_0^1 \dot{x} \frac{M_x}{q_0 \cdot r^2} (-u_0) dv \quad (5.1-27)$$

$$\Delta_{1p}^0 = \dot{y} \int_0^1 (-u \cdot u_0) u_0 du + \dot{x} \int_0^1 (-u_0) dv$$

$$\Delta_{2p}^0 = \dot{y} \int_0^1 (-u \cdot u_0) (-1 - u) u_0 du + \dot{x} \int_0^1 (-u_0) (-1 - u) dv$$

Efectuind calculele, se obține :

$$J_z = -(i_y I_{2y} + i_x I_{2x})$$

$$\Delta_{1p}^{\circ} = -\left(\frac{1}{2} U_0^2 i_y + U_0 i_x\right) \quad \Delta_{2p}^{\circ} = \left(\frac{1}{2} U_0^2 + \frac{1}{3} U_0^3\right) i_y + (U_0^2 + U_0) i_x \quad (5.1-28)$$

Relația finală pentru calculul deplasării se obține din (5.1-26) cu substituțiile impuse de relațiile (5.1-28).

$$\delta_H^{\circ} = -(i_y I_{2y} + i_x I_{2x}) - \left(\frac{1}{2} U_0^2 i_y + U_0 i_x\right) X_1^{\circ} + \left[\left(\frac{1}{2} U_0^2 + \frac{1}{3} U_0^3\right) i_y + (U_0^2 + U_0) i_x\right] X_2^{\circ} \quad (5.1-29)$$

În tabelul 5.1-2 sînt calculate cîteva valori uzuale ale mărimilor Δ_{1p}° ; Δ_{2p}°

$\delta_H^{\circ} = J_z \Delta_{1p}^{\circ} X_1^{\circ} + \Delta_{2p}^{\circ} X_2^{\circ}$
Tabel 5.1-2

| U_0 | $i_y : i_x$ | Δ_{1p}° | Δ_{2p}° |
|-------|-------------|-----------------------|-----------------------|
| 1,5 | 1:1:1 | -3,62 | 6,000 |
| | 1:1:0 | -1,12 | 2,250 |
| | 1:5:5 | -18,12 | 30,00 |
| | 1:5:0 | -5,62 | 11,250 |
| 3,0 | 1:1:1 | -7,500 | 25,500 |
| | 1:1:0 | -4,500 | 13,500 |
| | 1:5:5 | -37,500 | 127,500 |
| | 1:5:0 | -22,500 | 67,500 |

$J_z = -(i_y I_{2y} + i_x I_{2x})$

§ 5.2.- Încărcări din reacțiunea terenului

1.- Reacțiunea terenului uniform distribuită

Se consideră reacțiunea "șer de oș" (fig. 5.2-1)

încălcarea: q_0 , provenită dintr-o încălcare oarecare a cărei proiecție verticală este $2P$. Rezultă reacțiunea q_0 din relația :

$$q_0 = \frac{P}{r} \quad (5.2-1)$$

Solicitările pe arcul de bază, provenite din această încălcare pe diferite domenii au expresiile :

- pentru $\varphi \in (0, \frac{\pi}{2})$

$$M_\varphi^0 = 0 \quad N_\varphi^0 = 0 \quad T_\varphi^0 = 0 \quad (5.2.2)$$

- pentru $y \in (0, h_0) \Rightarrow u \in (0, 1)$

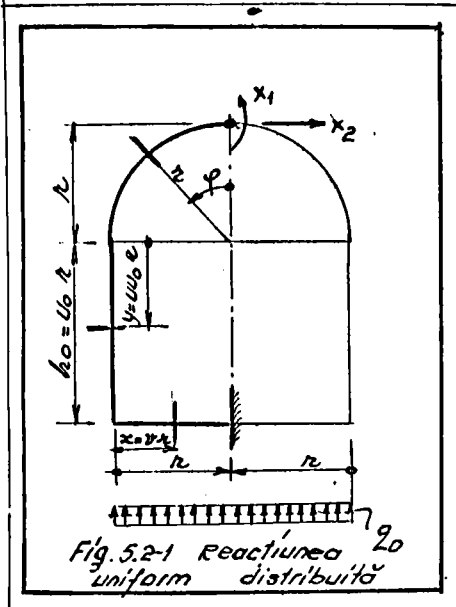
$$M_y^0 = 0 \quad N_y^0 = 0 \quad T_y^0 = 0 \quad (5.2-3)$$

- pentru $x \in (0, r) \Rightarrow v \in (0, 1)$

$$\frac{M_x^0}{q_0 \cdot r^2} = -\frac{1}{2} v^2 \quad (5.2-4)$$

$$\frac{N_x^0}{q_0 \cdot r} = 0$$

$$\frac{T_x^0}{q_0 \cdot r} = 0$$



Ridicarea nedeterminării se face după ce se calculează în prealabil, deplasările adimensionale. Deoarece momentul este diferit de zero numai pe porțiunea $x \in (0, r)$ se pot scrie deplasările sub forma :

$$\Delta_{1q}^0 = (\Delta_{1q}^0)_x = \int_0^1 \frac{M_x^0}{q_0 \cdot r^2} dv = \int_0^1 \left(-\frac{1}{2} v^2\right) dv = -\frac{1}{6} \quad (5.2-5)$$

$$\Delta_{2q}^0 = (\Delta_{2q}^0)_x = \int_0^1 \left(\frac{M_x^0}{q_0 \cdot r^2}\right)(1+u_0) dv = \int_0^1 \left(-\frac{1}{2} v^2\right)(1+u_0) dv = \frac{1}{6} (u_0+1)$$

Expresiile necunoscutele adimensionale se obțin din relațiile :

$$X_1^0 = k_{12}^0 \Delta_{2q} - k_{22}^0 \Delta_{1q}$$

$$X_2^0 = k_{12}^0 \Delta_{1q} - k_{11}^0 \Delta_{2q}$$

(5.2-6)

Valorile X_1^0, X_2^0 pentru câteva cazuri des utilizate în practică sînt calculate ținînd cont de tabelul 5.1-1 și sînt trecute în tabelul 5.2-1.

Valorile necunoscutele și deformărilor δ_H^0 Tabel 5.2-1

| u_0 | $i_p : i_y : i_x$ | x_1^0 | x_2^0 | δ_H^0 |
|-------|-------------------|---------|---------|--------------|
| 1,5 | 1 : 1 : 1 | -0,032 | -0,053 | +1,090 |
| | 1 : 1 : 0 | — | — | — |
| | 1 : 5 : 5 | -0,077 | -0,075 | +0,395 |
| | 1 : 5 : 0 | — | — | — |
| 3,0 | 1 : 1 : 1 | -0,029 | -0,027 | +1,530 |
| | 1 : 1 : 0 | — | — | — |
| | 1 : 5 : 5 | -0,065 | -0,036 | +1,848 |
| | 1 : 5 : 0 | — | — | — |

Expresiile se determină după relațiile 5.1-15, 16, 17, avînd valorile :

- pentru $\varphi \in (0, \frac{\pi}{2})$

$$\frac{M_y}{q_0 \cdot r^2} = X_1^0 - X_2^0 (1 - \cos \varphi)$$

$$\frac{N_y}{q_0 \cdot r} = X_2^0 \cos \varphi \quad (5.2-7)$$

$$\frac{T_y}{q_0 \cdot r} = X_2^0 \sin \varphi$$

- pentru $y \in (0, h_0) \Rightarrow u \in (0, 1)$

$$\frac{M_y}{q_0 \cdot r^2} = X_1^0 - X_2^0 (1 + u \cdot u_0)$$

(5.2-8)

$$\frac{N_y}{q_0 \cdot r} = 0 \quad \frac{T_y}{q_0 \cdot r} = X_2^0$$

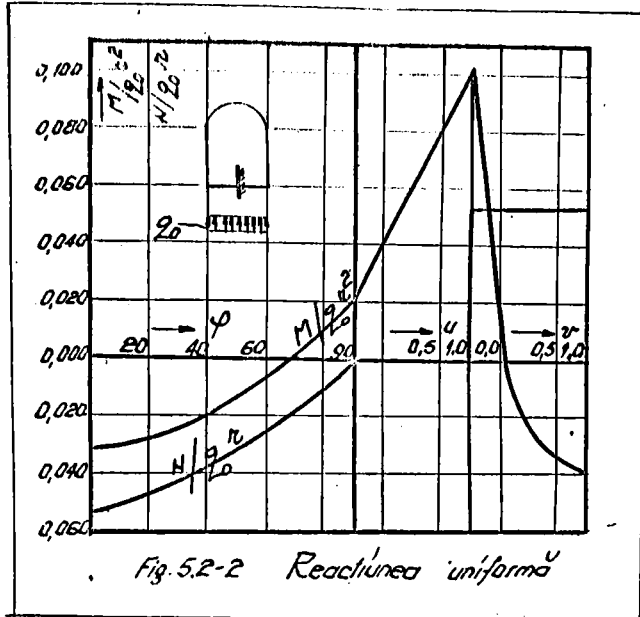
- pentru $x \in (0, r) \Rightarrow \vartheta \in (-0, 1)$

$$\frac{M_x}{q_0 \cdot r^2} = -\frac{1}{2} \vartheta^2 + X_1^0 - (1 + u_0) X_2^0 \quad \frac{N_x}{q_0 \cdot r} = -X_2^0 \quad \frac{T_x}{q_0 \cdot r} = \vartheta$$

Valorile numerice ale eforturilor sînt calculate (pentru $i_y : i_x : i_x = 1 : 1 : 1$) în tabelul 5.2-2 și reprezentate în fig. 5.2-2.

Valorile eforturilor M, N, T Tabel 5.2-2

| u_0 | $i_p : i_y : i_x$ | | φ | | | u | | | | ϑ | | |
|-------|-------------------|-------------|-----------|--------|--------|--------|--------|--------|--------|-------------|--------|--------|
| | | | 0° | 45° | 90° | 0,0 | 0,5 | 0,7 | 1,0 | 0 | 0,5 | 1,0 |
| 1,5 | 1 : 1 : 1 | $M/q_0 r^2$ | -0,032 | -0,016 | 0,021 | 0,021 | 0,061 | 0,076 | 0,101 | 0,101 | -0,024 | -0,394 |
| | | $N/q_0 r$ | -0,053 | -0,037 | 0,000 | 0,000 | 0,000 | 0,000 | 0,000 | 0,053 | 0,053 | 0,053 |
| | | $T/q_0 r$ | 0,000 | -0,037 | -0,053 | -0,053 | -0,053 | -0,053 | -0,053 | -0,053 | 0,000 | 0,500 |



Deformația la nivelul orizontal are expresia :

$$\delta_H^0 = +\frac{1}{6} u_0 \cdot i_x - \left(\frac{1}{2} u_0^2 i_y + u_0 \cdot i_x\right) X_1^0 + \left[\left(\frac{1}{2} u_0^2 + \frac{1}{8} u_0^3\right) i_y + (u_0^2 + u_0) i_x\right] X_2^0 \quad (5.2-9)$$

Valorile δ_H^0 sînt calculate în tabelul 5.2-1.

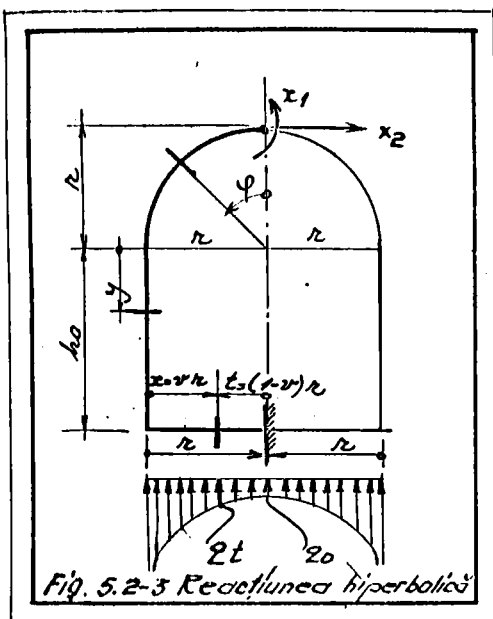
2.- Reacțiunea terenului distribuită hiperbolic

Distribuția încărcării (fig.5.2-3) se face după legea :

$$q_x = q_0 \frac{1}{\sqrt{1 - \left(\frac{x}{r}\right)^2}} \quad (5.2-10)$$

mărimea q_0 rezultă din condiția de echilibru static după verticală :

$$P = \int_0^r q_0 \frac{1}{\sqrt{1 - \left(\frac{x}{r}\right)^2}} dt. \quad (5.2-11)$$



unde :

- P reprezintă încărcarea verticală pe jumătatea secțiunii.

Efectuând integrala din 5.2-11, rezultă :

$$q_0 = \frac{2}{\pi} \frac{P}{r} \quad (5.2-12)$$

Forțele pe schema de bază se scriu :

- pentru $\varphi \in (0, \frac{\pi}{2})$

$$M_\varphi^0 = 0 \quad N_\varphi^0 = 0 \quad T_\varphi^0 = 0 \quad (5.2-13)$$

- pentru $y \in (0, h_0)$

$$M_y^0 = 0 \quad N_y^0 = 0 \quad T_y^0 = 0 \quad (5.2-14)$$

- pentru $x \in (0, r) \Rightarrow v \in (0, 1) \Rightarrow t \in (1, 0)$

$$\frac{M_x^0}{q_0 \cdot r^2} = - \int_t^1 \frac{u-t}{\sqrt{1-u^2}} du = - \left[\sqrt{1-t^2} - t \left(\frac{\pi}{2} - \arcsin t \right) \right]$$

$$N_x^0 = 0$$

$$\frac{T_x^0}{q_0 \cdot r} = \int_t^1 \frac{1}{\sqrt{1-(t)^2}} dt = \frac{\pi}{2} - \arcsin t$$

În relațiile de mai sus se face schimbarea de variabilă :

$$t + v = 1$$

și se obține :

$$\frac{M_x^0}{q_0 \cdot r^2} = - \left[\sqrt{1-(1-v)^2} - (1-v) \left(\frac{\pi}{2} - \arcsin(1-v) \right) \right]$$

$$\frac{N_x^0}{q_0 \cdot r} = 0$$

$$\frac{T_x^0}{q_0 \cdot r} = \frac{\pi}{2} - \arcsin(1-v)$$

(5.2-15)

Ridicarea nedeterminării se obține calculând în prealabil valorile :

$$\Delta_{1q}^{\circ} = (\Delta_{1q})_x = \int_0^1 \left[\sqrt{1-t^2} - t \left(\frac{\pi}{2} - \arcsin t \right) \right] dt$$

$$\Delta_{2q}^{\circ} = (\Delta_{2q})_x = -(1+u_0) \int_0^1 \left[\sqrt{1-t^2} - t \left(\frac{\pi}{2} - \arcsin t \right) \right] dt \quad (5.2-16)$$

Efectuarea integralelor între limitele indicate conduce la următoarele rezultate :

$$\Delta_{1q}^{\circ} = -\frac{\pi}{8}$$

$$\Delta_{2q}^{\circ} = \frac{\pi}{8} (1+u_0) \quad (5.2-17)$$

Expresiile necunoscutele se obțin din relațiile (6.2-6)

Valorile necunoscutelelor x_1°, x_2° și deformației δ_H°
Tabel 5.2-3

| u_0 | $i_y: i_x$ | x_1° | x_2° | δ_H° |
|-------|------------|---------------|---------------|--------------------|
| 1:5 | 1:1:1 | -0,075 | -0,123 | +0,124 |
| | 1:1:0 | — | — | — |
| | 1:5:5 | -0,182 | -0,175 | +0,990 |
| | 1:5:0 | — | — | — |
| 3 | 1:1:1 | -0,069 | -0,064 | +0,097 |
| | 1:5:0 | — | — | — |
| | 1:5:5 | -0,150 | -0,085 | +0,682 |
| | 1:5:0 | — | — | — |

ținând cont de tabelul 5.1-1.

Valorile x_1°, x_2° sînt calculate pentru cîteva cazuri particulare în tabelul 5.2-3.

Eforturile totale pe întreaga structură se scriu în conformitate cu relațiile (5.1-15, 16,17) după cum urmează :

- pentru $\varphi \in (0, \frac{\pi}{2})$

$$\frac{M_{\varphi}}{q_0 \cdot r^2} = x_1^{\circ} - x_2^{\circ} (1 - \cos \varphi) \quad (5.2-18)$$

$$\frac{N_{\varphi}}{q_0 \cdot r} = x_2^{\circ} \cos \varphi \quad \frac{T_{\varphi}}{q_0 \cdot r} = x_2^{\circ} \sin \varphi$$

- pentru $y \in (0, h_0) \Rightarrow u \in (0, 1)$

$$\frac{M_y}{q_0 \cdot r^2} = x_1^{\circ} - x_2^{\circ} (1 + u \cdot u_0) \quad (5.2-19)$$

$$\frac{N_y}{q_0 \cdot r} = 0 \quad \frac{T_y}{q_0 \cdot r} = x_2^{\circ}$$

- pentru $x \in (0, r) \Rightarrow v \in (0, 1)$

$$\frac{M_x}{q_0 \cdot r^2} = -\left[\sqrt{1-(1-\nu)^2} - (1-\nu)\left(\frac{\pi}{2} - \arcsin(1-\nu)\right)\right] + X_1^0 - (1+\nu_0)X_2^0$$

132

$$\frac{N_x}{q_0 \cdot r} = -X_2^0$$

$$\frac{T_x}{q_0 \cdot r} = \frac{\pi}{2} - \arcsin(1-\nu)$$

(5.2-20)

Calculul eforturilor pentru cazul momentelor de inerție constante este condus în tabelul 5.2-4 și reprezentate grafic în diagrama din fig.5.2-4.

Eforturile M, H, T

Tabel 5.2-4

| U ₀ | μ ₁ μ ₂ μ ₃ | φ în grade | μ | | | | ν | | | | | |
|----------------|--|------------|--------|--------|--------|--------|--------|--------|--------|--------|--------|--------|
| | | | 0° | 45° | 90° | 0 | 0,5 | 0,7 | 1,0 | 0,0 | 0,5 | 1,0 |
| 1,5 | 1:1:1 | 7/20, 2/2 | -0,075 | -0,039 | +0,048 | +0,048 | 0,140 | 0,177 | 0,233 | 0,233 | -0,342 | -0,767 |
| | | 5/3, 1 | 0,123 | 0,057 | 0,070 | 0,070 | 0,200 | 0,250 | 0,300 | 0,300 | -0,415 | -0,915 |
| | | 1/2, 2 | 0,000 | 0,000 | -0,125 | -0,125 | -0,125 | -0,125 | -0,125 | -0,125 | 0,000 | 1,000 |

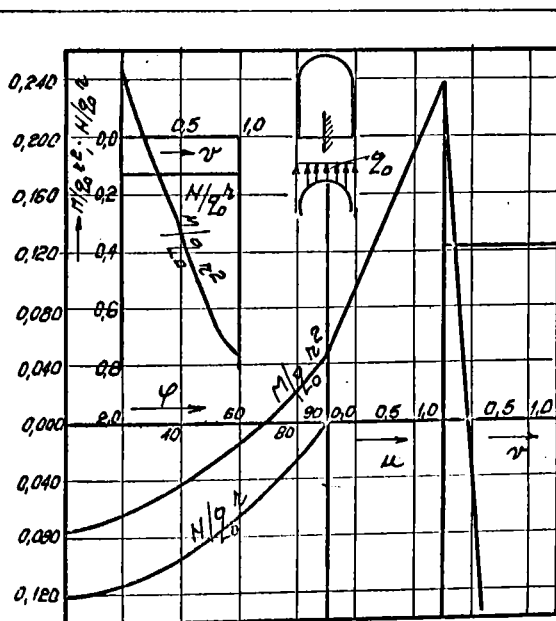


Fig. 5.2-4 Diagrama eforturilor

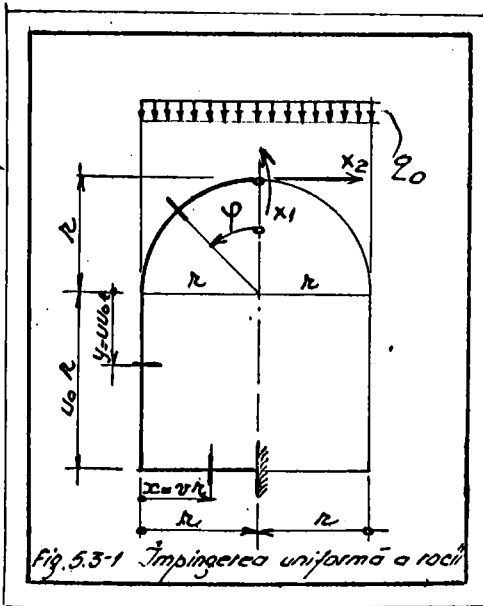
Deplasarea adimensională în horizontala arcului se obține din (5.1-26) cu substituțiile impuse de 5.2-17. Se obține :

$$\delta_H^0 = +\frac{\pi}{8} U_0 \cdot i_x - \left(\frac{1}{2} U_0^2 \cdot i_y + U_0 \cdot i_x\right) X_1^0 + \left[\left(\frac{1}{2} U_0^2 + \frac{1}{3} U_0^3\right) i_y + (U_0^2 + U_0) i_x\right] X_2^0 \quad (5.2-21)$$

Valorile acestei expresii sînt calculate, pentru cîteva cazuri particulare, în tabelul 5.2-3.

§ 5.3.- Încărcări din împingerea muntelui

Pentru roci cu duritate mare se admite o împingere verticală a muntelui, uniform distribuită fig.5.3-1.



Eforturile pe schema de bază se pot scrie cu ușurință, avînd în vedere forma încărcării. Se obține :

- pentru $\varphi \in (0, \frac{\pi}{2})$

$$\frac{M_\varphi^0}{q_0 \cdot r^2} = -\frac{1}{2} \sin^2 \varphi$$

$$\frac{N_\varphi^0}{q_0 \cdot r} = -\sin^2 \varphi \quad (5.3-1)$$

$$\frac{T_\varphi^0}{q_0 \cdot r} = \sin \varphi \cdot \cos \varphi$$

La limita intervalului $\varphi = \frac{\pi}{2}$, eforturile au valorile :

$$\frac{M_{\frac{\pi}{2}}^0}{q_0 \cdot r^2} = -\frac{1}{2} \quad \frac{N_{\frac{\pi}{2}}^0}{q_0 \cdot r} = -1 \quad \frac{T_{\frac{\pi}{2}}^0}{q_0 \cdot r} = 0 \quad (5.3-2)$$

În funcție de aceste valori se poate scrie :

- pentru $u \in (0, 1) \Rightarrow y \in (0, h_0)$

$$\frac{M_y^0}{\rho_0 \cdot r^2} = -\frac{1}{2} \quad \frac{N_y^0}{\rho_0 \cdot r} = -1 \quad \frac{T_y^0}{\rho_0 \cdot r} = 0 \quad (5.3-3)$$

- pentru $v \in (0, 1) \Rightarrow x \in (0, r)$

$$\frac{M_x^0}{\rho_0 \cdot r^2} = -\frac{1}{2} + v \quad \frac{N_x^0}{\rho_0 \cdot r} = 0 \quad \frac{T_x^0}{\rho_0 \cdot r} = -1 \quad (5.3-4)$$

Reducerea nedeterminării se poate face dacă se calculează :

$$I_{1y} = \int_0^{\pi/2} \left(\frac{M_y^0}{\rho_0 \cdot r^2} \right) d\varphi = \int_0^{\pi/2} \left(-\frac{1}{2} \sin^2 \varphi \right) d\varphi = -0,3925$$

$$I_{2y} = \int_0^{\pi/2} \frac{M_y^0}{\rho_0 \cdot r^2} \cos \varphi d\varphi = \int_0^{\pi/2} -\frac{1}{2} \sin^2 \varphi \cos \varphi d\varphi = -0,167 \quad (5.3-5)$$

În mod analog se găsește :

$$I_{1y} = u_0 \int_0^1 \frac{M_y^0}{\rho_0 \cdot r^2} du = -\frac{1}{2} u_0$$

$$I_{2y} = u_0^2 \int_0^1 \frac{M_y^0}{\rho_0 \cdot r^2} u \cdot du = -\frac{1}{4} u_0^2 \quad (5.3-6)$$

$$I_{1x} = \int_0^1 \frac{M_x^0}{\rho_0 \cdot r^2} dv = \int_0^1 \left(v - \frac{1}{2} \right) dv = 0$$

$$I_{2x} = 0$$

Relațiile 5.3-5, 6 permit calculul deplasărilor pe direcțiile necunoscute. Conform relațiilor 5.1-13 se obține :

$$\Delta_{1z}^0 = -0,3925 \dot{\varphi} - \frac{1}{2} u_0 \dot{\varphi} + 0,000 \dot{\alpha} \quad (5.3-7)$$

$$\Delta_{2z}^0 = 0,2255 \dot{\varphi} + \left(\frac{1}{2} u_0 + \frac{1}{4} u_0^2 \right) \dot{\varphi} + 0,000 \dot{\alpha}$$

Necunoscutele adimensionale X_1^0 , X_2^0 pot fi calculate cu expresiile 5.1-14. Valorile numerice ale eforturilor din cheie pentru oțeva cazuri uzuale sînt calculate în tabelul 5.3-1.

Valorile necunoscutelelor și deformației δ_H^0 Tabel 5.3-1

| U_0 | $i_y:i_z:i_x$ | X_1^0 | X_2^0 | δ_H^0 |
|-------|---------------|---------|---------|--------------|
| 1,5 | 1:1:1 | 0,305 | 0,017 | -0,451 |
| | 1:1:0 | 0,102 | -0,104 | -0,067 |
| | 1:5:5 | 0,534 | 0,125 | -3,171 |
| | 1:5:0 | 0,256 | -0,132 | -0,169 |
| 3,0 | 1:1:1 | 0,365 | 0,012 | -0,102 |
| | 1:1:0 | 0,263 | -0,091 | -0,163 |
| | 1:5:5 | 0,571 | 0,029 | +1,105 |
| | 1:5:0 | 0,373 | 0,052 | -0,652 |

Eforturile pe întreaga structură se vor calcula ținînd cont de relațiile :

- pentru $\varphi \in (0, \frac{\pi}{2})$

$$\frac{M_\varphi}{2_0 \cdot r^2} = -\frac{1}{2} \sin^2 \varphi + X_1^0 - X_2^0 (1 - \cos \varphi)$$

$$\frac{N_\varphi}{2_0 \cdot r} = -\sin^2 \varphi + X_2^0 \cos \varphi$$

(5.3-8)

$$\frac{T_\varphi}{2_0 \cdot r} = \sin \varphi \cos \varphi + X_2^0 \sin \varphi$$

- pentru $y \in (0, h_0) \Rightarrow u \in (0, 1)$

$$\frac{M_y}{2_0 \cdot r^2} = -\frac{1}{2} + X_1^0 - X_2^0 (1 + u \cdot u_0)$$

$$\frac{N_y}{2_0 \cdot r} = -1$$

$$\frac{T_y}{2_0 \cdot r} = X_2^0$$

- pentru $x \in (0, r) \Rightarrow \vartheta \in (0, 1)$

$$\frac{M_x}{2_0 \cdot r^2} = -\frac{1}{2} + \vartheta + X_1^0 - (1 + u_0) X_2^0$$

$$\frac{N_x}{2_0 \cdot r} = -X_2^0$$

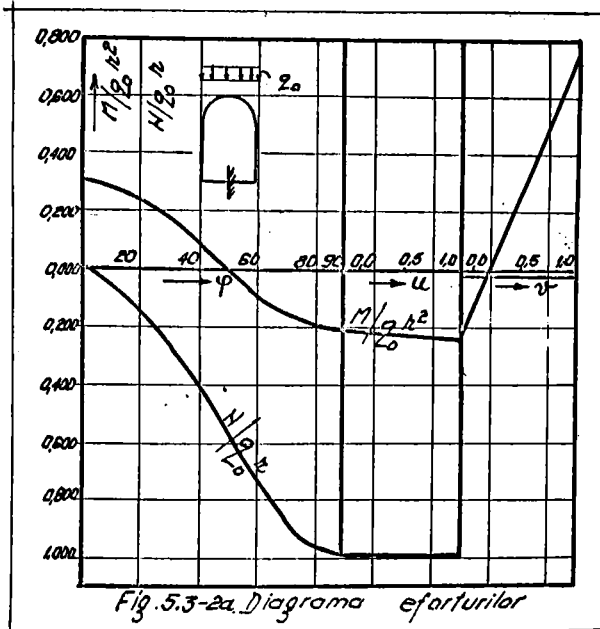
$$\frac{T_x}{2_0 \cdot r} = -1$$

(5.3-10)

Pentru cazul momentelor de inerție constante în lungul structurii au fost calculate eforturile în tabelul 5.3-2 și reprezentate în fig.5.3-2 a,b .

Valorile eforturilor M, N, T Tabel 5.3-2

| L ₀ | l _y /l _x | | φ | | | μ | | | | ν | | |
|----------------|--------------------------------|---|--------|--------|--------|--------|--------|--------|--------|--------|--------|--------|
| | | | 0° | 45° | 90° | 0 | 0,5 | 0,7 | 1,0 | 0 | 0,5 | 1,0 |
| 1,5 | 1 | M/l ₀ ·l _x ² | 0,305 | 0,350 | -0,213 | -0,213 | -0,213 | -0,255 | -0,283 | 0,213 | 0,255 | 0,283 |
| | | T/l ₀ ·l _x | 0,317 | 0,330 | -0,200 | -0,200 | -0,200 | -0,200 | -0,200 | 0,317 | 0,317 | 0,317 |
| 1:1:0 | 1 | T/l ₀ ·l _x | 0,000 | -0,488 | +0,017 | 0,017 | 0,017 | 0,017 | 0,017 | -1,000 | -1,000 | -1,000 |
| | | M/l ₀ ·l _x ² | 0,182 | -0,014 | -0,134 | -0,134 | +0,004 | 0,059 | 0,142 | - | - | - |
| | | N/l ₀ ·l _x | -0,184 | -0,630 | -1,000 | -1,000 | -1,000 | -1,000 | -1,000 | - | - | - |
| 1 | 1 | T/l ₀ ·l _x | 0,000 | 0,370 | -0,194 | -0,194 | -0,194 | -0,194 | -0,194 | - | - | - |

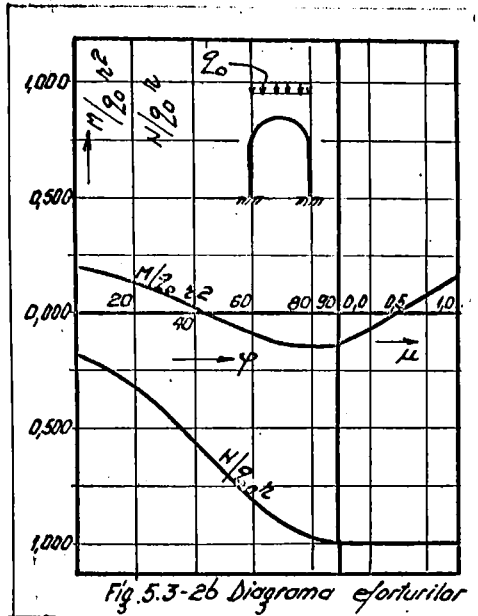


Deplaserea adimensională δ_w^0 se calculează din expresia 5.1-29.

$$\delta_w^0 = \frac{1}{4} U_0^2 \cdot i_y + \Delta_{1p}^0 X_1^0 + \Delta_{2p}^0 X_2^0 \quad (5.3-1)$$

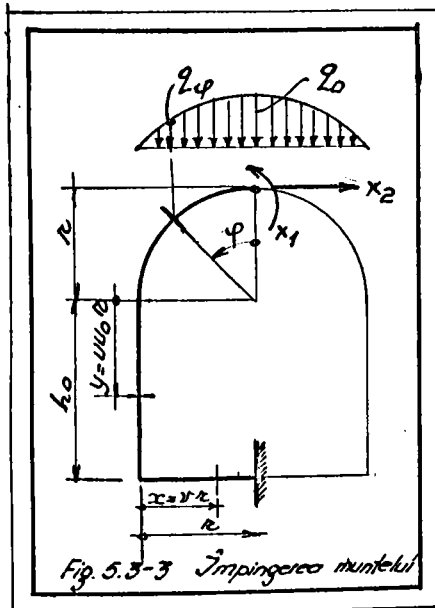
unde :

$$\Delta_{1p}^0 = - \left(\frac{1}{2} U_0^2 \cdot i_y + U_0 \cdot i_x \right) \quad (5.3-2)$$



24- Împingerea verticală, distribuită parabolic

În cazul terenurilor cu tărnie slabă se ia în calcul după o formă parabolică fig.5.3-3



$$q = q_0 (1 - \sin^2 \varphi) \quad (5.3-13)$$

Eforturile pe schema de bază se obțin prin integrarea efectului îndreării. Se obțin relațiile :

$$- \text{pentru } \varphi \in (0, \frac{\pi}{2})$$

$$\frac{M_{\varphi}^{\circ}}{2_0 \cdot r^2} = -\sin^2 \varphi \left(\frac{1}{2} - \frac{1}{12} \sin^2 \varphi \right)$$

$$\frac{N_{\varphi}^{\circ}}{2_0 \cdot r} = -\sin^2 \varphi \left(1 - \frac{1}{3} \sin^2 \varphi \right)$$

$$\frac{T_{\varphi}^{\circ}}{2_0 \cdot r} = \sin \varphi \cdot \cos \varphi \left(1 - \frac{1}{3} \sin^2 \varphi \right) \quad (5.3-14)$$

La limita intervalului $(\varphi - \frac{\pi}{2})$ se obțin următoarele valori :

$$\frac{M_{\frac{\pi}{2}}^{\circ}}{2_0 \cdot r^2} = -\frac{5}{12} \quad \frac{N_{\frac{\pi}{2}}^{\circ}}{2_0 \cdot r} = -\frac{2}{3} \quad \frac{T_{\frac{\pi}{2}}^{\circ}}{2_0 \cdot r} = 0 \quad (5.3-15)$$

În funcție de aceste valori se pot calcula eforturile în celelalte intervale :

- pentru $y \in (0, h_0) \Rightarrow u \in (0, 1)$

$$\frac{M_y^{\circ}}{2_0 \cdot r^2} = -\frac{5}{12} \quad \frac{N_y^{\circ}}{2_0 \cdot r} = -\frac{2}{3} \quad \frac{T_y^{\circ}}{2_0 \cdot r} = 0 \quad (5.3-16)$$

- pentru $x \in (0, r) \Rightarrow \vartheta \in (0, 1)$

$$\frac{M_x^{\circ}}{2_0 \cdot r^2} = -\frac{5}{12} + \frac{2}{3} \vartheta \quad \frac{N_x^{\circ}}{2_0 \cdot r} = 0 \quad \frac{T_x^{\circ}}{2_0 \cdot r} = -\frac{2}{3} \quad (5.3-17)$$

Neconoscutele adimensionale se pot explicita dacă se calculează după relațiile 5.1-15 valorile :

$$I_{1\varphi} = \int_0^{\frac{\pi}{2}} \left(\frac{M_{\varphi}^{\circ}}{2_0 \cdot r^2} \right) d\varphi = \int_0^{\frac{\pi}{2}} -\sin^2 \varphi \left(\frac{1}{2} - \frac{1}{12} \sin^2 \varphi \right) d\varphi = -0,2925$$

$$I_{2\varphi} = \int_0^{\frac{\pi}{2}} \left(\frac{M_{\varphi}^{\circ}}{2_0 \cdot r^2} \right) \cos \varphi d\varphi = \int_0^{\frac{\pi}{2}} -\sin^2 \varphi \left(\frac{1}{2} - \frac{1}{12} \sin^2 \varphi \right) \cos \varphi d\varphi = -0,15 \quad (5.3-18)$$

$$I_{1y} = u_0 \int_0^1 \left(\frac{M_y^{\circ}}{2_0 \cdot r^2} \right) du = u_0 \int_0^1 -\frac{5}{12} du = -\frac{5}{12} u_0$$

$$I_{2y} = U_0^2 \int_0^1 -\frac{5}{12} u du = -\frac{5}{24} U_0^2$$

$$I_{1x} = \int_0^1 \frac{M_x}{2 \cdot r^2} dV = \int_0^1 \left(-\frac{1}{12} + \frac{2}{3} v\right) dV = -0,124$$

Valorile deplasărilor adimensionale se explicită din 5.1-14 sub forma :

$$\Delta_{1y} = -0,15 \cdot i_y - \frac{5}{12} U_0 \cdot i_y - 0,124 i_x$$

$$\Delta_{2y} = 0,242 \cdot i_y + \left(-\frac{5}{12} U_0 + \frac{5}{24} U_0^2\right) \cdot i_y + (1+U_0) 0,124 \cdot i_x \quad (5.3-19)$$

Necunoscutele adimensionale X_1^0 ; X_2^0 se obțin din 5.1-14. Valorile uzuale ale necunoscutelor sînt prezentate în tabelul 5.3-3.

Valorile necunoscutelor X_1^0, X_2^0, δ_H^0 Tabel 5.3-3

| U_0 | $i_y : i_x : i_x$ | X_1^0 | X_2^0 | δ_H^0 |
|-------|-------------------|---------|---------|--------------|
| 1,5 | 1:1:1 | 0,068 | -0,111 | -2,473 |
| | 1:1:0 | -0,035 | -0,277 | -0,115 |
| | 1:5:5 | 0,279 | -0,003 | -1,870 |
| | 1:5:0 | 0,076 | -0,188 | -1,220 |
| 3,0 | 1:1:1 | 0,408 | 0,062 | 1,512 |
| | 1:1:0 | 0,401 | 0,049 | 0,732 |
| | 1:5:5 | 0,955 | 0,235 | 9,105 |
| | 1:5:0 | 1,045 | 0,282 | 4,897 |

Eforturile totale pe structură se pot scrie prin însumarea efectelor conform relațiilor 5.1-15,16,17. se obțin relațiile :

- pentru $\varphi \in (0, \frac{\pi}{2})$

$$\frac{M_\varphi}{2 \cdot r^2} = -\sin^2 \varphi \left(\frac{1}{2} - \frac{1}{12} \sin^2 \varphi\right) + X_1^0 - X_2^0 (1 - \cos \varphi)$$

$$\frac{N_\varphi}{2 \cdot r} = -\sin^2 \varphi \left(1 - \frac{1}{3} \sin^2 \varphi\right) + X_2^0 \cos \varphi \quad (5.3-20)$$

$$\frac{T_\varphi}{2 \cdot r} = \sin \varphi \cdot \cos \varphi \left(1 - \frac{1}{3} \sin^2 \varphi\right) + X_2^0 \sin \varphi$$

- pentru $y \in (0, h_0) \Rightarrow u \in (0, 1)$

$$\frac{M_y}{2 \cdot r^2} = -\frac{5}{12} + X_1^0 + X_2^0 (1 + u \cdot U_0)$$

$$\frac{N_y}{2 \cdot r} = -\frac{2}{3} \quad (5.3-21)$$

$$\frac{T_y}{2 \cdot r} = X_2^0$$

- pentru $x \in (0, r) \Rightarrow v \in (0, 1)$

$$\frac{M_x}{2_0 \cdot r^2} = -\frac{5}{12} + \frac{2}{3} \varphi + X_1^0 - (1 + u_0) X_2^0$$

$$\frac{N_x}{2_0 \cdot r} = -X_2^0$$

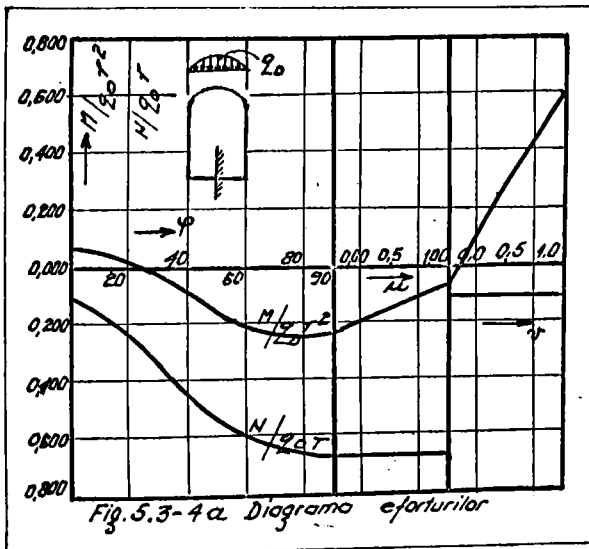
$$\frac{T_x}{2_0 \cdot r} = -2,3$$

(5.3-22)

Valorile eforturilor pentru cazul momentelor de inerție constante sînt calculate în tabelul 5.3-4 și reprezentate în fig.5.3-4 a,b)

Valorile eforturilor Tabel 5.3-4

| U ₀ | l _y :l _x | | φ | | | μ | | | | ν | | |
|----------------|--------------------------------|---------------------------------|--------|--------|--------|--------|--------|--------|--------|--------|--------|--------|
| | | | 0 | 45 | 90 | 0 | 0,5 | 0,7 | 1,0 | 0 | 0,5 | 1 |
| 1,5 | 1:1:1 | M/2 ₀ r ² | 0,068 | -0,128 | -0,238 | -0,238 | -0,155 | -0,121 | -0,071 | -0,071 | 0,262 | 0,593 |
| | | N/2 ₀ r | -0,111 | -0,495 | -0,666 | -0,666 | -0,666 | -0,666 | -0,666 | -0,111 | -0,111 | -0,111 |
| | | T/2 ₀ r | 0,000 | 0,337 | -0,111 | -0,111 | -0,111 | -0,111 | -0,111 | - | - | - |
| | 1:1:0 | M/2 ₀ r ² | -0,035 | -0,193 | -0,175 | -0,175 | 0,033 | 0,116 | 0,241 | - | - | - |
| | | N/2 ₀ r | -0,277 | -0,614 | -0,666 | -0,666 | -0,666 | -0,666 | -0,666 | - | - | - |
| | | T/2 ₀ r | 0,000 | 0,213 | -0,277 | -0,277 | -0,277 | -0,277 | -0,277 | - | - | - |



Deformația δ_H^0 se calculează după relația :

$$\delta_H^0 = J_2 + \Delta_{1p}^0 X_1^0 + \Delta_{2p}^0 X_2^0 \quad (5.3-23)$$

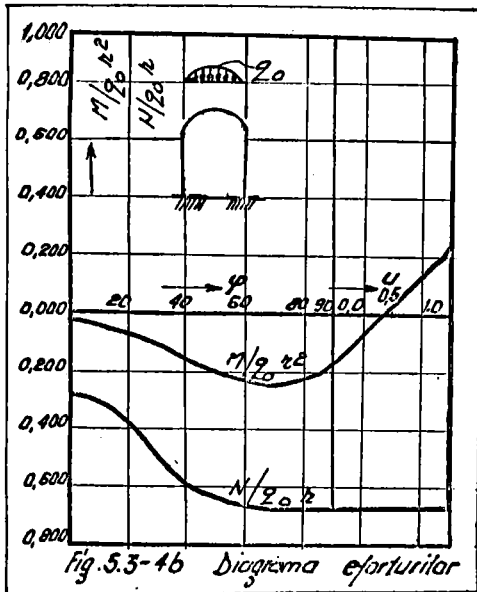
unde :

$$J_2 = -(i_y \cdot I_{ey} + i_x \cdot I_{ex})$$

$$I_y = -(\dot{c}_y \cdot I_{2y} + \dot{c}_x \cdot I_{2x})$$

(5.3-24)

Valorile Δ_{fp}° , Δ_{zp}° se obțin din 5.1-28 sau se transcriu din tabelul 5.1-2.



Valoarea numerică a relației 5.3-24 se obține prin substituția expresiilor I_{2y} , I_{2x} pentru acest gen de încărcare. Se obține :

$$I_y = \frac{5}{24} U_0^2 \dot{c}_y + 0,124 U_0 \cdot \dot{c}_x \quad (5.3-25)$$

Valorile numerice ale deplasării elastice sînt calculate în tabelul 5.3-3.

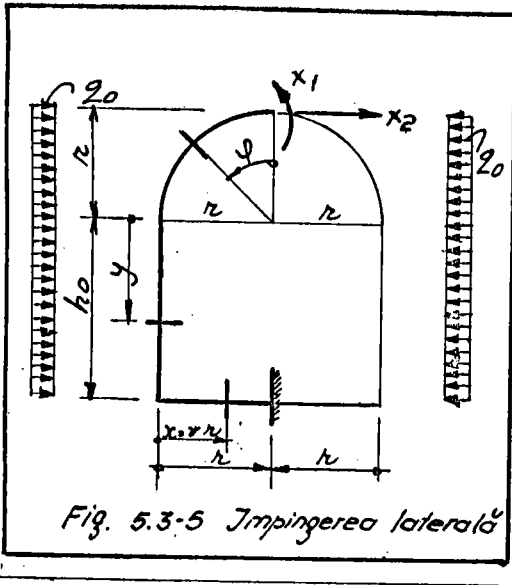
3.- Împingerea laterală, distribuită uniform

Împingerea orizontală a terenului se ia în calcul $/66/$ sub forma unui procent (1/3 - 1/5) din valoarea împingerii maxime verticale fig.5.3-5.

Valorile eforturilor pe arc de bază se obțin prin integrarea încărcărilor pînă în secțiunea de calcul. Efectuînd calculele se obține :

- pentru $\varphi \in (0, \frac{\pi}{2})$

$$\frac{M_y^0}{2_0 \cdot r^2} = -\frac{1}{2} (1 - \cos \varphi)^2$$



$$\frac{N_p^0}{2_0 \cdot r} = (1 - \cos \varphi) \cos \varphi$$

$$\frac{T_p^0}{2_0 \cdot r} = (1 - \cos \varphi) \cdot \sin \varphi$$

(5.3-26)

La limita intervalului ($\varphi = \frac{\pi}{2}$) se obțin valorile :

$$\frac{M_{\frac{\pi}{2}}^0}{2_0 \cdot r^2} = -\frac{1}{2} \quad \frac{N_{\frac{\pi}{2}}^0}{2_0 \cdot r} = 0 \quad \frac{T_{\frac{\pi}{2}}^0}{2_0 \cdot r} = 1 + U_0 \quad (5.3-27)$$

În funcție de valorile de mai sus și de aportul încălzirii pe fiecare porțiune în parte se obține :

- pentru $y \in (0, h_0) \Rightarrow u \in (0, 1)$

$$\frac{M_y^0}{2_0 \cdot r^2} = -\left[\frac{1}{2} + U_0 \cdot u + \frac{1}{2} U_0^2 \cdot u^2\right] \quad (5.3-28)$$

$$\frac{N_y^0}{2_0 \cdot r} = 0 \quad \frac{T_y^0}{2_0 \cdot r} = 1 + U_0 \cdot u$$

- pentru $x \in (0, r) \Rightarrow \varphi \in (0, 1)$

$$\frac{M_x^0}{2_0 \cdot r^2} = -\left[\frac{1}{2} + U_0 + \frac{1}{2} U_0^2\right] \quad (5.3-29)$$

$$\frac{N_x^0}{2_0 \cdot r} = -(1 + U_0) \quad \frac{T_x^0}{2_0 \cdot r} = 0$$

Recunoscutele adimensionale se pot obține după ce s-au calculat din relațiile (5.1-15) valorile integralelor :

$$I_{1\varphi} = \int_0^{\pi/2} \left(\frac{M_{\varphi}^0}{2_0 \cdot r^2} \right) d\varphi = \int_0^{\pi/2} -\frac{1}{2} (1 - \cos\varphi)^2 d\varphi = -0,178$$

143

$$I_{2\varphi} = \int_0^{\pi/2} \left(\frac{M_{\varphi}^0}{2_0 \cdot r^2} \right) \cos\varphi d\varphi = \int_0^{\pi/2} -\frac{1}{2} (1 - \cos\varphi)^2 \cos\varphi d\varphi = -0,048$$

$$I_{1y} = \int_0^1 \frac{M_y^0}{2_0 \cdot r^2} u_0 \cdot du = \int_0^1 u_0 \left(\frac{1}{2} + u_0 \cdot u + \frac{1}{2} u_0^2 u^2 \right) du = \left[\frac{1}{2} u_0 + \frac{1}{2} u_0^2 + \frac{1}{6} u_0^3 \right]$$

$$I_{2y} = \int_0^1 \frac{M_y^0}{2_0 \cdot r^2} u_0^2 \cdot u \cdot du = - \left[\frac{1}{4} u_0^3 + \frac{1}{3} u_0^4 + \frac{1}{8} u_0^5 \right]$$

(5.3-30)

$$I_{1x} = \int_0^1 \frac{M_x^0}{2_0 \cdot r^2} d\vartheta = - \int_0^1 \left(\frac{1}{2} + u + \frac{1}{2} u^2 \right) du = - \left[\frac{1}{2} + u_0 + \frac{1}{2} u_0^2 \right]$$

Ținînd cont de relațiile (5.3-30) se calculează deplasările adiimensionale cu ajutorul relațiilor (5.1-14). Se obține după efectuarea calculelor :

$$\Delta_{12}^0 = - \left[0,178 i_{\varphi} + \left(\frac{1}{2} u_0 + \frac{1}{2} u_0^2 + \frac{1}{6} u_0^3 \right) i_y + \left(\frac{1}{2} + u_0 + \frac{1}{2} u_0^2 \right) i_x \right]$$

(5.3-31)

$$\Delta_{22}^0 = 0,130 i_{\varphi} + \left(\frac{1}{2} u_0 + \frac{1}{2} u_0^2 + \frac{3}{8} u_0^3 + \frac{1}{3} u_0^4 + \frac{1}{8} u_0^5 \right) i_y + (1 + u_0) \left(\frac{1}{2} + u_0 + \frac{1}{2} u_0^2 \right) i_x$$

Necunoscutele adiimensionale se vor obține din relațiile:

$$X_1^0 = k_{12} \Delta_{22}^0 - k_{22} \Delta_{12}^0$$

(5.3-32)

$$X_2^0 = k_{12} \Delta_{12}^0 - k_{11} \Delta_{22}^0$$

Valorile k_{ij} se obțin din tabelul 5.1-1. Pentru cazul încărcării studiate mai sus valorile X_1^0 , X_2^0 sînt calculate în tabelul 5.3-5, pentru cîteva cazuri des folosite în practică.

Expresiile eforturilor pe întreaga structură se obțin prin însumarea efectelor, după cum urmează :

Valorile necunoscutelelor X_1^0, X_2^0, δ_H^0 Tabel 5.3-5

| U_0 | $i_1:i_2:i_3$ | X_1^0 | X_2^0 | δ_H^0 |
|-------|---------------|---------|---------|--------------|
| 1,5 | 1:1:1 | -0,831 | -1,643 | 1,392 |
| | 1:1:0 | -0,887 | -1,674 | 0,708 |
| | 1:5:5 | -2,115 | -2,243 | 11,879 |
| | 1:5:0 | -2,503 | -2,554 | 2,739 |
| 3 | 1:1:1 | -9,222 | -5,799 | 22,915 |
| | 1:1:0 | -11,221 | -7,739 | 23,547 |
| | 1:5:5 | -21,550 | -9,326 | 130,935 |
| | 1:5:0 | -28,374 | -13,853 | 91,462 |

- pentru $\varphi \in (0, \frac{\pi}{2})$

$$\frac{M_\varphi}{2_0 \cdot r^2} = -\frac{1}{2}(1 - \cos \varphi)^2 + X_1^0 - X_2^0(1 - \cos \varphi)$$

(5.3-33)

$$\frac{T_\varphi}{2_0 \cdot r} = (1 - \cos \varphi) \cos \varphi + X_2^0 \cos \varphi$$

$$\frac{T_\varphi}{2_0 \cdot r} = (1 - \cos \varphi) \sin \varphi + X_2^0 \sin \varphi$$

- pentru $y \in (0, 1_0) \rightarrow u \in (0, 1)$

$$\frac{M_y}{2_0 \cdot r^2} = -\left[\frac{1}{2} + U_0 \cdot u + \frac{1}{2} U_0^2 u^2\right] + X_1^0 - X_2^0(1 + u \cdot U_0)$$

(5.3-34)

$$\frac{N_y}{2_0 \cdot r} = 0 \quad \frac{T_y}{2_0 \cdot r} = 1 + u \cdot U_0 + X_2^0$$

- pentru $x \in (0, r) \rightarrow v \in (0, 1)$

$$\frac{M_x}{2_0 \cdot r^2} = -\left[\frac{1}{2} + U_0 + \frac{1}{2} U_0^2\right] + X_1^0 - (1 + U_0) X_2^0$$

(5.3-35)

$$\frac{N_x}{2_0 \cdot r} = -(1 + U_0) - X_2^0 \quad \frac{T_x}{2_0 \cdot r} = 0$$

Valorile eforturilor, pentru cazul unei structuri cu moment de inerție constant sînt calculate în tabelul 5.3-6 și reprezentate grafic în fig.5.3-6 a,b.

Valorile eforturilor Tabel 5.3-6

| U_0 | $i_1:i_2:i_3$ | φ | | | u | | | v | | | | |
|-------|---------------|-------------------|--------|--------|--------|--------|-------|-------|-------|--------|--------|--------|
| | | 0 | 45 | 90 | 0 | 0,5 | 0,7 | 1,0 | 0 | 0,5 | 1,0 | |
| 1,5 | 1:1:1 | $M/2_0 \cdot r^2$ | -0,853 | -0,413 | +0,292 | 0,292 | 0,493 | 0,405 | 0,199 | 0,199 | 0,199 | 0,199 |
| | | $N/2_0 \cdot r$ | -1,643 | -0,869 | 0,000 | 0,000 | 0,000 | 0,000 | 0,000 | -0,637 | -0,637 | -0,637 |
| | | $T/2_0 \cdot r$ | 0,000 | -0,955 | -0,643 | -0,643 | 0,107 | 0,407 | 0,837 | 0,000 | 0,000 | 0,000 |
| | 1:1:0 | $M/2_0 \cdot r^2$ | -0,837 | -0,440 | 0,287 | 0,287 | 0,512 | 0,433 | 0,173 | - | - | - |
| | | $N/2_0 \cdot r$ | -1,674 | -0,891 | 0,000 | 0,000 | 0,000 | 0,000 | 0,000 | - | - | - |
| | | $T/2_0 \cdot r$ | 0,000 | -0,977 | -0,674 | 0,674 | 0,076 | 0,376 | 0,826 | - | - | - |

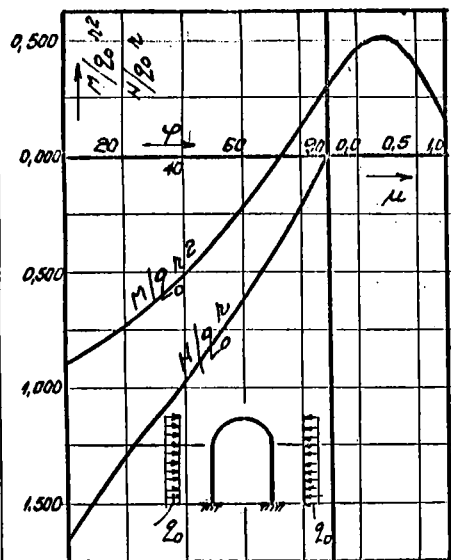


Fig. 5.3-6a Diagrama eforturilor

Deformația specifică δ_H° se calculează din expresia :

$$\delta_H^\circ = J_2 + \Delta_{1p}^\circ X_1^\circ + \Delta_{2p}^\circ X_2^\circ \quad (5.3-36)$$

Termenul J_2 reprezintă efectul încălcării. În cazul de față are valoarea :

$$J_2 = \left(\frac{1}{4} u_0^3 + \frac{1}{3} u_0^4 + \frac{1}{8} u_0^5\right) i_y + u_0 \left(\frac{1}{2} + u_0 + \frac{1}{2} u_0^2\right) i_x \quad (5.3-37)$$

Valorile Δ_{1p}° ; Δ_{2p}° se obțin din expresiile 5.1-28.

În tabelul 5.3-5 sînt calculate mărimile δ_H° pentru cîteva cazuri, întîlnite des în practică.

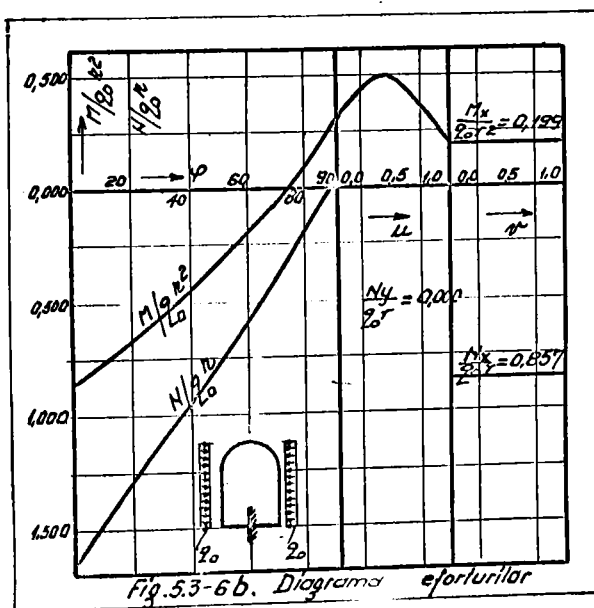
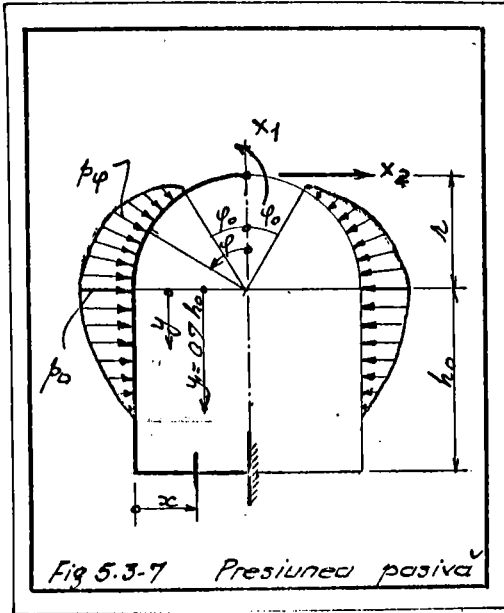


Fig. 5.3-6b. Diagrama eforturilor

4.- Impingerea pasivă a muntelui

Se acceptă o încărcare /66/ avînd forma din fig.5.3-7.



In literatură se recomandă $\varphi_0 \in (40-50^\circ)$. Variația încărcării se scrie sub forma:

$$- \text{pentru } \varphi \in (\varphi_0; \frac{\pi}{2})$$

$$P_\varphi = p_0 m (\sin \varphi - \sin \varphi_0) \quad (5.3-37)$$

$$\text{unde : } m = \frac{1}{1 - \sin \varphi_0}$$

- pentru $\varphi \in (0, \varphi_0) \Rightarrow u \in (0, u_1)$

$$p_\varphi = p_0 \left(1 - \frac{u^2}{u_1^2}\right) \quad (5.3-38)$$

Eforturile pe schema de bază se găsesc prin intermediul unei variabile intermediare u :

- pentru $\varphi \in (0, \varphi_0)$

$$\frac{M_\varphi}{\rho_0 r^2} = 0 ; \quad \frac{N_\varphi}{\rho_0 r} = 0 ; \quad \frac{T_\varphi}{\rho_0 r} = 0 \quad (5.3-39)$$

- pentru $\varphi \in (\varphi_0; \frac{\pi}{2})$

$$\frac{M_\varphi}{\rho_0 r^2} = -m \int_{\varphi_0}^{\varphi} (\sin u - \sin \varphi_0) \sin(\varphi - u) du$$

$$\frac{N_\varphi}{\rho_0 r} = \frac{M_\varphi}{\rho_0 r^2} ; \quad \frac{T_\varphi}{\rho_0 r} = \int_{\varphi_0}^{\varphi} m (\sin u - \sin \varphi_0) \cos(\varphi - u) du$$

Efectuînd calculele se găsește :

$$\frac{M_{\varphi}^{\circ}}{\rho_0 r^2} = -m \left[-\frac{1}{2}(\varphi - \varphi_0) \cos \varphi + \frac{1}{2} \cos \varphi_0 \sin(\varphi - \varphi_0) - \sin \varphi_0 + \sin \varphi \cos(\varphi - \varphi_0) \right]$$

$$\frac{N_{\varphi}^{\circ}}{\rho_0 r} = \frac{M_{\varphi}^{\circ}}{\rho_0 r^2}; \quad \frac{T_{\varphi}^{\circ}}{\rho_0 r} = m \left[\frac{1}{2}(\varphi - \varphi_0) \sin \varphi - \frac{1}{2} \sin \varphi_0 \sin(\varphi - \varphi_0) \right]$$

(5.3-40)

Acceptînd pentru $\varphi_0 = 45^\circ$ o valoare medie în intervalul recomandat de literatură, eforturile la limita intervalului sînt:

- pentru $\varphi_0 = 45^\circ$; $\varphi = 90^\circ$

$$\frac{M_{\varphi}^{\circ}}{\rho_0 r^2} = -0,147; \quad \frac{N_{\varphi}^{\circ}}{\rho_0 r} = -0,147; \quad \frac{T_{\varphi}^{\circ}}{\rho_0 r} = 0,486 \quad (5.3-41)$$

Valorile de mai sus permit scrierea eforturilor în celelalte domenii. Astfel :

- pentru $y \in (0, h_1) \Rightarrow u \in (0, 0,7)$

$$\frac{M_{y}^{\circ}}{\rho_0 r^2} = -\left[0,147 + 0,486 u u_0 + \frac{1}{12} \left(6 - \frac{u^2}{0,7^2} \right) u_0^2 u^2 \right] \quad (5.3-42)$$

$$\frac{N_{y}^{\circ}}{\rho_0 r} = -0,147; \quad \frac{T_{y}^{\circ}}{\rho_0 r} = 0,486 + \left(1 - \frac{1}{3} \frac{u^2}{0,7^2} \right) u u_0$$

- pentru $y \in (h_1, h_0) \Rightarrow u \in (0,7; 1)$

$$\frac{M_{y}^{\circ}}{\rho_0 r^2} = -\left[0,147 + 0,340 u_0 + 0,204 u_0^2 \right] - (0,486 + 0,467 u_0)(u - 0,7) u_0 \quad (5.3-43)$$

$$\frac{N_{y}^{\circ}}{\rho_0 r} = -0,147; \quad \frac{T_{y}^{\circ}}{\rho_0 r} = 0,486 + 0,467 u_0$$

- pentru $x \in (0, r) \Rightarrow v \in (0, 1)$

$$\frac{M_{x}^{\circ}}{\rho_0 r^2} = -\left[0,147 + 0,486 u_0 + 0,344 u_0^2 \right] + 0,147 v \quad (5.3-44)$$

$$\frac{N_{x}^{\circ}}{\rho_0 r} = -\left[0,486 + 0,467 u_0 \right]; \quad \frac{T_{x}^{\circ}}{\rho_0 r} = -0,147$$

Deplasările adimensionale se obțin din relațiile (5.1-13)

U (5.1-15) U (5.3-39, 40, 42, 43, 44).

Se obține, după efectuarea calculelor :

$$\Delta_{\varphi}^{\circ} = -\left[0,031 i_{\varphi} + (0,147 u_0 + 0,243 u_0^2 + 0,133 u_0^3) i_{y} + (0,074 + 0,486 u_0 + 0,344 u_0^2) i_{x} \right] \quad (5.3-45)$$

$$\Delta_{2\varphi}^{\circ} = \left[0,024 i_{\varphi} + (0,147 u_0 + 0,316 u_0^2 + 0,295 u_0^3 + 0,098 u_0^4) i_{y} + (1 + u_0)(0,074 + 0,486 u_0 + 0,344 u_0^2) i_{x} \right]$$

În funcție de aceste deplasări se calculează necunoscutele din relațiile 5.1-14. În tabelul (5.3-7) sînt calculate necunoscutele pentru cîteva cazuri particulare :

Valorile X_1^0, X_2^0, δ_H^0 Tabel 5.3-7

| u_0 | $i_y; i_x$ | X_1^0 | X_2^0 | δ_H^0 |
|-------|------------|---------|---------|--------------|
| 1,5 | 1:1:1 | -0,275 | -0,697 | 0,387 |
| | 1:1:0 | -0,221 | -0,604 | 0,055 |
| | 1:5:5 | -0,491 | -0,816 | 2,292 |
| | 1:5:0 | -0,415 | -0,719 | 0,278 |
| 3,0 | 1:1:1 | -0,776 | -1,258 | 0,594 |
| | 1:1:0 | -0,634 | -1,159 | 0,175 |
| | 1:5:5 | -1,447 | -1,363 | 4,745 |
| | 1:5:0 | -1,298 | -1,357 | 0,225 |

Eforturile totale se scriu

sub forma :

$$\frac{M}{\rho_0 r^2} = \frac{M^0}{\rho_0 r^2} + X_1^0 + A X_2^0$$

$$\frac{N}{\rho_0 r} = \frac{N^0}{\rho_0 r} + X_2^0 B$$

(5.3-46)

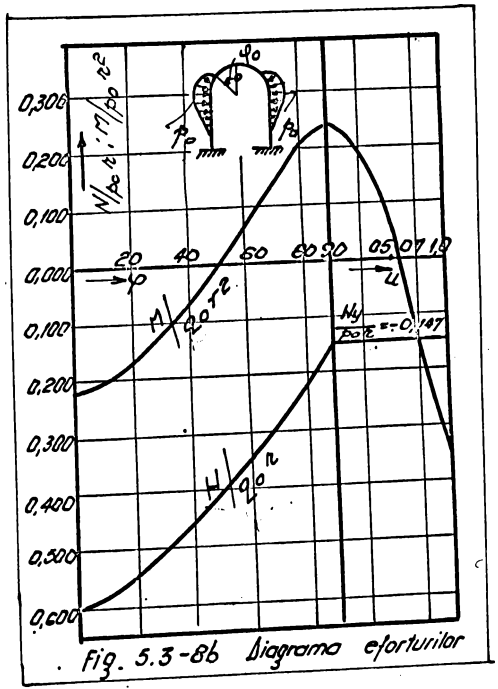
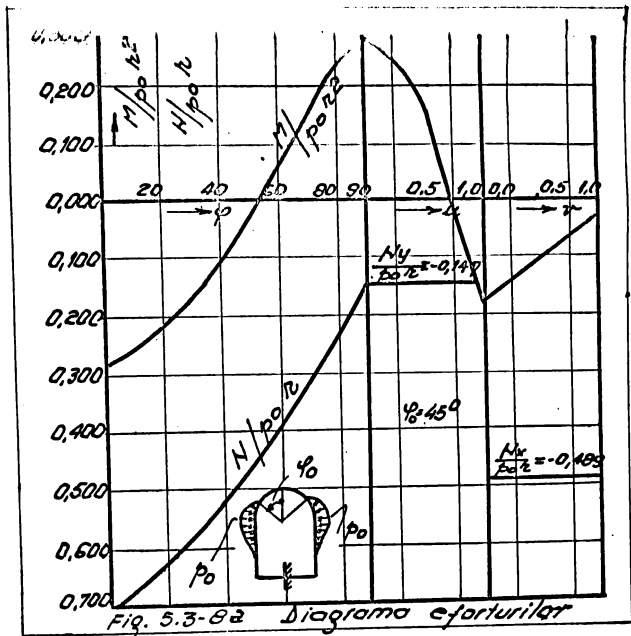
$$\frac{I}{\rho_0 r} = \frac{I^0}{\rho_0 r} + X_2^0 C$$

unde : $\frac{M^0}{\rho_0 r^2}$; $\frac{N^0}{\rho_0 r}$; $\frac{I^0}{\rho_0 r}$ se găsesc calculate în relațiile (5.3-39, 40, 42, 43, 44) în funcție de domeniul variabilei . mărimile A, B, C se găsesc în relațiile (5.1-21), de asemenea, în funcție de domeniul în care se calculează efortul.

Pentru unele cazuri particulare, eforturile sînt calculate în tabelul 5.3-8 și reprezentate grafic în fig.5.3-8 a,b.

Eforturile din împingerea pasivă a rocii Tabel 5.3-8

| u_0 | $i_y; i_x$ | | φ | | | u | | | | r | | |
|-------|------------|----------------|-----------|--------|--------|--------|--------|--------|--------|--------|--------|--------|
| | | | 0 | 45 | 90 | 0 | 05 | 07 | 1,0 | 0 | 05 | 1,0 |
| 1,5 | 1:1:1 | $M/\rho_0 r^2$ | -0,275 | -0,071 | 0,275 | 0,275 | 0,176 | 0,087 | -0,182 | -0,182 | -0,108 | -0,253 |
| | | $N/\rho_0 r$ | -0,697 | -0,493 | -0,147 | -0,147 | -0,147 | -0,147 | -0,147 | -0,469 | -0,469 | -0,147 |
| | | $I/\rho_0 r$ | 0,000 | -0,493 | -0,211 | -0,211 | 0,312 | 0,489 | 0,469 | -0,127 | -0,127 | -0,147 |
| | 1:1:0 | $M/\rho_0 r^2$ | -0,221 | -0,044 | 0,236 | 0,236 | 0,067 | -0,100 | -0,351 | — | — | — |
| | | $N/\rho_0 r$ | -0,604 | -0,427 | -0,147 | -0,147 | -0,147 | -0,147 | -0,147 | — | — | — |
| | | $I/\rho_0 r$ | 0,000 | -0,427 | -0,118 | -0,118 | 0,405 | 0,582 | 0,582 | — | — | — |



Deplasarea adimensională are expresia :

$$\delta_H^{\circ} = J\varphi + \Delta_{1P}^{\circ} X_1^{\circ} + \Delta_{2P}^{\circ} X_2^{\circ} \quad (5.3-47)$$

unde :

$$J\varphi = (0,073 u_0^2 + 0,162 u_0^3 + 0,098 u_0^4) i_y + (0,074 u_0 + 0,486 u_0^2 + 0,344 u_0^3) i_x \quad (5.3-48)$$

Δ_{1P}° ; Δ_{2P}° se calculează din relațiile 5.1-28.

Valorile δ_H° sînt calculate din tabelul 5.3-7.

Împingerea pasivă a muntelui este una dintre cele mai importante încărcări deoarece intervine ca o reacțiune a muntelui corespunzătoare fiecărei încărcări primare q_0 . Valoarea p_0 se calculează din ecuația :

$$\frac{q_0 r^4}{E J \varphi} (\delta_H^{\circ})_{q_0} + \frac{q_{or} r^4}{E J \varphi} (\delta_H^{\circ})_{q_{or}} + \frac{p_0 r^4 (\delta_H^{\circ})_{p_0}}{E I \varphi} = 2 \frac{p_0}{k} \quad (5.3-49)$$

unde :

- q_0 - încărcarea primară ;
- q_{or} - reacțiunea din încărcarea primară ;
- p_0 - presiunea pasivă ;
- $(\delta_H^{\circ})_{q_0}$; $(\delta_H^{\circ})_{q_{or}}$; $(\delta_H^{\circ})_{p_0}$ - deplasările adimensionale din încărcările enumerate.

Diagrama finală a eforturilor se obține prin suprapunerea acestor efecte sub forma :

$$M = M_{q_0} + M_{q_{or}} + M_{p_0} \quad (5.3-50)$$

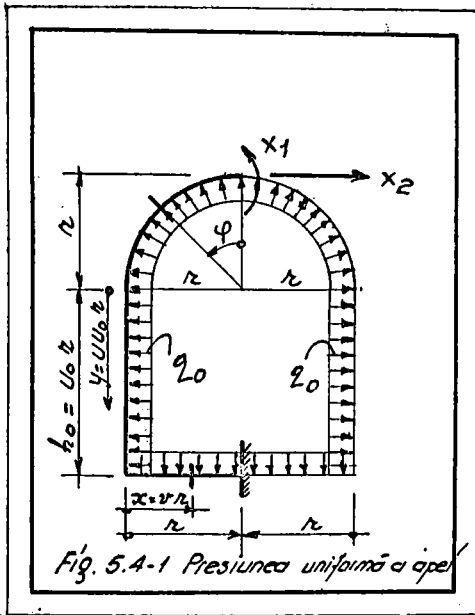
§ 5.4.- Încărcări din presiunea apei

1.- Presiunea uniformă a apei

Presiunea uniformă a apei apare la galeriile "miner de coș", în cazul creșterii presiunii peste cea de umplere. Valo-

ele acestor suprapuneri sînt, spre deosebire de cazul gale-
riilor de formă circulară, relativ mici.

În cazul încărcării uniforme fig.5.4-1, expresiile efor-



turilor static determinate
sînt :

- pentru $\varphi \in (0; 1)$

$$\frac{M_{\varphi}^{\circ}}{q_0 r^2} = \int_0^{\varphi} \sin \varphi d\varphi = 1 - \cos \varphi$$

$$\frac{N_{\varphi}^{\circ}}{q_0 r} = 1 - \cos \varphi$$
(5.4-1)

$$\frac{T_{\varphi}^{\circ}}{q_0 r} = -\sin \varphi$$

- pentru $\varphi = \frac{\pi}{2}$ se obține :

$$\frac{M_{\frac{\pi}{2}}^{\circ}}{q_0 r^2} = 1 ; \quad \frac{N_{\frac{\pi}{2}}^{\circ}}{q_0 r} = 1 ; \quad \frac{T_{\frac{\pi}{2}}^{\circ}}{q_0 r} = -1$$
(5.4-2)

Eforturile în celelalte domenii sînt :

- pentru $y \in (0, h_0) \Rightarrow u \in (0; 1)$

$$\frac{M_y^{\circ}}{q_0 r^2} = 1 + u_0 u + \frac{1}{2} u_0^2 u^2$$

$$\frac{N_y^{\circ}}{q_0 r} = 1,0 \quad ; \quad \frac{T_y^{\circ}}{q_0 r} = -(1 + u_0 u)$$
(5.4-3)

- pentru $x \in (0; r) \Rightarrow v \in (0; 1)$

$$\frac{M_x^{\circ}}{q_0 r^2} = 1 + u_0 + \frac{1}{2} u_0^2 - (v - \frac{1}{2} v^2)$$

$$\frac{N_x^{\circ}}{q_0 r} = 1 + u_0 \quad ; \quad \frac{T_x^{\circ}}{q_0 r} = 1 - v$$
(5.4-4)

Ridicarea nedeterminării se face după ce, în prealabil,
se calculează integralele :

$$I_{1\varphi} = \int_0^{\frac{\pi}{2}} \left(\frac{M_{\varphi}^0}{\rho_0 r^2} \right) d\varphi = \int_0^{\frac{\pi}{2}} (1 - \cos\varphi) d\varphi = 0,570$$

$$I_{2\varphi} = \int_0^{\frac{\pi}{2}} \left(\frac{M_{\varphi}^0}{\rho_0 r^2} \right) \cos\varphi d\varphi = 0,215$$

$$I_{1y} = u_0 \int_0^1 \left(\frac{M_y^0}{\rho_0 r^2} \right) du = u_0 + \frac{1}{2} u_0^2 + \frac{1}{6} u_0^3$$

$$I_{2y} = u_0^2 \int_0^1 \left(\frac{M_y^0}{\rho_0 r^2} \right) u du = \frac{1}{2} u_0^2 + \frac{1}{3} u_0^3 + \frac{1}{8} u_0^4$$

$$I_{1x} = \int_0^1 \left(\frac{M_x^0}{\rho_0 r^2} \right) dv = \frac{2}{3} + u_0 + \frac{1}{2} u_0^2 \quad (5.4-5)$$

Deplasările adimensionale se calculează în funcție de relațiile de mai sus, după cum urmează :

$$\Delta_{1\varphi}^0 = 0,570 i_{\varphi} + (u_0 + \frac{1}{2} u_0^2 + \frac{1}{6} u_0^3) i_y + (\frac{2}{3} + u_0 + \frac{1}{2} u_0^2) i_x$$

$$\Delta_{2\varphi}^0 = -[0,355 i_{\varphi} + (u_0 + u_0^2 + \frac{1}{2} u_0^3 + \frac{1}{8} u_0^4) i_y + (1 + u_0)(\frac{2}{3} + u_0 + \frac{1}{2} u_0^2) i_x] \quad (5.4-6)$$

Necunoscutele adimensionale au expresiile :

$$x_1^0 = K_{12}^0 \Delta_{2\varphi}^0 - K_{22}^0 \Delta_{1\varphi}^0$$

$$x_2^0 = K_{12}^0 \Delta_{1\varphi}^0 - K_{11}^0 \Delta_{2\varphi}^0 \quad (5.4-7)$$

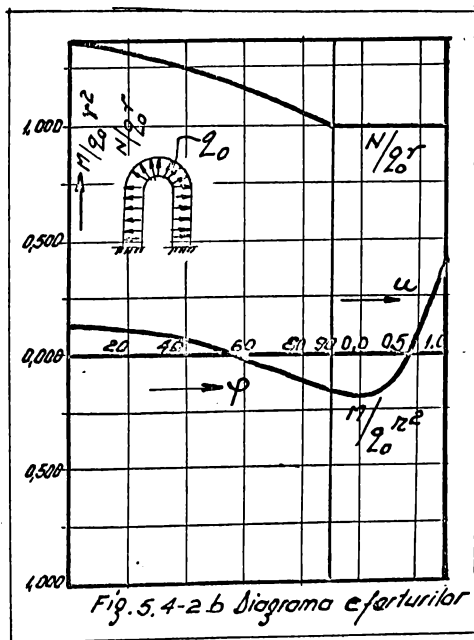
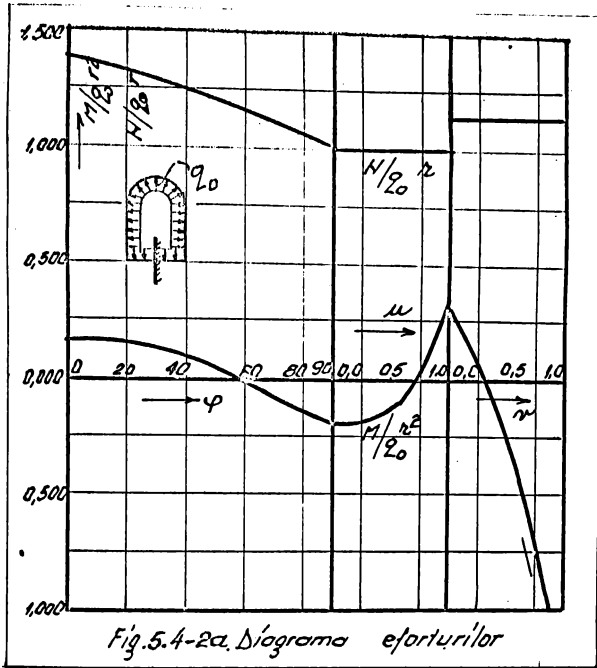
Valorile lor sînt calculate pentru oțteva cazuri particulare în tabelul 5.4-1.

Valorile x_1^0, x_2^0, δ_H^0 Tabel 5.4-1

| μ_0 | i_{φ}, i_y, i_x | x_1^0 | x_2^0 | δ_H^0 |
|---------|-------------------------|---------|---------|--------------|
| 1,5 | 1:1:1 | 0,172 | 1,371 | -0,851 |
| | 1:1:0 | 0,149 | 1,322 | -0,708 |
| | 1:5:5 | 0,386 | 1,497 | -4,354 |
| | 1:5:0 | 0,342 | 1,426 | -3,459 |
| 3,0 | 1:1:1 | 0,849 | 2,004 | -13,515 |
| | 1:1:0 | 0,627 | 1,956 | -10,166 |
| | 1:5:5 | 1,773 | 2,222 | -74,433 |
| | 1:5:0 | 1,343 | 2,242 | -47,633 |

Expresiile eforturilor pe întreaga structură, ținînd cont și de valorile necunoscutele sînt :

- pentru $\varphi \in (0; \frac{\pi}{2})$



$$\frac{M_y}{q_0 r^2} = 1 - \cos \varphi + x_1^0 - x_2^0 (1 - \cos \varphi)$$

$$\frac{N_y}{q_0 r} = 1 - \cos \varphi + x_2^0 \cos \varphi$$

$$\frac{T_y}{q_0 r} = -\sin \varphi + x_2^0 \sin \varphi$$

(5.4-8)

- pentru $y \in (0, h_0) \Rightarrow u \in (0, 1)$

$$\frac{M_x}{q_0 r^2} = 1 + u u_0 + \frac{1}{2} u^2 u_0^2 + x_1^0 - x_2^0 (1 + u u_0)$$

$$\frac{N_x}{q_0 r} = 1 ; \quad \frac{T_x}{q_0 r} = -(1 + u u_0) + x_2$$

(5.4-9)

- pentru $y \in (0; \tau) \Rightarrow v \in (0, 1)$

$$\frac{M_x}{q_0 r^2} = 1 + u_0 + \frac{1}{2} u_0^2 - (v - \frac{1}{2} v^2) + x_1^0 - (1 + u_0) x_2^0$$

$$\frac{N_x}{q_0 r} = 1 + u_0 - x_2^0 ; \quad \frac{T_x}{q_0 r} = 1 - v$$

(5.4-10)

In tabelul 5.4-2 sînt calculate eforturile date in relațiile de mai sus și sînt reprezentate în diagramele din fig.

5.4-2 a, b.

| u ₀ | | Valorile eforturilor | | | | | | | | | | |
|----------------|-------|----------------------|-------|-------|--------|--------|--------|--------|--------|-------|--------|--------|
| | | φ | | | u | | | | v | | | |
| | | 0 | 45 | 90 | 0 | 0,5 | 0,7 | 1,0 | 0 | 0,5 | 1,0 | |
| 1,5 | 1:1:1 | $M_{y_0} r^2$ | 0,172 | 0,063 | -0,199 | -0,199 | -0,137 | -0,038 | 0,369 | 0,369 | -0,256 | -1,303 |
| | | $N_{y_0} r$ | 1,371 | 1,262 | 1,000 | 1,000 | 1,000 | 1,000 | 1,000 | 1,129 | 1,129 | 1,129 |
| | | $T_{y_0} r$ | 0,000 | 0,262 | 0,371 | 0,371 | -0,379 | -0,79 | -1,129 | 1,000 | 0,300 | 0,000 |
| | 1:1:0 | $M_{y_0} r^2$ | 0,149 | 0,055 | -0,150 | -0,150 | -0,133 | 0,040 | 0,469 | — | — | — |
| | | $N_{y_0} r$ | 1,371 | 1,228 | 1,000 | 1,000 | 1,000 | 1,000 | 1,000 | — | — | — |
| | | $T_{y_0} r$ | 0,000 | 0,228 | 0,322 | 0,322 | -0,428 | -0,728 | -1,278 | — | — | — |

Deplasarea dimensională δ_H^0 (vezi tabela 5.1-2) se calculează din relația :

$$\delta_H^0 = J_q + x_1^0 \Delta_{1P}^0 + x_2^0 \Delta_{2P}^0 \quad (5.4-11)$$

unde :

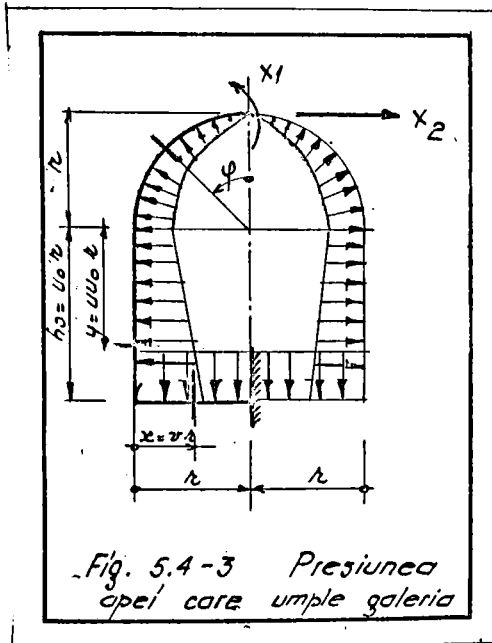
$$J_q = -[I_{2y} i_y + I_{2x} i_x]$$

$$I_{2y} = \frac{1}{2} u_0^2 + \frac{1}{3} u_0^3 + \frac{1}{4} u_0^4 ; \quad I_{2x} = u_0 \left(\frac{2}{3} + u_0 + \frac{1}{2} u_0^2 \right)$$

Δ_{1P}^0 , Δ_{2P}^0 se dau în relațiile 5.1-28 și calculate în tab. 5.1-2.

2.- Presiunea apei care umple galeria

Această încărcare este importantă la galeriile de fugă ale centralelor subterane și la transportul apei pentru nece-



sității industriale sau potabile (fig.5.4-3).

Încărcarea va avea, pe diferite domenii de variație, următoarea formă :

- pentru $\psi \in (0; \frac{\pi}{2})$

$$p_{\psi} = p_0(1 - \cos \psi) \quad (5.4-12)$$

- pentru $y \in (0, h); u \in (0; 1)$

$$p_y = p_0(1 + u u_0) \quad (5.4-13)$$

- pentru $x \in (0; r) \Rightarrow v \in (0; 1)$

$$p_x = p_0(1 + v u_0) \quad (5.4-14)$$

În relațiile de mai sus s-a folosit notația :

$$p_0 = \gamma r \quad (5.4-15)$$

Eforturile pe structura de bază se obțin prin integrarea efectului încărcării pînă într-o secțiune curentă definită de variabilele ψ, u, v . Operația de integrare se face recurgînd la o variabilă intermediară u . Se obține :

$$\begin{aligned} \frac{M_{\psi}^0}{p_0 r} &= \int_0^{\psi} p_u \tau du \tau \sin(\psi - u) = p_0 r \int_0^{\psi} (1 - \cos u) \sin(\psi - u) du \\ N_{\psi}^0 &= \int_0^{\psi} p_u \tau du \sin(\psi - u) = p_0 r \int_0^{\psi} (1 - \cos u) \sin(\psi - u) du \end{aligned} \quad (5.4-16)$$

$$T_{\varphi}^{\circ} = \int_0^{\varphi} -\rho_0 r \tau du \cos(\varphi - u) = -\rho_0 r \int_0^{\varphi} (1 - \cos u) \cos(\varphi - u) du$$

Efectuând calculele, se obțin eforturile adiensionale :

$$\frac{M_{\varphi}^{\circ}}{\rho_0 r^2} = 1 - \cos \varphi - \frac{1}{2} \varphi \sin \varphi$$

$$\frac{N_{\varphi}^{\circ}}{\rho_0 r} = \frac{M_{\varphi}^{\circ}}{\rho_0 r^2} ; \quad \frac{T_{\varphi}^{\circ}}{\rho_0 r} = -\left(\frac{1}{2} \sin \varphi - \frac{1}{2} \varphi \sin \varphi\right) \quad (5.4-17)$$

La limita intervalului, pentru $\varphi = \frac{\pi}{2}$ se găsește :

$$\frac{M_{\frac{\pi}{2}}^{\circ}}{\rho_0 r^2} = 0,215 ; \quad \frac{N_{\frac{\pi}{2}}^{\circ}}{\rho_0 r} = 0,215 ; \quad \frac{T_{\frac{\pi}{2}}^{\circ}}{\rho_0 r} = -0,50 \quad (5.4-18)$$

- pentru $y \in (0, h_0) \Rightarrow u \in (0, 1)$

$$\frac{M_y^{\circ}}{\rho_0 r^2} = \frac{M_{\frac{\pi}{2}}^{\circ}}{\rho_0 r^2} - \frac{T_{\frac{\pi}{2}}^{\circ}}{\rho_0 r} u u_0 + \int_0^u (1+t u_0) u_0 du u_0(u-t)$$

$$\frac{N_y^{\circ}}{\rho_0 r} = \frac{N_{\frac{\pi}{2}}^{\circ}}{\rho_0 r} = 0,215 \quad (5.4-19)$$

$$\frac{T_y^{\circ}}{\rho_0 r} = \frac{T_{\frac{\pi}{2}}^{\circ}}{\rho_0 r} - \int_0^u (1+t u_0) u_0 dt$$

După efectuarea calculelor se poate scrie :

$$\frac{M_y^{\circ}}{\rho_0 r^2} = 0,215 + 0,500 u_0 u + 0,500 u_0^2 u^2 + 0,167 u_0^3 u^3 \quad (5.4-20)$$

$$\frac{N_y^{\circ}}{\rho_0 r} = 0,215 ; \quad \frac{T_y^{\circ}}{\rho_0 r} = -(0,500 + u_0 u + 0,5 u_0^2 u^2)$$

- pentru $x \in (0, r) \Rightarrow \tau \in (0, 1)$

$$\frac{M_x^{\circ}}{\rho_0 r^2} = 0,215 + 0,500 u_0 + 0,500 u_0^2 + 0,167 u_0^3 - 0,215 v + \frac{1}{2} (1+u_0) v^2 \quad (5.4-21)$$

$$\frac{N_x^{\circ}}{\rho_0 r} = 0,500 + u_0 + 0,500 u_0^2 ; \quad \frac{T_x^{\circ}}{\rho_0 r} = 0,215 - (1+u_0) v$$

Pentru ridicarea nedeterminării se calculează :

$$I_{1\varphi} = \int_0^{\frac{\pi}{2}} \left(\frac{M_{\varphi}^{\circ}}{\rho_0 r^2} \right) d\varphi = \int_0^{\frac{\pi}{2}} \left(1 - \cos \varphi - \frac{1}{2} \varphi \sin \varphi \right) d\varphi = 0,070$$

$$I_{2\varphi} = \int_0^{\frac{\pi}{2}} \left(\frac{M_{\varphi}^{\circ}}{\rho_0 r^2} \right) \cos \varphi d\varphi = \int_0^{\frac{\pi}{2}} \left(1 - \cos \varphi - \frac{1}{2} \varphi \sin \varphi \right) \cos \varphi d\varphi = 0,018$$

$$I_{1y} = \int_0^1 u_0 \left(\frac{M_y^0}{\rho_0 r^2} \right) du = 0,215u_0 + 0,250u_0^2 + 0,167u_0^3 + 0,042u_0^4$$

$$I_{2y} = \int_0^1 u_0^2 \left(\frac{M_y^0}{\rho_0 r^2} \right) u du = 0,108u_0^2 + 0,167u_0^3 + 0,125u_0^4 + 0,033u_0^5$$

(5.4-21)

$$I_{1x} = \int_0^1 \left(\frac{M_x}{\rho_0 r^2} \right) du = 0,275 + 0,667u_0 + 0,500u_0^2 + 0,167u_0^3$$

$$I_{2x} = u_0 I_{1x}$$

Deplasările adimensionale pe direcțiile necunoscutelor se obțin prin (5.4-21) U (5.1-13) U (5.1-14) :

$$\Delta_{1p}^0 = 0,070L\varphi + (0,215u_0 + 0,250u_0^2 + 0,167u_0^3 + 0,042u_0^4)L\varphi + (0,275 + 0,667u_0 + 0,500u_0^2 + 0,167u_0^3)Lx$$

$$\Delta_{2p}^0 = -[0,052L\varphi + (0,215u_0 + 0,358u_0^2 + 0,334u_0^3 + 0,167u_0^4 + 0,033u_0^5)L\varphi + (1+u_0)(0,275 + 0,667u_0 + 0,500u_0^2 + 0,167u_0^3)Lx] \quad (5.4-22)$$

Necunoscutele adimensionale se obțin prin (5.4-22) U (5.1-14). În tabelul (5.4-3) se dau câteva valori x_1^0 , x_2^0 calculate în ipotezole înscrise în tabel.

Valorile x_1^0 , x_2^0 δ_H^0 Tabel 5.4-3

| u_0 | $i\varphi iy ix$ | x_1^0 | x_2^0 | δ_H^0 |
|-------|------------------|---------|---------|--------------|
| 1,5 | 1:1:1 | 0,379 | 1,054 | -1,186 |
| | 1:1:0 | 0,171 | 0,708 | -0,290 |
| | 1:5:5 | 0,633 | 1,201 | -6,130 |
| | 1:5:0 | 0,148 | 0,711 | -1,288 |
| 3,0 | 1:1:1 | 2,115 | 2,809 | -1,712 |
| | 1:1:0 | 1,374 | 2,165 | -0,580 |
| | 1:5:5 | 4,290 | 3,250 | -33,900 |
| | 1:5:0 | 2,835 | 2,719 | -3,800 |

Eforturile pentru întreaga structură se pot scrie sub forma :

- pentru $\varphi \in (0; \frac{\pi}{2})$

$$\frac{M\varphi}{\rho_0 r^2} = \frac{M\varphi}{\rho_0 r^2} + x_1^0 - x_2^0 (1 - \cos\varphi)$$

$$\frac{N\varphi}{\rho_0 r} = \frac{N\varphi}{\rho_0 r} + x_2^0 \cos\varphi$$

$$\frac{T\varphi}{\rho_0 r} = \frac{T\varphi}{\rho_0 r} + x_2^0 \sin\varphi \quad (5.4-23)$$

In relațiile 5.4-23 se vor introduce valorile $\frac{M_y^0}{\rho_0 \tau^2}$;
 $\frac{N_y^0}{\rho_0 \tau}$; $\frac{T_y^0}{\rho_0 \tau}$ din relațiile 5.4-17.

- pentru $y \in (0, h_0) \Rightarrow u \in (0, 1)$

$$\frac{M_y}{\rho_0 \tau^2} = \frac{M_y^0}{\rho_0 \tau^2} + X_1^0 - X_2^0 (1 + u u_0)$$

$$\frac{N_y}{\rho_0 \tau} = \frac{N_y^0}{\rho_0 \tau} ; \quad \frac{T_y}{\rho_0 \tau} = \frac{T_y^0}{\rho_0 \tau} + X_2^0 \quad (5.4-24)$$

unde : $\frac{M_y^0}{\rho_0 \tau^2}$; $\frac{N_y^0}{\rho_0 \tau}$; $\frac{T_y^0}{\rho_0 \tau}$ se obțin din (5.4-20)

- pentru $x \in (0, \tau) \Rightarrow v \in (0, 1)$

$$\frac{M_x}{\rho_0 \tau^2} = \frac{M_x^0}{\rho_0 \tau^2} + X_1^0 - (1 + u_0) X_2^0$$

$$\frac{N_x}{\rho_0 \tau} = \frac{N_x^0}{\rho_0 \tau} - X_2^0 \quad (5.4-25)$$

analog , expresiile pentru $\frac{M_x^0}{\rho_0 \tau^2}$; $\frac{N_x^0}{\rho_0 \tau}$; $\frac{T_x^0}{\rho_0 \tau}$ se obțin din 5.4-21.

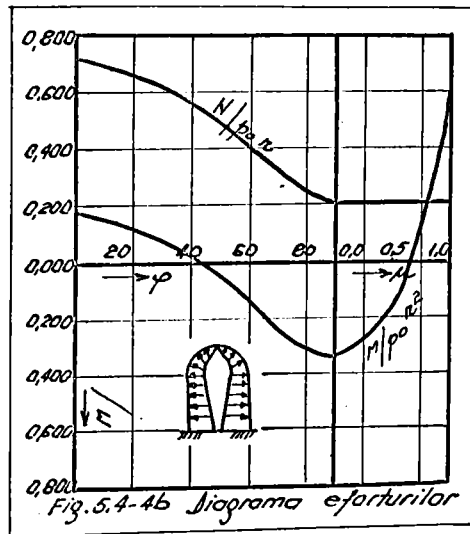
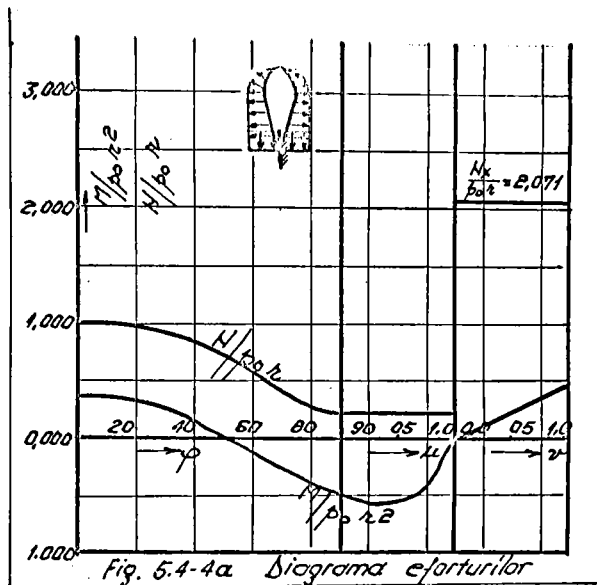
Valorile eforturilor descrise de relațiile 5.4-23 ; 24 ; 25 sînt trecute în tabelul (5.4-4) și în diagramele din fig. 5.4-4 a, b.

Valorile numerice ale eforturilor Tabel 5.4-4

| u ₀ | l _y , l _y , l _x | ψ | | | | μ | | | | ν | | | |
|----------------|--|---------------------------------|-------|--------|--------|--------|--------|--------|--------|--------|--------|--------|-------|
| | | 0 | 45 | 60 | 90 | 0 | 0,5 | 0,7 | 1,0 | 0 | 0,5 | 1,0 | |
| 1,5 | 1:1:1 | M/ρ ₀ τ ² | 0,379 | 0,085 | -0,101 | -0,460 | -0,460 | -0,539 | -0,423 | -0,001 | -0,001 | +0,205 | 0,451 |
| | | N/ρ ₀ τ | 1,054 | 0,760 | 0,574 | 0,215 | 0,215 | 0,215 | 0,215 | 2,071 | 2,071 | 2,071 | 2,071 |
| | | T/ρ ₀ τ | 0,000 | 0,669 | 0,742 | 0,554 | +0,554 | -0,477 | -1,047 | -2,071 | 0,215 | 0,215 | 0,215 |
| | 1:1:0 | M/ρ ₀ τ ² | 0,171 | -0,021 | -0,136 | -0,322 | -0,322 | -0,141 | 0,068 | 0,658 | — | — | — |
| | | N/ρ ₀ τ | 0,708 | 0,516 | 0,401 | 0,215 | 0,215 | 0,215 | 0,215 | 0,215 | — | — | — |
| | | T/ρ ₀ τ | 0,000 | 0,725 | 0,442 | 0,208 | 0,208 | -0,023 | -1,393 | -2,417 | — | — | — |

Deplasarea δ_H se va calcula dacă în prealabil se cunoaște valoarea :

$$J_p = -(l_y I_{2y} + l_x I_{2x}) \quad (5.4-26)$$



Introducând din expresiile 5.4-21 valorile algebrice

I_{2y} , I_{2x} se obține :

$$J_P = -[(0,108u_0^2 + 0,167u_0^3 + 0,125u_0^4 + 0,033u_0^5) L_y + u_0(0,275 + 0,667u_0 + 0,500u_0^2 + 0,167u_0^3) L_x] \quad (5.4-27)$$

cu aceste precizări, se poate scrie :

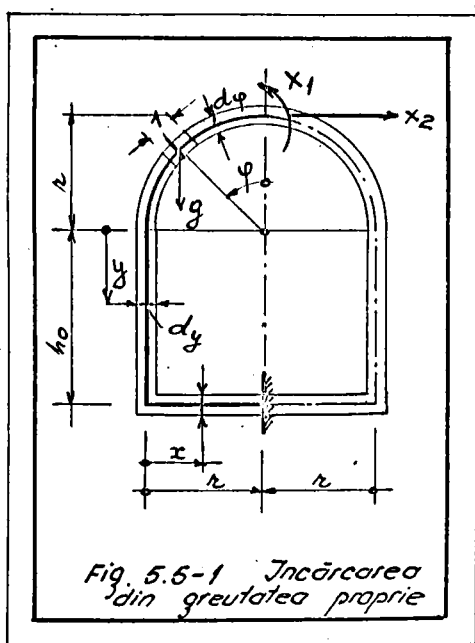
$$\delta^0 = T_0 + X_1^0 \Delta_{10}^0 + X_2^0 \Delta_{20}^0$$

unde Δ_{1P} , Δ_{2P} sînt explicitate în 5.1-28.

Valorile numerice δ_H^0 sînt trecute în tabela 5.4-3.

§ 5.5.- Încărcarea din greutatea proprie

Se consideră încărcarea pe unitatea de lungime a liniei



mediane fig.5.5-1.

$$g_{\varphi} = r \cdot d\varphi \cdot 1 = g$$

$$g_y = r \cdot dy \cdot 1 = g \frac{dx}{dy}$$

$$g_x = r \cdot dx \cdot 1 = g \frac{dx}{d\varphi} \quad (5.5-1)$$

În cele ce urmează calculele sînt conduse în ipoteza variației grosimii căptușelii în lungul liniei mediane.

Eforturile pe arcul de bază :

- pentru $\varphi \in (0; \frac{\pi}{2})$

$$\frac{M_{\varphi}^0}{g r^2} = - \int_0^{\varphi} (\sin \varphi - \sin u) du = - (\varphi \sin \varphi - 1 + \cos \varphi)$$

$$\frac{N_{\varphi}^0}{g r} = - \int_0^{\varphi} \sin \varphi du = - \varphi \sin \varphi$$

$$\frac{T_{\varphi}^0}{g r} = + \int_0^{\varphi} \cos \varphi du = \varphi \cos \varphi$$

- pentru $\varphi = \frac{\pi}{2}$ se obține :

$$\frac{M_{\frac{\pi}{2}}^0}{g r^2} = -0,570 ; \frac{N_{\frac{\pi}{2}}^0}{g r} = 1,570 ; \frac{T_{\frac{\pi}{2}}^0}{g r} = 0$$

In funcție de eforturile din secțiunea $\varphi = \frac{\pi}{2}$ se obține:

- pentru $y \in (0, h_0) \Rightarrow u \in (0, 1)$:

$$\begin{aligned} \frac{M_y^0}{g\tau^2} &= -0,570 ; & \frac{T_y^0}{g\tau} &= 0 \\ \frac{N_y^0}{g\tau} &= -1,570 - \left(\sqrt[3]{\frac{c_y}{c\varphi}} \right) u u_0. \end{aligned} \quad (5.5-4)$$

- pentru $x \in (0, \tau) ; v \in (0, 1)$

$$\begin{aligned} \frac{M_x^0}{g\tau^2} &= -0,570 + \left(1,570 + \sqrt{\frac{c_y}{c\varphi}} u_0 \right) v + \sqrt[3]{\frac{c_x}{c\varphi}} \cdot \frac{1}{2} v^2 \\ \frac{N_x^0}{g\tau} &= 0 ; & \frac{T_x^0}{g\tau} &= - \left[\left(1,57 + \sqrt[3]{\frac{c_y}{c\varphi}} u_0 \right) + \sqrt[3]{\frac{c_x}{c\varphi}} \cdot v \right] \end{aligned} \quad (5.5-5)$$

integralele ce intervin în deplasările datorită încălzirilor

interioare sînt :

$$I_{1\varphi} = \int_0^{\frac{\pi}{2}} \frac{M_y^0}{g\tau^2} d\varphi = - \int_0^{\frac{\pi}{2}} (\varphi \sin \varphi - 1 + \cos \varphi) d\varphi = -0,430$$

$$I_{2\varphi} = \int_0^{\frac{\pi}{2}} \left(\frac{M_y^0}{g\tau^2} \right) \cos \varphi d\varphi = -0,178$$

(5.5-6)

$$I_{1y} = u_0 \int_0^1 \frac{M_y^0}{g\tau^2} du = -0,570 u_0$$

$$I_{2y} = u_0^2 \int_0^1 \frac{M_y^0}{g\tau^2} u du = -0,285 u_0^2$$

$$I_{1x} = \int_0^1 u_0 \frac{M_x^0}{g\tau^2} dv = \left(0,215 + 0,167 \sqrt{\frac{c_x}{c\varphi}} \right) u_0 + \frac{1}{2} \sqrt[3]{\frac{c_x}{c\varphi}} u_0^2$$

Deplasările au valorile :

$$\Delta_{1g}^0 = -0,430 i_{\varphi} - 0,570 u_0 i_y + \left[\left(0,215 + 0,167 \sqrt[3]{\frac{c_x}{c\varphi}} \right) u_0 + \frac{1}{2} \sqrt[3]{\frac{c_x}{c\varphi}} u_0^2 \right] i_x$$

(5.5-7)

$$\begin{aligned} \Delta_{2g}^0 &= 0,252 i_{\varphi} + \left(0,570 u_0 + 0,285 u_0^2 \right) i_y - \left(1 + u_0 \left[0,215 + 0,167 \sqrt[3]{\frac{c_x}{c\varphi}} \right] u_0 + \right. \\ &\quad \left. + \frac{1}{2} \sqrt[3]{\frac{c_x}{c\varphi}} u_0^2 \right) i_x \end{aligned}$$

Necunoscutele adimensionale se obțin din (5.1-14) ținînd
cont de relațiile (5.5-7). Valorile numerice ale necunoscuteleor
se găsesc în tabelul 5.5-1.

Eforturile totale pentru întreaga structură se scriu sub

Valorile x_1^0, x_2^0, δ_H^0 Tabel 5.5-1

| u_0 | $i_y:i_z:i_x$ | x_1^0 | x_2^0 | δ_H^0 |
|-------|---------------|---------|---------|--------------|
| 1,5 | 1:1:1 | -0,031 | +0,032 | -1,634 |
| | 1:1:0 | +0,195 | -0,216 | -0,063 |
| | 1:5:5 | -2,207 | -0,868 | -17,151 |
| 3,0 | 1:5:0 | +0,281 | -0,155 | -0,118 |
| | 1:1:1 | +1,313 | +0,861 | -2,265 |
| | 1:1:0 | +0,289 | -0,107 | -0,181 |
| | 1:5:5 | +4,007 | +1,994 | -21,153 |
| | 1:5:0 | +0,420 | -0,062 | -0,910 |

forma :

- pentru $\varphi \in (0, \frac{\pi}{2})$

$$\frac{M\varphi}{g\tau^2} = -[\varphi \sin \varphi - 1 + \cos \varphi] + x_1^0 - x_2^0 (1 - \cos \varphi)$$

$$\frac{N\varphi}{g\tau} = -\varphi \sin \varphi + x_2^0 \cos \varphi ;$$

$$\frac{T\varphi}{g\tau} = \varphi \cos \varphi + x_2^0 \sin \varphi \quad (5.5-8)$$

- pentru $\varphi \in (0; h_0) \Rightarrow u \in (0; 1)$

$$\frac{M_y}{g\tau^2} = -0,570 + x_1^0 - x_2^0 (1 + u u_0)$$

$$\frac{N_y}{g\tau} = -1,570 - \sqrt{\frac{l_y}{l_\varphi}} u u_0 ; \quad \frac{T_y}{g\tau} = x_2^0 \quad (5.5-9)$$

- pentru $x \in (0; \tau) \Rightarrow v \in (0; 1)$

$$\frac{M_x}{g\tau^2} = -0,570 + (1,570 + \sqrt{\frac{l_y}{l_\varphi}} u_0) v + \sqrt{\frac{l_x}{l_\varphi}} v + x_1^0 - (1 + u_0) x_2^0 \quad (5.5-10)$$

$$\frac{N_x}{g\tau} = -x_2^0 ; \quad \frac{T_x}{g\tau} = -[(1,570 + \sqrt{\frac{l_y}{l_\varphi}}) u_0 + \sqrt{\frac{l_x}{l_\varphi}} v]$$

In tabelul 5.5-2 sînt calculate valorile eforturilor

$\frac{M}{g\tau^2} \cdot \frac{N}{g\tau} \cdot \frac{T}{g\tau}$ și reprezentate grafic în fig.5.5-2 a, b , pentru cîteva cazuri uzuale :

Deplasarea adiimensională δ_H^0 se calculează cu relația:

Valorile eforturilor Tabel 5.5-2

| u_0 | | φ | | | μ | | | | | | |
|-------|-------------|-----------|--------|--------|--------|--------|--------|--------|--------|--------|--------|
| | | 0 | 45 | 90 | 0 | 0,5 | 0,7 | 1,0 | 0 | 0,5 | 1,0 |
| 1,5 | $M/g\tau^2$ | -0,031 | 0,222 | -0,635 | -0,635 | -0,657 | -0,667 | -0,681 | -0,681 | +0,979 | +2,032 |
| | $N/g\tau$ | 0,032 | -0,532 | -1,570 | -1,570 | -2,300 | -2,620 | -3,070 | -0,032 | -0,032 | -0,032 |
| | $T/g\tau$ | 0,000 | 0,578 | 0,032 | 0,032 | 0,100 | 0,032 | 0,032 | -3,070 | -3,570 | -4,070 |
| | $M/g\tau^2$ | 0,195 | 0,520 | -0,159 | -0,159 | +0,068 | 0,068 | 0,165 | - | - | - |
| | $N/g\tau$ | -0,215 | -0,708 | -1,000 | -1,678 | -2,063 | -3,063 | -3,612 | - | - | - |

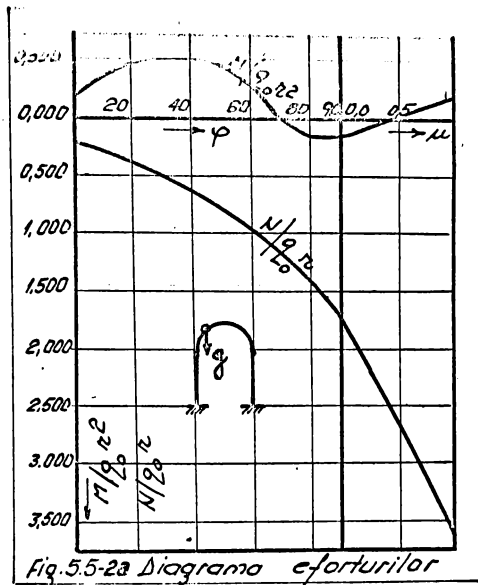


Fig. 5.5-2a Diagrama eforturilor

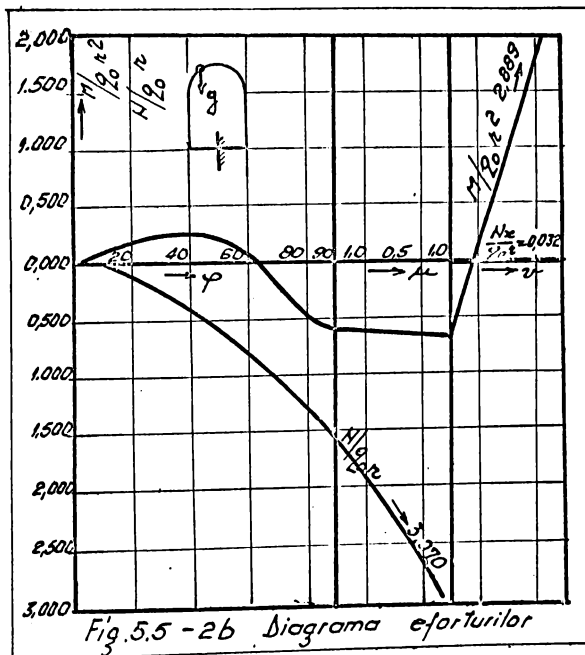


Fig. 5.5-2b Diagrama eforturilor

$$\delta_H^0 = J_g + X_1^0 \Delta_{1P} + X_2^0 \Delta_{2P}$$

(5.5-11)

unde :

$$J_g = -[i_y I_{2y} + i_x I_{2x}]$$

Explicitînd integralele I_{2y} și I_{2x} se găsește :

$$J_g = 0,285 u_0^2 l_y - \left[0,215 + 0,167 \sqrt{\frac{l_x}{l_y}} \right] u_0^2 + \frac{1}{2} \sqrt{\frac{l_y}{l_x}} u_0^3 l_x$$

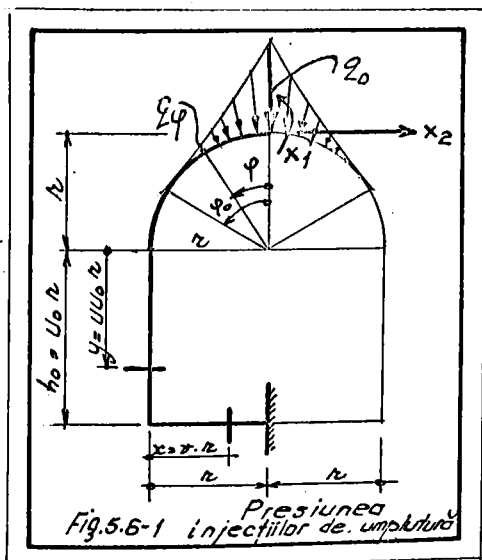
(5.5-13)

Valorile numerice x_1° , x_2° se găsesc în tabelul 5.5-1
 Δ_{1p} , Δ_{2p} în tabelul 5.1-2.

§ 5.6.- Încărcări tehnologice

1.- Încărcarea din presiunea injectiilor

Încărcarea se consideră ~~177~~ pe zona în care se face injecțiile (fig.5.6-1).



Expresia încărcării se acceptă sub forma :

- pentru $\varphi \in (0, \varphi_0)$

$$q_p = q_0 \left(1 - \frac{\sin \varphi}{\sin \varphi_0} \right) \quad (5.6-1)$$

Unghiul φ_0 se adoptă în funcție de numărul punctelor în care se face injecția și este cuprins între 45° ; 60° .

Eforturile pe schema de bază se obțin prin însumarea

efectului încărcării pînă într-o secțiune curentă φ . Serind însumarea efectelor sub forma unor integrale (prin intermediul unei variabile intermediare "u") se obține :

- pentru $\varphi \in (0; \varphi_0)$

$$M_0^\circ = - \int_0^\varphi \left(1 - \frac{\sin u}{\sin \varphi_0} \right) \sin(\varphi - u) du$$

$$\frac{N_\varphi^\circ}{\sigma \pi} = \frac{M_\varphi^\circ}{\sigma \pi^2} ;$$

$$\frac{T_{\varphi}^{\circ}}{q_0 r} = \int \left(1 - \frac{\sin u}{\sin \varphi_0}\right) \cos(\varphi - u) du$$

Efectuind operațiile impuse de relațiile 5.6-2 se obține:

$$\frac{M_{\varphi}^{\circ}}{q_0 r^2} = -\left[1 - \cos \varphi + \frac{1}{2 \sin \varphi_0} (\varphi \cos \varphi - \sin \varphi)\right] \quad (5.6-3)$$

$$\frac{N_{\varphi}^{\circ}}{q_0 r} = \frac{M_{\varphi}^{\circ}}{q_0 r^2} ; \quad \frac{T_{\varphi}^{\circ}}{q_0 r} = \left[\sin \varphi - \frac{1}{2 \sin \varphi_0} \varphi \sin \varphi\right]$$

- pentru $\varphi \in \left(\varphi_0, \frac{\pi}{2}\right)$, eforturile se scriu în funcție de cele din punctul $\varphi = \varphi_0$. Acestea se vor nota cu $M_{\varphi_0}^{\circ}$; $N_{\varphi_0}^{\circ}$

$$T_{\varphi_0}^{\circ}$$

$$\frac{M_{\varphi}^{\circ}}{q_0 r^2} = \frac{N_{\varphi_0}^{\circ}}{q_0 r} \cos(\varphi - \varphi_0) - \frac{T_{\varphi_0}^{\circ}}{q_0 r} \sin(\varphi - \varphi_0); \quad \frac{N_{\varphi}^{\circ}}{q_0 r} = \frac{M_{\varphi}^{\circ}}{q_0 r^2} ;$$

$$\frac{T_{\varphi}^{\circ}}{q_0 r} = \frac{N_{\varphi_0}^{\circ}}{q_0 r} \sin(\varphi - \varphi_0) + \frac{T_{\varphi_0}^{\circ}}{q_0 r} \cos(\varphi - \varphi_0) \quad (5.6-4)$$

La limita intervalului, pentru $\varphi = \frac{\pi}{2}$ se obțin eforturile $M_{\frac{\pi}{2}}^{\circ}$; $N_{\frac{\pi}{2}}^{\circ}$; $T_{\frac{\pi}{2}}^{\circ}$. Acestea au expresiile:

$$\frac{M_{\frac{\pi}{2}}^{\circ}}{q_0 r^2} = -\frac{1}{2} \sin \varphi_0 ; \quad \frac{N_{\frac{\pi}{2}}^{\circ}}{q_0 r} = -\frac{1}{2} \sin \varphi_0 \quad (5.6-5)$$

$$\frac{T_{\frac{\pi}{2}}^{\circ}}{q_0 r} = 1 - \frac{1}{2} \cos \varphi_0 - \frac{1}{2} \frac{\varphi_0}{\sin \varphi_0}$$

Pentru ușurarea calculului, în diferite cazuri particulare, au fost calculate eforturile adimensionale în punctele φ_0 și $\frac{\pi}{2}$ (vezi tabela 5.6-1).

Valorile eforturilor pe schema de bază Tabel 5.6-1

| φ_0 | $M_{\varphi_0}^{\circ}/q_0 r^2$ | $N_{\varphi_0}^{\circ}/q_0 r$ | $T_{\varphi_0}^{\circ}/q_0 r$ | $M_{\frac{\pi}{2}}^{\circ}/q_0 r^2$ | $N_{\frac{\pi}{2}}^{\circ}/q_0 r$ | $T_{\frac{\pi}{2}}^{\circ}/q_0 r$ |
|-------------|---------------------------------|-------------------------------|-------------------------------|-------------------------------------|-----------------------------------|-----------------------------------|
| 45° | -0,195 | -0,185 | 0,315 | -0,354 | -0,354 | 0,092 |
| 60° | -0,302 | -0,302 | 0,343 | -0,433 | -0,433 | 0,146 |
| 90° | -0,500 | -0,500 | 0,215 | -0,500 | -0,500 | 0,215 |

În celelalte domenii expresiile eforturilor sînt:

- pentru $\varphi \in (0; \varphi_0) \Rightarrow u \in (0, 1)$

$$\frac{M_y^0}{q_0 r^2} = \frac{M_{II}^0}{q_0 r^2} - \frac{T_{II}^0}{q_0 r} u u_0; \quad \frac{N_y^0}{q_0 r} = \frac{N_{II}^0}{q_0 r}$$

(5.6-6)

$$\frac{T_y^0}{q_0 r} = \frac{T_{II}^0}{q_0 r}$$

- pentru $x \in (0; r) \Rightarrow v \in (0; 1)$

$$\frac{M_x^0}{q_0 r^2} = \frac{N_{II}^0}{q_0 r^2} - \frac{T_{II}^0}{q_0 r} u_0 - \frac{N_{II}^0}{q_0 r} v; \quad \frac{N_x^0}{q_0 r} = -\frac{T_{II}^0}{q_0 r};$$

(5.6-7)

$$\frac{T_x^0}{q_0 r} = \frac{N_{II}^0}{q_0 r}$$

Calculul necunoscutelelor se poate facea relativ ușor, dacă în prealabil se calculează integralele :

$$I_{1\varphi} = \int \left(\frac{M_{II}^0}{q_0 r^2} \right) d\varphi = - \left[\varphi_0 + \frac{1}{\sin \varphi_0} (\varphi_0 - 1 + \cos \varphi_0) - 1 + \frac{1}{2} \cos \varphi_0 \right]$$

$$I_{2\varphi} = \int \left(\frac{M_{II}^0}{q_0 r^2} \right) \cos \varphi d\varphi = - \left[\frac{5}{8} \sin \varphi_0 + \frac{1}{8} \left(\frac{\varphi_0}{\sin \varphi} \right)^2 \sin \varphi_0 - \frac{1}{2} \left(\frac{\pi}{2} - \varphi_0 \right) \left(1 - \frac{1}{2} \cos \varphi_0 - \frac{1}{2} \frac{\varphi_0}{\sin \varphi_0} \right) \right]$$

$$I_{1y} = \int_0^1 u_0 \left(\frac{M_{II}^0}{q_0 r^2} \right) du = u_0 \left(\frac{M_{II}^0}{q_0 r^2} \right) - \frac{1}{2} u_0^2 \left(\frac{T_{II}^0}{q_0 r} \right)$$

$$I_{2y} = \int_0^1 u_0^2 \left(\frac{M_{II}^0}{q_0 r^2} \right) u du = \frac{1}{2} u_0^2 \left(\frac{M_{II}^0}{q_0 r^2} \right) - \frac{1}{3} u_0^3 \left(\frac{T_{II}^0}{q_0 r} \right)$$

$$I_{1x} = \int_0^1 \left(\frac{M_{II}^0}{q_0 r^2} \right) dv = \left(\frac{M_{II}^0}{q_0 r^2} \right) - u_0 \left(\frac{T_{II}^0}{q_0 r} \right) - \frac{1}{2} \left(\frac{N_{II}^0}{q_0 r} \right)$$

(5.6-8)

$$I_{2x} = u_0 I_{1x}$$

Deplasările adimensionale au expresiile :

$$\Delta_{1\varphi} = I_{1\varphi} \zeta_{\varphi} + I_{1y} \zeta_y + I_{1x} \zeta_x$$

(5.6-9)

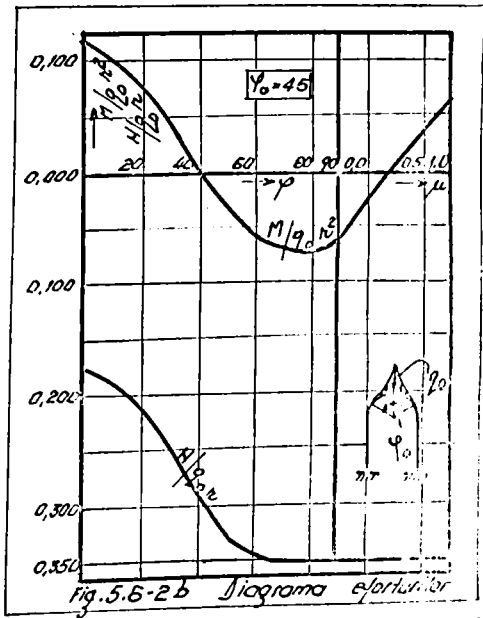
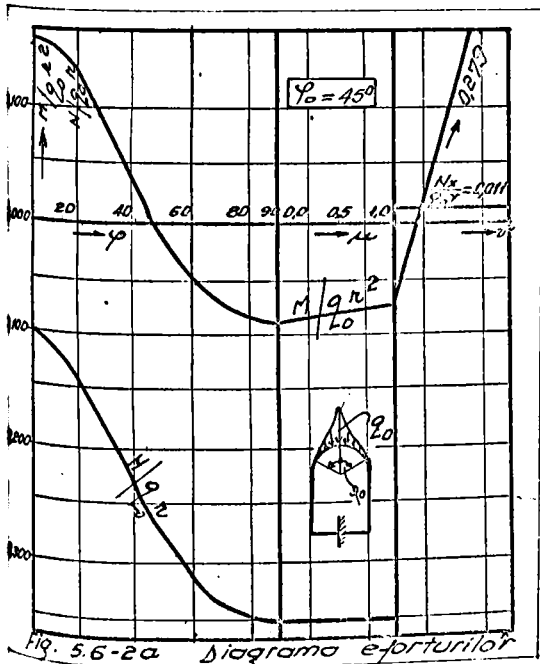
$$\Delta_{2\varphi} = (I_{2\varphi} - I_{1\varphi}) - (I_{1y} + I_{2y}) \zeta_y - (1 + u_0) I_{1x} \zeta_x$$

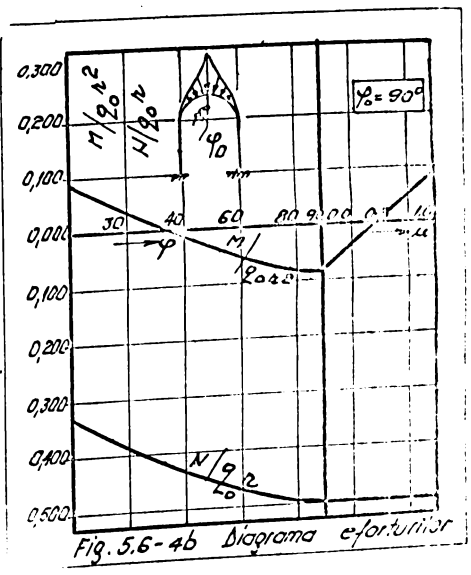
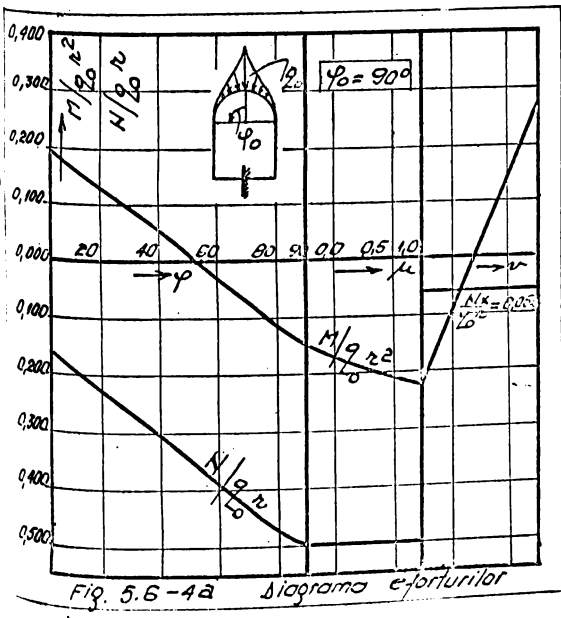
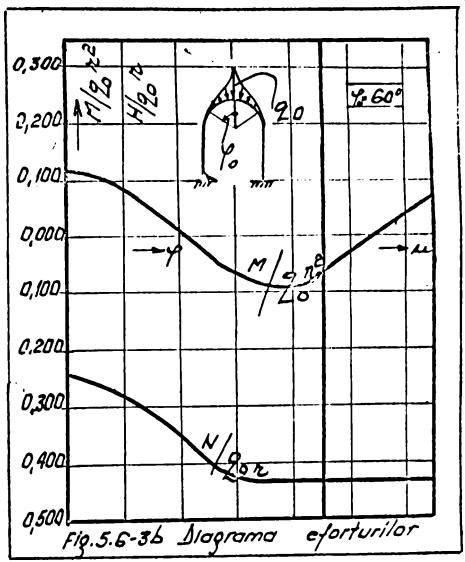
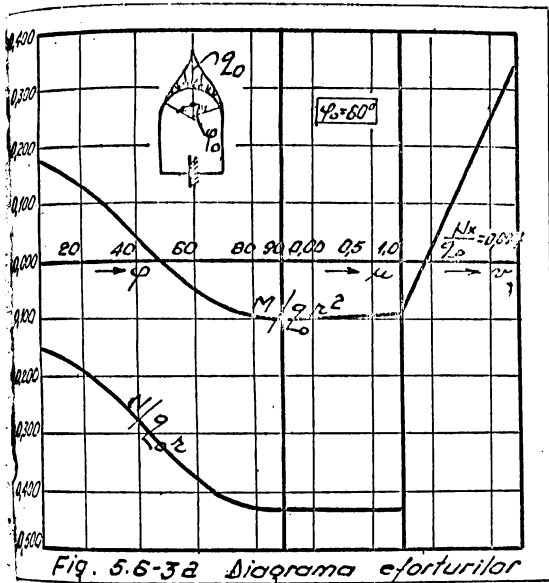
Necunoscutele adimensionale se calculează din relațiile

Valorile eforturilor

Tabel 5.6-3

| U ₀ | q ₀ | φ ₀ | φ | | | | μ | | | | ρ | | | | |
|----------------|-------------------------------|-------------------------------|-------------------------------|--------|--------|--------|--------|--------|--------|--------|--------|--------|--------|--------|--|
| | | | 0 | 45 | 60 | 90 | 0 | 05 | 07 | 1.0 | 0 | 05 | 1 | | |
| | | | | | | | | | | | | | | | |
| 15 | 1:1:1 | 45 | M/ρ ₀ ² | 0,161 | 0,005 | -0,019 | -0,091 | 0,091 | -0,088 | -0,080 | -0,075 | -0,075 | +0,102 | 0,279 | |
| | | | N/ρ ₀ ² | -0,102 | -0,297 | -0,312 | -0,354 | -0,354 | -0,354 | -0,354 | -0,354 | 0,011 | 0,011 | 0,011 | |
| | | | T/ρ ₀ ² | 0,000 | 0,243 | 0,168 | -0,011 | -0,011 | -0,011 | -0,011 | -0,011 | -0,354 | -0,354 | -0,354 | |
| | | 60 | M/ρ ₀ ² | 0,193 | 0,016 | -0,051 | -0,103 | -0,105 | -0,101 | -0,095 | -0,091 | -0,091 | 0 | | |
| | | | N/ρ ₀ ² | -0,155 | -0,312 | -0,320 | -0,433 | -0,433 | -0,433 | -0,433 | -0,433 | 0,004 | 0,004 | | |
| | | | T/ρ ₀ ² | 0,000 | 0,279 | 0,209 | -0,004 | -0,004 | -0,004 | -0,004 | -0,004 | -0,433 | -0,433 | -0,433 | |
| | 90 | M/ρ ₀ ² | 0,195 | 0,027 | -0,027 | -0,144 | -0,144 | -0,185 | -0,201 | -0,225 | -0,225 | +0,025 | 0,275 | | |
| | | N/ρ ₀ ² | -0,161 | -0,329 | -0,304 | -0,500 | -0,500 | -0,500 | -0,500 | -0,500 | -0,054 | -0,054 | -0,054 | | |
| | | T/ρ ₀ ² | 0,000 | 0,319 | 0,334 | 0,054 | 0,054 | 0,054 | 0,054 | 0,054 | -0,500 | -0,500 | -0,500 | | |
| | 1:1:0 | 45 | M/ρ ₀ ² | 0,114 | -0,019 | -0,058 | -0,063 | -0,063 | 0,002 | 0,027 | 0,066 | - | - | - | |
| | | | N/ρ ₀ ² | -0,177 | -0,310 | -0,350 | -0,354 | -0,354 | -0,354 | -0,354 | -0,354 | - | - | - | |
| | | | T/ρ ₀ ² | 0,000 | +0,190 | 0,103 | -0,086 | -0,086 | -0,086 | -0,086 | -0,086 | - | - | - | |
| 60 | | M/ρ ₀ ² | 0,115 | -0,015 | -0,064 | -0,072 | -0,072 | +0,001 | 0,033 | 0,072 | - | - | - | | |
| | | N/ρ ₀ ² | -0,245 | -0,376 | -0,425 | -0,433 | -0,433 | -0,433 | -0,433 | -0,433 | - | - | - | | |
| | | T/ρ ₀ ² | 0,000 | 0,215 | 0,130 | -0,100 | -0,100 | -0,100 | -0,100 | -0,100 | - | - | - | | |
| 90 | M/ρ ₀ ² | 0,092 | -0,027 | -0,047 | -0,080 | -0,080 | +0,004 | 0,038 | 0,089 | - | - | - | | | |
| | N/ρ ₀ ² | -0,325 | -0,447 | -0,467 | -0,500 | -0,500 | -0,500 | -0,500 | -0,500 | - | - | - | | | |
| | T/ρ ₀ ² | 0,000 | 0,200 | 0,190 | -0,113 | -0,113 | -0,113 | -0,113 | -0,113 | - | - | - | | | |





În tabelul 5.6-2 se calculează x_1^0 și x_2^0 pentru $\varphi_0 = 45^\circ, 60^\circ, 90^\circ$

Valorile x_1^0, x_2^0, δ_H^0 Tabel 5.6-2

| μ_0 | i, y, i, x | φ_0 | x_1^0 | x_2^0 | δ_H^0 |
|---------|--------------|-------------|---------|---------|--------------|
| 1,5 | 1:1:1 | 45 | 0,161 | -0,102 | 2,373 |
| | | 60 | 0,173 | -0,155 | 2,017 |
| | | 90 | 0,195 | -0,161 | 1,901 |
| | 1:1:0 | 45 | 0,114 | -0,177 | 1,477 |
| | | 60 | 0,115 | -0,246 | 1,581 |
| | | 90 | 0,092 | -0,329 | 1,366 |
| | 1:5:5 | 45 | 0,258 | -0,059 | 8,835 |
| | | 60 | 0,284 | -0,105 | 7,034 |
| | | 90 | 0,415 | -0,058 | 5,070 |
| | 1:5:0 | 45 | 0,153 | -0,149 | 0,964 |
| | | 60 | 0,156 | -0,217 | 0,182 |
| | | 90 | 0,192 | -0,260 | -0,504 |
| 3,0 | 1:1:1 | 45 | 0,187 | -0,097 | 23,267 |
| | | 60 | 0,206 | -0,148 | 21,973 |
| | | 90 | 0,469 | -0,092 | 21,265 |
| | 1:1:0 | 45 | 0,151 | -0,138 | 10,426 |
| | | 60 | 0,163 | -0,197 | 9,575 |
| | | 90 | 0,095 | -0,303 | 8,432 |
| | 1:5:5 | 45 | 0,265 | -0,054 | 117,442 |
| | | 60 | 0,296 | -0,095 | 111,052 |
| | | 90 | 0,932 | +0,079 | 109,323 |
| | 1:5:0 | 45 | 0,199 | -0,122 | 52,132 |
| | | 60 | 0,219 | -0,183 | 47,564 |
| | | 90 | 0,062 | -0,320 | 41,850 |

Eforturile pe întreaga secțiune vor fi de forma :

$$\frac{M}{q_p r^2} = F_M(\varphi; u; v)$$

$$\frac{N}{q_p r} = F_N(\varphi; u; v)$$

$$\frac{T}{q_p r} = F_T(\varphi; u; v) \quad (5.6-10)$$

Valorile funcțiilor eforturilor sînt calculate în tabla 5.6-2 după relațiile (5.1-

15) U (5.1-16) U (5.1-17), în care s-au introdus eforturile de pe schema de bază din relațiile (5.6-3, 4, 6).

Diagramele eforturilor sînt reprezentate în fig.5.6-2 a, fig.5.6-3 a, b ; fig.5.6-4 a, b

Deplasările adimensionale se pot calcula din :

$$\delta_H^0 = J_q + x_1^0 \Delta_{1P} + x_2^0 \Delta_{2P} \quad (5.6-11)$$

$$\text{unde : } J_q = -(i_y I_{2y} + i_x I_{2x}) = (0,073 u_0^2 + 0,162 u_0^3 + 0,098 u_0^4) i_y + (0,074 u_0 + 0,486 u_0^2 + 0,344 u_0^3) i_x \quad (5.6-12)$$

$\Delta_{1P}^0, \Delta_{2P}^0$ se calculează din 5.1-28. Valorile δ_H^0 sînt calculate în tabelul 5.6-3.

2.- Încărcarea provenită din aderența betonului cu roca

În acest caz se consideră o încărcare tangentă la contur

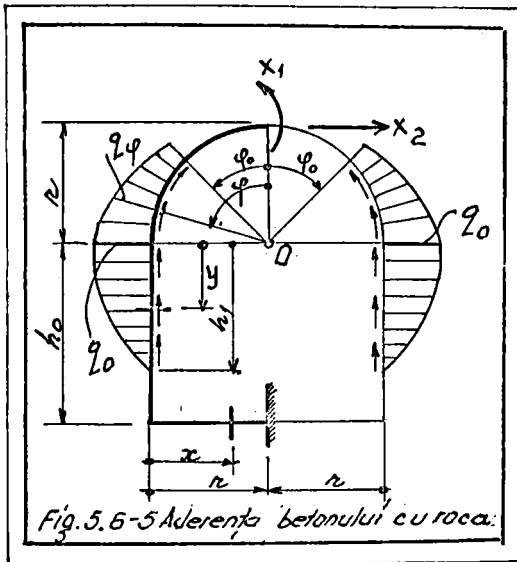


fig.5.6-5 . Unghiul ψ se ia în calcule 45° .

Distribuția încărcării este dată de expresiile:

- pentru $\psi \in (\psi_0; \frac{\pi}{2})$

$$q_\psi = q_0 \sin \psi \quad (5.6-13)$$

- pentru $y \in (0, h_1)$

$$q_y = q_0 \left(1 - \frac{y^2}{h_1^2}\right) \quad (5.6-14)$$

Eforturile pe schema static determinată se pot obține prin integrarea efectului încărcării cu ajutorul unei variabile intermediare. Se obține :

- pentru $\psi \in (0; \psi_0)$

$$M_\psi^\circ = 0; \quad M_\psi^\circ = 0; \quad T_\psi^\circ = 0 \quad (5.6-15)$$

- pentru $\psi \in (\psi_0; \frac{\pi}{2})$

$$\frac{M_\psi^\circ}{q_0 r^2} = -\frac{1}{2} [2(\cos \psi_0 - \cos \psi) - (\psi - \psi_0) \sin \psi - \sin \psi_0 \sin(\psi - \psi_0)]$$

$$\frac{N_\psi^\circ}{q_0 r} = \frac{1}{2} [(\psi - \psi_0) \sin \psi + \sin \psi_0 \sin(\psi - \psi_0)] \quad (5.6-16)$$

$$\frac{T_\psi^\circ}{q_0 r} = -\frac{1}{2} [(\psi - \psi_0) \cos \psi - \sin(\psi - \psi_0) \cos \psi_0]$$

Punând în relațiile (5.6-16) $\varphi = \frac{\pi}{2}$; $\varphi_0 = \frac{\pi}{4}$ se obține :

$$\frac{M_{II}^{\circ}}{q_0 r^2} = -0,065 ; \quad \frac{N_{II}^{\circ}}{q_0 r} = 0,642 ; \quad \frac{T_{II}^{\circ}}{q_0 r} = 0,25$$

În funcție de aceste valori se scriu eforturile în coloanalele domeniului, după cum urmează :

- pentru $y \in (0; h_1) \Rightarrow u \in (0; 0,70)$

$$\begin{aligned} \frac{M_y^{\circ}}{q_0 r^2} &= -[0,065 + 0,25 u u_0] ; \quad \frac{N_y^{\circ}}{q_0 r} = 0,642 + [1 - \frac{1}{3}(\frac{u}{u_1})^2] u u_0 \\ \frac{T_y^{\circ}}{q_0 r} &= 0,25 \end{aligned} \quad (5.6-17)$$

- pentru $y \in (h_1; h_0) \Rightarrow u \in (0,7; 1)$

$$\begin{aligned} \frac{M_y^{\circ}}{q_0 r^2} &= -[0,065 + 0,175 u_0 + 0,25(u - 0,7)u_0] \\ \frac{N_y^{\circ}}{q_0 r} &= 0,642 + 0,466 u_0 ; \quad \frac{T_y^{\circ}}{q_0 r} = 0,25 \end{aligned} \quad (5.6-18)$$

- pentru $x \in (0; r) \Rightarrow v \in (0; 1)$

$$\begin{aligned} \frac{M_x^{\circ}}{q_0 r^2} &= -[0,065 + 0,25 u_0 + (0,642 + 0,466 u_0) v] \\ \frac{N_x^{\circ}}{q_0 r} &= -0,25 ; \quad \frac{T_x^{\circ}}{q_0 r} = 0,642 + 0,466 u_0 \end{aligned} \quad (5.6-19)$$

Deplasările pe direcțiile necunoscute se calculează

în funcție de următoarele integrale :

$$I_1 \varphi = \int_{\varphi_0}^{\frac{\pi}{2}} \left(\frac{M_{II}^{\circ}}{q_0 r^2} \right) d\varphi = - \left[\left(\frac{\pi}{2} - \varphi_0 \right) \cos \varphi_0 - \frac{3}{2} + \sin \varphi_0 + \frac{1}{2} \sin^2 \varphi_0 \right]$$

$$I_2 \varphi = \int_{\varphi_0}^{\frac{\pi}{2}} \left(\frac{M_{II}^{\circ}}{q_0 r^2} \right) \cos \varphi d\varphi = - \left[\cos \varphi_0 - \frac{5}{8} \sin \varphi_0 \cos \varphi_0 + \frac{1}{4} \left(\frac{\pi}{2} - \varphi_0 \right) \sin^2 \varphi_0 - \frac{5}{8} \left(\frac{\pi}{2} - \varphi_0 \right) \right] \quad (5.6-20)$$

- pentru $\varphi_0 = \frac{\pi}{4}$ rezultă :

$$I_1 \varphi = -0,012 ; \quad I_2 \varphi = -0,002$$

$$I_{1y} = u_0 \int_0^1 \frac{M_y^0}{\rho_0 r^2} du = -[0,065u_0 + 0,115u_0^2]$$

$$I_{2y} = u_0 \int_0^1 \frac{M_y^0}{\rho_0 r^2} u du = -[0,028u_0^2 + 0,075u_0^3]$$

(5.6-21)

$$I_{1x} = \int_0^1 \frac{M_x^0}{\rho_0 r^2} dr = -[0,386 + 0,483u_0]$$

$$I_{2x} = u_0 I_{1x}$$

Introducînd relațiile (5.6-20) ; (5.6-21) în relațiile 5.1-13 se obține :

$$\Delta^{\circ} 1y = -[0,012 iy + (0,065u_0 + 0,115u_0^2) iy + (0,386 + 0,483u_0) ix]$$

(5.6-22)

$$\Delta^{\circ} 2y = 0,01 iy + (0,065u_0 + 0,143u_0^2 + 0,075u_0^3) iy + (1+u_0)(0,386 + 0,483u_0) ix$$

Valorile x_1° ; x_2° δ_H° Tabel 5.6-4

| u_0 | $iy iy ix$ | $\Delta i y$ | $\Delta i x$ | x_1° | x_2° | δ_H° |
|-------|------------|--------------|--------------|---------------|---------------|--------------------|
| 15 | 1:1:1 | -1,478 | +3,459 | -0,190 | -0,390 | 0,659 |
| | 1:1:0 | -0,368 | +0,682 | -0,043 | -0,157 | 0,578 |
| | 1:5:5 | -7,342 | +17,255 | -0,389 | -0,504 | 2,461 |
| | 1:5:0 | -1,792 | +3,370 | -0,051 | -0,164 | 2,057 |
| 30 | 1:1:1 | -3,077 | +10,857 | -0,255 | -0,372 | 0,209 |
| | 1:1:0 | -1,242 | +3,517 | -0,052 | -0,100 | +0,127 |
| | 1:5:5 | -15,337 | +54,245 | -0,505 | -0,418 | 5,553 |
| | 1:5:0 | -6,162 | +17,545 | -0,058 | -0,193 | 11,407 |

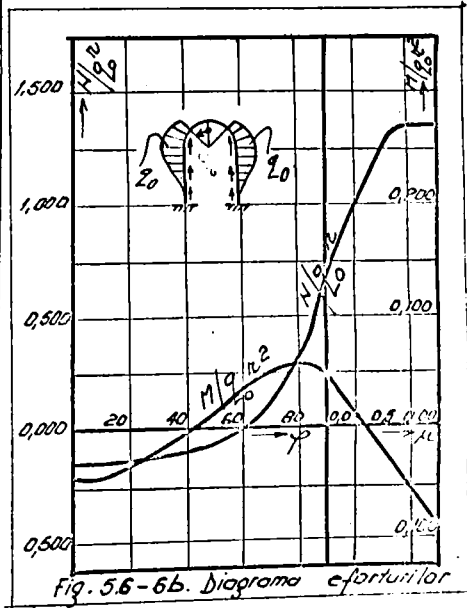
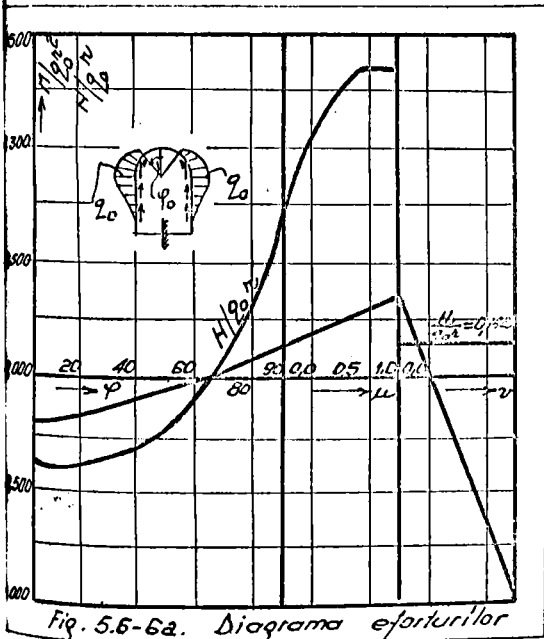
Necunoscutele a-dimensionale se obțin din relațiile (5.1-14). Valorile lor sînt calculate în tabelul 5.6-4.

Eforturile totale se obțin prin însumarea efortelor necunoscutelor x_1° , x_2° cu cele scrise din efortul încercării pe schema de bază conform relațiilor (5.6-15, 16, 17, 18, 19). Valorile numerice ale eforturilor sînt calculate în tabelul (5.6-5) și reprezentate grafic în fig. 5.6-6 a, b.

Valorile eforturilor

Tabel 5.6-5

| Tip | 0,15 | | | 0,25 | | | 0,7 | | | 1,0 | | |
|---------------------------------|--------|--------|--------|--------|--------|--------|--------|-------|--------|--------|-----|--|
| | 0 | 0,15 | 0,50 | 0 | 0,15 | 0,7 | 1,0 | 0 | 0,15 | 0,50 | 1,0 | |
| M/q ₀ z ₂ | -0,190 | -0,073 | 0,143 | 0,143 | 0,254 | 0,298 | 0,365 | 0,365 | -0,305 | -0,376 | | |
| N/q ₀ z | -0,398 | -0,281 | 0,642 | 0,642 | 1,265 | 1,341 | 1,341 | 0,148 | 0,148 | 0,148 | | |
| T/q ₀ z | 0,000 | -0,281 | -0,148 | -0,148 | -0,148 | -0,148 | -0,148 | 1,341 | 1,341 | 1,341 | | |
| M/q ₀ z ₂ | -0,043 | +0,003 | 0,049 | 0,049 | -0,021 | -0,049 | -0,092 | - | - | - | | |
| N/q ₀ z | -0,157 | -0,111 | 0,642 | 0,642 | 1,265 | 1,341 | 1,341 | - | - | - | | |
| T/q ₀ z | 0,000 | -0,111 | 0,093 | 0,093 | 0,093 | 0,093 | 0,093 | - | - | - | | |



Deplasarea adimensională are expresia :

$$\delta_H^0 = J_q + x_1^0 \Delta_1^0 P + x_2^0 \Delta_2^0 P \quad (5.6-23)$$

unde :

$$J_q = -[i_y I_{2y} + i_x I_{2x}] \quad (5.6-24)$$

exploitind J_q se obține :

$$J_q = (0,028 u_0^2 + 0,075 u_0^3) i_y + (0,386 u_0 + 0,483 u_0^2) i_x \quad (5.6-25)$$

Valorile numerice ale deplasării sînt calculate în
tabelul 5.6-4.

Capitolul 6 - CAPTUSELI DE FORMA CIRCULARA

6.1.- Determinarea eforturilor și deformațiilor pentru o încărcare parabolică

1.- Determinarea eforturilor

Secțiunea de formă circulară se folosește la galeriile sub presiune, galerii verticale și în general în lucrările executate cu un grad ^{mare} de mecanizare.

Simetria secțiunii și uncări a încărcării preponderante (presiunea uniformă a apăi ^{fac să} se preconizeze secțiuni cu moment de inerție constant.

Se consideră drept structură static determinată a secțiunii circulare (Fig.6.1-1), o consolă curbă, încastrată la partea inferioară și liberă la partea superioară a intersecției conturului circular cu planul vertical ce trece prin centrul galeriei.

Adoptînd convenția de seane anterioară, se poate scrie :

$$\frac{M_{\varphi}}{q_0 \cdot r^2} = \frac{M_{\varphi}^0}{q_0 \cdot r^2} + X_1^0 - X_2^0 (1 - \cos \varphi) \quad (6.1-1)$$

$$\frac{N_{\varphi}}{q_0 \cdot r} = \frac{N_{\varphi}^0}{q_0 \cdot r} + X_2^0 \cos \varphi$$

$$\frac{T_{\varphi}}{q_0 \cdot r} = \frac{T_{\varphi}^0}{q_0 \cdot r} + X_2^0 \sin \varphi$$

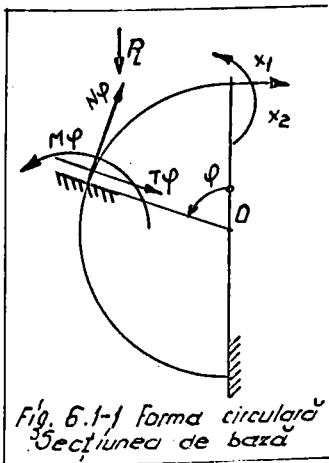


Fig. 6.1-1 Forma circulară
Secțiunea de bază

Eforturile din încărcările necunoscutele unitare se obțin imediat de pe figură :

$$\begin{aligned} m_1 &= 1 \\ m_2 &= -r(1 - \cos\varphi) \end{aligned} \quad (5.1-2)$$

Se calculează succesiv :

$$\begin{aligned} \delta_{11}^{\circ} &= \int_0^{\pi} m_1^2 d\varphi = \pi \\ \delta_{12}^{\circ} &= \int_0^{\pi} m_1 \left(\frac{m_2}{r} \right) d\varphi = \int_0^{\pi} -(1 - \cos\varphi) d\varphi = -\pi \\ \delta_{22}^{\circ} &= \int_0^{\pi} \left(\frac{m_2}{r} \right)^2 d\varphi = \int_0^{\pi} (1 - \cos\varphi)^2 d\varphi = 1,5\pi \end{aligned} \quad (5.1-3)$$

Termenii care depind de încărcare vor fi de forma :

$$\begin{aligned} \Delta_{1Q}^{\circ} &= \int_{\varphi} \left(\frac{M_p^{\circ}}{q_0 \cdot r^2} \right) d\varphi = I_1 \varphi \\ \Delta_{2Q}^{\circ} &= \int_{\varphi} \frac{M_p^{\circ}}{q_0 \cdot r^2} (1 - \cos\varphi) d\varphi = -I_1 \varphi + I_2 \varphi \end{aligned} \quad (5.1-4)$$

În relațiile de mai sus s-au folosit notațiile :

$$I_1 \varphi = \int_{\varphi} \frac{M_p^{\circ}}{q_0 \cdot r^2} d\varphi \quad I_2 \varphi = \int_{\varphi} \frac{M_p^{\circ}}{q_0 \cdot r^2} \cos\varphi d\varphi \quad (5.1-5)$$

M_p° , N_p° , T_p° sînt eforturile din încărcarea exterioară pe arcul de beză și se pot calcula integrînd efectul încărcării .
Notațiile de mai sus permit determinarea necunoscutele adiționale din sistemul (3.1-9).

$$\begin{aligned} X_1^{\circ} &= -\frac{1}{\pi} (I_1 + 2I_2) \\ X_2^{\circ} &= -\frac{1}{\pi} (2I_2) \end{aligned} \quad (5.1-5)$$

În acest fel expresiile generale ale eforturilor se pot

pune sub forma generală :

$$\frac{M_p}{q_0 \cdot r^2} = \frac{M_p^0}{q_0 \cdot r^2} + X_1^0 + A X_2^0$$

$$\frac{N_p}{q_0 \cdot r} = \frac{N_p^0}{q_0 \cdot r} + B \cdot X_2^0 \quad (6.1-7)$$

$$\frac{T_p}{q_0 \cdot r} = \frac{T_p^0}{q_0 \cdot r} + C \cdot X_2^0$$

Coefficienții A, B și C sînt intabulați și pot fi luați din diagrama (fig.4.1-13). Relațiile 6.1-7 sînt foarte generale și pot fi intabulate pentru diferite tipuri de încărcări.

Ordinea de execuție a calculului :

- Se calculează, prin integrarea încărcării :

$$M_p^0 ; N_p^0 ; T_p^0$$

- Se calculează valorile :

$$I_{1p} = \int_{\varphi} \frac{M_p^0}{q_0 \cdot r^2} d\varphi$$

$$I_{2p} = \int_{\varphi} \frac{M_p^0}{q_0 \cdot r^2} \cos \varphi d\varphi$$

- Se calculează $X_1^0 ; X_2^0$
- Se intabulează expresiile (6.1-7) pentru diferite valori φ sau se trasează variația eforturilor adimensionale în raport cu variabila.

2.- Determinarea deformațiilor

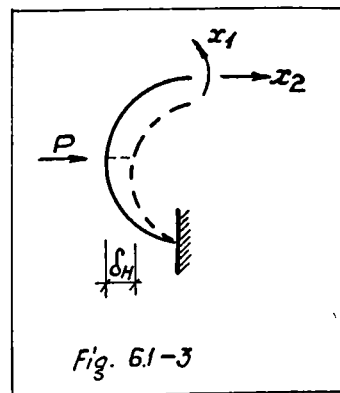
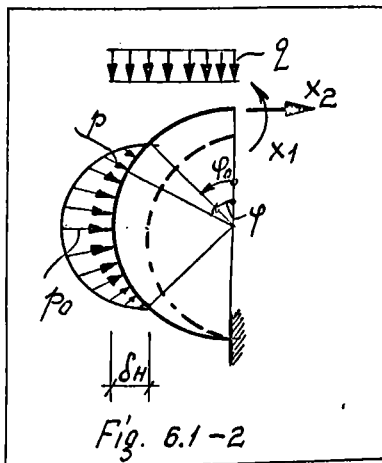
Calculul deformațiilor secțiunilor galeriilor hidrotehnice are un scop în sine și reprezintă, în același timp, o fază intermediară pentru determinarea încărcării din presiunea pe-

sivă a reții /77/. Pentru secțiunea de formă circulară, calculul presiunii pasive se face pornind de la deformația pe direcția diametrului orizontal δ_H^2 (fig.6.1-2) dintr-o încărcare q . Mărimea presiunii pasive în acest punct se obține dintr-o ecuație de deformații, de forma :

$$\delta_H^2(q) + \delta_H^p(p) = \frac{2l_0}{k} \quad (6.1-8)$$

unde :

- δ_H^2 , deformația orizontală cauzată de încărcarea q (cunoscută).
- $\delta_H^p(p)$ - deformația orizontală produsă de încărcarea pasivă (cunoscută numai ca formă de distribuție, mărimea p_0 este necunoscută)
- p mărimea presiunii pasive în punctul $\varphi = 90^\circ$. (urmează a fi determinată din relația (6.1-8))



Determinarea deformației δ_H^p se face prin metoda Mohr 170/ (fig.6.1-3). Momentul corespunzător unei încărcări orizontale este :

$$M_\varphi = M_\varphi^0 + X_1 - X_2 (r \sin \varphi) \quad (6.1-9)$$

În mod asemănător se calculează momentul datorat unei forțe unitare pe direcția δ_H :

$$M = m_p^\circ + x_1 - x_2 (1 - \cos \varphi) \quad (6.1-10)$$

Efectuînd calculele pentru ridicarea nedeterminării din încălcarea $P = 1$ se obține :

$$\begin{aligned} \text{Pentru : } \varphi \in (0, \frac{\pi}{2}) & \quad m_p^\circ = 0 \\ \varphi \in (\frac{\pi}{2}, \pi) & \quad m_p^\circ = \cos \varphi \\ x_1 = \frac{1}{\pi} - \frac{1}{2} & \quad x_2 = -\frac{1}{2} \end{aligned}$$

Valoarea deformației se poate calcula cu ajutorul expresiei :

$$\delta_H = \int_s \frac{1}{EI} \frac{M}{q_0 \cdot r^2} \varphi \frac{m_p}{\delta} \frac{ds}{r} \quad (6.1-11)$$

$$\delta_H = \delta_H^\circ \frac{q_0 \cdot r^4}{EI}$$

Relația 6.1-11 se explicitizează cu ajutorul relațiilor (6.1-9) ; (6.1-10) . După efectuarea calculilor deformația adimensională se poate pune sub una din formule :

$$\delta_H^\circ = 0,215 X_2^\circ - X_1^\circ - J_1 \quad (6.1-12)$$

$$\delta_H^\circ = 1,785 X_2^\circ - X_1^\circ + J_2$$

unde s-a făcut notația :

$$J_1 = \int_0^{\frac{\pi}{2}} \frac{M_p^\circ}{q_0 \cdot r^2} \cos \varphi \cdot d\varphi \quad (6.1-13)$$

$$J_2 = \int_{\frac{\pi}{2}}^{\pi} \frac{M_p^\circ}{q_0 \cdot r^2} \cos \varphi \cdot d\varphi$$

Expresiile din 6.1-13 satisfac relația 6.1-14 :

$$J_1 + J_2 = I_2$$

§ 6.2.- Încărcări din reacțiunea terenului

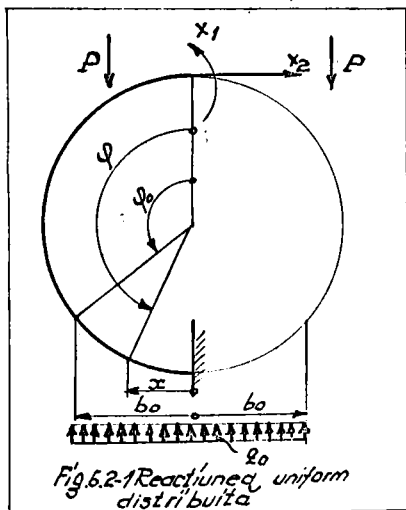
1.- Reacțiunea terenului, uniform distribuită

fie o secțiune circulară (fig.6.2-1) de lungime unitară a cărei încărcare $2P$, simetrică față de axa verticală, deter-

mină o reacțiune uniform distribuită a terenului de fundație a cărei intensitate este :

$$q_0 = \frac{2P}{2r \sin \varphi_0}$$

Expresiile solicitărilor pe structura static determinată au valorile : $\varphi \in (\varphi_0, \pi)$



$$\begin{aligned} M_\varphi^0 &= -\frac{q_0}{2}(b-x)^2 = -\frac{1}{2} q_0 \cdot r^2 (\sin \varphi_0 - \sin \varphi)^2 \\ N_\varphi^0 &= q_0 (b-x) \sin \varphi = q_0 \cdot r (\sin \varphi_0 - \sin \varphi) \sin \varphi \\ T_\varphi^0 &= -q_0 (b-x) \cos \varphi = -q_0 \cdot r (\sin \varphi_0 - \sin \varphi) \cos \varphi \end{aligned} \quad (6.2-1)$$

Pentru ridicarea nedeterminării se calculează :

$$I_1 = \int_{\varphi} \left(\frac{M_\varphi^0}{q_0 \cdot r^2} \right) d\varphi = \int_{\varphi_0}^{\pi} -\frac{1}{2} (\sin \varphi_0 - \sin \varphi)^2 d\varphi \quad (6.2-2)$$

$$I_2 = \int_{\varphi} \left(\frac{M_\varphi^0}{q_0 \cdot r^2} \right) \cos \varphi d\varphi = \int_{\varphi_0}^{\pi} -\frac{1}{2} (\sin \varphi_0 - \sin \varphi)^2 \cos \varphi d\varphi$$

Efectuând ca de obicei :

$$I_1 = -\frac{1}{2} \left[\frac{1}{2} (\pi - \varphi) + (\pi - \varphi) \sin^2 \varphi_0 - 2 \sin \varphi_0 - \frac{3}{4} \sin 2\varphi_0 \right]$$

$$I_2 = \frac{1}{6} \sin^3 \varphi_0$$

(6.2.3)

Substituind relațiile de mai sus în (6.1-6) rezultă necunoscutele adimensionale :

$$X_1^0 = \frac{1}{2\pi} \left[(\pi - \varphi_0) (\sin^2 \varphi_0 + \frac{1}{2}) - 2 \sin \varphi_0 - \frac{3}{4} \sin 2\varphi_0 - \frac{2}{3} \sin^3 \varphi_0 \right]$$

$$X_2^0 = -\frac{1}{2\pi} \frac{2}{3} \sin^3 \varphi_0$$

(6.2-4)

Valorile necunoscutele au fost calculate în tabelul 6.2-1 și reprezentate în diagrama de variație din fig.6.2-2

Valorile necunoscutele Tabel 6.2-1

| | φ_0 în grade sexzecimale | | | | |
|--------------|----------------------------------|--------|--------|--------|-------|
| | 90° | 120° | 135° | 150° | 180° |
| X_1^0 | -0,049 | -0,032 | -0,010 | -0,006 | 0,000 |
| X_2^0 | -0,106 | -0,069 | -0,038 | -0,013 | 0,000 |
| δ_H^0 | 0,026 | 0,017 | 0,010 | 0,003 | 0,000 |

Expresiile eforturilor, provenite din această încărcare se pot scrie ținând cont de relațiile : (6.2-4) U (6.2-1) U (6.1-7) - pentru :

$$\varphi \in (0, \varphi_0)$$

(6.2-5)

$$\left(\frac{M_x}{q \cdot r} \right) = X_1^0 - X_2^0 (1 - \cos \varphi)$$

$$\left(\frac{M_y}{q \cdot r} \right) = X_2^0 \cos \varphi$$

$$\left(\frac{T_z}{q \cdot r} \right) = X_2^0 \sin \varphi$$

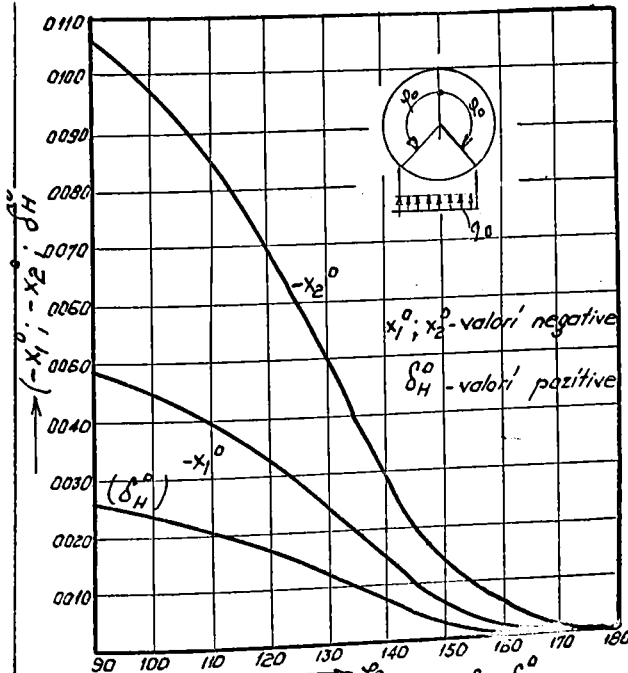


Fig. 6.2-2 Valorile X_1^0 ; X_2^0 ; δ_H^0

- pentru $\varphi \in (\varphi_0; \pi)$

$$\frac{M_\varphi}{q_0 \cdot r^2} = -\frac{1}{2} (\sin \varphi_0 - \sin \varphi)^2 + X_1^0 - X_2^0 (1 - \cos \varphi)$$

$$\frac{N_\varphi}{q_0 \cdot r^2} = (\sin \varphi_0 - \sin \varphi) \sin \varphi + X_2^0 \cos \varphi$$

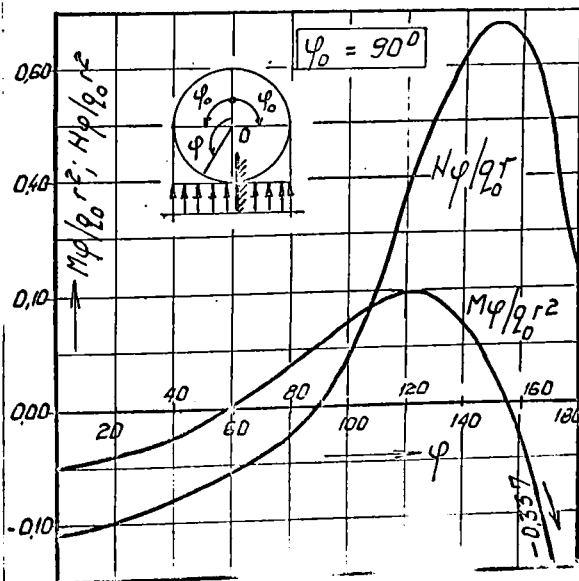
$$\frac{T_\varphi}{q_0 \cdot r} = -(\sin \varphi_0 - \sin \varphi) \cos \varphi + X_2^0 \sin \varphi$$

(6.2-5)

Variația acestor eforturi în raport cu variabila φ pentru o secțiune cu moment de inerție constant este calculată în tabela 6.2-2 și reprezentată în fig. (6.2-3,4,5).

Valorile solicitărilor M, N, T Tabel 6.2-2

| φ_0 | φ | 0° | 30° | 45° | 60° | 90° | 120° | 135° | 150° | 180° |
|-------------|---------------------|-----------|------------|------------|------------|------------|-------------|-------------|-------------|-------------|
| 90° | $M_\varphi/q_0 r^2$ | -0,049 | -0,035 | -0,018 | 0,004 | 0,057 | 0,101 | 0,09 | 0,024 | -0,337 |
| | $N_\varphi/q_0 r$ | -0,106 | -0,092 | -0,075 | -0,053 | 0,000 | 0,169 | 4,282 | 0,342 | 0,105 |
| | $T_\varphi/q_0 r$ | 0,000 | -0,053 | -0,075 | -0,092 | -0,106 | -0,025 | 0,132 | 0,38 | 1,000 |
| 120° | $M_\varphi/q_0 r^2$ | -0,033 | -0,023 | -0,012 | 0,002 | 0,036 | 0,0615 | 0,079 | 0,03 | -0,269 |
| | $N_\varphi/q_0 r$ | -0,069 | -0,06 | -0,049 | -0,035 | 0,000 | 0,016 | 0,161 | 0,243 | 0,069 |
| | $T_\varphi/q_0 r$ | 0,000 | -0,033 | -0,049 | -0,06 | -0,069 | -0,06 | -0,049 | 0,282 | 0,865 |
| 135° | $M_\varphi/q_0 r^2$ | -0,018 | -0,013 | -0,007 | 0,0007 | 0,0185 | 0,039 | 0,046 | 0,031 | -0,193 |
| | $N_\varphi/q_0 r$ | -0,0375 | -0,033 | -0,027 | -0,019 | 0,000 | 0,019 | 0,027 | 0,167 | 0,0375 |
| | $T_\varphi/q_0 r$ | 0,000 | -0,018 | -0,027 | -0,033 | -0,375 | -0,033 | -0,027 | 0,16 | 0,707 |



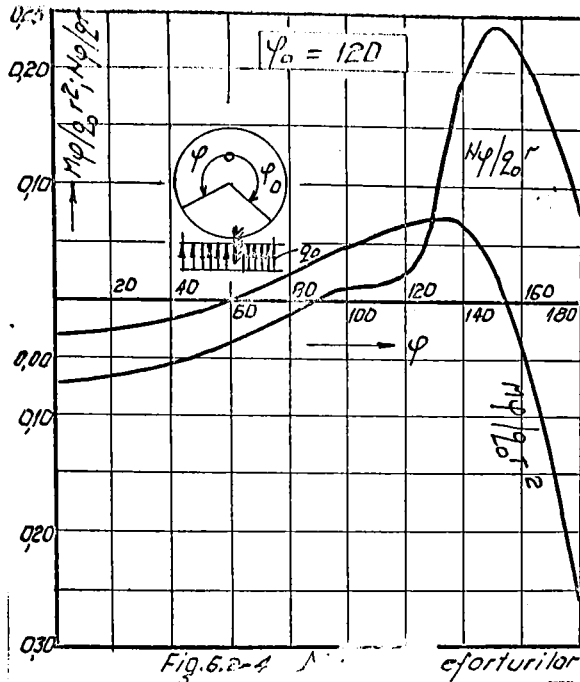


Fig. 6.2-4 eforturilor

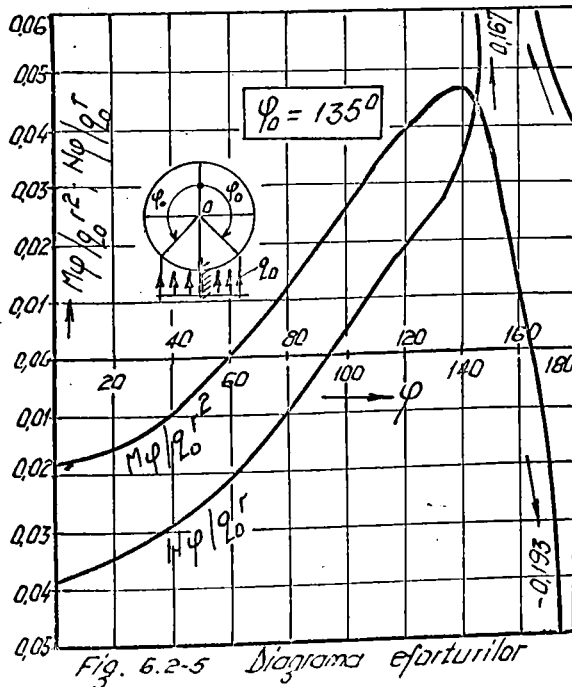


Fig. 6.2-5 Diagrama eforturilor

valorile edimensionale δ_H^* din aceeași încărcare se calculează cu una din relațiile (6.1-12). În cazul de față este avantajoasă folosirea relației :

$$\delta_H^* = 0.216 X_2^* - X_1^* - J_1$$

unde :

$$J_1 = \int_0^{\frac{\pi}{2}} \frac{M_\varphi}{\rho L_0} d\varphi$$

deoarece în porțiunea $\varphi \in (0, \frac{\pi}{2})$

valoarea $\frac{M_\varphi}{\rho L_0} = 0$

rezultă :

$$J_1 = 0$$

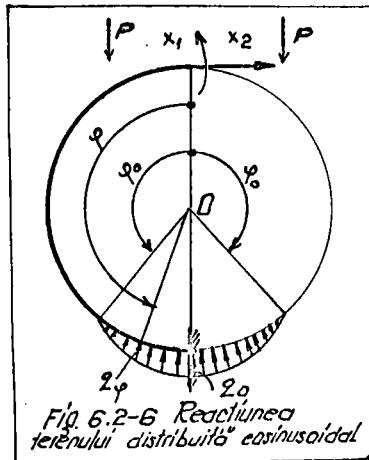
și deci :

$$\delta_H^* = 0.216 X_2^* - X_1^*$$

Valorile δ_H^* și variația acestui parametru sînt calculate în tabela 6.2-1 și arătarea 6.2.2.

2.- Reacțiunea terenului, distribuită cosinusoidal

Se admite o încărcare totală $2P$ distribuită după legea din fig. 6.2-6.



$$q_{\varphi} = q_0 \frac{\cos \varphi_0 - \cos \varphi}{1 + \cos \varphi_0} \quad (6.2-7)$$

Valoarea q_0 poate fi calculată conform relației (2.3-31) :

$$q_0 = \frac{P}{r} \frac{1 + \cos \varphi_0}{(\pi - \varphi_0) \cos \varphi_0 + \sin \varphi_0}$$

Admițând o secțiune $\theta \in (\varphi_0, \varphi)$ se scriu expresiile eforturilor pe schema de bază sub forma :

- pentru $\varphi \in (\varphi_0, \pi)$

$$M_{\varphi}^0 = - \int_{\varphi_0}^{\varphi} q_{\theta} \cdot r \cdot \sin(\varphi - \theta) \cdot r \cdot d\theta = - \int_{\varphi_0}^{\varphi} q_0 \cdot r \cdot m (\cos \varphi_0 - \cos \theta) \sin(\varphi - \theta) \cdot r \cdot d\theta$$

$$N_{\varphi}^0 = \frac{1}{r} M_{\varphi}^0 \quad (6.2-8)$$

$$T_{\varphi}^0 = \int_{\varphi_0}^{\varphi} q_0 \cdot m (\cos \varphi_0 - \cos \theta) \cos(\varphi - \theta) \cdot r \cdot d\theta$$

Efectuând calculele impuse de relațiile (6.2-8) se obțin eforturile pe structura de bază :

$$\frac{M_{\varphi}^0}{q_0 \cdot r^2} = -m \left[\cos \varphi_0 (1 - \cos(\varphi - \varphi_0)) - \frac{1}{2} (\varphi - \varphi_0) \sin \varphi + \frac{1}{2} \sin \varphi_0 \sin(\varphi - \varphi_0) \right]$$

$$\frac{N_{\varphi}^0}{q_0 \cdot r} = \frac{1}{r} \left(\frac{M_{\varphi}^0}{q_0 \cdot r^2} \right) \quad (6.2-9)$$

$$T_{\varphi}^0 = q_0 \cdot r \cdot m \left[\frac{1}{2} \cos \varphi_0 \sin(\varphi - \varphi_0) - \frac{1}{2} (\varphi - \varphi_0) \cos \varphi \right]$$

În relațiile de mai sus s-a făcut notația :

$$m = \frac{1}{1 + \cos \varphi_0} \quad (6.2-10)$$

Pentru ridicarea nedeterminării se calculează :

$$I_1 = \int_{\varphi_0}^{\pi} \frac{M \varphi^2}{g_0 \cdot r^2} d\varphi$$

$$I_2 = \int_{\varphi_0}^{\pi} \frac{M \varphi^2}{g_0 \cdot r^2} \cos \varphi \cdot d\varphi \quad (6.2-11)$$

Integraloile definite de relațiile 6.2-11 se efectuează în raport cu (6.2-9). Se obține, după efectuarea calculoilor :

$$I_1 = -m \left[(\pi - \varphi_0) \left(\cos \varphi_0 - \frac{1}{2} \right) + \sin \varphi_0 \left(1 - \frac{1}{2} \cos \varphi_0 \right) \right]$$

$$I_2 = m \left[(\pi - \varphi_0) \left(\frac{1}{8} + \frac{1}{4} \cos^2 \varphi_0 \right) + \frac{3}{8} \sin \varphi_0 \cdot \cos \varphi_0 \right] \quad (6.2-12)$$

Expresioile necunoscutoilor adimensionale se calculează după relațiile 6.1-6 . Se obține în acest mod :

$$X_1^0 = -\frac{m}{\pi} \left[(\pi - \varphi_0) \left(\frac{3}{4} - \cos \varphi_0 + \frac{1}{2} \cos^2 \varphi_0 \right) + \frac{5}{4} \sin \varphi_0 \cos \varphi_0 - \sin \varphi_0 \right]$$

$$X_2^0 = -\frac{m}{\pi} \left[(\pi - \varphi_0) \left(\frac{1}{4} + \frac{1}{2} \cos^2 \varphi_0 \right) + \frac{3}{4} \sin \varphi_0 \cos \varphi_0 \right] \quad (6.2-13)$$

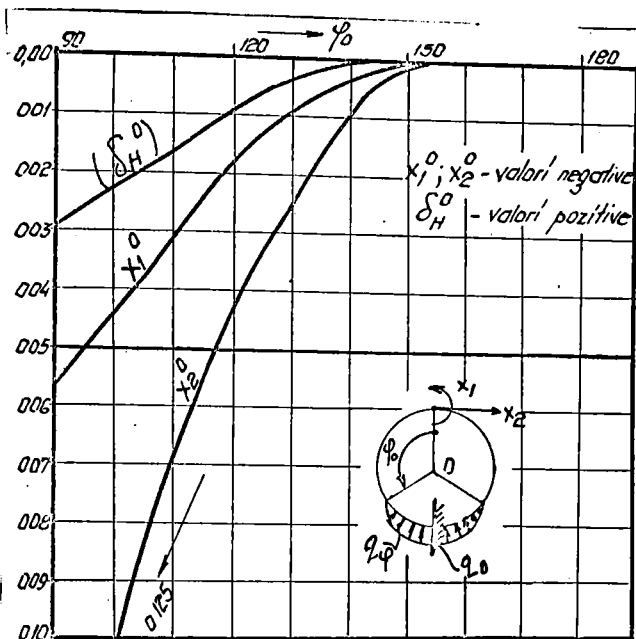
Valorile necunoscutoilor adimensionale calculate după

Valorile necunoscutoilor Tabel 6.2-3

| | φ_0 în grade | | | | |
|--------------|----------------------|---------|---------|----------|-------|
| | 90° | 120° | 135° | 150° | 180° |
| X_1^0 | -0,056 | -0,019 | -0,0054 | -0,00012 | 0,000 |
| X_2^0 | -0,125 | -0,0426 | -0,018 | -0,00039 | 0,000 |
| δ_H^0 | 0,029 | 0,0099 | 0,0016 | 0,00004 | 0,000 |

relațiile 6.2-13 sînt date în tabla 6.2-3 și sînt reprezentate în fig. 6.2-7. Expresioile cîntoitorilor după relațiile 6.1-7 sub forma

generală :

Fig. 6.2-7 Valorile $X_1^0; X_2^0; \delta_H^0$

$$\left(\frac{M_p}{q_0 \cdot r^2}\right) = \left(\frac{M_p^0}{q_0 \cdot r^2}\right) + X_1^0 - X_2^0 (1 - \cos \varphi)$$

$$\left(\frac{N_p}{q_0 \cdot r}\right) = \left(\frac{N_p^0}{q_0 \cdot r}\right) + X_2^0 \cos \varphi$$

$$\left(\frac{T_p}{q_0 \cdot r}\right) = \left(\frac{T_p^0}{q_0 \cdot r}\right) + X_2^0 \sin \varphi$$

(6.2-14)

Valorile $\frac{M_p^0}{q_0 \cdot r^2}$; $\frac{N_p^0}{q_0 \cdot r}$; $\frac{T_p^0}{q_0 \cdot r}$ sînt nule pentru $\varphi \in (0, \varphi_0)$ și au valorile dictate de (6.2-9) pentru $\varphi \in (\varphi_0, \pi)$. Expresiile lor sînt calculate în tabelul 6.2-4, și sînt reprezentate în diagramele din fig. 6.2 - 8, 9, 10.

Valorile eforturilor Tabel 6.2-4

| φ ₀ | | ψ in grade sexzecimale | | | | | | | | |
|----------------|----------------------------------|------------------------|---------|---------|---------|---------|---------|---------|--------|--------|
| | | 0° | 30° | 45° | 60° | 90° | 120° | 135° | 150° | 180° |
| 90° | Mφ/2 ₀ r ² | -0,056 | -0,0393 | -0,0194 | +0,0055 | 0,069 | +0,1075 | +0,081 | +0,004 | -0,306 |
| | Nφ/2 ₀ r | -0,125 | -0,108 | -0,089 | -0,0525 | 0,000 | +0,0386 | 0,0125 | -0,064 | -0,375 |
| | Tφ/2 ₀ r | 0,000 | -0,0625 | -0,083 | -0,103 | -0,125 | 0,022 | 0,183 | 0,39 | 0,785 |
| 120° | Mφ/2 ₀ r ² | -0,019 | -0,0123 | -0,0055 | +0,0033 | 0,0246 | 0,0459 | 0,0987 | 0,0215 | -0,183 |
| | Nφ/2 ₀ r | -0,0426 | -0,0369 | -0,0301 | -0,0213 | 0,000 | +0,0213 | +0,075 | -0,002 | -0,200 |
| | Tφ/2 ₀ r | 0,000 | -0,0213 | -0,0301 | -0,0369 | -0,0426 | -0,0369 | 0,051 | 0,18 | 0,624 |
| 135° | Mφ/2 ₀ r ² | -0,0054 | -0,003 | -0,0013 | +0,0036 | +0,0134 | 0,0216 | 0,0251 | 0,0556 | -0,082 |
| | Nφ/2 ₀ r | -0,018 | -0,0155 | -0,0127 | -0,009 | 0,000 | 0,009 | 0,0127 | 0,024 | -0,084 |
| | Tφ/2 ₀ r | 0,000 | -0,009 | -0,0127 | -0,0156 | -0,018 | -0,0156 | -0,0127 | +0,023 | 0,48 |

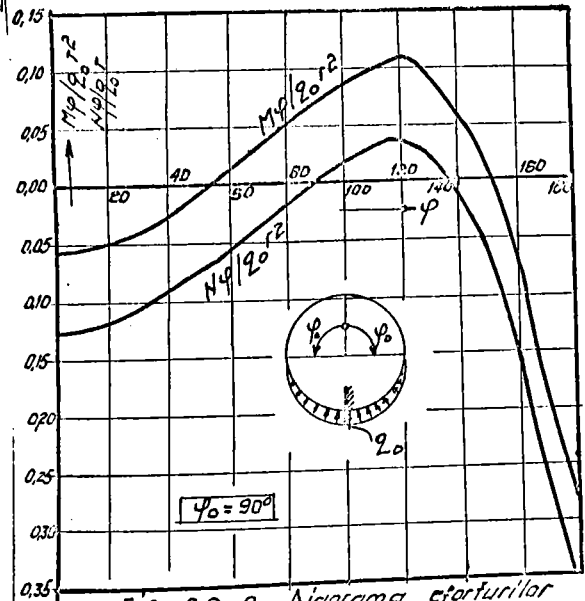
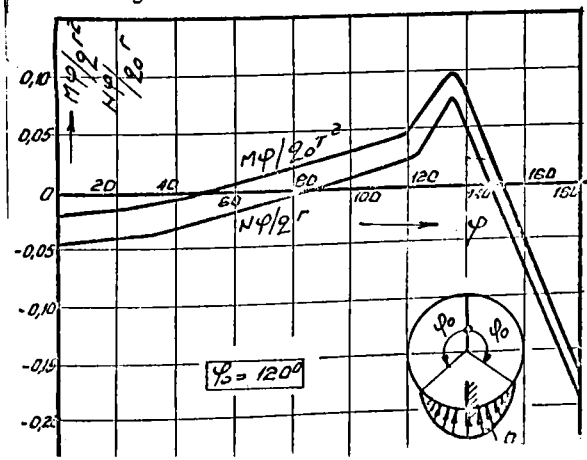


Fig. 6.2-8 Diagrama eforturilor



Deformația adimensională δ_H° poate fi calculată din relația :

$$\delta_H^\circ = 0.215 X_2^\circ - X_1^\circ - J_1$$

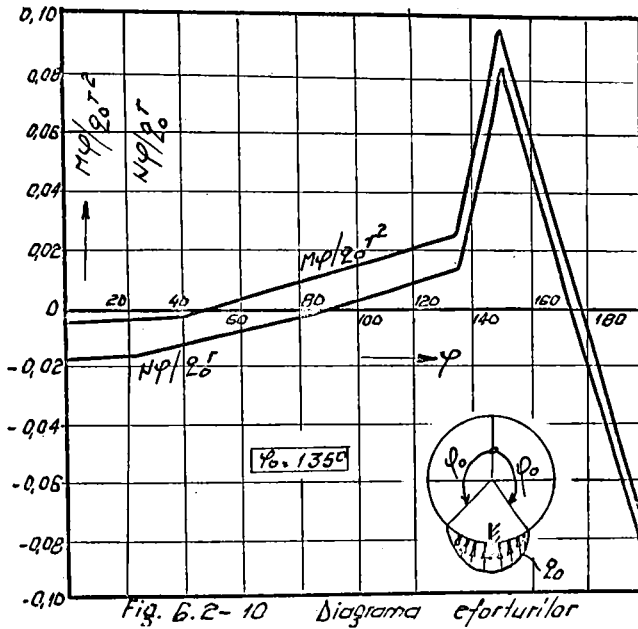
integrala :

$$J_1 = \int_0^{\pi/2} \frac{M_r}{q \cdot r^2} \cos \psi d\psi = 0$$

și deci :

$$\delta_H^\circ = 0.215 X_2^\circ - X_1^\circ$$

Valorile acestei mărimi sînt calcul to în tabelul 6.2-3 și diagrama 6.2.7.



5.- Reacțiunea terenului, distribuită după o lege hiperbolică

Pentru anumite categorii de terenuri /77/ se acceptă în calcule reacțiuni fig.6.2-11 distribuite după legea :

$$q_x = q_0 \frac{1}{\sqrt{1 - \left(\frac{x}{b_0}\right)^2}} \quad (6.2-15)$$

$$q_x = q_0 \frac{1}{\sqrt{1 - \left(\frac{\sin \varphi}{\sin \varphi_0}\right)^2}}$$

Valoarea q_0 se poartă din echivalența statică a încărcării și a reacțiunii :

$$q_0 = \frac{2}{\pi} \frac{P}{b_0} \quad (6.2-16)$$

Eforturile pe structura de bază se obțin din efectul încărcării pentru o secțiune curentă x . În acest scop se acceptă o variabilă de tranziție $u \in (b; x)$

$$\begin{aligned} M_{\varphi}^{\circ} &= - \int_x^b q_u (u-x) du \\ N_{\varphi}^{\circ} &= \left[\int_x^b q_u \cdot du \right] \sin \varphi \\ T_{\varphi}^{\circ} &= - \left[\int_x^b q_u \cdot du \right] \cos \varphi \end{aligned} \quad (6.2-17)$$

Efectuind integralele, se obțin eforturile pe structura de bază :

- pentru : $\varphi \in (\varphi_0; \pi)$

$$\frac{M_{\varphi}^{\circ}}{q_0 \cdot r^2} = \sin \varphi \left[\sqrt{\sin^2 \varphi_0 - \sin^2 \varphi} - \sin \varphi \left(\frac{\pi}{2} - \arcsin \frac{\sin \varphi}{\sin \varphi_0} \right) \right] \quad (6.2-18)$$

$$\frac{N_{\varphi}^{\circ}}{q_0 \cdot r} = \sin \varphi \left[\frac{\pi}{2} - \arcsin \frac{\sin \varphi}{\sin \varphi_0} \right] \sin \varphi$$

$$\frac{T_{\varphi}^{\circ}}{q_0 \cdot r} = - \sin \varphi \left[\frac{\pi}{2} - \arcsin \frac{\sin \varphi}{\sin \varphi_0} \right] \cos \varphi$$

Necunoscutele static nedeterminate pot fi obținute efectuând operațiile dictate de relațiile de mai jos :

$$\begin{aligned} X_1^{\circ} &= - \frac{1}{\pi} \left[\int_{\varphi_0}^{\pi} \left(\frac{M_{\varphi}^{\circ}}{q_0 \cdot r^2} \right) d\varphi + 2 \int_{\varphi_0}^{\pi} \left(\frac{T_{\varphi}^{\circ}}{q_0 \cdot r^2} \right) \cos \varphi \cdot d\varphi \right] \\ X_2^{\circ} &= - \frac{1}{\pi} 2 \int_{\varphi_0}^{\pi} \left(\frac{N_{\varphi}^{\circ}}{q_0 \cdot r^2} \right) \cos \varphi \cdot d\varphi \end{aligned} \quad (6.2-19)$$

O parte a integralelor de mai sus provin din integrale de tip Euler. Valorile lor se obțin din tabele. Valorile X_1°

și X_2^0 sunt calculate în tabelul 6.2-5 și sunt trecute în diagrama din fig. 6.2-12

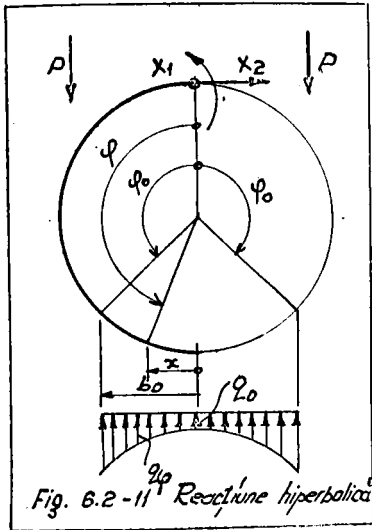


Fig. 6.2-11 Reacțiune hiperbolice

Valorile $X_1^0, X_2^0, \delta H^0$ Tabel 6.2-5

| | φ_0 în grade sexagesimale | | | | |
|--------------|-----------------------------------|--------|--------|--------|-------|
| | 90° | 120° | 130° | 150° | 180° |
| X_1^0 | -0,095 | -0,069 | -0,043 | -0,016 | 0,000 |
| X_2^0 | -0,175 | -0,136 | -0,095 | -0,031 | 0,000 |
| δH^0 | 0,057 | 0,039 | 0,022 | 0,0095 | 0,000 |

Reacțiile totale se exprimă sub formă :

- pentru $\varphi \in (0; \varphi_0)$

$$(6.2-20)$$

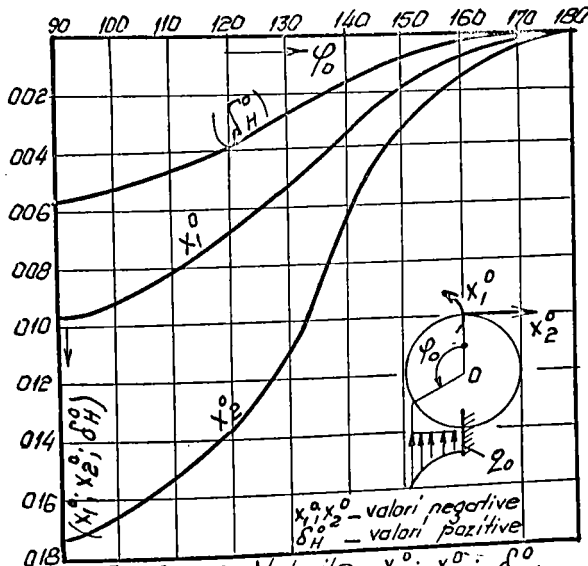


Fig. 6.2-12 Valorile $X_1^0; X_2^0; \delta H^0$

$$\frac{M_\varphi}{Q_0 \cdot r^2} = X_1^0 - X_2^0 (1 - \cos \varphi)$$

$$\frac{N_\varphi}{Q_0 \cdot r} = X_2^0 \cos \varphi$$

$$\frac{T_\varphi}{Q_0 \cdot r} = X_2^0 \sin \varphi$$

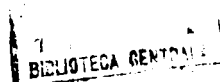
- pentru $\varphi \in (\varphi_0; \pi)$

$$\frac{M_\varphi}{Q_0 \cdot r^2} = \frac{M_\varphi^0}{Q_0 \cdot r^2} + X_1^0 - X_2^0 (1 - \cos \varphi)$$

$$\frac{N_\varphi}{Q_0 \cdot r} = \frac{N_\varphi^0}{Q_0 \cdot r} + X_2^0 \cos \varphi$$

$$\frac{T_\varphi}{Q_0 \cdot r} = \frac{T_\varphi^0}{Q_0 \cdot r} + X_2^0 \sin \varphi$$

$$(6.2-21)$$



Valoarea eforturilor M și N sunt calculate în baza 6.2.5 și sunt reprezentate în 6.2.6 și 6.2.7.

b, c.

Valarile eforturilor Tabel 6.2-6

| φ_0 | | φ in grade sexa decimale | | | | | | | | |
|-------------|------------------|----------------------------------|---------|---------|---------|--------|---------|---------|--------|---------|
| | | 0° | 30° | 45° | 60° | 90° | 120° | 135° | 150° | 180° |
| 90° | $M\varphi/20r^2$ | -0,095 | -0,072 | -0,044 | -0,0075 | +0,08 | +0,1175 | +0,051 | -0,112 | -0,745 |
| | $N\varphi/20r$ | -0,175 | -0,152 | -0,124 | -0,0875 | 0,000 | 0,54 | 0,679 | 0,675 | 0,175 |
| | $T\varphi/20r$ | 0,000 | -0,0875 | -0,124 | -0,152 | -0,175 | +0,11 | +0,43 | +0,819 | +1,5707 |
| 120° | $M\varphi/20r^2$ | -0,069 | -0,051 | -0,029 | -0,001 | +0,067 | +0,135 | +0,072 | -0,012 | -0,547 |
| | $N\varphi/20r$ | -0,135 | -0,118 | -0,096 | -0,068 | 0,000 | +0,068 | +0,474 | +0,633 | +0,135 |
| | $T\varphi/20r$ | 0,000 | -0,068 | -0,096 | -0,118 | -0,135 | -0,118 | +0,281 | +0,65 | +1,36 |
| 135° | $M\varphi/20r^2$ | -0,043 | -0,03 | -0,015 | +0,0045 | +0,052 | +0,1425 | +0,119 | +0,058 | -0,353 |
| | $N\varphi/20r$ | -0,095 | -0,0823 | -0,0672 | -0,0475 | 0,000 | +0,0475 | +0,0672 | +0,36 | +0,095 |
| | $T\varphi/20r$ | 0,000 | -0,0475 | -0,0672 | -0,0823 | -0,095 | -0,0823 | -0,0672 | +0,433 | +1,105 |

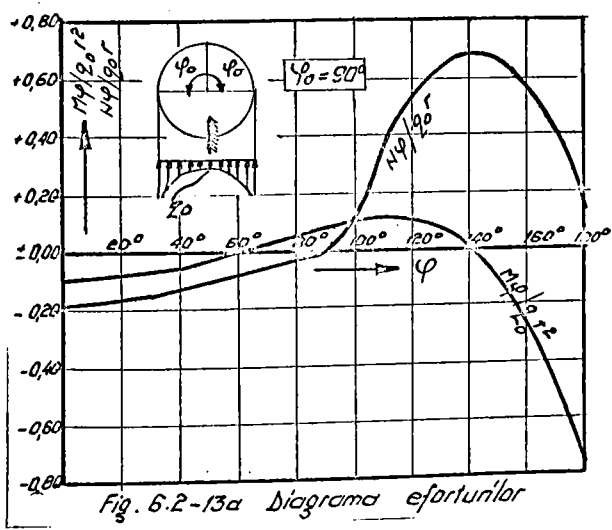


Fig. 6.2-13a Diagrama eforturilor

Deformația adimensională în dreptul diametrului orizontal are valoarea :

$$\delta_H^{\circ} = 0,215 X_2^{\circ} - X_1^{\circ} - J_1$$

În cazul acestei încălziri $J_1 = 0$ și deci

$$\delta_H^{\circ} = 0,215 X_2^{\circ} - X_1^{\circ}$$

Relația de mai sus este intabulată în tabela 6.2-5 și diagrama 6.2-12.

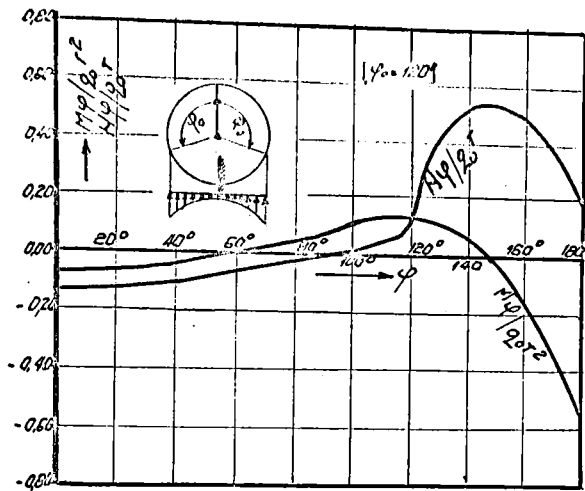


Fig. 6.2-13b Diagrama eforturilor

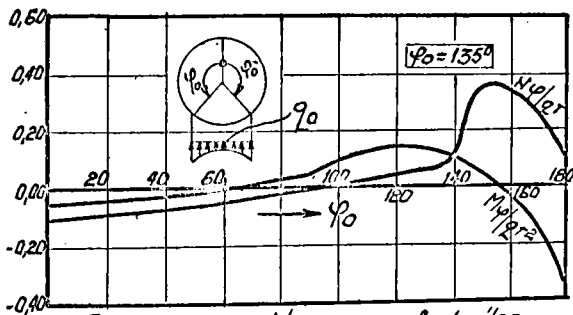


Fig. 6.2-13c Diagrama eforturilor

§ 6.3.- Încărcări din împingerea muntelui

1.- Împingerea verticală, uniformă distribuită

În rocile dure /66/, împingerea pământului se ia în calcul (fig.6.3-1) uniform distribuită în proiecție orizontală.

Eforturile $\sqrt{\frac{pe}{\rho}}$ schwa static determinată au expresiile :

- pentru $\varphi \in (0, \frac{\pi}{2})$

$$M_{\varphi}^{\circ} = -2 \cdot r^2 \frac{1}{2} \sin^2 \varphi$$

$$N_{\varphi}^{\circ} = -2 \cdot r \sin^2 \varphi$$

$$T_{\varphi}^{\circ} = 0 \cdot \sin \varphi \cos \varphi$$

la limita intervalului, eforturile primare, se pot obține sus-

stituind în 6.3-1 $\varphi = \frac{\pi}{2}$:

$$M_{\frac{\pi}{2}}^{\circ} = -q_0 \cdot r^2 \cdot \frac{1}{2}$$

$$N_{\frac{\pi}{2}}^{\circ} = -q_0 \cdot r \quad (6.3-2)$$

$$T_{\frac{\pi}{2}}^{\circ} = 0$$

Expresiile eforturilor în porțiunea

$\varphi \in (\frac{\pi}{2}, \pi)$ se scriu sub o formă ce

cuprinde unele calcule (fig.6.3-2):

- Pentru $\varphi \in (\frac{\pi}{2}, \pi)$

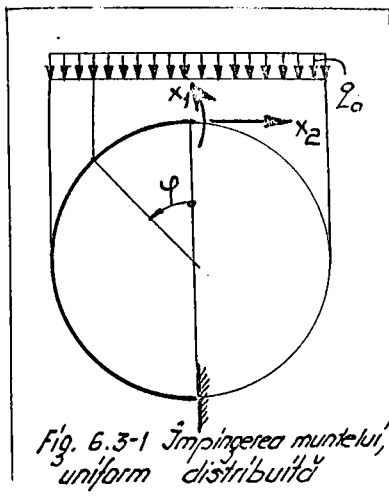


Fig. 6.3-1 Împingerea muntelui,
uniform distribuită

$$M_{\varphi}^{\circ} = M_{\frac{\pi}{2}}^{\circ} - N_{\frac{\pi}{2}}^{\circ} \cdot r(1 - \sin \varphi) - T_{\frac{\pi}{2}}^{\circ} \cdot r \cdot \cos \varphi + N_{\varphi q}^{\circ} \quad (6.3-3)$$

$$N_{\varphi}^{\circ} = N_{\frac{\pi}{2}}^{\circ} \cdot \sin \varphi + T_{\frac{\pi}{2}}^{\circ} \cdot \cos \varphi + N_{\varphi q}^{\circ}$$

$$T_{\varphi}^{\circ} = -N_{\frac{\pi}{2}}^{\circ} \cdot \cos \varphi + T_{\frac{\pi}{2}}^{\circ} \cdot \sin \varphi$$

substituind în relațiile (6.3-3) valorile din (6.3-2) se obțin:

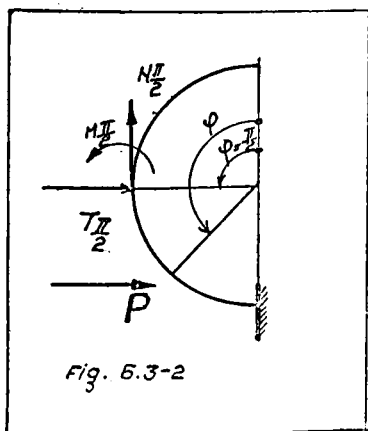


Fig. 6.3-2

$$M_{\varphi}^{\circ} = -q_0 \cdot r^2 \left(\sin \varphi - \frac{1}{2} \right)$$

$$N_{\varphi}^{\circ} = -q_0 \cdot r \cdot \sin \varphi \quad (6.3-4)$$

$$T_{\varphi}^{\circ} = q_0 \cdot r \cdot \cos \varphi$$

Reducerea nedeterminării se face

ținând cont de forma diferită a

funcțiilor de efort în diferite

porțiuni ale variabilei φ . Integ-

ralele intermediare se calculează după expresiile de mai jos :

$$I_1 = \int_{\varphi} \left(\frac{M_p^0}{q_0 \cdot r^2} \right) d\varphi = \int_0^{\frac{\pi}{2}} -0,5 \sin^2 \varphi \cdot d\varphi + \int_{\frac{\pi}{2}}^{\pi} -\left(\sin \varphi - \frac{1}{2} \right) d\varphi$$

$$I_2 = \int_{\varphi} \left(\frac{M_p^0}{q_0 \cdot r^2} \right) \cos \varphi \cdot d\varphi = \int_0^{\frac{\pi}{2}} -0,5 \sin^2 \varphi \cdot \cos \varphi \cdot d\varphi + \int_{\frac{\pi}{2}}^{\pi} -(\sin \varphi - 0,5) \cos \varphi \cdot d\varphi$$

(6.3-5)

Efectuând calculul se obține :

$$I_1 = -\left(1 - \frac{\pi}{8}\right) \quad I_2 = -\frac{1}{6}$$

Necunoscutele adimensionale au valorile :

$$X_1^0 = -\frac{1}{\pi} (I_1 + 2I_2) = 0,299$$

$$X_2^0 = -\frac{1}{\pi} 2I_2 = 0,106$$

(6.3-6)

Eforturile pot fi scrise prin însumarea efectelor. Expresiile lor sînt :

- pentru $\varphi \in (0, \frac{\pi}{2})$

$$\frac{M_p}{q_0 \cdot r^2} = -\frac{1}{2} \sin^2 \varphi + X_1^0 - X_2^0 (1 - \cos \varphi)$$

$$\frac{N_p}{q_0 \cdot r} = -\sin^2 \varphi + X_2^0 \cos \varphi$$

(6.3-7)

$$\frac{T_p}{q_0 \cdot r} = \sin \varphi \cdot \cos \varphi + X_2^0 \sin \varphi$$

- pentru $\varphi \in (\frac{\pi}{2}, \pi)$

$$\frac{M_p}{q_0 \cdot r^2} = -\left(\sin \varphi - \frac{1}{2} \right) + X_1^0 - X_2^0 (1 - \cos \varphi)$$

$$\frac{N_p}{q_0 \cdot r} = -\sin \varphi + X_2^0 \cos \varphi$$

(6.3-8)

$$\frac{T_p}{q_0 \cdot r} = \cos \varphi + X_2^0 \cdot \sin \varphi$$

Valorile eforturilor sînt calculate în tabelul 6.3-1 și sînt reprezentate grafic în fig. 6.3-3

Valorile solicitărilor Tabel 6.3-1

| | φ grade sexazezimale | | | | | | | | | |
|---------------|------------------------------|--------|--------|--------|--------|--------|--------|--------|--------|--|
| | 0° | 30° | 45° | 60° | 90° | 120° | 135° | 150° | 180° | |
| $M_p/q_0 r^2$ | 0,299 | 0,035 | -0,232 | -0,123 | -0,007 | -0,225 | -0,082 | 0,102 | 0,600 | |
| $N_p/q_0 r$ | 0,106 | -0,159 | -0,425 | 0,600 | 0,000 | -0,919 | -0,782 | -0,592 | -0,106 | |
| $T_p/q_0 r$ | 0,000 | 0,525 | 0,129 | 0,5 | 0,000 | -0,408 | -0,632 | -0,813 | -1,000 | |

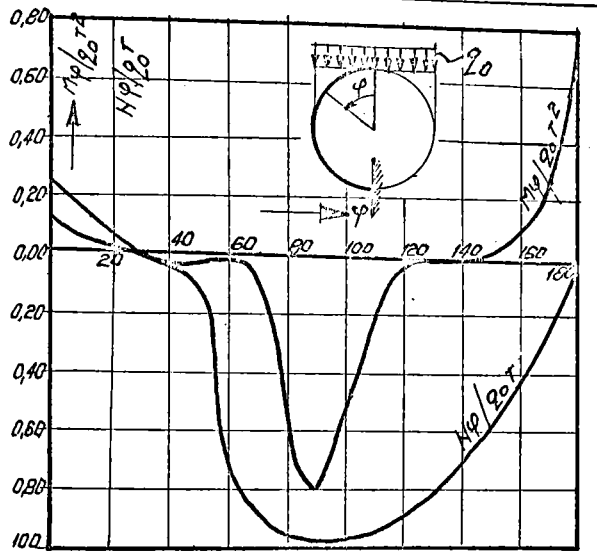


Fig. 6.3-3 Diagramele eforturilor

Deplasarea adimensională are valoarea :

$$\delta_H^0 = 0,215 \chi_2^0 - \chi_1^0 - J_1$$

unde :

$$J_1 = \int_0^{\frac{\pi}{2}} \frac{M_p^0}{q_0 r^2} \cos \varphi \, d\varphi =$$

$$= \int_0^{\frac{\pi}{2}} -\frac{1}{2} \sin^2 \varphi \cos \varphi \, d\varphi = -0,167$$

Ținând cont de valorile necunoscutele adimensionale, se găsește :

$$\delta_H^0 = 0,215 \times 0,106 - 0,299 - (-0,167)$$

$$\delta_H^0 = -0,109$$

2.- Încălzirea verticală, distribuție parabolică

Teoria împingerii lunetelor /66/ pune în evidență pentru torenuri și slobă o distribuție parabolică a lunetelor fig.6.3-4.

Intensitatea încălzirii poate fi descrisă de o relație de forma :

$$q_x = q_0 \left(1 - \frac{x^2}{r^2}\right) \quad (6.3-9)$$

Valoarea q_0 este dată în funcție de natura rocilor și a fost calculată în cap.2.

Profilul eforturilor pe structura de bază se calculează prin intermediul unei variabile intermediare $\psi \in (x, r)$

- pentru $\varphi \in (0, \frac{\pi}{2})$

$$M_{\varphi}^{\circ} = -\int_0^x q_u(x-u) du = -\int_0^x q_0 \left(1 - \frac{u^2}{r^2}\right) (x-u) du$$

$$N_{\varphi}^{\circ} = -\sin\varphi \int_0^x q_u du = -\sin\varphi q_0 \int_0^x \left(1 - \frac{u^2}{r^2}\right) du$$

$$T_{\varphi}^{\circ} = \cos\varphi \int_0^x q_u du = \cos\varphi q_0 \int_0^x \left(1 - \frac{u^2}{r^2}\right) du$$

(6.3-10)

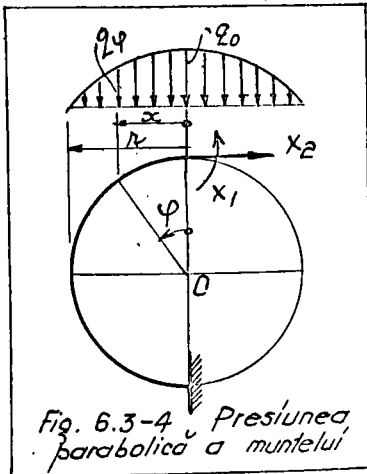


Fig. 6.3-4 Presiunea parabolică a muntelui

Efectuând operațiile impuse de relațiile 6.3-10 și făcând schimbarea de variabilă $x = r \cdot \sin\varphi$ se obține forma integrată a eforturilor :

$$M_{\varphi}^{\circ} = -q_0 r^2 \sin^2\varphi \left(\frac{1}{2} - \frac{1}{12} \sin^2\varphi\right)$$

$$N_{\varphi}^{\circ} = -q_0 r \sin^2\varphi \left(1 - \frac{1}{3} \sin^2\varphi\right)$$

$$T_{\varphi}^{\circ} = q_0 r \sin\varphi \cos\varphi \left(1 - \frac{1}{3} \sin^2\varphi\right)$$

(6.3-11)

- pentru $\varphi = \frac{\pi}{2}$ se obține :

$$M_{\frac{\pi}{2}}^{\circ} = -\frac{5}{12} q_0 r^2$$

$$N_{\frac{\pi}{2}}^{\circ} = -\frac{2}{3} q_0 r$$

(6.3-12)

$$T_{\frac{\pi}{2}}^{\circ} = 0$$

Expresiile eforturilor pe schema de bază în intervalul

$\varphi \in \left(\frac{\pi}{2}, \pi\right)$ se obțin, utilizând relațiile 6.3-3 :

- pentru $\varphi \in \left(\frac{\pi}{2}, \pi\right)$

$$\frac{M_p^o}{q_0 \cdot r^2} = \frac{1}{4} - \frac{2}{3} \sin \varphi$$

$$\frac{N_p^o}{q_0 \cdot r} = -\frac{2}{3} \sin \varphi$$

$$\frac{T_p^o}{q_0 \cdot r} = \frac{2}{3} \cos \varphi$$

(6.3-13)

Ridicarea nedeterminării se obține prin calculul integralelor :

$$I_1 = \int_{\varphi} \left(\frac{M_p^o}{q_0 \cdot r^2} \right) = \int_0^{\frac{\pi}{2}} -\sin^2 \varphi \left(\frac{1}{2} - \frac{1}{12} \sin^2 \varphi \right) d\varphi + \int_{\frac{\pi}{2}}^{\pi} \left(\frac{1}{4} - \frac{2}{3} \sin \varphi \right) d\varphi$$

$$I_2 = \int_{\varphi} \left(\frac{M_p^o}{q_0 \cdot r^2} \right) \cos \varphi \cdot d\varphi = \int_0^{\frac{\pi}{2}} -\sin^2 \varphi \left(\frac{1}{2} - \frac{1}{12} \sin^2 \varphi \right) \cos \varphi d\varphi + \int_{\frac{\pi}{2}}^{\pi} \left(\frac{1}{4} - \frac{2}{3} \sin \varphi \right) \cos \varphi \cdot d\varphi$$

(6.3-14)

Efectuând calculele se obține :

$$I_1 = -0,620 \quad I_2 = -0,0676$$

Revenșcutele adimensionale au valorile :

$$X_1^o = -\frac{1}{\pi} (I_1 + 2I_2) = 0,239$$

(6.3-15)

$$X_2^o = -\frac{1}{\pi} 2 I_2 = 0,042$$

Expresiile eforturilor totale se scriu sub forma generală :

- pentru $\varphi \in (0, \frac{\pi}{2})$

$$\frac{M_p^o}{q_0 \cdot r^2} = -\sin^2 \varphi \left(\frac{1}{2} - \frac{1}{12} \sin^2 \varphi \right) + X_1^o - X_2^o (1 - \cos \varphi)$$

$$\frac{N_p^o}{q_0 \cdot r} = -\sin^2 \varphi \left(1 - \frac{1}{3} \sin^2 \varphi \right) + X_2^o \cos \varphi$$

(6.3-15)

$$\frac{T_p^o}{q_0 \cdot r} = \sin \varphi \cos \varphi \left(1 - \frac{1}{3} \sin^2 \varphi \right) + X_2^o \sin \varphi$$

- pentru $\varphi \in (\frac{\pi}{2}, \pi)$

$$\frac{M_{\varphi}}{q_0 \cdot r^2} = \frac{1}{4} - \frac{2}{3} \sin \varphi + X_1^0 - X_2^0 (1 - \cos \varphi)$$

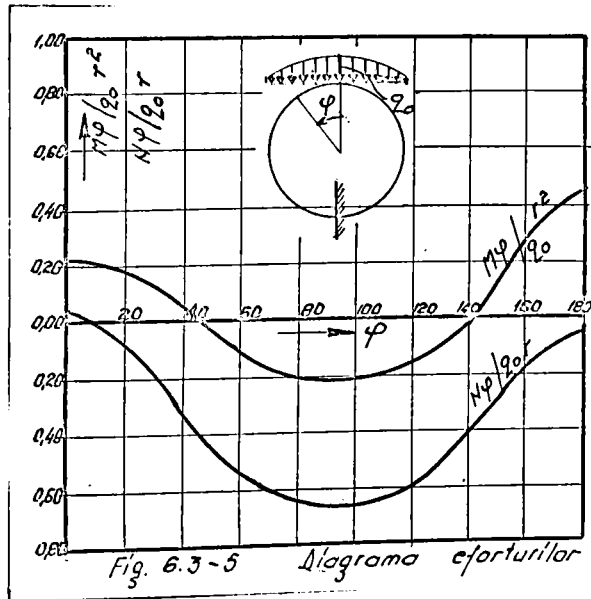
$$\frac{N_{\varphi}}{q_0 \cdot r} = -\frac{2}{3} \sin \varphi + X_2^0 \cos \varphi \quad (6.3-17)$$

$$\frac{T_{\varphi}}{q_0 \cdot r} = \frac{2}{3} \cos \varphi + X_2^0 \sin \varphi$$

Valorile acestor eforturi sînt calculate în tabela 6.3-2 și sînt reprezentate grafic în diagrama 6.3-5.

Valorile salcițărilor Tabel 6.3-2

| | φ | | | | | | | | |
|-----------------------|-----------|------------|------------|------------|------------|-------------|-------------|-------------|-------------|
| | 0° | 30° | 45° | 60° | 90° | 120° | 135° | 150° | 180° |
| $M_{\varphi}/q_0 r^2$ | 0,239 | 0,113 | 0,002 | -0,110 | -0,219 | -0,151 | -0,054 | 0,080 | 0,405 |
| $N_{\varphi}/q_0 r$ | 0,042 | -0,192 | 0,387 | -0,511 | -0,660 | -0,598 | -0,501 | -0,366 | -0,042 |
| $T_{\varphi}/q_0 r$ | 0,000 | 0,376 | 0,387 | 0,283 | 0,042 | -0,293 | -0,411 | -0,556 | -0,660 |



Deformația adimensională se poate scrie, calculând în prealabil integrala :

$$J_1 = \int_0^{\frac{\pi}{2}} \frac{M_{\varphi}}{q_0 \cdot r^2} \cos \varphi \cdot d\varphi = \int_0^{\frac{\pi}{2}} \left(-\frac{2}{3} \sin^2 \varphi \left(\frac{1}{2} - \frac{1}{12} \sin^2 \varphi \right) \cos \varphi \cdot d\varphi \right)$$

Efectuînd calculul. Sîno :

Deformația are valoarea :

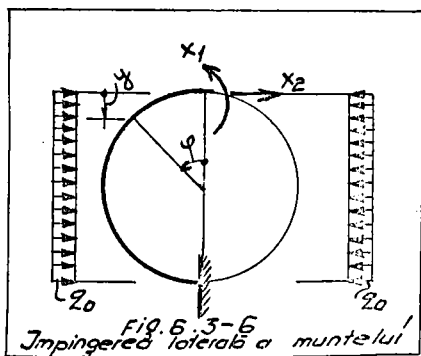
$$J_1 = -0,150 \quad \delta_H^o = 0,215 X_2^o - X_1^o - J_1$$

$$\delta_H^o = 0,215 \times 0,042 - 0,239 - (-0,150)$$

$$\delta_H^o = -0,080$$

3.- Impingerea laterală, distribuită uniform

Impingerea laterală a muntelui, pentru roci dure, poate fi luată în calcul *[77]* sub forma unei încărcări distribuite uniforme fig.6.3-6 . Intensitatea încărcării este dată în func-



ție de turația roci *[66]*. Eforturile pe structura static determinată se vor scrie :

$$M_y^o = -\frac{1}{2} q_0 y^2 = -q_0 \frac{r^2}{2} (1 - \cos \varphi)^2$$

$$N_y^o = q_0 y \cos \varphi = q_0 r (1 - \cos \varphi) \cos \varphi$$

$$T_y^o = q_0 y \sin \varphi = q_0 r (1 - \cos \varphi) \sin \varphi \quad (6.3-18)$$

Ridicarea nedeterminării se face calculând :

$$I_1 = \int_0^\pi \frac{M_y^o}{q_0 \cdot r^2} d\varphi = -\frac{1}{2} \int_0^\pi (1 - \cos \varphi) d\varphi = -\frac{3\pi}{4}$$

$$I_2 = \int_0^\pi \frac{M_y^o}{q_0 \cdot r^2} \cos \varphi d\varphi = -\frac{1}{2} \int_0^\pi (1 - \cos \varphi)^2 \cos \varphi d\varphi = \frac{\pi}{2}$$

Necunoscutele au expresiile :

$$X_1^o = -\frac{1}{\pi} (I_1 + 2 I_2) = -0,250$$

$$X_2^o = -\frac{1}{\pi} 2 I_2 = -1,000 \quad (6.3-20)$$

Expresiile eforturilor se pot calcula substituind valorile 6.3-18, 6.3-20 în 6.1-1. Se obține : $\varphi \in (0, \pi)$

- pentru $\varphi \in (0, \pi)$

$$\frac{M_{\varphi}}{q_0 \cdot r^2} = -\frac{1}{4}(2 \cos^2 \varphi - 1)$$

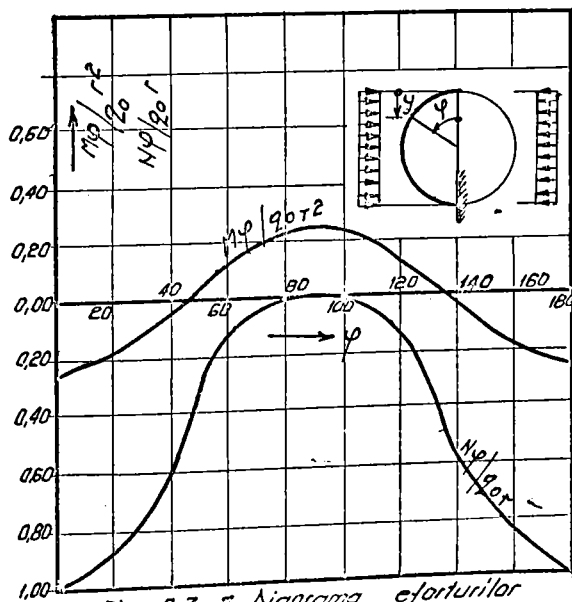
$$\frac{N_{\varphi}}{q_0 \cdot r} = -\cos^2 \varphi \quad (6.3-21)$$

$$\frac{T_{\varphi}}{q_0 \cdot r} = -\sin \varphi \cdot \cos \varphi$$

Valorile eforturilor au fost calculate în tabelul 6.3-3 și trecute în diagrama din fig.6.3-7.

Valorile eforturilor Tabel 6.3-3

| | φ în grade sexazecimale | | | | | | | | |
|-----------------------|---------------------------------|--------|--------|--------|-------|--------|--------|--------|--------|
| | 0° | 30° | 45° | 60° | 90° | 120° | 135° | 150° | 180° |
| $M_{\varphi}/q_0 r^2$ | -0,250 | -0,125 | 0,000 | +0,125 | +0,25 | 0,125 | 0,000 | -0,125 | -0,250 |
| $N_{\varphi}/q_0 r$ | -1,000 | -0,750 | -0,500 | -0,125 | 0,000 | -0,125 | -0,500 | -0,750 | -1,000 |
| $T_{\varphi}/q_0 r$ | 0,000 | -0,433 | -0,500 | -0,433 | 0,000 | +0,433 | +0,500 | 0,433 | 0,000 |



Valoarea deformației adimensionale δ_H^o se poate obține scriind :

$$\delta_H^o = 0,215 X_2^o - X_1^o - J_1$$

$$J_1 = \int_0^{\frac{\pi}{2}} \frac{M_p^o}{2 \cdot r^2} \cos \varphi \, d\varphi = \int_0^{\frac{\pi}{2}} -\frac{1}{4} (2 \cos^2 \varphi - 1) \cos \varphi \, d\varphi = -0,083$$

Introducând în expresia lui δ_H^o toate valorile calculate anterior se găsește :

$$\delta_H^o = 0,118$$

4.- Încărcerea pasivă a nuntelui

Încărcerea apare la rezistența elastică a rocii datorită unei încărcări verticale, aflată în echilibrul static.

Se consideră că presiunea pasivă este distribuită după legea (fig. 6.3-8) [77] :

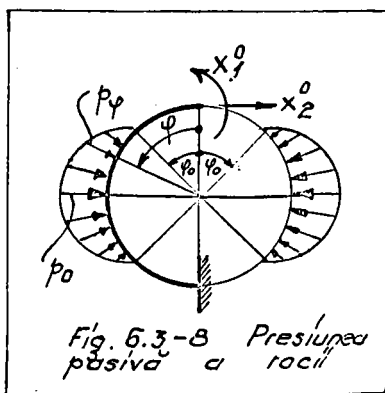


Fig. 6.3-8 Presiunea pasivă a rocii

$$p_\varphi = p_0 \cdot m (\sin \varphi - \sin \varphi_0) \quad (6.3-22)$$

unde s-au folosit notațiile :

$$m = \frac{1}{1 - \sin \varphi_0} \quad (6.3-23)$$

$$p_0 = Q \cdot \delta_H$$

Expresiile eforturilor static determinate se scriu pe porțiuni :

- pentru : $\varphi \in (0, \varphi_0)$

$$M_\varphi^o = 0 \quad N_\varphi^o = 0 \quad T_\varphi^o = 0 \quad (6.3-24)$$

- pentru $\varphi \in (\varphi_0, \pi - \varphi_0)$

$$M_\varphi^o = -\int_{\varphi_0}^{\varphi} p \cdot r \cdot d\theta \sin(\varphi - \theta) \quad (6$$

$$N_\varphi^o = \frac{1}{r} M_\varphi^o$$

$$T_\varphi^o = (r \cdot p \cdot d\theta \cdot \cos(\varphi - \theta))$$

după efectuarea calculilor, se găsește :

$$\frac{M_{\varphi}^{\circ}}{\rho_0 r^2} = -m \left[(\sin \varphi - \sin \varphi_0) - \frac{1}{2} (\varphi - \varphi_0) \cos \varphi - \frac{1}{2} \cos \varphi_0 \sin (\varphi - \varphi_0) \right]$$

$$\frac{N_{\varphi}^{\circ}}{\rho_0 r} = \frac{1}{r} \left(\frac{M_{\varphi}^{\circ}}{\rho_0 r^2} \right) \quad (6.3-25)$$

$$\frac{T_{\varphi}^{\circ}}{\rho_0 r^2} = \frac{m}{2} \left[(\varphi - \varphi_0) \sin \varphi - \sin \varphi_0 \sin (\varphi - \varphi_0) \right]$$

- pentru $\varphi \in (\pi - \varphi_0 ; \pi)$

$$M_{\varphi}^{\circ} = H \cdot r \cdot \cos \varphi$$

$$N_{\varphi}^{\circ} = H \cos \varphi$$

$$T_{\varphi}^{\circ} = H \sin \varphi$$

(6.3-26)

unde H reprezintă integrala încărcării pe direcția orizontală

$$H = \int_{\varphi_0}^{\pi - \varphi_0} \rho_0 \cdot r \cdot m (\sin \varphi - \sin \varphi_0) \sin \varphi \, d\varphi$$

efectuând calculele se obține :

$$H = \frac{1}{2} \rho_0 \cdot r \cdot m \left[(\pi - 2\varphi_0) - \sin(\pi - 2\varphi_0) \right]$$

introducând valoarea lui H în 6.3-26 se obține :

$$\frac{M_{\varphi}^{\circ}}{\rho_0 \cdot r^2} = \frac{1}{2} m \left[(\pi - 2\varphi_0) - \sin(\pi - 2\varphi_0) \right] \cos \varphi$$

$$\frac{N_{\varphi}^{\circ}}{\rho_0 \cdot r} = \frac{1}{2} m \left[(\pi - 2\varphi_0) - \sin(\pi - 2\varphi_0) \right] \cos \varphi \quad (6.3-27)$$

$$\frac{T_{\varphi}^{\circ}}{\rho_0 \cdot r} = \frac{1}{2} m \left[(\pi - 2\varphi_0) - \sin(\pi - 2\varphi_0) \right] \sin \varphi$$

Pentru ridicarea nedeterminării se calculează :

$$I_1 = \int_{\varphi} \left(\frac{M_{\varphi}^{\circ}}{\rho_0 \cdot r^2} \right) d\varphi = I_{1a} + I_{1b} + I_{1c} \quad (6.3-28)$$

valorile integralei pe porțiunile de variație a momentului sînt

$$I_{1a} = \int_0^{\varphi_0} \frac{M_{\varphi}^0}{\rho \cdot r^2} d\varphi = 0$$

$$I_{1b} = \int_{\varphi_0}^{\pi-\varphi_0} \frac{M_{\varphi}^0}{\rho \cdot r^2} = -m \left[\frac{6}{2} \cos \varphi_0 - \frac{1}{2} \cos \varphi_0 \cos 2\varphi_0 + \left(3\varphi_0 - \frac{3\pi}{2} \right) \sin \varphi_0 \right]$$

$$I_{1c} = \frac{1}{\rho \cdot r^2} \int_{\pi-\varphi_0}^{\pi} H \cdot r \cdot \cos \varphi d\varphi = -\frac{1}{2} m \cdot \sin \varphi_0 \left[\pi - 2\varphi_0 - \sin(\pi - 2\varphi_0) \right]$$

prin însumare se găsește :

$$I_1 = -2 \cdot m \left[-\left(\frac{\pi}{2} - \varphi_0 \right) \cos \left(\frac{\pi}{2} - \varphi_0 \right) + \sin \left(\frac{\pi}{2} - \varphi_0 \right) \right] \quad (6.3-29)$$

În mod analog se calculează :

$$I_2 = \int_{\varphi_0}^{\pi-\varphi_0} \frac{M_{\varphi}^0}{\rho \cdot r^2} \cos \varphi \cdot d\varphi = I_{2a} + I_{2b} + I_{2c} \quad (6.3-30)$$

Integralele parțiale au valorile :

$$I_{2a} = \int_0^{\varphi_0} \frac{M_{\varphi}^0}{\rho \cdot r^2} \cos \varphi \cdot d\varphi = 0$$

$$I_{2b} = \int_{\varphi_0}^{\pi-\varphi_0} \frac{M_{\varphi}^0}{\rho \cdot r^2} \cos \varphi \cdot d\varphi = \frac{1}{8} m \left[(\pi - 2\varphi_0) - \sin(\pi - 2\varphi_0) \right]^2$$

$$I_{2c} = \int_{\pi-\varphi_0}^{\pi} \frac{M_{\varphi}^0}{\rho \cdot r^2} \cos \varphi \cdot d\varphi = \frac{1}{8} m \left[(\pi - 2\varphi_0) - \sin(\pi - 2\varphi_0) \right] \left[2\varphi_0 + \sin 2\varphi_0 \right]$$

înlocuind expresiile de mai sus în 6.3-30 se găsește :

$$I_2 = \frac{\pi}{8} m \left[(\pi - 2\varphi_0) - \sin(\pi - 2\varphi_0) \right] \quad (6.3-31)$$

Necunoscutele adimensionale se calculează din relațiile

$$X_1^{\circ} = -\frac{1}{\pi} (I_1 + 2I_2)$$

$$X_2^{\circ} = -\frac{1}{\pi} (2I_2)$$

În literatură [77] se indică pentru φ valori cuprinse între 40° și 50° . În lucrarea de față de admite $\varphi = 45^{\circ}$. În acest caz :

$$I_1 = -1,038 \quad I_2 = 0,766$$

$$X_1 = -0,157 \quad X_2 = -0,488$$

Expresiile eforturilor totale pe diferite porțiuni sînt

$$\frac{M_{\varphi}}{\rho \cdot r^2} = \frac{M_{\varphi}^{\circ}}{\rho \cdot r^2} + X_1^{\circ} - X_2^{\circ} (1 - \cos \varphi)$$

$$\frac{N_{\varphi}}{\rho \cdot r} = \frac{N_{\varphi}^{\circ}}{\rho \cdot r} + X_2^{\circ} \cos \varphi \quad (6.3-32)$$

$$\frac{T_{\varphi}}{\rho \cdot r} = \frac{T_{\varphi}^{\circ}}{\rho \cdot r} + X_2^{\circ} \sin \varphi$$

unde valorile $\frac{M_{\varphi}^{\circ}}{\rho \cdot r^2}$; $\frac{N_{\varphi}^{\circ}}{\rho \cdot r}$; $\frac{T_{\varphi}^{\circ}}{\rho \cdot r}$ au expresii diferite pe domeniile $(0, \frac{\pi}{2})$; $(\frac{\pi}{2}, \pi - \varphi)$; $(\pi - \varphi, \pi)$, conform relațiilor (6.3-24) ; (6.3-25) ; (6.3-26).

Valorile eforturilor, pentru $\varphi = 45^{\circ}$, sînt calculate în tabela 6.3-4 și sînt reprezentate în diagrama din fig.6.3-9.

Valorile eforturilor Tabel 6.3-4

| | φ în grade - sexzecimale | | | | | | | | |
|------------------------------|----------------------------------|--------------|--------------|--------------|--------------|---------------|---------------|---------------|---------------|
| | 0° | 30° | 45° | 60° | 90° | 120° | 135° | 150° | 180° |
| $M_{\varphi}/\rho \cdot r^2$ | -0,157 | -0,092 | -0,015 | +0,077 | +0,181 | +0,077 | -0,013 | -0,083 | -0,157 |
| $N_{\varphi}/\rho \cdot r$ | -0,488 | -0,422 | -0,345 | -0,254 | -0,150 | -0,254 | -0,344 | -0,419 | -0,488 |
| $T_{\varphi}/\rho \cdot r$ | 0,000 | -0,244 | -0,345 | -0,347 | ±0,000 | +0,344 | +0,342 | +0,246 | 0,000 |

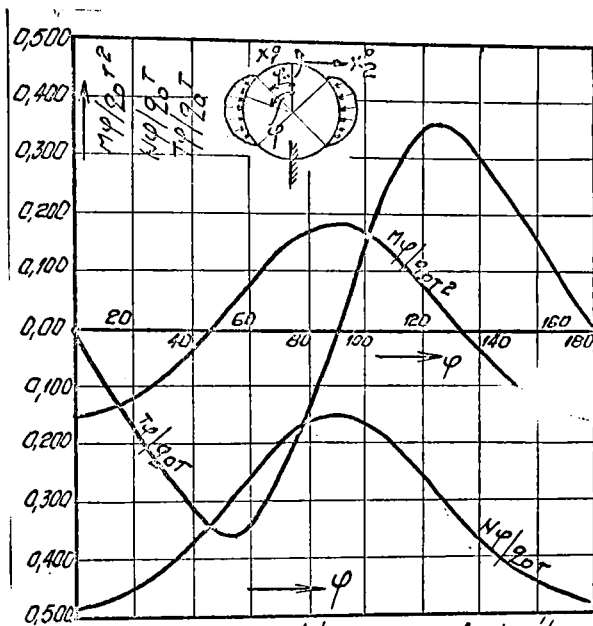


Fig. 6.3-9 Diagrama eforturilor

Deplasarea pe direcția orizontală are valoarea :

$$\delta_H^0 = 0,215 X_2^0 - X_1^0 - J_1$$

unde :

$$J_1 = \int_0^{\pi/2} \left(\frac{M_\varphi^0}{q \cdot r^2} \right) \cos \varphi \cdot d\varphi$$

introducând valorile momentului pe diferite porțiuni se obține:

$$J_1 = -m \int_{\varphi_0}^{\pi/2} \left[\sin \varphi \cos \varphi - \sin \varphi_0 \cos \varphi - \frac{1}{2} (\varphi - \varphi_0) \cos^2 \varphi_0 - \frac{1}{2} \cos \varphi_0 \cos \varphi \sin (\varphi - \varphi_0) \right] d\varphi$$

$$J_1 = m \left[\frac{1}{8} \left(\frac{\pi}{2} - \varphi_0 \right)^2 - \frac{1}{8} \left(\frac{\pi}{2} - \varphi_0 \right) \sin (\pi - 2\varphi_0) + \cos \left(\frac{\pi}{2} - \varphi_0 \right) + \frac{3}{8} \cos^2 \varphi_0 - 1 \right]$$

pentru $\varphi_0 = \frac{\pi}{4}$ rezultă : $J_1 = -0,433$

$$\delta_H^0 = 0,215(-0,488) - (-0,157) - (-0,433)$$

$$\delta_H^0 = 0,485.$$

§ 6.4.- Încărcări din presiunea apei

1.- Presiunea uniformă a apei

Presiunea uniformă a apei, pentru galerii de grosime mică dă naștere doar la eforturi axiale. În condițiile conlucrării elastice a învelișului de beton cu rezistența muntelui se scrie egalitatea săgeții după direcția razei sub forma :

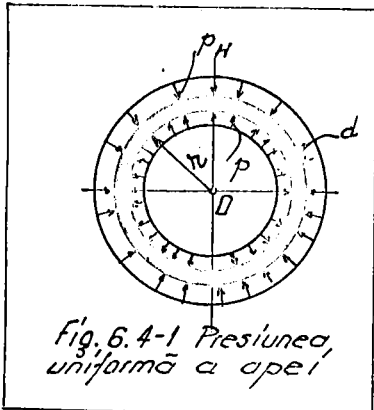


Fig. 6.4-1 Presiunea uniformă a apei

$$\sigma_{rs} = \sigma_{rt} \quad (6.4-1)$$

Săgeata produsă de învelișul de

respectiv de presiunea rocii are valorile :

$$\sigma_{rs} = \frac{(p - p_H) \cdot R \cdot 2}{E \cdot d} \quad (6.4-2)$$

$$\sigma_{rt} = \frac{p_H}{2}$$

substituind expresiile de mai sus în 6.4.1 se obține :

$$p_H = \frac{1}{1 + \frac{E}{2 \cdot R} \cdot \frac{1}{\lambda}} \cdot p \quad (6.4-3)$$

unde :

- E., modulul de elasticitate al betonului ;
- K., coeficientul de pat kgf/cm^3 ; (dl/cm^3) ;
- $\lambda = \frac{r}{d}$, grosimea relativă a betonului ;
- d , grosimea betonului .

Valoarea efortului axial are expresia :

$$\frac{N}{\rho \cdot r} = \left(1 - \frac{1}{1 + \frac{E}{2 \cdot r} \cdot \frac{1}{\lambda}} \right)$$

(6.4-4)

Relația 6.4-4 poate fi pusă sub o altă formă dacă se introduce valoarea :

$$\lambda = \frac{E_{rocii}}{r \cdot (1+\mu)}$$

unde μ este coeficientul lui Poisson.

$$\frac{N}{\rho \cdot r} = \left(1 - \frac{1}{1 + \frac{E_b}{E_r (1+\mu)} \cdot \frac{1}{\lambda}} \right)$$

(6.4-5)

Se vede că : - pentru $E \cdot r \rightarrow 0$, adică atunci cînd nu se contează pe rezistența rocii, rezultă $\frac{N}{\rho \cdot r} = 1$

- pentru $E \cdot r \rightarrow \infty$ adică rigiditate foarte mare a rocii rezultă $\frac{N}{\rho \cdot r} = 0$, adică betonul neavînd posibilitatea să se deformeze, nu preia încărcare.

Situațiile reale se găsesc între aceste două extreme.

Relația ce exprimă efortul axial poate fi reprezentată grafic dacă se aduce la forma :

$$\frac{N}{\rho \cdot r} = 1 - \frac{1}{1 + \frac{\beta}{\lambda}}$$

(6.4-6)

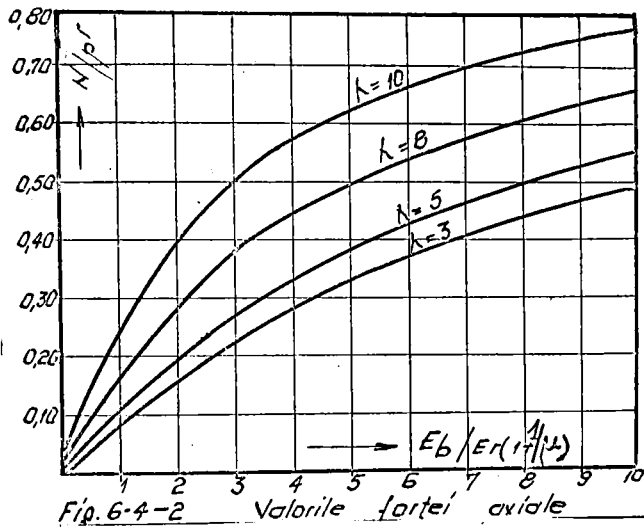
unde β

$$\beta = \frac{E_{beton}}{E_{rocii} (1+\mu)}$$

Valorile $\frac{N}{\rho \cdot r}$ sînt calculate în tabelul 6.4-1 și sînt reprezentate grafic în fig.6.4-2.

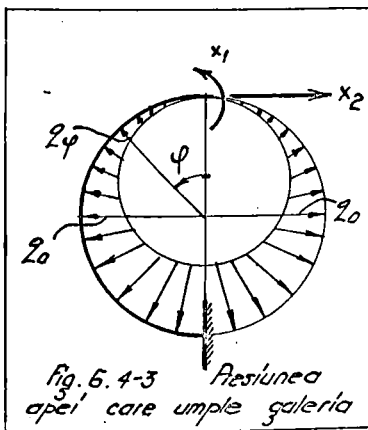
Valorile efortului $\frac{N}{\rho r}$ Tabel 6.4-1

| λ | $\beta = E_b / E_r (1+\mu)$ | | | | | |
|-----------|-----------------------------|-------|-------|-------|-------|-------|
| | 0,00 | 1 | 3 | 5 | 8 | 10 |
| 3 | 0,000 | 0,250 | 0,500 | 0,625 | 0,727 | 0,769 |
| 5 | 0,000 | 0,167 | 0,375 | 0,500 | 0,615 | 0,667 |
| 8 | 0,000 | 0,111 | 0,275 | 0,385 | 0,500 | 0,556 |
| 10 | 0,000 | 0,091 | 0,231 | 0,333 | 0,444 | 0,500 |



2.- Presiunea apei care umple galeria

Încălzirea din presiunea apei ce umple galeria apare în calculul galeriilor de fugă de la centralele hidroelectrice (fig.6.4-3).



Legea de variație a încălzirii se poate pune sub forma :

$$q_{\varphi} = q_0 (1 - \cos \varphi) \quad (6.4-7)$$

unde : $q_0 = \delta \cdot r$.

Eforturile pe arcu de bază se pot obține prin integrarea efectului încălzirii până într-o secțiune car-

tă φ luând o variabilă intermediară $\theta \in (0, \varphi)$. În acest fel poate scrie :

$$M_{\varphi}^{\circ} = \int_0^{\varphi} q_0 \cdot r \cdot \sin(\varphi - \theta) d\theta = q_0 \cdot r^2 \left(1 - \frac{1}{2} \varphi \cdot \sin \varphi - \cos \varphi\right)$$

$$N_{\varphi}^{\circ} = \int_0^{\varphi} q_0 \cdot \sin(\varphi - \theta) d\theta = q_0 \cdot r \left(1 - \frac{1}{2} \varphi \sin \varphi - \cos \varphi\right)$$

$$T_{\varphi}^{\circ} = - \int_0^{\varphi} q_0 \cdot \cos(\varphi - \theta) d\theta = -\frac{1}{2} (\sin \varphi - \varphi \cos \varphi) \quad (6.4-8)$$

Pentru ridicarea nedeterminării se calculează:

$$I_1 = \int_0^{\pi} \frac{M_{\varphi}^{\circ}}{q_0 \cdot r^2} d\varphi = \int_0^{\pi} \left(1 - \frac{1}{2} \varphi \sin \varphi - \cos \varphi\right) d\varphi = \frac{\pi}{2}$$

$$I_2 = \int_0^{\pi} \frac{M_{\varphi}^{\circ}}{q_0 \cdot r^2} \cos \varphi d\varphi = \int_0^{\pi} \left(\cos \varphi - \frac{1}{2} \varphi \sin \varphi \cos \varphi - \cos^2 \varphi\right) d\varphi = -\frac{3\pi}{8} \quad (6.4-9)$$

Valorile necunoscutele sînt :

$$X_1^{\circ} = -\frac{1}{\pi} (I_1 + 2I_2) = 0,250$$

$$X_2^{\circ} = -\frac{1}{\pi} (2I_2) = 0,750$$

(6.4-10)

Expresiile eforturilor totale se obțin ținînd cont de relațiile 6.1-1 sub forma :

$$\frac{M_{\varphi}}{q_0 \cdot r^2} = \frac{1}{2} \left(1 - \varphi \sin \varphi - \frac{1}{2} \cos \varphi\right)$$

$$\frac{N_{\varphi}}{q_0 \cdot r} = 1 - \frac{1}{2} \varphi \sin \varphi - \frac{1}{4} \cos \varphi$$

$$\frac{T_{\varphi}}{q_0 \cdot r} = \frac{1}{4} \sin \varphi + \frac{1}{2} \varphi \cos \varphi$$

(6.4-11)

Valorile eforturilor sînt calculate în tabelul 6.4-2 și reprezentate în fig. 6.4-4.

Expresia deplasării adimensionale se poate obține dacă se calculează :

$$I_1 = \int_0^{\pi} \frac{M_{\varphi}^{\circ}}{q_0 \cdot r^2} \cos \varphi d\varphi = -\frac{5\pi}{16}$$

Valoarea deplasării v_H e:

$$\delta_H^0 = 0,215 X_1^0 - X_2^0 - J_1 = 0,215 \times 9,250 - 9,750 + 0,982$$

$$\delta_H^0 = 0,286$$

Valorile eforturilor Tabel 6.4-2

| | φ | | | | | | | | |
|-----------------|-----------|------------|------------|------------|------------|-------------|-------------|-------------|-------------|
| | 0° | 30° | 45° | 60° | 90° | 120° | 135° | 150° | 180° |
| $M_p/g \cdot r$ | 0,250 | 0,153 | 0,047 | -0,0708 | -0,295 | -0,281 | -0,155 | 0,063 | 0,757 |
| $H_p/g \cdot r$ | 0,750 | 0,653 | 0,546 | 0,422 | 0,215 | 0,218 | 0,344 | 0,562 | 1,250 |
| $T_p/g \cdot r$ | 0,000 | 0,352 | 0,454 | 0,478 | 0,250 | 0,307 | 0,649 | 0,884 | -1,570 |

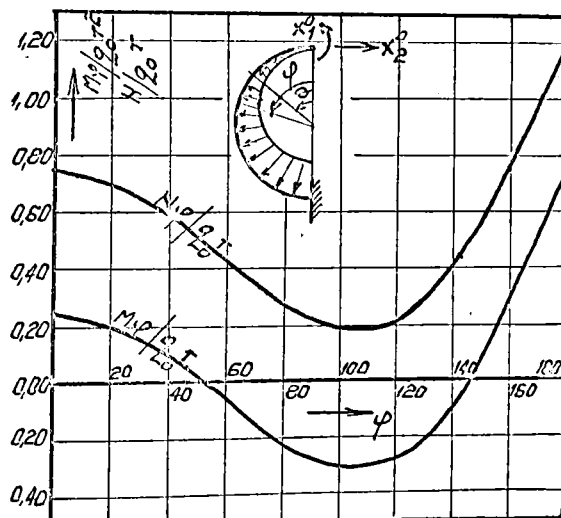


Fig. 6.4-4 Diagrama eforturilor

§ 6.5.- Încărcarea provenită din greutatea proprie

Greutatea proprie a căptușelii poate avea o pondere importantă la calculul cofraajelor și este una din încărcările importante ale tunelurilor cu fața liberă fig.6.5-1.

Valoarea încărcării pe unitatea de lungime este :

$$g = \gamma \cdot l \cdot r$$

(6.5-1)

Eforturile pe sistemul static determinat se obțin prin

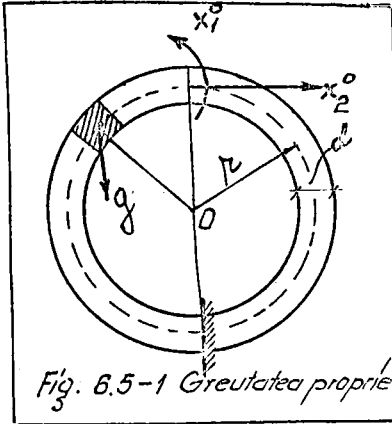


Fig. 6.5-1 Greutatea proprie

intermediul unei variabile intermediare u :

$$\begin{aligned} M_p^o &= -\int_0^\varphi g \cdot ds \cdot r (\sin\varphi - \sin u) du \\ N_p^o &= -\sin\varphi \int_0^\varphi g \cdot ds \\ T_p^o &= \cos\varphi \int_0^\varphi g \cdot ds \end{aligned} \quad (6.4-2)$$

Efectuind integralele se obține :

$$\begin{aligned} \frac{M_p^o}{g \cdot r^2} &= (\varphi \cdot \sin\varphi - 1 + \cos\varphi) \\ \frac{N_p^o}{g \cdot r} &= -\varphi \sin\varphi \\ \frac{T_p^o}{g \cdot r} &= \varphi \cdot \cos\varphi \end{aligned} \quad (6.5-3)$$

Pentru ridicarea nedeterminării se calculează succesiv

$$I_1 = \int_\varphi \frac{M_p^o}{g \cdot r^2} d\varphi = -\int_0^\pi (\varphi \cdot \sin\varphi + \cos\varphi - 1) d\varphi = 0$$

$$I_2 = \int_\varphi \frac{M_p^o}{g \cdot r^2} \cos\varphi d\varphi = -\int_0^\pi (\varphi \cdot \sin\varphi + \cos\varphi - 1) \cos\varphi d\varphi = -\frac{\pi}{4}$$

Înlocuind valorile I_1 și I_2 în expresiile necunoscute se obține :

$$X_1^o = 0,500 \quad X_2^o = 0,500$$

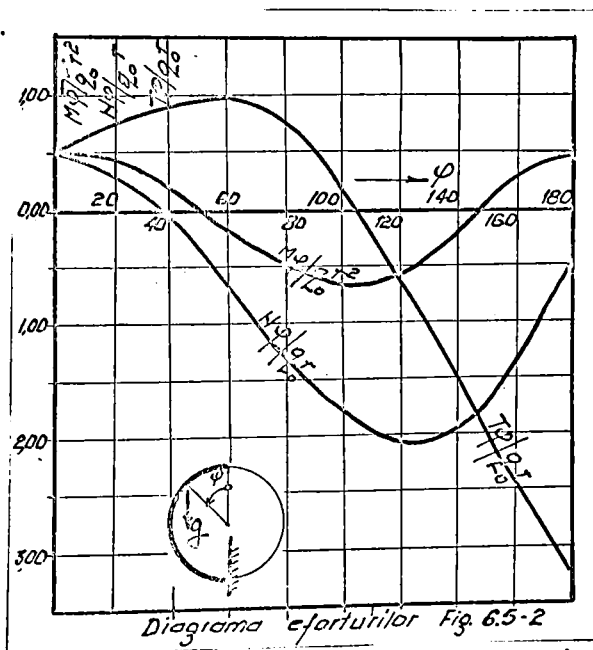
Eforturile totale se obțin prin însumarea efectelor :

$$\begin{aligned} \frac{M_p}{g \cdot r^2} &= 1 - \frac{1}{2} \cos\varphi - \varphi \cdot \sin\varphi \\ \frac{N_p}{g \cdot r} &= -\varphi \sin\varphi + \frac{1}{2} \cos\varphi \\ T_p &= \varphi \cos\varphi + 0,5 \sin\varphi \end{aligned} \quad (6.5-4)$$

Valorile 6.5-4 sînt calculate în tabela 6.5-1 și trecute în diagrama din Fig. 6.5-2.

Valorile solicitărilor *Tabel 6.5-1*

| | φ în grade sexzecimale | | | | | | | | |
|-----------------------|--------------------------------|-------|-------|--------|--------|--------|--------|--------|--------|
| | 0° | 30° | 45° | 60° | 90° | 120° | 135° | 150° | 180° |
| $M_{\varphi}/L_0 r^2$ | 0,500 | 0,306 | 0,093 | -0,176 | -0,510 | -0,311 | 0,025 | 0,025 | 0,50 |
| $N_{\varphi}/L_0 r$ | 0,500 | 0,172 | 0,201 | -0,676 | -1,57 | -2,017 | -1,741 | -1,741 | -0,500 |
| $T_{\varphi}/L_0 r$ | 0,000 | 0,808 | 0,907 | 0,958 | 0,500 | -1,311 | -2,010 | -2,010 | -3,141 |



Pentru determinarea deplasării adimensionale se calcu-

lează :

$$I_1 = \int_0^{\pi/2} \frac{M_{\varphi}}{g \cdot r^2} \cos \varphi \cdot d\varphi = \int_0^{\pi/2} (1 - \cos \varphi - \varphi \sin \varphi) \cos \varphi d\varphi = 1 - \frac{3\pi}{8}$$

Valoarea deplasării este :

$$\delta_H^{\circ} = 0,215 X_1^{\circ} - X_2^{\circ} - J_1 = 0,215 \times 0,500 - 0,500 + 0,179$$

$$\delta_H^{\circ} = -0,214$$

§ 6.6.- Încărcări tehnologice

1.- Presiunea injectiilor de umplură,

reprezintă o încărcare importantă ce apare în procesul tehnologic de realizare a cămășuicilor tunelurilor din beton. În literatură [77] încărcarea este dată sub forma a două legi distincte :

- Legea de distribuție parabolică :

$$q_{\varphi} = q_0 \frac{\cos \varphi - \cos \varphi_0}{1 - \cos \varphi_0} \quad (6.6-1)$$

- Legea de distribuție hiperbolică :

$$q_{\varphi} = q_0 \frac{\sin \varphi_0 - \sin \varphi}{\sin \varphi} = q_0 \cdot m (\sin \varphi_0 - \sin \varphi) \quad (6.6-2)$$

Valoarea q_0 se acceptă în funcție de presiunea de injectare și este mărită uneori pînă la dublu din cauza efectului de umflare a rocilor după execuția betonării.

În cele ce urmează se acceptă legea descrisă de relația 6.6-2, fiind mai defavorabilă în calcule deoarece provoacă o concentrare mai mare a încărcării spre cheia bolții fig.6.6-1.

Expresiile eforturilor vor fi diferite pe porțiunea $\varphi \in (0, \varphi_0)$ respectiv $\varphi \in (\varphi_0, \pi)$.

Pentru prima porțiune (notată cu a) se pot scrie eforturile pe schema de bază prin integrarea încărcării între 0 și φ luînd o variabilă intermediară u :

- pentru $\varphi \in (0, \varphi_0)$

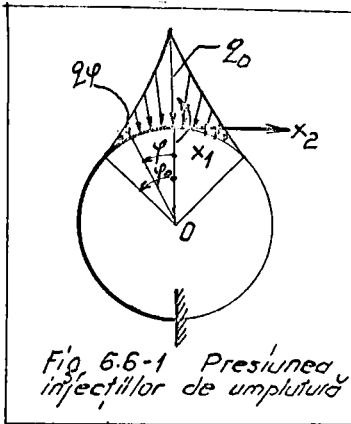


Fig. 6.6-1 Presiunea infectiilor de umplutura

$$M_{\varphi}^{\circ} = -q_0 \cdot r^2 \int_0^{\varphi} \left(1 - \frac{\sin u}{\sin \varphi_0}\right) \sin(\varphi - u) du$$

$$N_{\varphi}^{\circ} = \frac{1}{r} M_{\varphi}^{\circ}$$

$$T_{\varphi}^{\circ} = q_0 \cdot r \int_0^{\varphi} \left(1 - \frac{\sin u}{\sin \varphi_0}\right) \cos(\varphi - u) du \quad (6.6-3)$$

prin integrare se găsesc relațiile :

$$\frac{M_{\varphi}^{\circ}}{q_0 \cdot r^2} = - \left[1 - \cos \varphi + \frac{1}{2 \sin \varphi_0} (\varphi \cdot \cos \varphi - \sin \varphi) \right]$$

$$\frac{N_{\varphi}^{\circ}}{q_0 \cdot r} = \frac{M_{\varphi}^{\circ}}{q_0 \cdot r^2} \quad (5.5.4)$$

$$\frac{T_{\varphi}^{\circ}}{q_0 \cdot r} = \sin \varphi - \frac{1}{2 \sin \varphi_0} \varphi \cdot \sin \varphi$$

Eforturile în secțiunea φ_0 se obțin din relațiile 6.6.4, punând $\varphi = \varphi_0$. În funcție de eforturile $M_{\varphi_0}^{\circ}$; $N_{\varphi_0}^{\circ}$; $T_{\varphi_0}^{\circ}$; din secțiunea $\varphi = \varphi_0$ se găsesc eforturile într-o secțiune

- pentru $\varphi \in (\varphi_0, \pi)$

$$M_{\varphi}^{\circ} = M_{\varphi_0}^{\circ} - N_{\varphi_0}^{\circ} \cdot r [1 - \cos(\varphi - \varphi_0)] - T_{\varphi_0}^{\circ} \cdot r \cdot \sin(\varphi - \varphi_0)$$

$$N_{\varphi}^{\circ} = N_{\varphi_0}^{\circ} \cos(\varphi - \varphi_0) - T_{\varphi_0}^{\circ} \sin(\varphi - \varphi_0) \quad (6.6.5)$$

$$T_{\varphi}^{\circ} = N_{\varphi_0}^{\circ} \sin(\varphi - \varphi_0) + T_{\varphi_0}^{\circ} \cos(\varphi - \varphi_0)$$



Pentru ridicarea nedeterminării se calculează succesiv:

$$I_1 = \int_{\varphi_0}^{\pi} \frac{M_{\varphi}^0}{2_0 \cdot r^2} d\varphi = I_{1a} + I_{1b}$$

unde:

$$I_{1a} = - \int_0^{\varphi_0} \left[1 - \cos\varphi + \frac{1}{2 \sin\varphi_0} (\varphi \cos\varphi - \sin\varphi) \right] d\varphi$$

$$I_{1b} = \int_{\varphi_0}^{\pi} \left[\frac{M_{\varphi_0}^0}{2_0 \cdot r^2} - \frac{M_{\varphi_0}^0}{2_0 \cdot r} [1 - \cos(\varphi - \varphi_0)] - \frac{T_{\varphi_0}^0}{2_0 \cdot r} \sin(\varphi - \varphi_0) \right] d\varphi$$

Efectuînd calculele se obține :

$$I_1 = \frac{1}{\sin\varphi_0} (1 - \cos\varphi_0) - \left(\varphi_0 + \frac{1}{2} \sin\varphi_0 \right) \quad (6.6-6)$$

În mod analog se calculează :

$$I_2 = \int_{\varphi_0}^{\pi} \frac{M_{\varphi}^0}{2_0 \cdot r^2} \cos\varphi \cdot d\varphi = I_{2a} + I_{2b}$$

unde:

$$I_{2a} = - \int_0^{\varphi_0} \left[1 - \cos\varphi + \frac{1}{2 \sin\varphi_0} (\varphi \cos\varphi - \sin\varphi) \right] \cos\varphi \cdot d\varphi$$

$$I_{2b} = \int_{\varphi_0}^{\pi} \left[\frac{M_{\varphi_0}^0}{2_0 \cdot r^2} - \frac{M_{\varphi_0}^0}{2_0 \cdot r} [1 - \cos(\varphi - \varphi_0)] - \frac{T_{\varphi_0}^0}{2_0 \cdot r} \sin(\varphi - \varphi_0) \right] \cos\varphi \cdot d\varphi$$

Efectuînd calculele se obține în final :

$$I_2 = \frac{\pi}{2} \left[1 - \frac{1}{2} \cos\varphi_0 - \frac{1}{2 \sin\varphi_0} \varphi_0 \right] + \frac{1}{2} \left[\frac{1}{2} \varphi_0 \cos\varphi_0 - \frac{3}{4} \sin\varphi_0 + \frac{1}{4 \sin\varphi_0} \varphi_0^2 \right] \quad (6.6-7)$$

Valorile necunoscuteleor dimensionale se calculează cu relațiile :

$$X_1^{\circ} = -\frac{1}{\sqrt{I}} (I_1 + 2I_2)$$

$$X_2^{\circ} = -\frac{1}{\sqrt{I}} (2I_2)$$

(6.6-8)

Valorile acestor expresii sînt calculate în tabelul 6.6-1 și reprezentate grafic în fig.6.6-2.

Valorile necunoscuteleor și deformațiilor Tabel 6.6-1

| φ_0 | 30° | 45° | 60° | 90° |
|--------------------|--------|--------|--------|--------|
| X_1° | 0,159 | 0,165 | 0,160 | 0,095 |
| X_2° | -0,001 | -0,064 | -0,127 | -0,246 |
| δH° | 0,133 | 0,221 | 0,299 | 0,415 |

Expresiile eforturilor totale au valorile :

$$\frac{M_{\varphi}}{2_0 \cdot r^2} = \frac{M_{\varphi}^{\circ}}{2_0 \cdot r^2} + X_1^{\circ} - X_2^{\circ} (1 - \cos \varphi)$$

$$\frac{N_{\varphi}}{2_0 \cdot r} = \frac{N_{\varphi}^{\circ}}{2_0 \cdot r} + X_2^{\circ} \cos \varphi$$

$$\frac{T_{\varphi}}{2_0 \cdot r} = \frac{T_{\varphi}^{\circ}}{2_0 \cdot r} + X_2^{\circ} \sin \varphi$$

(6.6-9)

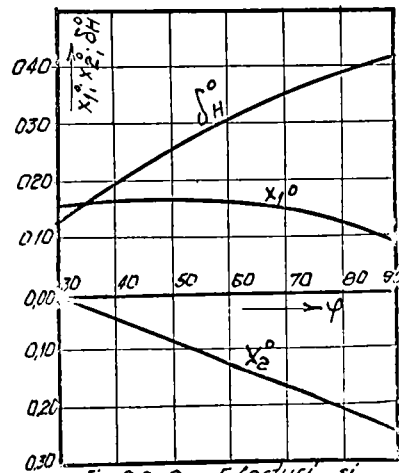


Fig. 6.6-2 Eforturi și deformații

În relațiile 6.6-9 se introduc valorile din 6.6-8 pentru $\varphi(0, \varphi_0)$ și valorile din 6.6-5 pentru $\varphi \in (\varphi_0, \pi)$

Calculul numeric pentru diferite valori ale variabilei este intabulat în tabela 6.6.2 a, b, c.

Diagrama eforturilor este arătată în fig.6.6-3 a, b, c.

$\varphi_0 = 30^\circ$

Valorile eforturilor

Tabel 6.6-2a

| | 0° | 30° | 45° | 60° | 90° | 120° | 135° | 150° | 180° |
|--------------------|--------|--------|--------|--------|--------|--------|--------|--------|--------|
| $M\varphi/2_0 T_2$ | 0,165 | 0,007 | -0,004 | -0,085 | -0,127 | -0,092 | -0,041 | 0,029 | 0,203 |
| $H\varphi/2_0 T$ | -0,064 | -0,222 | -0,233 | -0,295 | -0,356 | -0,321 | -0,270 | -0,200 | -0,026 |
| $T\varphi/2_0 T$ | 0,070 | 0,234 | 0,270 | 0,200 | 0,026 | -0,156 | -0,233 | -0,295 | -0,356 |

$\varphi_0 = 60^\circ$

Valorile eforturilor

Tabel 6.6-2b

| | φ grade hexazecimale | | | | | | | | |
|--------------------|------------------------------|--------|--------|--------|--------|--------|--------|--------|-------|
| | 0° | 30° | 45° | 60° | 90° | 120° | 135° | 150° | 180° |
| $M\varphi/2_0 T_2$ | 0,160 | 0,016 | -0,008 | -0,073 | -0,138 | -0,054 | 0,034 | 0,144 | 0,325 |
| $H\varphi/2_0 T$ | -0,127 | -0,271 | -0,255 | -0,336 | -0,455 | -0,340 | -0,253 | -0,143 | 0,093 |
| $T\varphi/2_0 T$ | 0,000 | 0,286 | 0,437 | 0,233 | -0,097 | -0,313 | -0,392 | -0,445 | -0,1 |

$\varphi_0 = 90^\circ$

Valorile eforturilor

Tabel 6.6-2c

| | φ grade hexazecimale | | | | | | | | |
|--------------------|------------------------------|--------|--------|--------|--------|--------|--------|--------|--------|
| | 0° | 30° | 45° | 60° | 90° | 120° | 135° | 150° | 180° |
| $M\varphi/2_0 T_2$ | 0,095 | -0,029 | -0,050 | -0,111 | -0,159 | 0,128 | 0,300 | 0,476 | 0,729 |
| $H\varphi/2_0 T$ | -0,246 | -0,370 | -0,391 | -0,452 | -0,500 | -0,213 | -0,041 | 0,135 | 0,447 |
| $T\varphi/2_0 T$ | 0,000 | 0,246 | 0,256 | 0,200 | -0,031 | -0,640 | -0,574 | -0,672 | -0,565 |

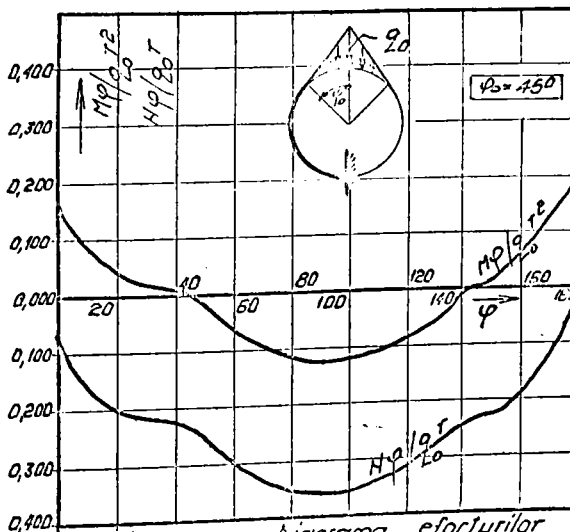


Fig. 6.6-3a Diagrama eforturilor

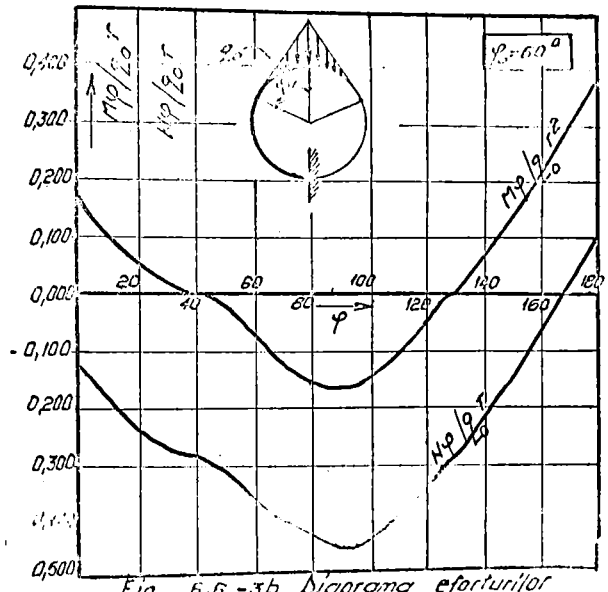


Fig. 6.6-3b Diagrama eforturilor

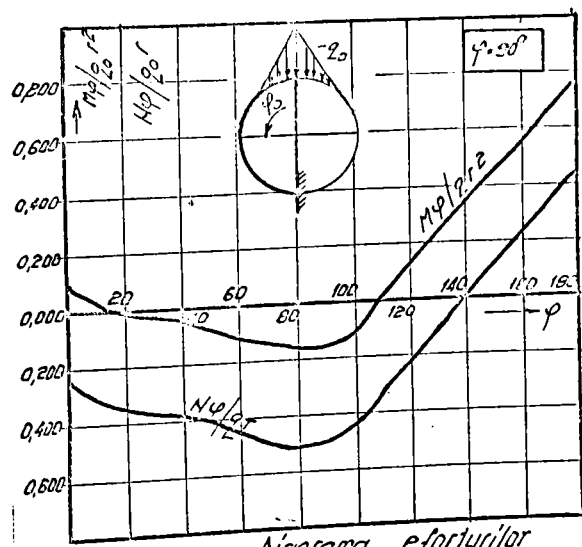


Fig. 6.6-3c Diagrama eforturilor

Deplasarea radială se calculează în funcție de valoarea

expresiei :

$$J_1 = \int_0^{\frac{\pi}{2}} \frac{M_p^0}{2_0 \cdot r^2} \cos \varphi \, d\varphi = J_{1a} + J_{1b}$$

$$J_{1a} - J_{2a} = \frac{1}{2} \varphi_0 - \frac{5}{8} \sin \varphi_0 + \frac{1}{2} \sin \varphi_0 \cdot \cos \varphi_0 - \frac{1}{4} \varphi_0 \cdot \cos \varphi_0 - \frac{1}{8} \frac{\varphi_0^2}{\sin \varphi_0}$$

$$J_{1b} = \int_{\varphi_0}^{\frac{\pi}{2}} \frac{M_p^0}{2_0 \cdot r^2} \cos \varphi \, d\varphi = \frac{1}{2} \frac{M_p^0}{2_0 \cdot r} \left[\left(\frac{\pi}{2} - \varphi_0 \right) \cos \varphi_0 \right] + \frac{1}{2} \frac{I_p^0}{2_0 \cdot r} \left[\left(\frac{\pi}{2} - \varphi_0 \right) \sin \varphi_0 - \cos \varphi_0 \right]$$

Însumând cele două valori, calculate mai sus, se obține:

$$J_1 = \frac{\pi}{4} \left[1 - \frac{1}{2} \cos \varphi_0 - \frac{1}{2} \frac{\varphi_0}{\sin \varphi_0} \right] + \left[\frac{1}{4} \varphi_0 \cos \varphi_0 + \frac{1}{8} \frac{\varphi_0^2}{\sin \varphi_0} - \frac{5}{8} \sin \varphi_0 \right]$$

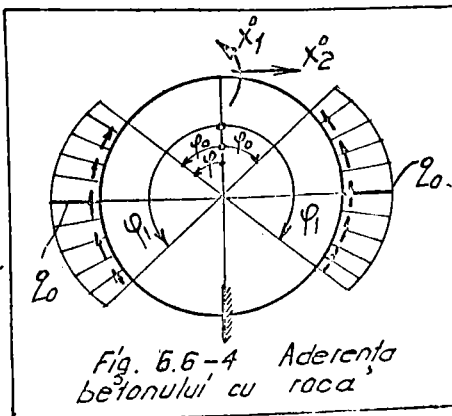
Expresia deplasării se obține din :

$$\delta_H^0 = 0,215 X_1^0 - X_2^0 - J_1$$

Valorile numerice ale deplasării δ_H^0 sînt calculate în tabela 6.6-1 și reprezentate grafic în fig.6.6-2.

2.- Aderența betonului cu roca

Considerarea în calcule a fenomenului de aderență dintre beton și rocă este recomandat în literatură [77] sub forma unei încărcări tangențiale variind (fig.6.6-4) după legea :



$$q_\varphi = q_0 \cdot \sin \varphi \quad (6.6-10)$$

Unghiul pe care are loc această variație variază între $\varphi_0 \cong 45^\circ$ și $\varphi_1 \cong 135^\circ$. Mărimea încărcării q_0 se scrie:

$$q_0 = f \cdot k \cdot \delta_H^0$$

unde :

f = coeficientul de frecare între beton și rocă $\in (0,5 - 0,9)$, cu valori mai mari la rocă dură ;

$k \delta_H$ - presiunea normală.

Pe diferite porțiuni, expresiile eforturilor pe schema de bază au valorile :

- pentru $\varphi \in (0, \varphi_0)$

$$M_{\varphi}^{\circ} = 0 \quad N_{\varphi}^{\circ} = 0 \quad T_{\varphi}^{\circ} = 0 \quad (6.6-11)$$

- pentru $\varphi \in (\varphi_0, \varphi_1)$

$$M_{\varphi}^{\circ} = - \int_{\varphi_0}^{\varphi} q_u \cdot r \cdot du \cdot r [1 - \cos(\varphi - u)]$$

$$N_{\varphi}^{\circ} = \int_{\varphi_0}^{\varphi} q_u \cdot r \cdot du \cdot \cos(\varphi - u) \quad (6.6-12)$$

$$T_{\varphi}^{\circ} = \int_{\varphi_0}^{\varphi} q_u \cdot r \cdot du \cdot \sin(\varphi - u)$$

Efectuând integralele dictate de relațiile de mai sus se obține :

$$\frac{M_{\varphi}^{\circ}}{q_0 \cdot r^2} = - \frac{1}{2} [2(\cos \varphi_0 - \cos \varphi) - (\varphi - \varphi_0) \sin \varphi - \sin \varphi_0 \cdot \sin(\varphi - \varphi_0)]$$

(6.6-12)

$$\frac{N_{\varphi}^{\circ}}{q_0 \cdot r} = \frac{1}{2} [(\varphi - \varphi_0) \sin \varphi + \sin \varphi_0 \cdot \sin(\varphi - \varphi_0)]$$

$$\frac{T_{\varphi}^{\circ}}{q_0 \cdot r} = - \frac{1}{2} [(\varphi - \varphi_0) \cos \varphi - \sin(\varphi - \varphi_0) \cos \varphi_0]$$

- pentru $\varphi \in (\varphi_1, \pi)$

Se calculează în prealabil eforturile în secțiunea

$$\varphi = \varphi_1 = 135^\circ$$

Dacă se acceptă $\varphi_0 = 45^\circ$, din 6.6-13 rezultă :

$$\frac{M_{\varphi_1}^0}{\rho_0 \cdot r^2} = -0,506$$

$$\frac{N_{\varphi_1}^0}{\rho_0 \cdot r} = 0,909$$

$$\frac{T_{\varphi_1}^0}{\rho_0 \cdot r} = 0,909$$

(6.6-13)

$$\frac{M_{\varphi}^0}{\rho_0 \cdot r^2} = \frac{M_{\varphi_1}^0}{\rho_0 \cdot r^2} - \frac{N_{\varphi_1}^0}{\rho_0 \cdot r} [1 - \cos(\varphi - \varphi_1)] - \frac{T_{\varphi_1}^0}{\rho_0 \cdot r} \sin(\varphi - \varphi_1)$$

$$\frac{N_{\varphi}^0}{\rho_0 \cdot r} = \frac{N_{\varphi_1}^0}{\rho_0 \cdot r} \cos(\varphi - \varphi_1) - \frac{T_{\varphi_1}^0}{\rho_0 \cdot r} \sin(\varphi - \varphi_1)$$

(6.6-14)

$$\frac{T_{\varphi}^0}{\rho_0 \cdot r} = \frac{N_{\varphi_1}^0}{\rho_0 \cdot r} (\sin \varphi - \varphi_1) + \frac{T_{\varphi_1}^0}{\rho_0 \cdot r} \cos(\varphi - \varphi_1)$$

Relațiile 6.6-14 se pun sub o formă mai simplă substituindu-se valorile 6.6-13. Se obține :

$$\frac{M_{\varphi}^0}{\rho_0 \cdot r^2} = -1,415 + 0,909 \cos(\varphi - \varphi_1) - 0,909 \sin(\varphi - \varphi_1)$$

(6.6-15)

$$\frac{N_{\varphi}^0}{\rho_0 \cdot r} = 0,909 \cos(\varphi - \varphi_1) - 0,909 \sin(\varphi - \varphi_1)$$

$$\frac{T_{\varphi}^0}{\rho_0 \cdot r} = 0,909 \sin(\varphi - \varphi_1) + 0,909 \cos(\varphi - \varphi_1)$$

Ridicarea nodeterminării se face calculând în prealabil valorile integralelor :

$$I_1 = \int_{\varphi} \left(\frac{M_{\varphi}^0}{2_0 \cdot r^2} \right) d\varphi = I_{1a} + I_{1c} + I_{1b}$$

$$I_2 = \int_{\varphi} \left(\frac{M_{\varphi}^0}{2_0 \cdot r^2} \right) \cos \varphi \cdot d\varphi = I_{2a} + I_{2b} + I_{2c}$$

(6.6-15)

a, b, c reprezintă domeniile de variație ale momentelor. Executând calculele impuse de (6.6-16) și utilizând relațiile :

$$X_1^0 = -\frac{1}{\pi} (I_1 + 2I_2)$$

$$X_2^0 = -\frac{1}{\pi} (2I_2)$$

se găsește :

$$X_1^0 = -0,192$$

$$X_2^0 = -0,515$$

(6.6-17)

Expresiile eforturilor totale se scriu sub forma :

$$\frac{M_{\varphi}}{2_0 \cdot r^2} = \frac{M_{\varphi}^0}{2_0 \cdot r^2} + X_1^0 - X_2^0 (1 - \cos \varphi)$$

$$\frac{N_{\varphi}}{2_0 \cdot r} = \frac{N_{\varphi}^0}{2_0 \cdot r} + X_2^0 \cos \varphi$$

(6.6-18)

$$\frac{T_{\varphi}}{2_0 \cdot r} = \frac{T_{\varphi}^0}{2_0 \cdot r} + X_2^0 \sin \varphi$$

Valorile $\frac{M_{\varphi}^0}{2_0 \cdot r^2}$; $\frac{N_{\varphi}^0}{2_0 \cdot r}$; $\frac{T_{\varphi}^0}{2_0 \cdot r}$ se calculează diferit pe domeniile $\varphi \in (0, \varphi_0) \cup (\varphi_0, \varphi_1) \cup (\varphi_1, \pi)$ din relațiile 6.6-11 ; 6.6-13 ; 6.6-15.

Tabela 6.6-3 și diagrama din fig.6.6-5.

Valorile eforturilor Tabele 6.6-3

| | φ în grade sexazecimale | | | | | | | | |
|-----------------------|---------------------------------|--------|--------|--------|--------|-------|-------|-------|--------|
| | 0° | 30° | 45° | 60° | 90° | 120° | 135° | 150° | 180° |
| $M_{\varphi}/2_0 r^2$ | -0,192 | -0,124 | -0,041 | 0,033 | 0,258 | 0,201 | 0,101 | -0,03 | -0,577 |
| $N_{\varphi}/2_0 r$ | -0,515 | -0,415 | -0,354 | -0,052 | 0,643 | 1,155 | 1,273 | 1,089 | 0,515 |
| $T_{\varphi}/2_0 r$ | 0,000 | -0,257 | -0,354 | -0,420 | -0,255 | 0,223 | 0,545 | 0,856 | 1,286 |

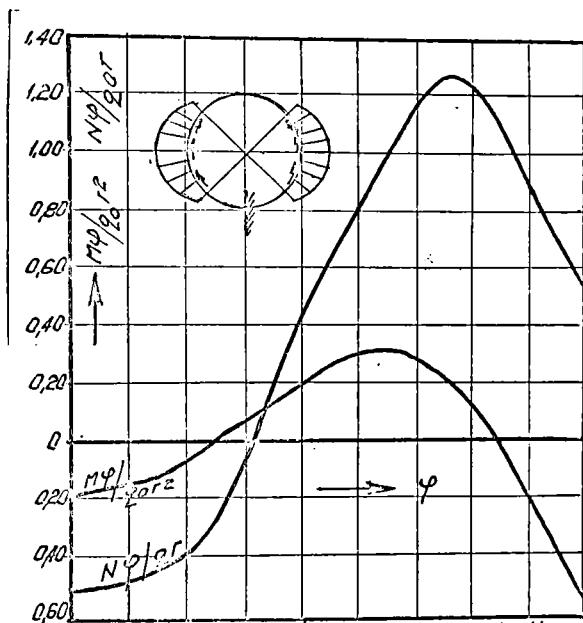


Fig. 6.6-5 biograma eforturilor

§ 6.7.- Încălcarea din variația de temperatură

Se consideră îmbrăcămintea din beton a cărei închidere la boltă s-a făcut la o temperatură t_0 . În timpul exploatarii pot apărea variații de temperatură față de t_0 fig.6.7-1.

[78], [79] În cazul creșterii temperaturilor la valorile t_1 și t_2 se consideră că a avut loc :

- Variația uniformă a temperaturii medii în secțiune :

$$\Delta t_m = \frac{t_1 + t_2}{2} - t_0 \quad (6.7-1)$$

- Variația temperaturilor de pe extrados și intrados :

$$\Delta t = t_2 - t_1 \quad (6.7-2)$$

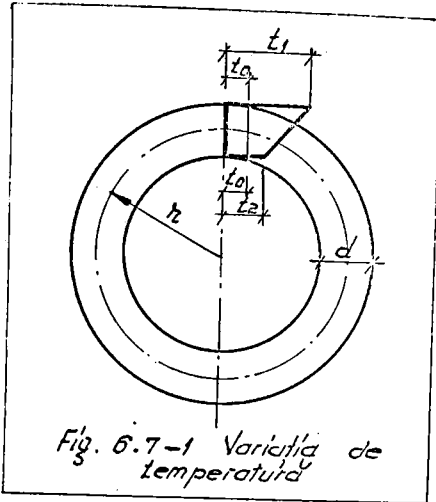


Fig. 6.7-1 Variația de temperatură

1.- Variația uniformă de temperatură, dă naștere la eforturi axiale. În condițiile conlucrării betonului cu roca se poate scrie analog relației 6.4-1 :

$$\sigma_{rb} = \sigma_{rt} \quad (6.7-3)$$

explicitând cei doi termeni se obține :

$$\sigma_{rb} = (E_b \cdot \alpha \cdot \Delta t_m \cdot d - p_H \cdot r) \frac{r}{E_b \cdot d} \quad (6.7-4)$$

$$\sigma_{rt} = \frac{p_H}{2r}$$

unde :

- $\alpha = 10 \cdot 10^{-6}$, coeficientul de dilatație al betonului;
- $E_b = 200 \text{ oca daN/cm}^2$; /kgf/cm²/;
- p_H , presiunea pasivă a rocii;
- k , coeficientul de pat al rocii daN/cm³; (kgf/cm³);
- d , grosimea betonului;
- r , raza galeriei;
- $\lambda = r/d$.

Explicitând relația (6.7-3) se obține :

$$p_H = \frac{E_b \cdot \alpha \cdot \Delta t_m}{\lambda + \frac{E}{2r}} \quad (6.7-5)$$

Efortul axial N se scrie :

$$N = E_b \cdot \alpha \cdot \Delta t_m \cdot d - \frac{E_b \cdot \alpha \cdot \Delta t_m}{\lambda + \frac{E}{2r}}$$

efectuînd calculele se obține :

$$\frac{N}{(E_b \cdot \alpha \cdot \Delta t_m) d} = \frac{\lambda}{\lambda + \frac{E}{2r}} = f(\lambda, \beta) \quad \text{cu} \quad (6.7-6)$$

notația :

$$\beta = \frac{E_{beton}}{E_{ocaz}} \frac{1}{1 + \frac{1}{\mu}}$$

funcția $f(\lambda, \beta)$, se găsește, pentru diferite valori λ, β din tabelul 6.4-1 sau diagrama din fig.6.4-2.

Substituind în 6.7-6 valorile :

$$E_b = 2 \cdot 10^5 \text{ daN/cm}^2 \text{ [kgf/cm}^2\text{]}$$

$$\alpha = 10^{-5}$$

se găsește :

$$N = 2 \cdot d \cdot \Delta t_m \cdot f(\lambda, \beta) \quad (6.7-7)$$

forța axială rezultă în daN (kgf) dacă d se introduce în cm și Δt_m în grade Celsius.

Efortul unitar produs de înbrăcămintele are valoarea :

$$\sigma_b = 2 \cdot \Delta t_m \cdot f(\lambda, \beta) \quad (6.7-8)$$

Se observă că eforturile pot deveni întindere pentru o creștere a temperaturii față de temperatura de turnare (închiderea a bolții) și compresiune pentru o scădere a temperaturii. Valorile eforturilor unitare pot deveni relativ mari.

2.- Variația neuniformă a temperaturii, produce momente încovoietoare a căror valoare poate fi calculată dacă se consideră că fibrele se deformează respectînd legea lui Bernoulli :

$$\sigma_{\Delta t} = \frac{\frac{\Delta ds}{2}}{ds} E_b = \frac{1}{2} E_b \alpha \cdot \Delta t \quad (6.7-9)$$

pentru : $E_b = 200000 \text{ daN/cm}^2$

$$\alpha = 10^{-5}$$

rezultă :

$$\sigma_{\Delta t} = \Delta t \text{ daN/cm}^2. \quad (6.7-10)$$

momentul încovoielilor are valoarea :

$$M_{\Delta t} = \frac{1}{12} E_b \alpha \cdot d^2 \cdot \Delta t \quad (6.7-11)$$

Expresia 6.7-11 se poate scrie sub formă adimensională:

$$\frac{M_{\Delta t}}{E_b \cdot d^2} = \frac{1}{12} \alpha \cdot \Delta t \quad (6.7-12)$$

Concluzii

- Calculule pentru obținerea eforturilor în secțiunile circulare din încărcările specifice tunelurilor se conduce ținând cont de caracterul rocii în care este executată galeria.

- Pentru fiecare tip de încărcare, se pot obține diagramele de eforturi în coordonate generalizate, ce ușurează mult calculule.

- Reacțiunea se alege diferențiat pentru fiecare tip de rocă .

- Diagramele de eforturi pentru o încărcare dată se obțin prin însumarea următoarelor efecte :

$$S = S_q + S_r + S_{pq} + S_{pr} + S_a$$

unde :

- S , efortul (M_T ; M_p ; T_T) total datorat unei încărcări q ;

- S_q , efortul primar datorat încărcării q ;

- S_r , efortul creat de reacțiunea muntelui calculată în funcție de componenta verticală P a încărcării. Valoarea totală P a încărcării poate fi citită din tabelă, ea fiind forța tăietoare a încărcării primare q în punctul $\varphi = \pi$

- S_{pq} , S_{pr} , eforturile datorate presiunii pasive a

încărcării primare q și a reacțiunii corespunzătoare. Încărcarea din presiunea pasivă se obține din relația :

$$\sigma_{Hq}^{\circ} + \sigma_{Hr}^{\circ} + \sigma_{Hp}^{\circ} = 2 \frac{P_H}{D \cdot r}$$

- S_a , eforturile datorate aderenței betonului cu roca.
- Eforturile datorate fenomenului de umflare a rocii pot fi luate în calcul ca o presiune uniformă din exteriorul excavației.

- Eforturile din temperatură pot deveni importante dacă execuția închiderii cheii bolții nu a fost făcută la temperatură corespunzătoare sau dacă tunelul se golește brusc permițând pătrunderea aerului în lungul tunelului.

Capitolul 7 - CAPTUSILI DE FORMA "ARC DE CERC"

§ 7.1.- Determinarea eforturilor

1.- Reazeme rigide

Structura sub formă arc de cerc (fig.7.1-1) se folosește

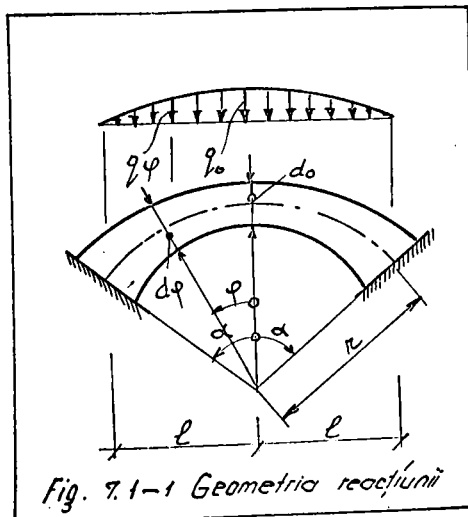


Fig. 7.1-1 Geometria reacțiunii

în execuția galeriilor tunelurilor executate în roci dure când pereții laterali nu au nevoie de sprijiniri precum și la bolțile centralelor subterane cu deschidere mare. Secțiunea se realizează cu moment de inerție constant sau variabil în funcție de mărimea încălzirilor și a deschiderii l .

Pentru cazul momentelor de inerție variabile [30] se folosește legea :

$$I_{\varphi} = \frac{I_0}{\cos^3 \alpha \varphi} \quad (7.1-1)$$

În acest caz variația momentului de inerție este dată de legea :

$$I_{\varphi} = \left(\frac{I_0}{I_{\varphi}} \right) = \cos^3 \alpha \varphi \quad (7.1-2)$$

Mărimea "a" se determină impunând creșterea procentuală a grosimii la nașteri și la choie $\frac{d\alpha}{\alpha_0}$, folosind tabela 2.2-1 și diagrama 2.2-4 sau impunând [31] arcului condiții de rezisten-

și una deformație.

Pozițiile ce determină necunoscutele problemei luate în cheia arcului fig.7.1-2 sînt analoge celor stabilite în cap.3.

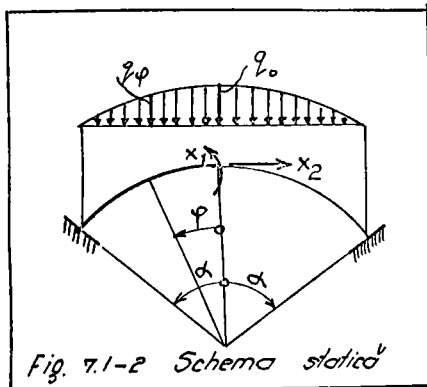


Fig. 7.1-2 Schema statică

Deplasările adimensionale pe direcțiile necunoscutele se calculează conform relațiilor (3.1-4) :

$$\delta_{11}^0 = \int_{\varphi} i\varphi(m_1)(m_1)d\varphi = \int_0^{\alpha} \cos^3 \varphi d\varphi = \frac{C}{4}$$

$$\begin{aligned} \delta_{12}^0 &= \int_{\varphi} i\varphi(m_1)\left(\frac{m_2}{r}\right)d\varphi \\ &= \int_0^{\alpha} \cos^3 \varphi (1 - \cos \varphi) d\varphi = -\left(\frac{C}{4} - \frac{B}{8}\right) \end{aligned} \quad (7.1-3)$$

$$\delta_{22}^0 = \int_{\varphi} i\varphi\left(\frac{m_2}{r}\right)^2 d\varphi = \int_0^{\alpha} (1 - \cos \varphi)^2 \cos^3 \varphi d\varphi = \frac{C}{4} - 2\frac{B}{8} + \frac{A}{8}$$

În relațiile de mai sus s-au folosit notațiile [82] : [83]

$$A = 8 \int_0^{\alpha} \cos^2 \varphi \cos^3 \varphi d\varphi = \frac{\sin 3\alpha}{3\alpha} + \frac{1}{2} \frac{\sin(2+3\alpha)\alpha}{2+3\alpha} + \frac{1}{2} \frac{\sin(2-3\alpha)\alpha}{2-3\alpha} + 3 \frac{\sin \alpha}{\alpha} + \frac{3}{2} \frac{\sin(2+\alpha)\alpha}{2+\alpha} + \frac{3}{2} \frac{\sin(2-\alpha)\alpha}{2-\alpha}$$

$$B = 8 \int_0^{\alpha} \cos \varphi \cos^3 \varphi d\varphi = \frac{\sin(1+3\alpha)\alpha}{1+3\alpha} + \frac{\sin(1-3\alpha)\alpha}{1-3\alpha} + 3 \frac{\sin(1+\alpha)\alpha}{1+\alpha} + 3 \frac{\sin(1-\alpha)\alpha}{1-\alpha}$$

(7.1-4)

$$C = 4 \int_0^{\alpha} \cos^3 \varphi d\varphi = \frac{\sin 3\alpha}{3\alpha} + 3 \frac{\sin \alpha}{\alpha}$$

Valorile numerice ale integralelor din (7.1-4) se dau în tabelul 7.1-1.

Pentru $a = 0$ se obțin deplasările adimensionale în co-

Valorile integralelor A, B, C Tabel 7.1-1

| α | 0 | 0,2 | 0,4 | 0,6 | 0,8 | 1,0 | 1,2 |
|----------|-----|-------|-------|-------|-------|-------|-------|
| A | 0° | 0,000 | 0,000 | 0,000 | 0,000 | 0,000 | 0,000 |
| | 10° | 1,380 | 1,380 | 1,380 | 1,375 | 1,370 | 1,355 |
| | 20° | 2,680 | 2,675 | 2,655 | 2,625 | 2,585 | 2,470 |
| | 30° | 3,830 | 3,805 | 3,150 | 3,560 | 3,535 | 3,215 |
| | 40° | 4,760 | 4,725 | 4,605 | 4,420 | 4,180 | 3,900 |
| | 50° | 5,460 | 5,395 | 5,210 | 4,915 | 4,550 | 4,155 |
| | 60° | 5,920 | 5,830 | 5,575 | 5,190 | 4,730 | 4,245 |
| | 70° | 6,170 | 6,065 | 5,760 | 5,310 | 4,790 | 4,265 |
| | 80° | 6,270 | 6,150 | 5,820 | 5,345 | 4,800 | 4,270 |
| B | 0° | 0,000 | 0,000 | 0,000 | 0,000 | 0,000 | 0,000 |
| | 10° | 1,390 | 1,350 | 1,385 | 1,380 | 1,375 | 1,360 |
| | 20° | 2,735 | 2,750 | 2,710 | 2,680 | 2,635 | 2,580 |
| | 30° | 4,000 | 3,980 | 3,920 | 3,820 | 3,685 | 3,520 |
| | 40° | 5,145 | 5,095 | 4,960 | 4,750 | 4,470 | 4,150 |
| | 50° | 6,130 | 6,050 | 5,810 | 5,445 | 4,995 | 4,500 |
| | 60° | 6,930 | 6,808 | 6,450 | 5,920 | 5,295 | 4,660 |
| | 70° | 7,520 | 7,350 | 6,880 | 6,195 | 5,435 | 4,705 |
| | 80° | 7,875 | 7,675 | 7,115 | 6,330 | 5,485 | 4,740 |
| C | 0° | 0,000 | 0,000 | 0,000 | 0,000 | 0,000 | 0,000 |
| | 10° | 0,700 | 0,700 | 0,695 | 0,690 | 0,690 | 0,685 |
| | 20° | 1,400 | 1,395 | 1,385 | 1,370 | 1,345 | 1,315 |
| | 30° | 2,095 | 2,085 | 2,050 | 1,995 | 1,925 | 1,835 |
| | 40° | 2,795 | 2,765 | 2,690 | 2,565 | 2,400 | 2,220 |
| | 50° | 3,490 | 3,440 | 3,290 | 3,055 | 2,770 | 2,465 |
| | 60° | 4,190 | 4,100 | 3,845 | 3,470 | 3,035 | 2,600 |
| | 70° | 4,890 | 4,745 | 4,350 | 3,795 | 3,195 | 2,655 |
| | 80° | 5,525 | 5,375 | 4,800 | 4,045 | 3,275 | 2,635 |

zui unei structuri cu moment de inerție constant. Prin trecere la limită se obține :

$$\delta_{11}^{\circ} = \alpha \quad ; \quad \delta_{12}^{\circ} = -(\alpha - \sin \alpha);$$

$$\delta_{22}^{\circ} = \frac{3}{2} \alpha - 2 \sin \alpha + \frac{1}{2} \sin \alpha \cos \alpha \quad (7.1-4a)$$

Inversarea elementelor matricii necunoscutelor se face

după relațiile :

$$K_{11}^{\circ} = \frac{\delta_{11}^{\circ}}{\Delta^{\circ}} \quad ; \quad K_{12}^{\circ} = \frac{\delta_{12}^{\circ}}{\Delta^{\circ}} \quad ; \quad K_{22}^{\circ} = \frac{\delta_{22}^{\circ}}{\Delta^{\circ}} \quad (7.1-5)$$

unde : $\Delta^{\circ} = \delta_{11}^{\circ} \delta_{12}^{\circ} - (\delta_{12}^{\circ})^2$

Valorile K_{ij}° sînt calculate în tabelul 8.1-

Deplasările din încărcarea exterioară se scriu sub forma:

$$\Delta_{1P}^{\circ} = \int_0^{\alpha} i\varphi \left(\frac{M\varphi^{\circ}}{q_0 r^2} \right) d\varphi = I_{1P} \varphi \quad (7.1-6)$$

$$\Delta_{2P}^{\circ} = \int_0^{\alpha} -(1 - \cos\varphi) \left(\frac{M\varphi^{\circ}}{q_0 r^2} \right) i\varphi d\varphi = -(I_{1P} - I_{2P})$$

Necunoscute se obțin din expresiile :

$$\begin{aligned} X_1^{\circ} &= K_{12}^{\circ} \Delta_{2P}^{\circ} - K_{22}^{\circ} \Delta_{1P}^{\circ} \\ X_2^{\circ} &= K_{12}^{\circ} \Delta_{1P}^{\circ} - K_{11}^{\circ} \Delta_{2P}^{\circ} \end{aligned} \quad (7.1-7)$$

Eforturile pentru un unghi curent se obțin prin însușirea efectelor :

$$\begin{aligned} \frac{M\varphi}{q_0 r^2} &= \frac{M\varphi^{\circ}}{q_0 r^2} + X_1^{\circ} - X_2^{\circ} (1 - \cos\varphi) \\ \frac{N\varphi}{q_0 r} &= \frac{N\varphi^{\circ}}{q_0 r} + X_2^{\circ} \cos\varphi \\ \frac{T\varphi}{q_0 r} &= \frac{T\varphi^{\circ}}{q_0 r} + X_2^{\circ} \sin\varphi \end{aligned} \quad (7.1-8)$$

2.- Reazeme elastice

În cazul cînd bolțile au deschideri mari și sînt realizate în terenuri cu coeficient de elasticitate relativ mic se ia în considerare și cedarea reazemelor. Se acceptă drept deplasări pozitive (fig.7.1-3) în reazemul $\varphi = \alpha$ valorile :

ξ - în sensul necunoscutei X_1 ;

Δ - în sensul necunoscutei X_2 .

În urma deplasărilor din cedarea reazemelor, necunoscutele se determină din :

$$\delta_{11}x_1 + \delta_{12}x_2 + \Delta_{1P} + \varepsilon = 0$$

$$\delta_{21}x_1 + \delta_{22}x_2 + \Delta_{2P} + \Delta = \varepsilon_0 (1 - \cos \alpha) = 0$$

(7.1-9)

Deplasările ε și Δ în punctul $\varphi = \alpha$ se pot obține în funcție de coeficientul de pat "k" al terenului și se exprimă [77] sub forma :

$$\varepsilon = \frac{M\alpha}{I\alpha k}$$

(7.1-10)

$$\Delta = \frac{N\alpha}{A\alpha k} \cos \alpha$$

Explicitând în (7.1-10)

valorile $M\alpha$, $N\alpha$ din (7.1-8)

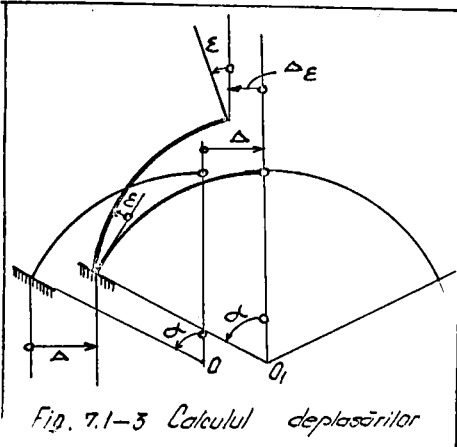


Fig. 7.1-3 Calculul deplasărilor

pentru $\varphi = \alpha$ se obține :

$$\varepsilon = \frac{1}{I\alpha k} [M\alpha + x_1 - x_2 \tau (1 - \cos \alpha)]$$

(7.1-11)

$$\Delta = (N\alpha + x_2 \cos \alpha) \frac{1}{A\alpha k} \cos \alpha$$

Relațiile 7.1-9 se explicitază cu ajutorul expresiilor (7.1-11) după ce în prealabil se transformă în ecuații adimensionale. Pentru aceasta este suficient să se împartă ecuațiile cu respectiv

Efectuând calculele se obține :

$$(\delta_{11})_e x_1^0 + (\delta_{12})_e x_2^0 + (\Delta_{1P})_e = 0$$

(7.1-12)

$$(\delta_{21})_e x_1^0 + (\delta_{22})_e x_2^0 + (\Delta_{2P})_e = 0$$

unde :

$$(\delta_{11})_e = \delta_{11}^0 + \beta i \alpha$$

$$(\delta_{12})_e = \delta_{12}^0 - \beta l \alpha (1 - \cos \alpha)$$

$$(\delta_{22})_e = \delta_{22}^0 + \beta l \alpha (1 - \cos \alpha)^2 + \beta \frac{1}{12L^2} \sqrt[3]{l \alpha} \cos^2 \alpha$$

(7.1-13)

În relațiile (7.1-13), $(\delta_{ij})_e$ simbolizează deplasarea elastică luând în calcul și efectul cedării reazemelor simbolizat prin coeficienții :

$$\beta = \frac{E_{\text{beton}}}{K r} = \frac{E_{\text{beton}}(1 + \frac{1}{\mu_{\text{roci}}})}{E_{\text{rocă}}}$$

$$l \alpha = \frac{J_e}{J_\alpha} = \cos^3 \alpha$$

(7.1-14)

$$L = \frac{r}{d_0}$$

modificarea deplasărilor datorită încărcării exterioare rezultă sub forma :

$$(\Delta_{1q})_e = \Delta_{1q}^0 + \beta l \alpha \left(\frac{M_\alpha^0}{q_0 r^2} \right)$$

$$(\Delta_{2q})_e = \Delta_{2q}^0 + \beta \frac{1}{12L^2} \sqrt[3]{l \alpha} \left(\frac{N_\alpha^0}{q_0 r} \right) \cos \alpha - \beta l \alpha \left(\frac{M_\alpha^0}{q_0 r^2} \right) (1 - \cos \alpha)$$

(7.1-15)

În acest fel ecuațiile generale (7.1-12) rămân, ca formă, neschimbate. În cazul introducerii efectului cedării reazemelor se calculează deplasările după relațiile 7.1-13 ; 7.1-14.

În concluzie, urmărind relațiile în care se introduce efectul cedării reazemelor, se vede că modificările eforturilor depind de :

- geometria secțiunilor prin $l \alpha$, α , L
- mărimea eforturilor $\left(\frac{M_\alpha^0}{q_0 r^2} \right)$; $\left(\frac{N_\alpha^0}{q_0 r} \right)$ pe arcu static

determinat ;

$$\beta = \frac{E_{\text{beton}}(1 + \frac{1}{\mu_{\text{roci}}})}{E_{\text{rocă}}}$$

, raportul modulelor de

rezistență a materialului înbrăcăminții față de cel al rocii.

Pentru un arc dat și un sistem de încărcare, se poate va-

loarea β este singurul parametru care influențează distribuția eforturilor în arcă.

Studiul arceilor, ținând seama și de cedarea reazemelor se poate face pornind de la relațiile 7.1-13 respectiv 7.1-15.

Astfel, determinantul necunoscutelor $(\Delta^{\circ})_e$ se poate scrie :

$$\Delta^{\circ}_e = \Delta^{\circ} + \beta l \alpha S$$

(7.1-16)

unde :

$$S = \delta_{11}^{\circ} (1 - \cos \alpha)^2 + 2 \delta_{12}^{\circ} (1 - \cos \alpha) + \delta_{22}^{\circ}$$

(7.1-17)

Inversarea matricii necunoscutelor se face după relațiile

$$(K_{11}^{\circ})_e = \frac{\delta_{11}^{\circ} + \beta l \alpha}{\Delta^{\circ} + \beta l \alpha S}$$

$$(K_{12}^{\circ})_e = \frac{\delta_{12}^{\circ} - \beta l \alpha (1 - \cos \alpha)}{\Delta^{\circ} + \beta l \alpha S}$$

(7-1-18)

$$(K_{22}^{\circ})_e = \frac{\delta_{22}^{\circ} + \beta l \alpha (1 - \cos \alpha)^2}{\Delta^{\circ} + \beta l \alpha S}$$

Relațiile de mai sus interesează în mod deosebit prin limitele lor $\beta \rightarrow 0$ respectiv $\beta \rightarrow \infty$. În primul caz încastrarea se consideră perfectă pe cînd în cazul doi se consideră că reea are elasticitate foarte mică și nu se poate conta în calcule pe ea.

Se vede că :

- pentru $\beta \rightarrow 0$ rezultă :

$$(K_{ij}^{\circ})_e \rightarrow K_{ij}^{\circ}$$

(7.1-19)

- pentru $\beta \rightarrow \infty$ rezultă :

$$(K_{11}^{\circ})_e = \frac{1}{S}; \quad (K_{12}^{\circ})_e = -\frac{1 - \cos \alpha}{S}; \quad (K_{22}^{\circ})_e = \frac{(1 - \cos \alpha)^2}{S}$$

(7.1-20)

Efectuînd calculul, în mod analog se obține :

$$\chi_1^{\circ} = \frac{\delta_{11}^{\circ} \Delta_{22}^{\circ} - \delta_{22}^{\circ} \Delta_{12}^{\circ} + \beta l \alpha R}{\Delta^{\circ} + \beta l \alpha S}$$

(7.1-21)

$$x_2 = \frac{\delta_{12}^{\circ} \Delta_{1q}^{\circ} - \delta_{11}^{\circ} \Delta_{2q}^{\circ} + \beta l \alpha Q}{\Delta^{\circ} + \beta l \alpha S}$$

unde :

$$R = -(1 - \cos \alpha) \Delta_{2q}^{\circ} - (1 - \cos \alpha)^2 \Delta_{1q}^{\circ} + \left(\frac{M_{\alpha}}{q_0 r^2} \right) \left[\delta_{22}^{\circ} + \delta_{12}^{\circ} (1 - \cos \alpha) \right]$$

$$Q = - \left[\Delta_{2q}^{\circ} + (1 - \cos \alpha) \Delta_{1q}^{\circ} \right] + \left(\frac{M_{\alpha}}{q_0 r^2} \right) \left[\delta_{12}^{\circ} + \delta_{11}^{\circ} (1 - \cos \alpha) \right] \quad (7.1-22)$$

Relațiile de mai sus arată că pentru $\beta \rightarrow \infty$ eforturile x_1 , x_2 tind asimptotic către valorile :

$$x_{1\beta \rightarrow \infty}^{\circ} \rightarrow \frac{R}{S}; \quad x_{2\beta \rightarrow \infty}^{\circ} \rightarrow \frac{Q}{S} \quad (7.1-23)$$

Eforturile totale se vor scrie după relațiile 7.1-8.

Arcile cu moment de inerție variabil se impun adesea de așa formă [48] prin alegerea parametrului "a" astfel încît efortul normal maxim la choia și nașterea arcului să fie acelaș:

$$\sigma_{\varphi=0} = \sigma_{\varphi=\alpha} \quad (7.1-24)$$

Impunînd arcilor această condiție rezultă economii de material față de arcile cu moment de inerție constant, ce pot ajunge pînă la 15 %. Din acest punct de vedere apare justificată folosirea acestor tipuri de arce la centrale cu volum important de lucrări.

§ 7.2.- Calculul eforturilor din încărcări curente

Technica de calcul este asemănătoare capitolelor anterioare astfel că se conduce calculul numai pentru încărcarea provenită din împingerea muntelui fig.7.2-1, urînd ca în celelalte cazuri să se exprime deplasările în raport cu valoarea integralelor 7.1.4 sau a altora ce pot scrie în funcție de natura sarcinii.

Pentru cazul din figură :

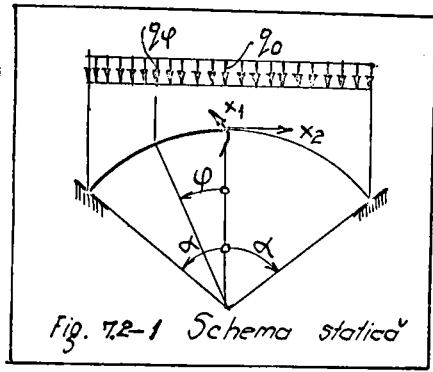


Fig. 7.2-1 Schema statică

Se scriu eforturile statice determinate într-o secțiune curentă

$$\begin{aligned} \frac{M_{\varphi}^0}{q_0 r^2} &= -\frac{1}{2} \sin^2 \varphi \\ \frac{N_{\varphi}^0}{q_0 r} &= -\sin^2 \varphi \\ \frac{T_{\varphi}^0}{q_0 r} &= \sin \varphi \cos \varphi \end{aligned} \quad (7.2-1)$$

- Se calculează integralele definite de (7.1-6) :

$$\begin{aligned} I_{1\varphi} &= \int_0^{\alpha} i_{\varphi} \left(\frac{M_{\varphi}^0}{q_0 r^2} \right) d\varphi = \int_0^{\alpha} -\frac{1}{2} \sin^2 \varphi \cos^3 a \varphi d\varphi \\ I_{2\varphi} &= \int_0^{\alpha} -\frac{1}{2} \sin^2 \varphi \cos \varphi \cos^3 a \varphi d\varphi = -\int_0^{\alpha} \frac{1}{2} \cdot \frac{1}{4} (\cos \varphi - \cos 3\varphi) \left(\frac{1}{4} \cos 3a \varphi + \frac{3}{4} \cos a \varphi \right) d\varphi \end{aligned} \quad (7.2-2)$$

Efectuînd calculele se obține :

$$\begin{aligned} I_{1\varphi} &= -\frac{1}{2} \left(\frac{c}{4} - \frac{A}{8} \right) \\ I_{2\varphi} &= -\frac{1}{8} \left[\frac{B}{8} - \frac{1}{4} \frac{L}{2} - \frac{3}{4} \frac{0}{6} \right] \end{aligned} \quad (7.2-2)$$

În relațiile 7.2-2 s-au folosit notațiile 7.1-4 și s-au

introdus integralele definite sub forma :

$$\begin{aligned} 0 &= 6 \int_0^{\alpha} \cos a \varphi \cos 3\varphi d\varphi = 3 \frac{\sin(a+3)\alpha}{3+a} + 3 \frac{\sin(3-a)\alpha}{3-a} \\ L &= 2 \int_0^{\alpha} \cos 3a \varphi \cos 3\varphi d\varphi = \frac{\sin(3+3a)\alpha}{3+3a} + \frac{\sin(3-3a)\alpha}{3-3a} \end{aligned} \quad (7.2-3)$$

Integralele din (7.2-3) pot fi ușor calculate și întoc-

late analog valorilor A, B, C.

Deplasările din încărcare au valorile :

$$\Delta_{1\varphi} = I_1\varphi = -\frac{1}{2}\left(\frac{C}{4} - \frac{A}{8}\right)$$

$$\Delta_{2\varphi} = I_2\varphi - I_1\varphi = -\frac{1}{8}\left(\frac{B}{32} - \frac{0}{8} - \frac{C}{2} + \frac{A}{4}\right) \quad (7.2-4)$$

Necunoscutele adimensionale se scriu cu ajutorul relațiilor 7.1-7 iar solicitările totale cu ajutorul relațiilor 7.1-8.

In concluzie :

→ Bolțile galeriilor subterane efectuate în scopul execuției centralelor hidroelectrice vor trebui calculate ținând cont de raportul modului de elasticitate al betonului și al rocii. Mărimea eforturilor variază foarte mult în raport cu valoarea ce caracterizează acest raport.

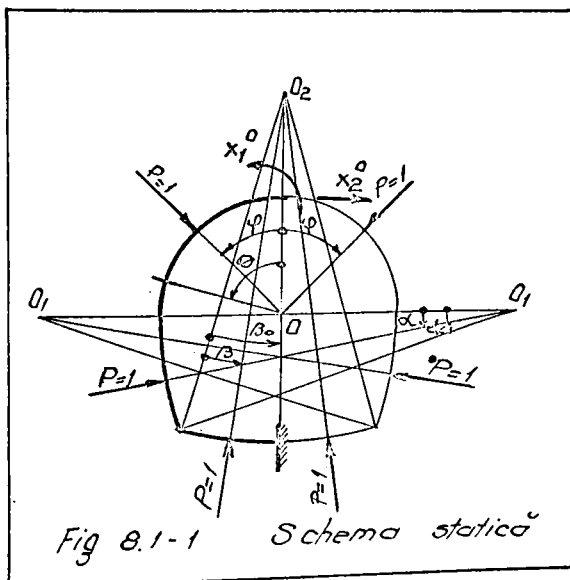
- Pentru deschideri mari din bolților se pot pune condiții suplimentare privitoare la alegerea variației momentului de inerție, obținându-se economii ale volumului lucrării până la 15 %.

Capitolul VIII - LINII DE INFLUENȚA ALE EFORTURILOR
PENTRU STRUCTURILE FOLOSITE LA
GALERII SUBTERANE

§ 8-1.- Linii de influență ale necunoscutele pentru
secțiunea de formă specială

1.- Bazele de calcul

Pentru încărcări ce nu au fost luate în considerare în



capitolele precedente se pot scrie ușor solicitările dacă se cunosc liniile de influență /84/ ale necunoscutele dimensionale x_1^0 ; x_2^0 (fig.8.1) pentru o poziție oarecare a forței, definită de un unghi curent $\theta(\gamma, \alpha; \beta)$ ce poate fi în zona de variație φ , α sau β . În

cele ce urmează se determină liniile de influență pentru o schemă simetrică, considerată încastrată la partea inferioară și încărcată simetric /85/. Deoarece încărcările acestor construcții sînt simetrice, în cele ce urmează, linia de influență se construiește pentru cazul cînd forța unitară are poziție simetrică. Ordinatele liniei de influență depind de direcția forței pe contur.

În cazul cînd forța calcă într-o poziție $\varphi \in (0; \frac{\pi}{2})$ expresiile solicitărilor pe schema static nedeterminată (adoptînd convenția de semne din cap. III) se pot scrie după cum urmează (vezi fig. 8-1) :

- pentru

$$\Theta \in (0, \varphi) ; \quad \frac{M_{\Theta}^{\circ}}{P} = 0 ; \quad \frac{N_{\Theta}^{\circ}}{P} = 0 ; \quad \frac{T_{\Theta}^{\circ}}{P} = 0 \quad (8.1-1)$$

- pentru $\Theta \in (\varphi; \frac{\pi}{2})$

$$\left(\frac{M_{\Theta}^{\circ}}{P}\right) = -\sin(\Theta - \varphi) ; \quad \left(\frac{N_{\Theta}^{\circ}}{P}\right) = -\sin(\Theta - \varphi) ; \quad \left(\frac{T_{\Theta}^{\circ}}{P}\right) = \cos(\Theta - \varphi) \quad (8.1-2)$$

La limita intervalului, pentru $\varphi = \frac{\pi}{2}$ rezultă :

$$\frac{M_{\frac{\pi}{2}}^{\circ}}{P} = -\cos \varphi ; \quad \frac{N_{\frac{\pi}{2}}^{\circ}}{P} = -\cos \varphi ; \quad \frac{T_{\frac{\pi}{2}}^{\circ}}{P} = \sin \varphi \quad (8.1-3)$$

În funcție de aceste ^{elemente} cîntități relațiile 4.1-32 ; 4.1-35 se pot scrie eforturile în zonele $\alpha \in (0; \alpha_0)$ respectiv $\beta \in (0; \beta_0)$

- pentru $\alpha \in (0, \alpha_0)$

$$\begin{aligned} \left(\frac{M_{\alpha}^{\circ}}{P_r}\right) &= \left(\frac{M_{\frac{\pi}{2}}^{\circ}}{P}\right) - \left(\frac{N_{\frac{\pi}{2}}^{\circ}}{P}\right) K_1 (1 - \cos \alpha) - \left(\frac{T_{\frac{\pi}{2}}^{\circ}}{P}\right) K_1 \sin \alpha \\ \left(\frac{N_{\alpha}^{\circ}}{P}\right) &= \left(\frac{N_{\frac{\pi}{2}}^{\circ}}{P}\right) \cos \alpha - \left(\frac{T_{\frac{\pi}{2}}^{\circ}}{P}\right) \sin \alpha \\ \left(\frac{T_{\alpha}^{\circ}}{P}\right) &= \left(\frac{N_{\frac{\pi}{2}}^{\circ}}{P}\right) \sin \alpha + \left(\frac{T_{\frac{\pi}{2}}^{\circ}}{P}\right) \cos \alpha \end{aligned} \quad (8.1-4)$$

la limita intervalului făcînd $\alpha = \alpha_0 = 19^{\circ} 25'$ și $K_1 = K_2 = 1$ se obțin valorile :

$$\begin{aligned} \left(\frac{M_{\alpha_0}^{\circ}}{P_r}\right) &= \left(\frac{M_{\frac{\pi}{2}}^{\circ}}{P}\right) - 0,171 \left(\frac{N_{\frac{\pi}{2}}^{\circ}}{P}\right) - \left(\frac{T_{\frac{\pi}{2}}^{\circ}}{P}\right) ; & \left(\frac{N_{\alpha_0}^{\circ}}{P}\right) &= 0,943 \left(\frac{N_{\frac{\pi}{2}}^{\circ}}{P}\right) - 0,333 \left(\frac{T_{\frac{\pi}{2}}^{\circ}}{P}\right) \\ \left(\frac{T_{\alpha_0}^{\circ}}{P}\right) &= 0,333 \left(\frac{N_{\frac{\pi}{2}}^{\circ}}{P}\right) + 0,943 \left(\frac{T_{\frac{\pi}{2}}^{\circ}}{P}\right) \end{aligned} \quad (8.1-4)$$

În funcție de acestea se calculează eforturile în intervalul următor.

- pentru $\beta \in (0, \beta_0)$

$$\left(\frac{M_{\beta}^{\circ}}{P_r}\right) = \left(\frac{M_{\alpha_0}^{\circ}}{P_r}\right) - \left(\frac{N_{\alpha_0}^{\circ}}{P}\right) K_2 \left[\sin(\alpha_0 + \beta) - \sin(\alpha_0 + \beta_0 - \beta) \right] - \frac{T_{\alpha_0}^{\circ}}{P} K_2 \left[\cos(\alpha_0 + \beta_0 - \beta) - \cos(\alpha_0 + \beta) \right]$$

$$\left(\frac{N_{\beta}^{\circ}}{P}\right) = \left(\frac{N_{\alpha_0}^{\circ}}{P}\right) \sin(\alpha_0 + \beta_0 - \beta) - \left(\frac{T_{\alpha_0}^{\circ}}{P}\right) \cos(\alpha_0 + \beta_0 - \beta)$$

$$\left(\frac{T_{\beta}^{\circ}}{P}\right) = \left(\frac{N_{\alpha_0}^{\circ}}{P}\right) \cos(\alpha_0 + \beta_0 - \beta) + \left(\frac{T_{\alpha_0}^{\circ}}{P}\right) \sin(\alpha_0 + \beta_0 - \beta)$$

(8.1-5)

Deplasările dimensionale se fac după relațiile 4.1-11

după cum urmează :

$$\Delta_{1P}^{\circ} = I_{1\varphi} \dot{\varphi} + K_1 I_{1\alpha} + K_2 I_{1\beta} \dot{\beta}$$

$$\Delta_{2P}^{\circ} = -(I_{1\varphi} - I_{2\varphi}) \dot{\varphi} - (K_1 I_{1\alpha} + K_2 I_{2\alpha}) \dot{\alpha} - [K_2(1 + K_1 \sin \alpha_0 - K_2 \cos \beta_0) I_{1\beta} + K_2^2 I_{2\beta}] \dot{\beta}$$

(8.1-6)

unde :

$$I_{1\alpha} = \int_0^{\alpha_0} \left(\frac{M_{\alpha}^{\circ}}{P \cdot r}\right) d\alpha \quad ; \quad I_{2\alpha} = \int_0^{\alpha_0} \left(\frac{M_{\alpha}^{\circ}}{P \cdot r}\right) \sin \alpha d\alpha$$

$$I_{1\beta} = \int_0^{\beta_0} \left(\frac{M_{\beta}^{\circ}}{P \cdot r}\right) d\beta \quad ; \quad I_{2\beta} = \int_0^{\beta_0} \left(\frac{M_{\beta}^{\circ}}{P \cdot r}\right) \cos(\beta_0 - \beta) d\beta$$

(8.1-7)

Necunoscutele adimensionale se vor obține din relațiile:

$$X_1^{\circ} = K_{12}^{\circ} \Delta_{2P}^{\circ} - K_{22}^{\circ} \Delta_{1P}^{\circ}$$

(8.1-8)

$$X_2^{\circ} = K_{12}^{\circ} \Delta_{1P}^{\circ} - K_{11}^{\circ} \Delta_{2P}^{\circ}$$

Relațiile (8.1-8) permit traserea liniei de influență a necunoscutelor adimensionale pentru cazul cînd forța calcă în zona $\varphi \in (0; \frac{\pi}{2})$

Pentru cazul cînd forța calcă în zona $\varphi \in (0; \frac{\pi}{2})$ se modifică expresiile momentelor astfel :

- pentru $\varphi \in (0; \frac{\pi}{2})$

$$M_{\varphi}^{\circ} = 0 \quad ; \quad N_{\varphi}^{\circ} = 0 \quad ; \quad T_{\varphi}^{\circ} = 0$$

(8.1-9)

- pentru $\theta \in (0; \alpha_0)$

$$\left(\frac{M_{\theta}^{\circ}}{P \cdot r}\right) = -K_1 \sin(\theta - \alpha)$$

(8.1-10)

$$\left(\frac{N_{\theta}^{\circ}}{P}\right) = -\sin(\theta - \alpha)$$

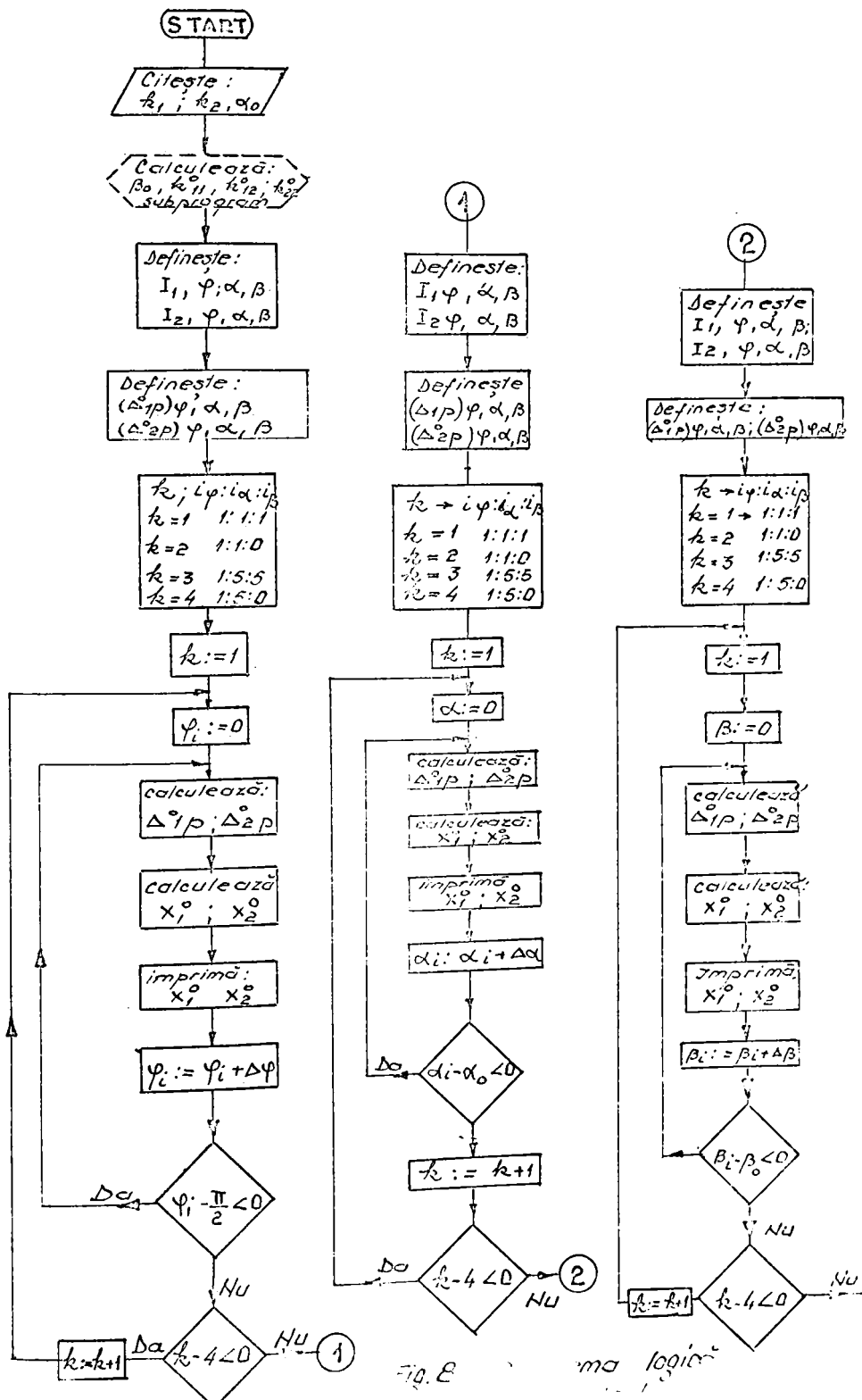


Fig. 8

ma logică

La limita intervalului pentru $\theta = \alpha_0$.

$$\left(\frac{M_{\alpha_0}^{\circ}}{P \cdot r}\right) = -k_1 \sin(\alpha - \alpha_0); \quad \left(\frac{N_{\alpha_0}^{\circ}}{P}\right) = -\sin(\alpha_0 - \alpha)$$

$$\left(\frac{T_{\alpha_0}^{\circ}}{P}\right) = \cos(\alpha_0 - \alpha) \quad (8.1-11)$$

- pentru $\theta \in (0; \beta_0)$ relațiile sub formă generală rămân ca și scrise sub numărul (8.1-5), de asemenea relațiile 8.1-6 ; 8.1-7 ; 8.1-8 rămân valabile în noile condiții.

Pentru cazul cînd forța calcă în porțiunea $\theta \in (0; \beta_0)$ se obțin eforturile :

$$\begin{aligned} & \text{- pentru } \varphi \in (0; \frac{\pi}{2}) \\ & M_{\varphi}^{\circ} = N_{\varphi}^{\circ} = T_{\varphi}^{\circ} = 0 \end{aligned} \quad (8.1-12)$$

$$\begin{aligned} & \text{- pentru } \alpha \in (0; \frac{\pi}{2}) \\ & M_{\alpha}^{\circ} = N_{\alpha}^{\circ} = T_{\alpha}^{\circ} = 0 \end{aligned} \quad (8.1-13)$$

$$\theta \in (0; \beta_0)$$

$$\begin{aligned} \frac{M_{\theta}^{\circ}}{P \cdot r} &= -k_2 \sin(\theta - \beta) \\ \frac{N_{\theta}^{\circ}}{P} &= -\sin(\theta - \beta) \end{aligned} \quad (8.1-14)$$

$$\frac{T_{\theta}^{\circ}}{P} = \cos(\theta - \beta)$$

Relațiile 8.1-6 ; 8.1-7 ; 8.1-8 rămîn valabile sub formă generală.

Calculul valorilor liniilor de influență pentru cazul cînd forța calcă pe rînd în toate zonele poate fi programată după următoarea schemă logică ^[86, 87] fig. 8.1-2. Schemă poate fi aplicată și pentru cazul cînd forța calcă orizontal sau vertical de-a lungul conturului.

2.- Linia de influență pentru cazul forței normale

- Pentru $\varphi \in (0; \frac{\pi}{2})$ rezultă prin (8.1-7) U (8.1-2) :

$$I_{1\varphi} = \int_{\varphi}^{\frac{\pi}{2}} \left(\frac{M_{\theta}}{P\tau} \right) d\theta = \int_{\varphi}^{\frac{\pi}{2}} -\sin(\theta - \varphi) d\theta = -(1 - \sin\varphi)$$

$$I_{2\varphi} = \int_{\varphi}^{\frac{\pi}{2}} \left(\frac{M_{\theta}^{\circ}}{P\tau} \right) \cos\theta d\theta = -\frac{1}{2} \left[\cos\varphi - \left(\frac{\pi}{2} - \varphi \right) \sin\varphi \right]$$
(8.1-15)

- pentru $\alpha \in (0; \alpha_0)$ rezultă prin (8.1-7) U (8.1-4)

$$I_{1\alpha} = \left(\frac{M_{\alpha}^{\circ}}{P\tau} \right) \alpha_0 - \left(\frac{N_{\alpha}^{\circ}}{P} \right) K_1 (\alpha_0 - \sin\alpha_0) - \left(\frac{T_{\alpha}^{\circ}}{P} \right) K_1 (1 - \cos\alpha_0)$$

$$I_{2\alpha} = \left(\frac{M_{\alpha}^{\circ}}{P\tau} \right) (1 - \cos\alpha_0) - \left(\frac{N_{\alpha}^{\circ}}{P} \right) K_1 (1 - \cos\alpha_0 - \frac{1}{2} \sin^2\alpha_0) -$$

$$- \left(\frac{T_{\alpha}^{\circ}}{P} \right) K_1 \frac{1}{2} (\alpha_0 - \sin\alpha_0 \cos\alpha_0)$$
(8.1-15)

Pentru cazul particular, studiat în cap.4, în care :

; $K_1 = 3$; $K_2 = 3$; $K_1 \sin\alpha_0 = 1$ relațiile de mai sus devin :

$$I_{1\alpha} = 0,939 \left(\frac{M_{\alpha}^{\circ}}{P\tau} \right) - 0,0165 \left(\frac{N_{\alpha}^{\circ}}{P} \right) - 0,171 \left(\frac{T_{\alpha}^{\circ}}{P} \right)$$

$$I_{2\alpha} = 0,057 \left(\frac{M_{\alpha}^{\circ}}{P\tau} \right) - 0,004 \left(\frac{N_{\alpha}^{\circ}}{P} \right) - 0,097 \left(\frac{T_{\alpha}^{\circ}}{P} \right)$$
(8.1-15 a)

- pentru $\beta \in (0; \beta_0)$

Se calculează în prealabil :

$$\left(\frac{M_{\alpha_0}^{\circ}}{P\tau} \right) = \left(\frac{M_{\beta}^{\circ}}{P\tau} \right) - \left(\frac{N_{\beta}^{\circ}}{P} \right) K_1 (1 - \cos\alpha_0) - \left(\frac{T_{\beta}^{\circ}}{P} \right) K_1 \sin\alpha_0$$
(8.1-16)

pentru cazul studiat :

$$\left(\frac{M_{\alpha_0}^{\circ}}{P\tau} \right) = \left(\frac{M_{\beta}^{\circ}}{P\tau} \right) - 0,171 \left(\frac{N_{\beta}^{\circ}}{P} \right) - \left(\frac{T_{\beta}^{\circ}}{P} \right)$$
(8.1-16 a)

În funcție de relațiile de mai sus se calculează :

$$I_{1\beta} = \int_0^{\beta_0} \left(\frac{M_{\beta}^{\circ}}{P\tau} \right) d\beta = \left(\frac{M_{\alpha_0}^{\circ}}{P\tau} \right) \beta_0 - \left(\frac{N_{\alpha_0}^{\circ}}{P} \right) K_2 [\beta_0 \sin(\alpha_0 + \beta_0) + \cos(\alpha_0 + \beta_0) - \cos\alpha_0] +$$

$$+ \left(\frac{T_{\alpha_0}^{\circ}}{P} \right) K_2 [\beta_0 \cos(\alpha_0 + \beta_0) + \sin\alpha_0 - \sin(\alpha_0 + \beta_0)]$$

$$I_{2\beta} = \int_0^{\beta_0} \left(\frac{M_{\beta}^{\circ}}{P\tau} \right) \cos(\beta_0 - \beta) d\beta = \left(\frac{M_{\alpha_0}^{\circ}}{P\tau} \right) \sin\beta_0 - \left(\frac{N_{\alpha_0}^{\circ}}{P} \right) \frac{K_2}{2} [\sin(\alpha_0 + \beta_0) \sin\beta_0 - \beta_0 \sin\alpha_0] -$$

$$- \left(\frac{T_{\alpha_0}^{\circ}}{P} \right) \frac{K_2}{2} [\beta_0 \cos\alpha_0 - \sin\beta_0 \cos(\alpha_0 + \beta_0)]$$
(8.1-17)

pentru $K_1 = K_2 = 3$; $K_1 \sin \alpha_0 = 1$ rezultă :

$$I_{1\beta} = 0,280 \left(\frac{M_{\alpha_0}^0}{P\tau} \right) - 0,102 \left(\frac{N_{\alpha_0}^0}{P} \right) - 0,054 \left(\frac{T_{\alpha_0}^0}{P} \right)$$

$$I_{2\beta} = 0,277 \left(\frac{M_{\alpha_0}^0}{P\tau} \right) - 0,101 \left(\frac{N_{\alpha_0}^0}{P} \right) - 0,057 \left(\frac{T_{\alpha_0}^0}{P} \right) \quad (8.1-17a)$$

Cu aceste date se poate calcula ordonatele lunci de influență

- pentru $\psi \in (0; \frac{\pi}{2})$

$$\Delta_{1\psi}^0 = I_{1\psi} = -(1 - \sin \psi)$$

$$\Delta_{2\psi}^0 = -(I_{1\psi} - I_{2\psi}) = -\left\{ \left[1 - \frac{1}{2} \left(\frac{\pi}{2} - \psi \right) \right] \sin \psi - \left(1 - \frac{1}{2} \cos \psi \right) \right\}$$

$$\Delta_{1\alpha}^0 = 3I_{1\alpha} = 1,017 \left(\frac{M_{\frac{\pi}{2}}^0}{P\tau} \right) - 0,049 \left(\frac{N_{\frac{\pi}{2}}^0}{P} \right) - 0,513 \left(\frac{T_{\frac{\pi}{2}}^0}{P} \right)$$

$$\Delta_{2\alpha}^0 = -(3I_{1\alpha} + 9I_{2\alpha}) I_{\alpha} = -\left[1,530 \left(\frac{M_{\frac{\pi}{2}}^0}{P\tau} \right) - 0,085 \left(\frac{N_{\frac{\pi}{2}}^0}{P} \right) - 0,846 \left(\frac{T_{\frac{\pi}{2}}^0}{P} \right) \right]$$

(8.1-18)

$$\Delta_{1\beta}^0 = 3I_{1\beta} = 0,840 \left(\frac{M_{\alpha_0}^0}{P\tau} \right) - 0,306 \left(\frac{N_{\alpha_0}^0}{P} \right) - 0,162 \left(\frac{T_{\alpha_0}^0}{P} \right)$$

$$\Delta_{2\beta}^0 = (-2,649I_{1\beta} + 9I_{2\beta}) = -1,751 \left(\frac{M_{\alpha_0}^0}{P\tau} \right) + 0,639 \left(\frac{N_{\alpha_0}^0}{P} \right) + 0,335 \left(\frac{T_{\alpha_0}^0}{P} \right)$$

- pentru $\alpha \in (0; \alpha_0)$

(8.1-19)

Celelalte valori se pot calcula ținând cont de relațiile

1e (8.1-19)

$$I_{1\alpha} = \int_{\alpha}^{\alpha_0} \left(\frac{M_{\theta}^0}{P\tau} \right) d\theta = \int_{\alpha}^{\alpha_0} -K_1 \sin(\theta - \alpha) d\theta = -K_1 [1 - \cos(\alpha_0 - \alpha)]$$

$$I_{2\alpha} = \int_{\alpha}^{\alpha_0} \left(\frac{M_{\theta}^0}{P\tau} \right) \sin \theta d\theta = -K_1 \int_{\alpha}^{\alpha_0} \sin(\theta - \alpha) \sin \theta d\theta = -\frac{K_1}{2} [\sin(\alpha_0 - \alpha) \cos \alpha_0 + (\alpha_0 - \alpha) \cos \alpha] \quad (8.1-20)$$

Expresiile eforturilor la limita intervalului $\alpha = \alpha_0$ se scriu după relația 8.1-10

$$\left(\frac{M_{\alpha_0}^{\circ}}{P \cdot r}\right) = -K_1 \sin(\alpha_0 - \alpha)$$

$$\left(\frac{N_{\alpha_0}^{\circ}}{P}\right) = -\sin(\alpha_0 - \alpha)$$

$$\left(\frac{T_{\alpha_0}^{\circ}}{P}\right) = \cos(\alpha_0 - \alpha)$$

(8.1-21)

Valorile $I_{1\beta}$; $I_{2\beta}$ se iau conform relațiilor (8.1-17) .

Deplasările edimensionale sînt :

$$\Delta_{1\varphi}^{\circ} = 0 ; \quad \Delta_{2\varphi}^{\circ} = 0$$

$$\Delta_{1\alpha}^{\circ} = -K_1^2 [1 - \cos(\alpha_0 - \alpha)] = -9 [1 - \cos(\alpha_0 - \alpha)]$$

$$\Delta_{2\alpha}^{\circ} = -[K_1 I_{1\alpha} + K_2^2 I_{2\alpha}] = -\left\{ -9 [1 - \cos(\alpha_0 - \alpha)] - \right. \\ \left. - \frac{27}{2} [-\sin(\alpha_0 - \alpha) \cos \alpha_0 + (\alpha_0 - \alpha) \cos \alpha] \right\} \quad (8.1-22)$$

$\Delta_{1\beta}^{\circ}$; $\Delta_{2\beta}^{\circ}$ sînt analoage celor din 8.1-18

- pentru $\beta \in (0, \beta_0)$

$$\left(\frac{M_{\theta}^{\circ}}{P r}\right) = -K_2 \sin(\theta - \beta) \quad (8.1-23)$$

Prin integrare se obține :

$$I_{1\beta} = \int_{\beta}^{\beta_0} \left(\frac{M_{\theta}^{\circ}}{P r}\right) d\theta = \int_{\beta}^{\beta_0} -K_2 \sin(\theta - \beta) d\theta = -K_2 [1 - \cos(\beta_0 - \beta)] \quad (8.1-24)$$

$$I_{2\beta} = \int_{\beta}^{\beta_0} -K_2 \sin(\theta - \beta) \cos(\beta_0 - \theta) d\theta = -\frac{K_2}{2} [(\beta_0 - \beta) \sin(\beta_0 - \beta)]$$

Valurile deplasărilor :

$$\Delta_{1\varphi}^{\circ} = 0 ; \quad \Delta_{1\alpha}^{\circ} = 0 ; \quad \Delta_{1\beta}^{\circ} = -K_2^2 [1 - \cos(\beta_0 - \beta)]$$

$$\Delta_{2\varphi}^{\circ} = 0 ; \quad \Delta_{2\alpha}^{\circ} = 0 ; \quad \Delta_{2\beta}^{\circ} = -(-2,649 I_{1\beta} + 9 I_{2\beta}) \quad (8.1-25)$$

In toate cazurile se calculează :

$$\Delta_{1p}^{\circ} = \Delta_{1\varphi}^{\circ} i_{\varphi} + \Delta_{1\alpha}^{\circ} i_{\alpha} + \Delta_{1\beta}^{\circ} i_{\beta}$$

$$\Delta_{2p}^{\circ} = \Delta_{2\varphi}^{\circ} i_{\varphi} + \Delta_{2\alpha}^{\circ} i_{\alpha} + \Delta_{2\beta}^{\circ} i_{\beta}$$

(8.1-26)

și în final :

$$X_1^0 = K_{12}^0 \Delta_{2P}^0 - K_{22}^0 \Delta_{1P}$$

$$X_2^0 = K_{12}^0 \Delta_{1P}^0 - K_{11}^0 \Delta_{2P}$$

(8.1-27)

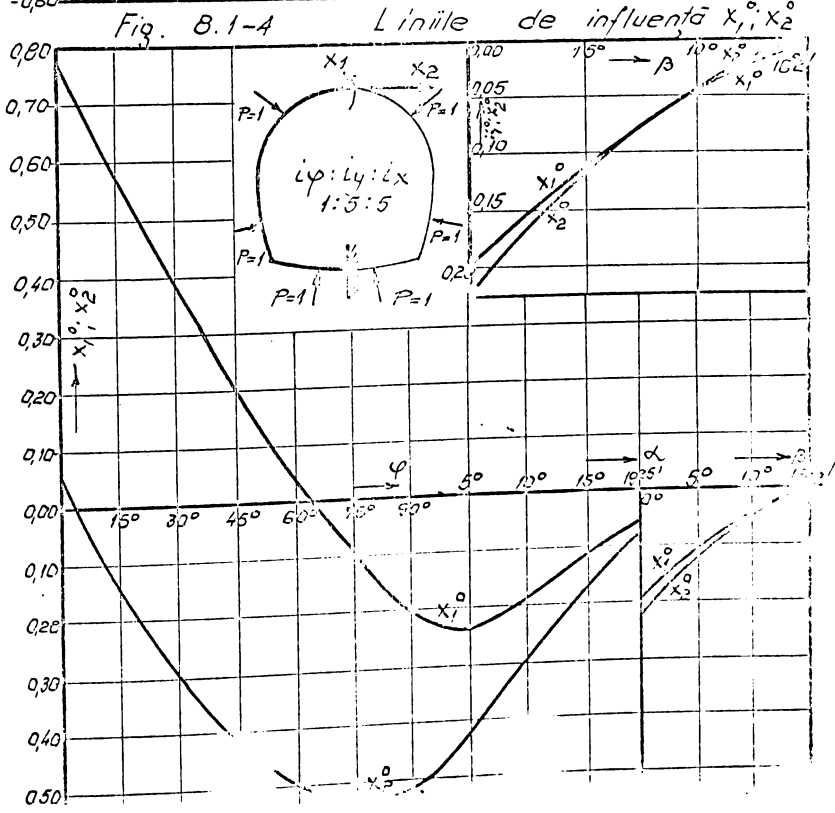
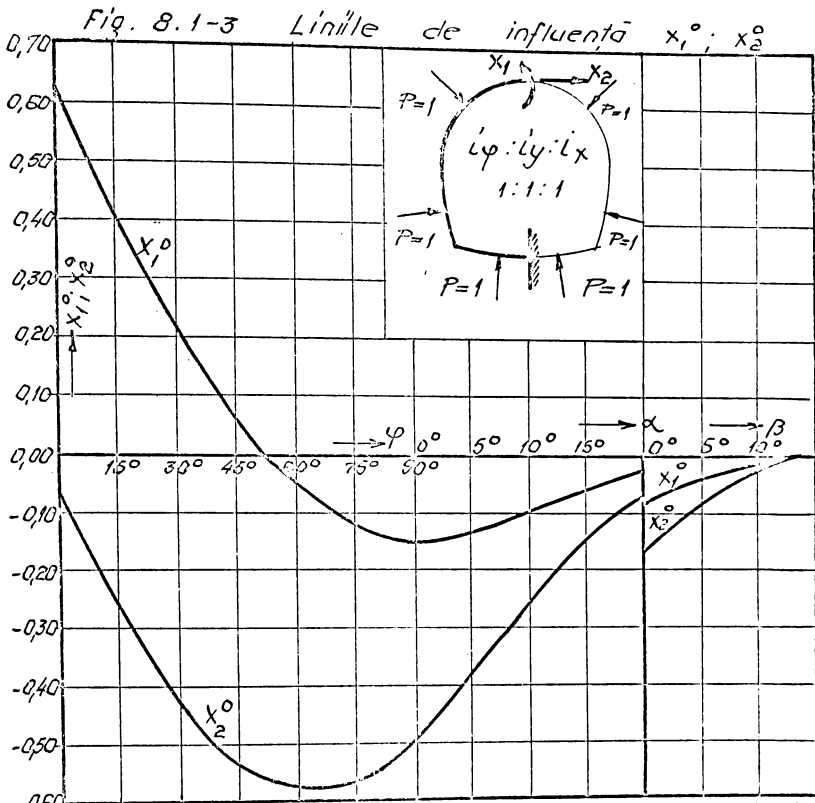
În tabelul 8.1-1 sînt calculate valorile liniei de influență . Reprezentarea grafică este dată în fig.8.1-3 ; 8.1-4 ; 8.1-5 ; 8.1-6 .

Pentru alte tipuri de încărcări, ridicarea ordonatelor liniei de influență este analoagă.

În situația în care trebuie calculată o structură la mai multe situații de încărcări este de preferat să se ridice linia de influență. Calculul eforturilor, avînd linia de influență, devine foarte simplu.

Valerile liniilor de influență x_1^0, x_2^0 . Inarcare radială Tabel 8.1-1

| | φ in grade sexagesimale | | | | | | | | | | α in grade sexagesimale | | | β in grade sexagesimale | | |
|------|---------------------------------|--------|--------|--------|--------|--------|--------|--------|--------|--------|--------------------------------|--------|--------|-------------------------------|--------|--------|
| | 0° | 15° | 30° | 45° | 60° | 75° | 90° | 0° | 5° | 10° | 15° | 19°25' | 0° | 5° | 10° | 16°21' |
| 1/44 | x_1^0 | 0,631 | 0,410 | 0,214 | 0,065 | -0,056 | -0,123 | -0,152 | -0,133 | -0,099 | -0,058 | -0,029 | -0,085 | -0,046 | -0,013 | 0,000 |
| 1/11 | x_2^0 | -0,042 | -0,257 | -0,423 | -0,532 | -0,577 | -0,555 | -0,504 | -0,385 | -0,259 | -0,145 | -0,065 | -0,166 | -0,284 | -0,429 | 0,000 |
| 1/10 | x_1^0 | -0,464 | 0,210 | 0,013 | -0,127 | -0,191 | -0,202 | -0,163 | -0,120 | -0,053 | -0,006 | 0,000 | — | — | — | — |
| 1/5 | x_2^0 | 0,365 | -0,603 | -0,743 | -0,796 | -0,741 | -0,620 | -0,452 | -0,285 | -0,125 | -0,020 | 0,000 | — | — | — | — |
| 1/50 | x_1^0 | +0,763 | 0,578 | 0,386 | 0,202 | 0,037 | -0,096 | -0,210 | -0,241 | -0,196 | -0,114 | -0,060 | -0,195 | -0,114 | -0,049 | 0,000 |
| 1/50 | x_2^0 | +0,075 | -0,118 | -0,285 | -0,413 | -0,497 | -0,529 | -0,519 | -0,428 | -0,299 | -0,172 | -0,083 | -0,222 | -0,117 | -0,043 | 0,000 |
| 1/50 | x_1^0 | 0,506 | 0,192 | -0,058 | -0,250 | -0,370 | -0,411 | -0,390 | -0,326 | -0,144 | -0,008 | 0,000 | — | — | — | — |
| 1/50 | x_2^0 | -0,298 | -0,502 | -0,772 | -0,881 | -0,878 | 0,789 | -0,626 | -0,438 | -0,193 | -0,022 | 0,000 | — | — | — | — |



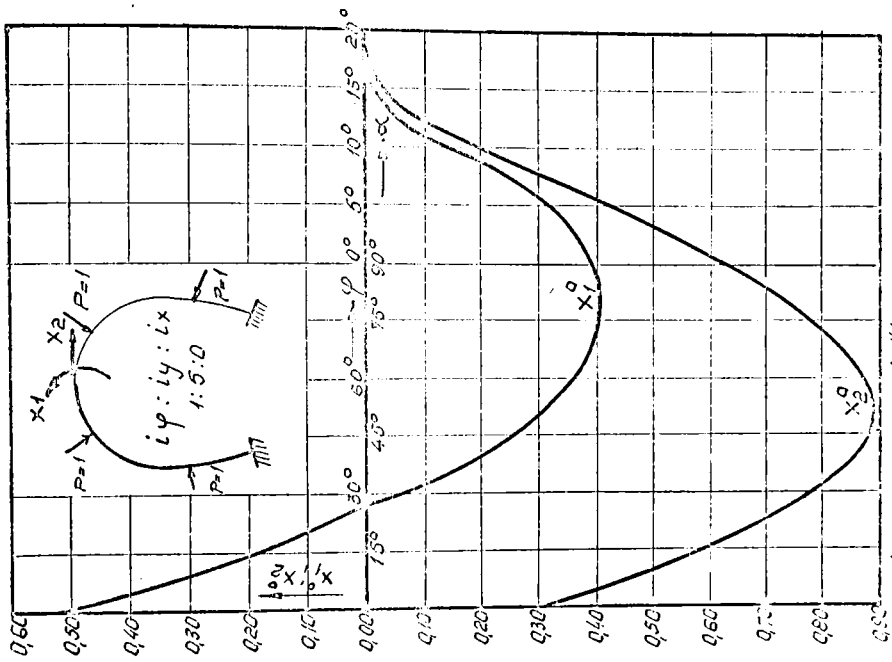


Fig. 8.1-5 Linille de influență X_1^0, X_2^0

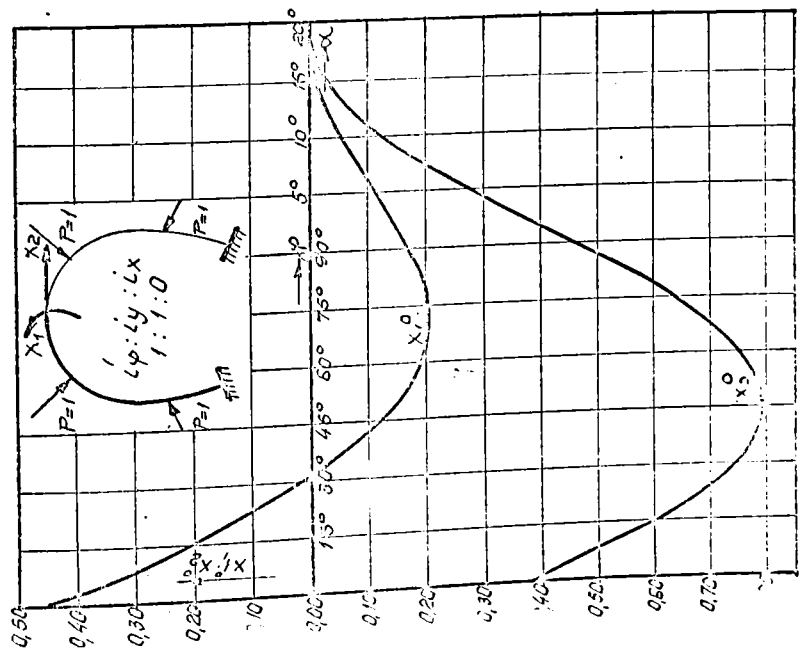
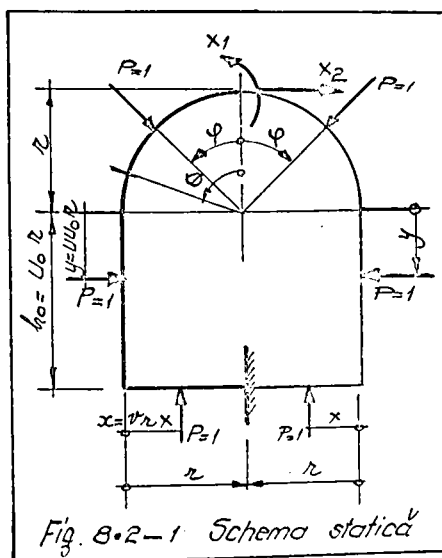


Fig. 8.1-6 Linille de influență X_1^0, X_2^0

§ 8-2 - Linii de influență ale necunoscutei ponton
secțiunea "înălțare de cas"

1.- Bezelo de calcul

Încărcirile acestei structuri fiind simetrice se va lua



în discuție linia de influență a unei încărceri simetrice în raport cu axa verticală. Schema statică se consideră încastrată la partea inferioară și liberă la cele fig. 8.2-1.

Pentru o linie a forțelor careare mărimea necunoscutei lor adimensionale depinde de poziția forței față de centru

Calcululele sînt prezente

te sub formă generală pentru un caz oarecare de încărcare, urînd ca în cazuri concrete să fie păstrată metoda cu referire la particularitățile respective.

Linia de influență se poate obține din expresiile :

$$X_1^0 = K_{12}^0 \Delta_{2P}^0 - K_{22}^0 \Delta_{1P}^0 \quad (8.2-1)$$

$$X_2^0 = K_{12}^0 \Delta_{1P}^0 - K_{11}^0 \Delta_{2P}^0$$

unde :

$$\Delta_{1P}^0 = I_{1\varphi} \zeta\varphi + I_{1y} \zeta y + I_{1x} \zeta x \quad (8.2-2)$$

$$\Delta_{2P}^0 = -(I_{1\varphi} - I_{2\varphi}) \zeta\varphi - (I_{1y} + I_{2y}) \zeta y - (1 + u_0) I_{1x} \zeta x$$

Expresiile (8.2-2) conțin valorile : $I_{1j}; y; x$, $I_{2j}; y; x$ ce se calculează în moduri diferite în funcție de poziția forței după cum urmează :

a.- pentru cazul când forța cade în intervalul $\varphi \in (0; \frac{\pi}{2})$ se pot scrie momentele într-o secțiune curentă $\theta > \varphi$ sub forma :

$$\left(\frac{M_{\theta}^{\circ}}{P_{\tau}}\right) = f_1(\theta; \varphi) ; \left(\frac{N_{\theta}^{\circ}}{P}\right) = f_2(\theta; \varphi) ; \left(\frac{T_{\theta}^{\circ}}{P}\right) = f_3(\theta; \varphi) \quad (8.2-3)$$

Expresiile integralelor ce intră în relațiile (8.2-2)

sînt :

$$I_{1\varphi} = \int_{\varphi}^{\frac{\pi}{2}} \left(\frac{M_{\theta}^{\circ}}{P_{\tau}}\right) d\theta ; \quad I_{2\varphi} = \int_{\varphi}^{\frac{\pi}{2}} \left(\frac{M_{\theta}^{\circ}}{P_{\tau}}\right) \cos \theta d\theta \quad (8.2-4)$$

Calculato integrale se pot explicita dacă în prealabil se calculează valorile eforturilor la limita intervalului :

$$\theta = \frac{\pi}{2} \Rightarrow \left(\frac{M_{\frac{\pi}{2}}^{\circ}}{P_{\tau}}\right) = f_1\left(\frac{\pi}{2}; \varphi\right) ; \left(\frac{N_{\frac{\pi}{2}}^{\circ}}{P}\right) = f_2\left(\frac{\pi}{2}; \varphi\right) ; \left(\frac{T_{\frac{\pi}{2}}^{\circ}}{P}\right) = f_3\left(\frac{\pi}{2}; \varphi\right) \quad (8.2-5)$$

Cu aceste valori se scriu valorile solicitărilor în intervalul $y \in (0; h_0) \Rightarrow u \in (0; 1)$

$$\begin{aligned} \left(\frac{M_y^{\circ}}{P_{\tau}}\right) &= \left(\frac{M_{\frac{\pi}{2}}^{\circ}}{P_{\tau}}\right) - \left(\frac{T_{\frac{\pi}{2}}^{\circ}}{P}\right) u u_0 \\ \left(\frac{N_y^{\circ}}{P}\right) &= \left(\frac{N_{\frac{\pi}{2}}^{\circ}}{P}\right) ; \quad \left(\frac{T_y^{\circ}}{P}\right) = \left(\frac{T_{\frac{\pi}{2}}^{\circ}}{P}\right) \end{aligned} \quad (8.2-6)$$

Pornind de la (8.2-6) se calculează :

$$I_{1y} = u_0 \int_0^1 \left(\frac{M_y^{\circ}}{P_{\tau}}\right) du ; \quad I_{2y} = u_0^2 \int_0^1 \left(\frac{M_y^{\circ}}{P_{\tau}}\right) u du \quad (8.2-7)$$

$$I_{1x} = \int_0^1 \left(\frac{M_x^{\circ}}{P_{\tau}}\right) dv ; \quad I_{2x} = u_0 I_{1x}$$

$$\text{cu notația : } \left(\frac{M_x^{\circ}}{P_{\tau}}\right) = \left(\frac{M_{\frac{\pi}{2}}^{\circ}}{P_{\tau}}\right) - \left(\frac{T_{\frac{\pi}{2}}^{\circ}}{P}\right) u_0 - \left(\frac{N_{\frac{\pi}{2}}^{\circ}}{P}\right) v \quad (8.2-8)$$

b.- Pentru cazul când forța cade în intervalul $y \in (0; h_0) \Rightarrow u \in (0; 1)$, solicitările pe cadrul de bază sînt date pînă la certința unde :

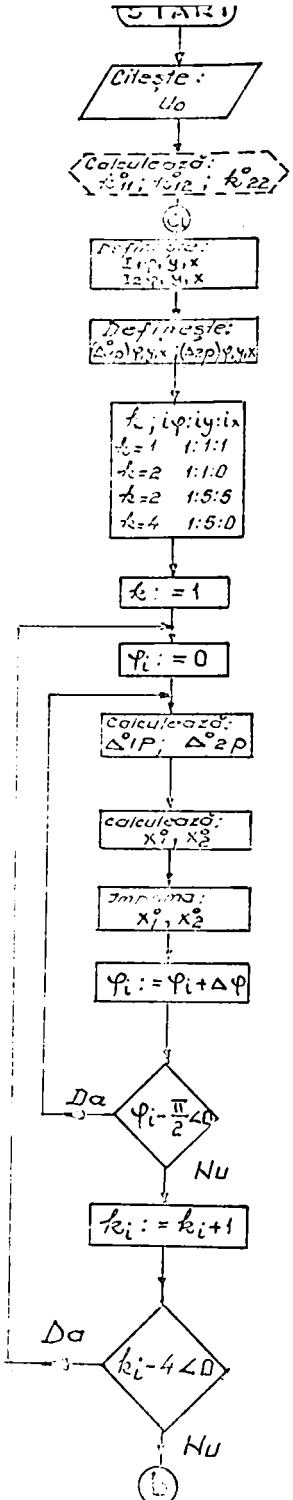
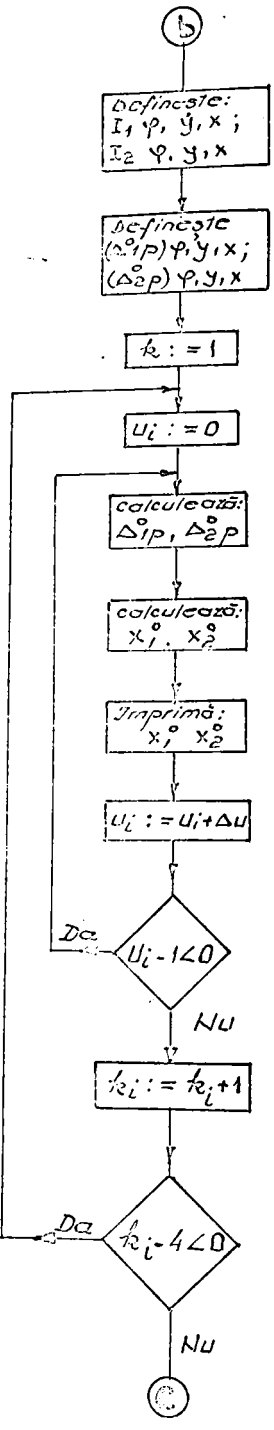
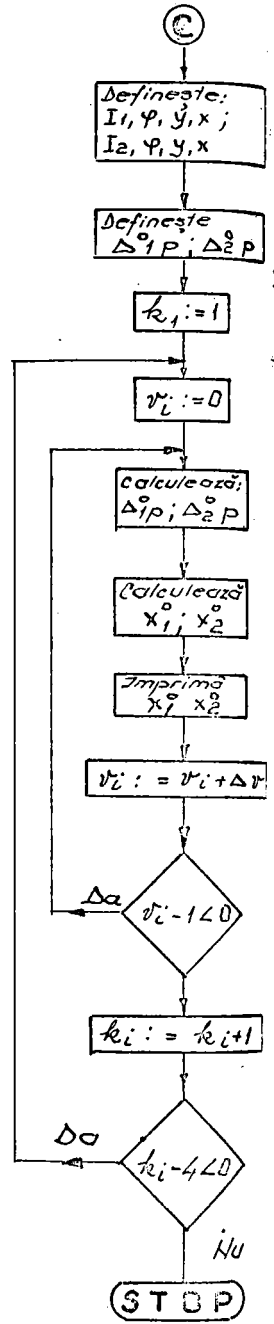


Fig. 8.2-2
de influență



Schema logică
la secțiune



ntre calculul
măsurătorilor

$$I_{1\varphi} = 0; \quad I_{2\varphi} = 0 \quad (8.2-8)$$

Solicitările pentru o valoare curentă $\eta > y$ se pot scrie

$$\text{sub forma: } \left(\frac{M_{\eta}^{\circ}}{P\tau}\right) = g_1(\eta, y); \quad \left(\frac{N_{\eta}^{\circ}}{P\tau}\right) = g_2(\eta, y); \quad \left(\frac{T_{\eta}^{\circ}}{P}\right) = g_3(\eta, y) \quad (8.2-9)$$

În funcție de aceste expresii se calculează:

$$I_{1y} = \int_u^1 \left(\frac{M_{\eta}^{\circ}}{P\tau}\right) d\eta; \quad I_{2y} = \int_u^1 \left(\frac{M_{\eta}^{\circ}}{P\tau}\right) \eta d\eta; \quad I_{1x} = \int_0^1 \left(\frac{M_{\eta}^{\circ}}{P\tau}\right) d\sigma; \quad I_{2x} = u_0 I_{1x} \quad (8.2-10)$$

$$\text{unde: } \left(\frac{M_x^{\circ}}{P\tau}\right) = \left(\frac{M_{u_0}^{\circ}}{P\tau}\right) - \left(\frac{T_{u_0}^{\circ}}{P}\right) \nu \quad (8.2-11)$$

$$\text{Valorile: } \left(\frac{M_{u_0}^{\circ}}{P\tau}\right) = g_1(1, y); \quad \left(\frac{T_{u_0}^{\circ}}{P}\right) = g_3(1, y) \quad \text{se obțin din (8.2-9)}$$

făcînd $\eta = 1$

c.- Pentru cazul cînd forța cade în intervalul $x \in (0; \tau)$
 $\Rightarrow \nu \in (0; 1)$ se găsește:

$$I_{1\varphi} = 0; \quad I_{2\varphi} = 0; \quad I_{1y} = 0; \quad I_{2y} = 0 \quad (8.2-12)$$

$$I_{1x} = \int_{\sigma}^1 \left(\frac{M_{\xi}^{\circ}}{P\tau}\right) d\sigma; \quad I_{2x} = u \cdot I_{1x} \quad (8.2-13)$$

$$\text{unde: } \left(\frac{M_{\xi}^{\circ}}{P\tau}\right) = h(\xi) \nu \quad (8.2-14)$$

se poate scrie prin considerație statică.

Schema logică de calcul pentru programare la o meșină este reprezentată în fig.8.2-2.

2.- Încărcare normală pe axa clesentului

a.- Pentru cazul cînd poziția forței se află pe porțiunea $\varphi \in (0; \frac{\pi}{2})$, fig.8.2-1, eforturile au valorile:

- pentru intervalul $\varphi \in (0; \frac{\pi}{2})$

$$\left(\frac{M_{\theta}^{\circ}}{P}\right) = -\sin(\theta - \varphi); \quad \left(\frac{N_{\theta}^{\circ}}{P}\right) = -\sin(\theta - \varphi); \quad \frac{T_{\theta}^{\circ}}{P} = \cos(\theta - \varphi)$$

unde : $\theta > \varphi$

La limita intervalului pentru $\theta = \frac{\pi}{2}$ rezultă eforturile

$$\left(\frac{M_{II}^{\circ}}{Pr}\right) = -\cos\varphi; \left(\frac{N_{II}^{\circ}}{P}\right) = -\cos\varphi; \left(\frac{T_{II}^{\circ}}{P}\right) = \sin\varphi \quad (8.2-16)$$

- pentru intervalul $y \in (0, h_0) \Rightarrow u \in (0, 1)$ conform relațiilor

(8.2-6) rezultă :

$$\left(\frac{M_y^{\circ}}{Pr}\right) = -[\cos\varphi + u u_0 \sin\varphi]; \left(\frac{N_y^{\circ}}{P}\right) = -\cos\varphi; \left(\frac{T_y^{\circ}}{P}\right) = \sin\varphi \quad (8.2-17)$$

- pentru intervalul $x \in (0, r) \Rightarrow v \in (0, 1)$ se obține după

$$(8.2-8) : \left(\frac{M_x^{\circ}}{Pr}\right) = -\cos\varphi - u_0 \sin\varphi + v \cos\varphi; \left(\frac{N_x^{\circ}}{P}\right) = -\sin\varphi; \left(\frac{T_x^{\circ}}{P}\right) = -\cos\varphi \quad (8.2-18)$$

Integraloie ce intră în calculul deplasărilor pot fi explicitate ușor dacă se ține cont de (8.2-15) ; (8.2-17) ; (8.2-18) după care urmează :

$$I_{1\varphi} = \int_{\varphi}^{\frac{\pi}{2}} \left(\frac{M_{\theta}^{\circ}}{Pr}\right) d\theta = -(1 - \sin\varphi)$$

$$I_{2\varphi} = \int_{\varphi}^{\frac{\pi}{2}} \left(\frac{M_{\theta}^{\circ}}{Pr}\right) \cos\theta d\theta = -\frac{1}{2} [\cos\varphi - (\frac{\pi}{2} - \varphi) \sin\varphi]$$

$$I_{1y} = u_0 \int_0^1 \left(\frac{M_y^{\circ}}{Pr}\right) du = -u_0 (\cos\varphi + \frac{1}{2} u_0 \sin\varphi)$$

$$I_{2y} = u_0^2 \int_0^1 \left(\frac{M_y^{\circ}}{Pr}\right) u du = -u_0^2 \left(\frac{1}{2} \cos\varphi + \frac{1}{3} u_0 \sin\varphi\right)$$

(8.2-19)

$$I_{1x} = \int_0^1 \left(\frac{M_x^{\circ}}{Pr}\right) dv = -\left[\frac{1}{2} \cos\varphi + u_0 \sin\varphi\right]$$

$$I_{2x} = u_0 I_{1x}$$

Expresiile deplasărilor se vor calcula după relațiile 8.2-2 iar necunoscutele din relațiile 8.2-1.

Relațiile sînt valabile atîta timp cît forța este în intervalul $\varphi \in (0, \varphi)$

b.- Pentru cazul cînd forța cade în intervalul $y \in (0; h_0) \Rightarrow u \in (0; 1)$ se scriu eforturile :

- pentru $\varphi \in (0; \frac{\pi}{2})$

$$M_{\varphi}^0 = 0; \quad N_{\varphi}^0 = 0; \quad T_{\varphi} = 0 \quad (8.2-20)$$

- pentru $y \in (0; h_0) \Rightarrow u \in (0; 1)$ se alege o variabilă

$$\eta < y \quad \frac{M_{\eta}^0}{Pr} = -(\eta - u)u_0; \quad \left(\frac{N_{\eta}^0}{P}\right) = 0; \quad \left(\frac{T_{\eta}^0}{P}\right) = 1 \quad (8.2-21)$$

- pentru $\sigma \in (0; 1)$ rezultă eforturile :

$$\frac{M_{\sigma}^0}{Pr} = -(1-u)u_0; \quad \left(\frac{N_{\sigma}^0}{P}\right) = -1; \quad \left(\frac{T_{\sigma}^0}{P}\right) = 0 \quad (8.2-22)$$

Expresiile integralelor se calculează ținînd cont de

(8.2-20) ; (8.2-21) ; (8.2-22)

$$I_{1\varphi} = 0; \quad I_{2\varphi} = 0$$

$$I_{1y} = \int_u^1 \left(\frac{M_{\eta}^0}{Pr}\right) d\eta = -\frac{1}{2} u_0^2 (1-u)^2$$

$$I_{2y} = \int_u^1 \left(\frac{M_{\eta}^0}{Pr}\right) \eta d\eta = -u_0^3 \left[\frac{1}{3} (1-\eta)^3 + \frac{1}{2} \eta (1-\eta)^2 \right]$$

(8.2-23)

$$I_{1x} = \int_0^1 \left(\frac{M_{\sigma}^0}{Pr}\right) d\sigma = -(1-u)u_0;$$

$$I_{2x} = u_0 I_{1x}$$

Deplasările și necunoscutele se vor calcula după relațiile 8.2-2 respectiv 8.2-1.

c.- Pentru cazul cînd forța se găsește în intervalul $x \in (0; r) \Rightarrow \sigma \in (0; 1)$, eforturile sînt distincte numai în următorul interval :

$$\left(\frac{M_{\xi}^0}{Pr}\right) = -(\xi - \sigma); \quad \left(\frac{N_{\xi}^0}{P}\right) = 0; \quad \left(\frac{T_{\xi}^0}{P}\right) = 0 \quad (8.2-25)$$

astfel că se pot determina direct valorile deplasărilor

Ordonatele liniilor de influență x_1, x_2 în încărcare radială. Tabel 8.2-1

| U_0 | Ț | φ în grade sexzecimale | | | | | | | | | | U | | | | | V | | | | |
|-------|---------|--------------------------------|--------|--------|--------|--------|--------|--------|--------|--------|--------|--------|--------|--------|--------|--------|--------|--------|--------|--------|--|
| | | 0 | 15 | 30 | 45 | 60 | 75 | 90 | 0,1 | 0,2 | 0,4 | 0,6 | 0,8 | 1,00 | 0,0 | 0,2 | 0,4 | 0,6 | 0,8 | 1,0 | |
| 1,5 | x_1^0 | 0,655 | 0,413 | 0,193 | -0,005 | -0,161 | -0,239 | -0,280 | -0,255 | -0,254 | -0,203 | -0,157 | -0,083 | 0,000 | -0,096 | -0,067 | -0,035 | -0,016 | -0,004 | 0,000 | |
| | x_2^0 | -0,093 | -0,239 | -0,400 | -0,634 | -0,712 | -0,719 | -0,665 | -0,577 | -0,516 | -0,376 | -0,236 | -0,106 | 0,000 | -0,157 | -0,107 | -0,057 | -0,025 | -0,006 | 0,000 | |
| | x_1^1 | 0,529 | 0,232 | 0,005 | -0,081 | -0,163 | -0,225 | -0,223 | -0,217 | -0,199 | -0,124 | -0,062 | -0,017 | 0,000 | — | — | — | — | — | — | |
| | x_2^1 | -0,216 | -0,507 | -0,658 | -0,752 | -0,762 | -0,695 | -0,567 | -0,457 | -0,360 | -0,243 | -0,121 | -0,034 | 0,000 | — | — | — | — | — | — | |
| | x_1^2 | 0,940 | 0,672 | 0,417 | 0,182 | -0,122 | -0,325 | -0,450 | -0,450 | -0,322 | -0,150 | 0,000 | 0,000 | 0,000 | -0,253 | -0,145 | -0,034 | -0,057 | -0,009 | 0,000 | |
| | x_2^2 | 0,075 | -0,181 | -0,395 | -0,650 | -0,715 | -0,652 | -0,484 | -0,327 | -0,187 | 0,000 | 0,000 | 0,000 | 0,000 | 0,224 | 0,143 | 0,037 | 0,033 | 0,009 | 0,000 | |
| 1,5 | x_1^0 | 0,539 | 0,379 | 0,142 | -0,070 | -0,223 | -0,344 | -0,410 | -0,427 | -0,453 | -0,345 | -0,171 | -0,044 | 0,000 | — | — | — | — | — | — | |
| | x_2^0 | -0,194 | -0,434 | -0,690 | -0,743 | -0,75 | -0,681 | -0,577 | -0,437 | -0,287 | -0,131 | -0,016 | 0,000 | — | — | — | — | — | — | — | |
| | x_1^1 | 0,761 | 0,490 | 0,227 | 0,009 | -0,16 | -0,340 | -0,437 | -0,477 | -0,471 | -0,408 | -0,273 | -0,125 | 0,000 | -0,087 | -0,057 | -0,011 | -0,014 | -0,003 | 0,000 | |
| | x_2^1 | -0,021 | -0,272 | -0,491 | -0,665 | -0,723 | -0,674 | -0,522 | -0,353 | -0,205 | -0,471 | -0,265 | -0,127 | 0,000 | -0,082 | -0,052 | -0,023 | -0,013 | -0,003 | 0,000 | |
| | x_1^2 | 0,656 | 0,401 | 0,164 | -0,045 | -0,215 | -0,315 | -0,379 | -0,415 | -0,380 | -0,297 | -0,165 | -0,044 | 0,000 | — | — | — | — | — | — | |
| | x_2^2 | -0,135 | -0,383 | -0,563 | -0,725 | -0,752 | -0,659 | -0,479 | -0,323 | -0,185 | -0,049 | 0,000 | 0,000 | 0,000 | — | — | — | — | — | — | |
| 3,0 | x_1^0 | 1,012 | 0,721 | 0,329 | 0,071 | -0,213 | -0,327 | -0,350 | -0,280 | -0,127 | 0,000 | 0,000 | 0,000 | -0,190 | -0,122 | -0,053 | -0,030 | -0,005 | 0,000 | | |
| | x_2^0 | 0,008 | -0,162 | -0,377 | -0,570 | -0,713 | -0,712 | -0,614 | -0,457 | -0,274 | -0,170 | -0,062 | 0,000 | -0,108 | -0,055 | -0,039 | -0,017 | -0,004 | 0,000 | | |
| | x_1^1 | 0,816 | 0,547 | 0,264 | -0,012 | -0,223 | -0,327 | -0,352 | -0,276 | -0,149 | -0,016 | 0,000 | 0,000 | — | — | — | — | — | — | | |
| | x_2^1 | -0,080 | -0,326 | -0,550 | -0,720 | -0,751 | -0,651 | -0,471 | -0,324 | -0,205 | -0,084 | 0,000 | 0,000 | — | — | — | — | — | — | | |
| | x_1^2 | 1,000 | 0,700 | 0,300 | 0,000 | -0,200 | -0,300 | -0,350 | -0,400 | -0,450 | -0,500 | -0,550 | -0,600 | -0,650 | -0,700 | -0,750 | -0,800 | -0,850 | -0,900 | -0,950 | |
| | x_2^2 | 0,000 | -0,100 | -0,200 | -0,300 | -0,400 | -0,500 | -0,600 | -0,700 | -0,800 | -0,900 | -1,000 | -1,000 | -1,000 | -1,000 | -1,000 | -1,000 | -1,000 | -1,000 | -1,000 | |

$$\Delta_{1P}^{\circ} = -\frac{1}{2}(1-\nu)^2 i_X$$

$$\Delta_{2P}^{\circ} = (1+\alpha_0) \frac{1}{2}(1-\nu)^2 i_X$$

(8.2-25)

În baza relațiilor de mai sus conform schemei logice din fig.8.2-2 s-au calculat elementele liniei de influență din tabelul 8.2-1 pentru cazul a două înălțimi $\alpha_0 = 1,5$ folosită la galerii cu fața liberă și $\alpha_0 = 3$ folosită mai ales la centrale subterane. Calculurile sînt conduse în patru ipoteze de variație a momentelor de inerție.

Diagramele liniilor de influență sînt reprezentate în fig.8.2-3 ; 4 ; 5 ; 6 pentru $\alpha_0 = 1,5$ și fig.8.2-7 ; 8 ; 9 ; 10 pentru $\alpha_0 = 3$.

Avantajele conducerii calculurilor la o mașină electronică sînt evidente avînd în vedere numărul variantelor ce pot fi analizate.

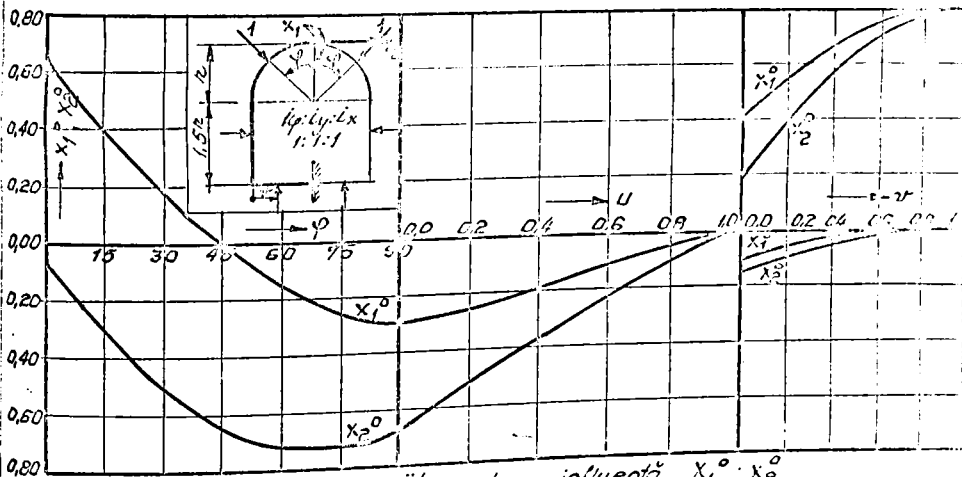
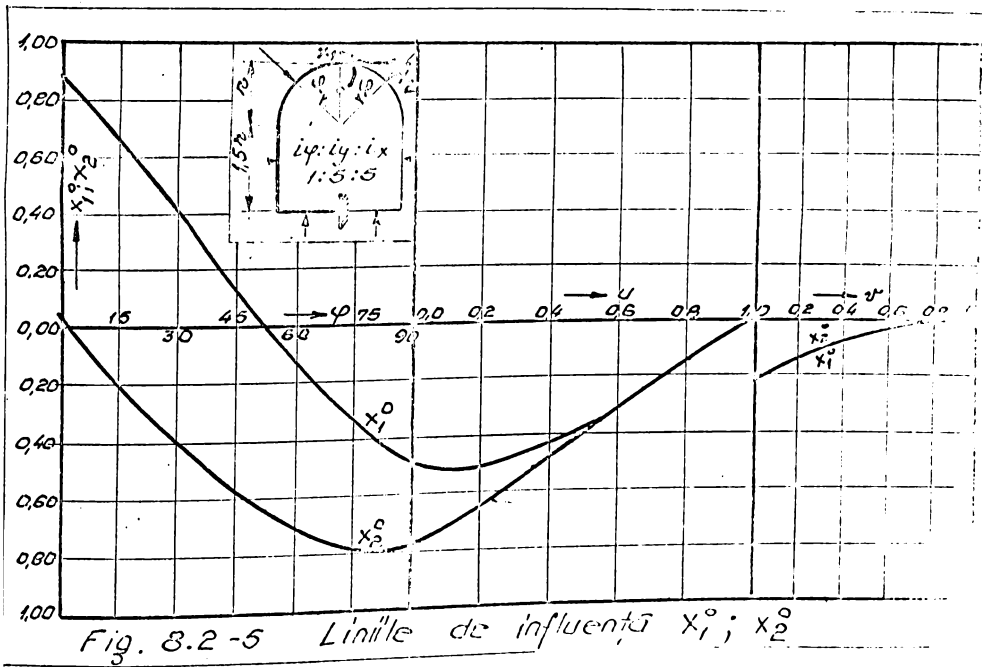
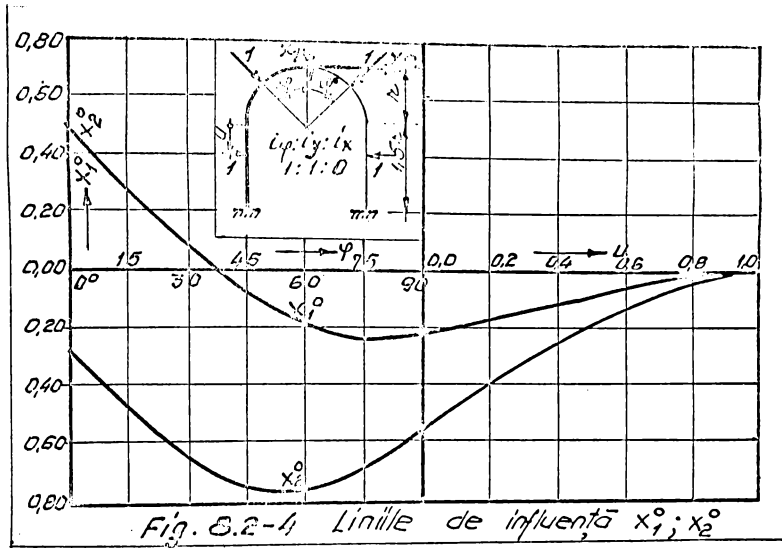


Fig. 8.2-3 Linii de influență X_1^0 ; X_2^0



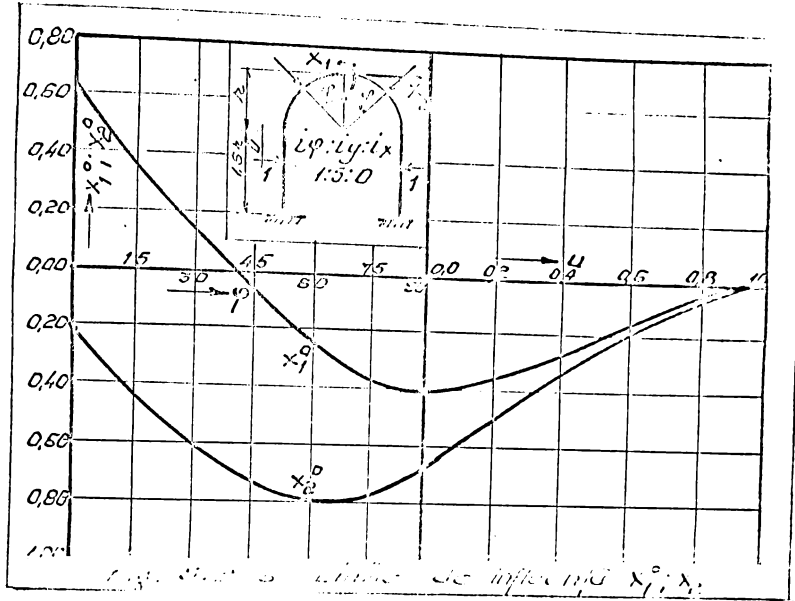


Fig. 8.2-6 Linia de influență $x_1^0; x_2^0$

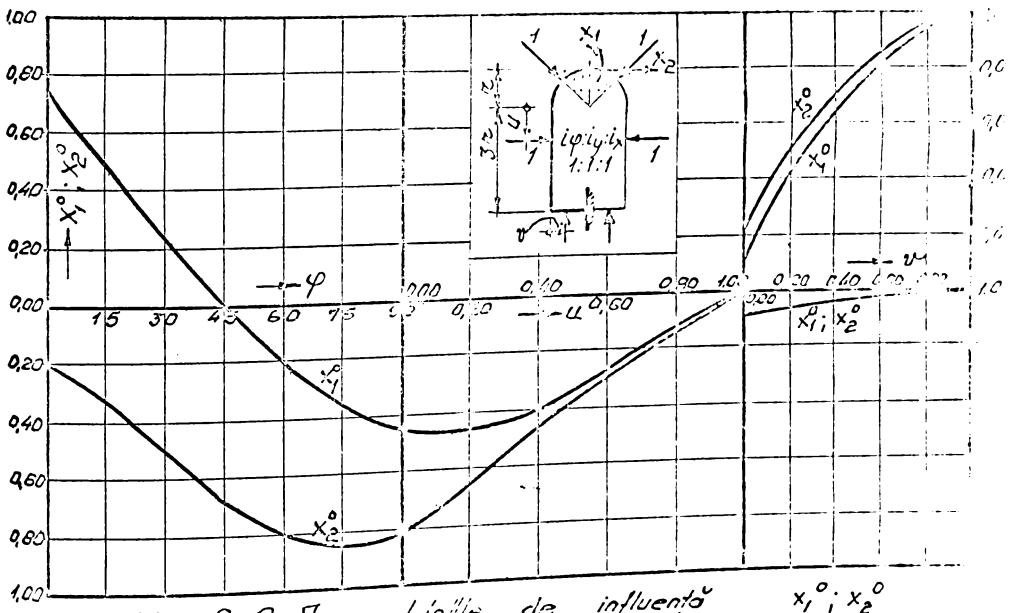
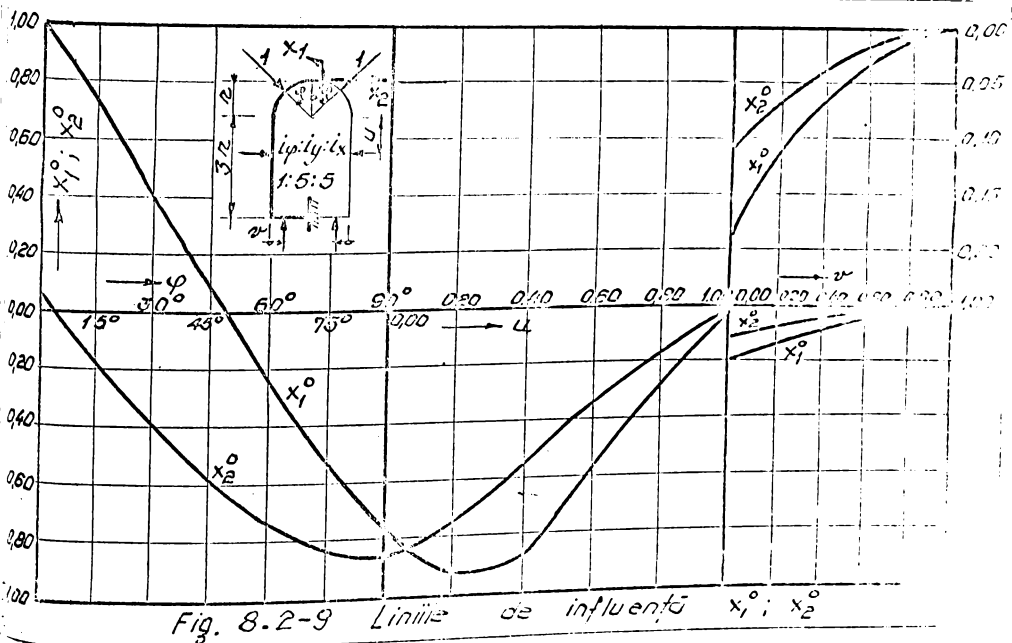
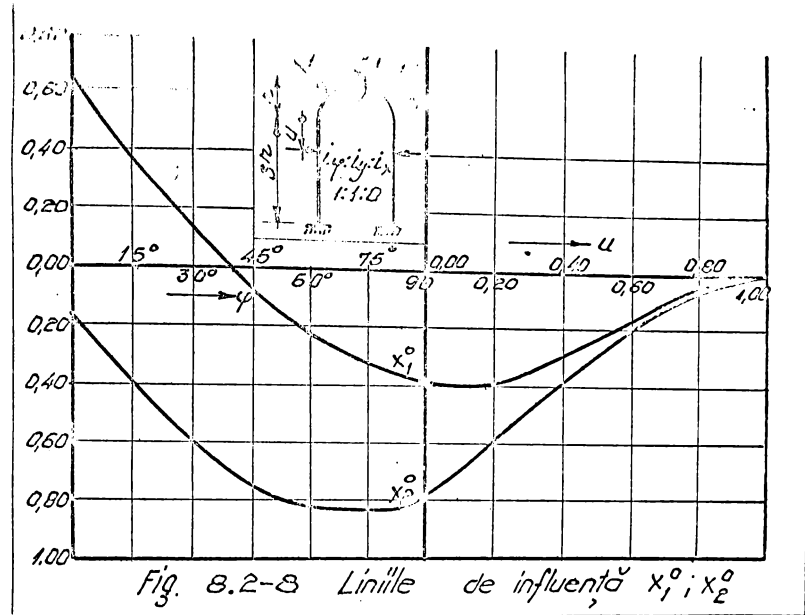
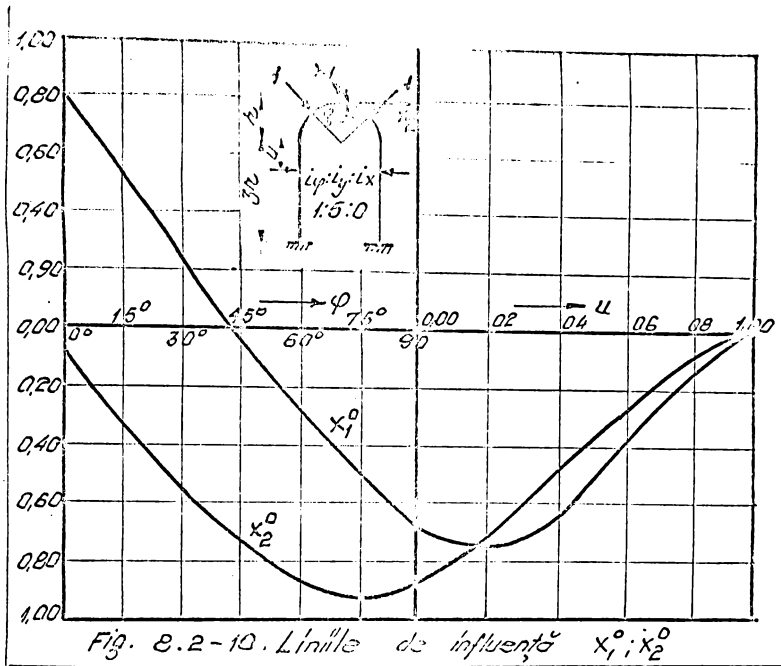


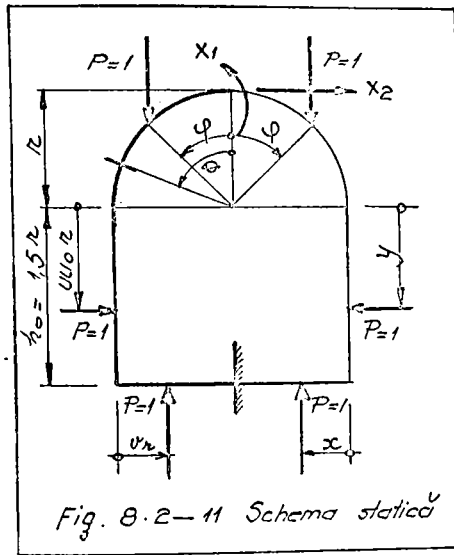
Fig. 8.2-7 Linia de influență $x_1^0; x_2^0$





3.- Inclinarea verticală pe boltă

a.- Pentru cazul când poziția forței se află în porțiunea



nea $\varphi \in (0, \frac{\pi}{2})$ fig.8.2-11 eforturile pe schema de bază se scriu prin intermediul unei variabile intermediare θ

$$\left(\frac{M_{\theta}^{\circ}}{P\tau}\right) = -(\sin\theta - \sin\varphi)$$

$$\left(\frac{N_{\theta}^{\circ}}{P}\right) = -\sin\theta \quad (8.2-25)$$

$$\left(\frac{T_{\theta}^{\circ}}{P}\right) = \cos\theta$$

La limita intervalului pentru $\theta = \frac{\pi}{2}$ se obțin eforturile :

$$\left(\frac{M_{\frac{\pi}{2}}^{\circ}}{P\tau}\right) = -(1 - \sin\varphi)$$

$$\left(\frac{N_{\frac{\pi}{2}}^{\circ}}{P}\right) = -1 ; \quad \left(\frac{T_{\frac{\pi}{2}}^{\circ}}{P}\right) = 0 \quad (8.2-27)$$

În zona $y \in (0, h_0) \Rightarrow u \in (0, 1)$ eforturile au expresiile :

$$\left(\frac{M_y^{\circ}}{P\tau}\right) = -(1 - \sin\varphi) ; \quad \left(\frac{N_y^{\circ}}{P}\right) = -1 ; \quad \left(\frac{T_y^{\circ}}{P}\right) = 0 \quad (8.2-28)$$

În intervalul $x \in (0, \tau) \Rightarrow v \in (0, 1)$ se găsesc analog :

$$\left(\frac{M_x^{\circ}}{P\tau}\right) = -(1 - \sin\varphi) + v ; \quad \left(\frac{N_x^{\circ}}{P}\right) = 0 ; \quad \left(\frac{T_x^{\circ}}{P}\right) = -1 \quad (8.2-29)$$

Integralele ce intră în calculul deplasărilor se calculează

lează după relațiile (8.2-15) ; (8.2-17) ; (8.2-18) :

$$I_{1\varphi} = \int_{\varphi}^{\frac{\pi}{2}} \left(\frac{M_{\theta}^{\circ}}{P\tau}\right) d\theta = -\left[\cos\varphi - \left(\frac{\pi}{2} - \varphi\right) \sin\varphi\right]$$

$$I_{2\varphi} = \int_{\varphi}^{\frac{\pi}{2}} \left(\frac{M_{\theta}^{\circ}}{P\tau}\right) \cos\theta d\theta = -\frac{1}{2}(1 - \sin\varphi)^2$$

$$\begin{aligned}
 I_{1y} &= u_0 \int_0^1 \left(\frac{M_y^0}{P_r} \right) du = -u_0 (1 - \sin \varphi) \\
 I_{2y} &= u_0^2 \int_0^1 \left(\frac{M_y^0}{P_r} \right) u du = -\frac{1}{2} u_0^2 (1 - \sin \varphi) \\
 I_{1x} &= \int_0^1 \left(\frac{M_x^0}{P_r} \right) dv = -\left(\frac{1}{2} - \sin \varphi \right) \quad (8.2-30)
 \end{aligned}$$

$$I_{2x} = u_0 \cdot I_{1x}$$

Expresiile deplasărilor se calculează din relațiile 8.2-1.

$$\Delta_{1P}^0 = -[\cos \varphi - (\frac{\pi}{2} - \varphi) \sin \varphi] \zeta \varphi - (1 - \sin \varphi) u_0 \zeta y - (\frac{1}{2} - \sin \varphi) \zeta x$$

$$\begin{aligned}
 \Delta_{2P}^0 &= [\cos \varphi - (\frac{\pi}{2} - \varphi) \sin \varphi - \frac{1}{2} (1 - \sin \varphi)^2] \zeta \varphi + (1 - \sin \varphi) (u_0 + \frac{1}{2} u_0^2) \zeta y + \\
 &+ (1 + u_0) (\frac{1}{2} - \sin \varphi) \zeta x \quad (8.2-31)
 \end{aligned}$$

Coefficienții $\zeta \varphi$, ζy , ζx permit luarea în considerare a variației momentelor de inerție.

Ordonatele liniei de influență se calculează din relațiile

$$\begin{aligned}
 x_1^0 &= K_{12}^0 \Delta_{2P}^0 - K_{22}^0 \Delta_{1P}^0 \\
 x_2^0 &= K_{12}^0 \Delta_{1P}^0 - K_{11}^0 \Delta_{2P}^0 \quad (8.2-32)
 \end{aligned}$$

b., c.- Pentru cazul în care poziția forței se găsește în intervalul $y \in (0, h_0)$ respectiv $x \in (0, r)$ valorile ordonatelor se păstrează aceleași ca în cadrul încărcării radiale.

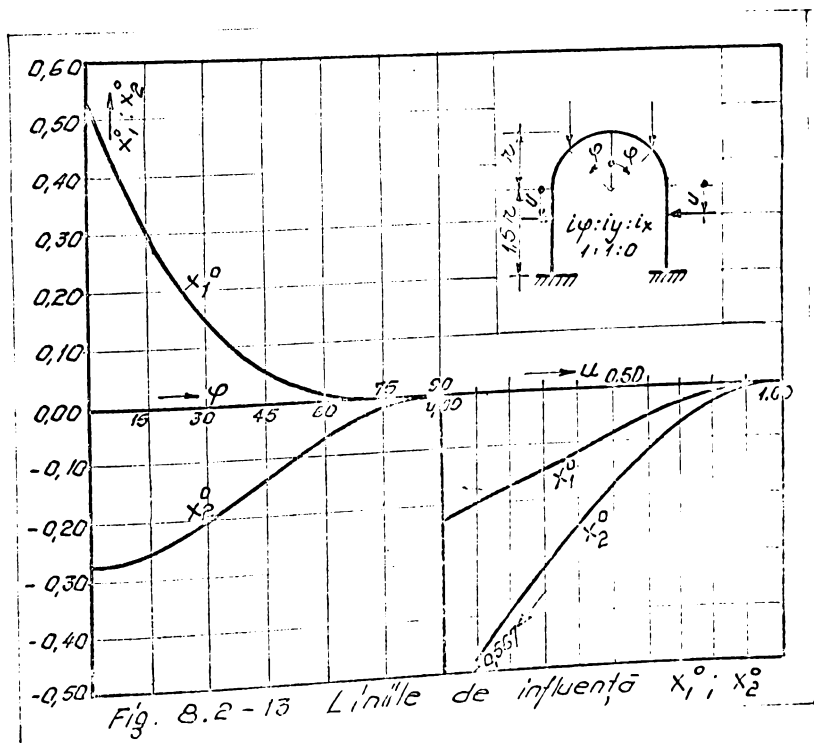
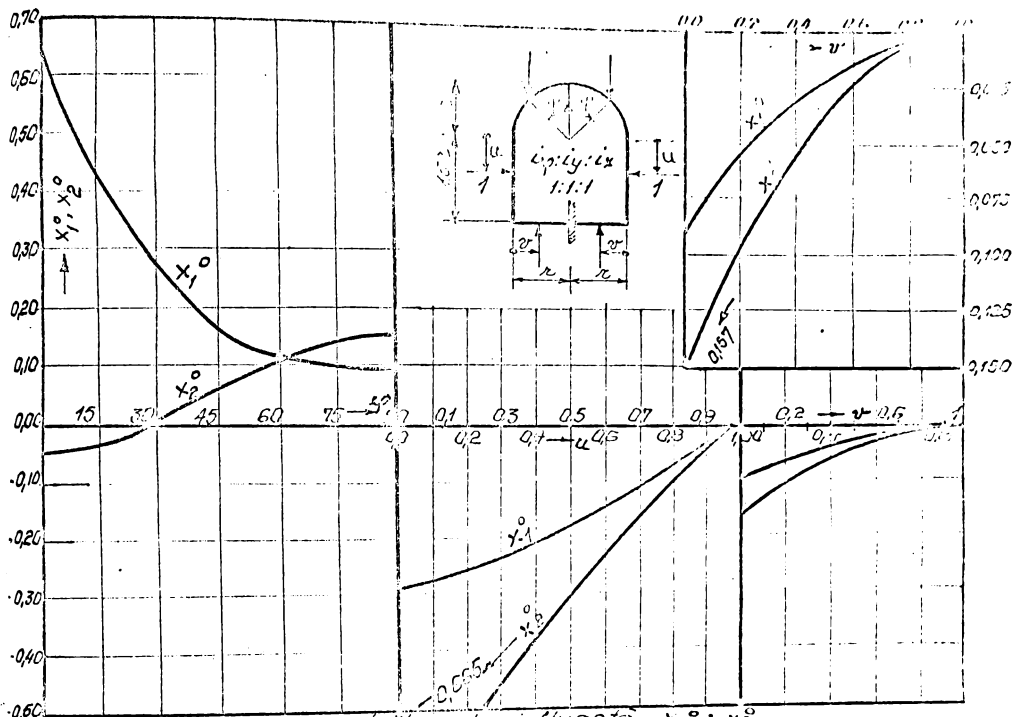
folosind schema logică din fig.8.2-2 au fost calculate ordonatele liniilor de influență pentru x_1^0 , x_2^0 în cazul a două tipuri de secțiuni (caracterizate de $u_0 = 1,5$; $u_0 = 3$) în patru ipoteze de variație a momentelor de inerție :

$$\begin{aligned}
 \zeta \varphi : \zeta y : \zeta x &= 1 : 1 : 1 \\
 &1 : 1 : 0 \\
 &1 : 5 : 5 \\
 &1 : 5 : 0
 \end{aligned}$$

Ordonatele liniei de influență sînt calculate în toate (8.2-2) și sînt reprezentate grafic în fig.8.2-12 ; 13 ; 14 ; 15 pentru $u_0 = 1,5$ și fig.8.2-16 ; 17 ; 18 ; 19 pentru $u_0 = 3$.

Ordonatele liniilor de influență X_1^0, X_2^0 . Încărcare verticală pe boltă Tabel B.2-2

| No | Lp | lx | X | scara normală | | | | | | | | l | | | | x | | | | | | | |
|-------|-------|-------|---------|---------------|--------|--------|--------|--------|--------|-------|--------|--------|--------|--------|--------|-------|--------|--------|--------|--------|--------|-------|---|
| | | | | 0 | 15 | 30 | 45 | 60 | 75 | 90 | 0,0 | 0,2 | 0,4 | 0,6 | 0,8 | 1,00 | 0,0 | 0,2 | 0,4 | 0,6 | 0,8 | 1,0 | |
| 1:1:1 | 1:1:1 | 1:1:1 | X_1^0 | 0,563 | 0,435 | 0,269 | 0,165 | 0,114 | 0,099 | 0,085 | -0,280 | -0,254 | -0,203 | -0,151 | -0,083 | 0,000 | -0,085 | -0,061 | -0,033 | -0,015 | -0,004 | 0,000 | |
| | | | X_2^0 | -0,053 | -0,030 | -0,001 | 0,050 | 0,103 | 0,142 | 0,157 | -0,653 | -0,515 | -0,376 | -0,235 | -0,106 | 0,000 | -0,157 | -0,101 | -0,337 | -0,077 | -0,005 | 0,000 | |
| 1:1:0 | 1:1:0 | 1:1:0 | X_1^0 | 0,529 | 0,300 | 0,142 | 0,050 | 0,009 | -0,001 | 0,000 | -0,253 | -0,165 | -0,124 | -0,062 | -0,017 | 0,000 | - | - | - | - | - | - | |
| | | | X_2^0 | -0,273 | -0,267 | -0,205 | -0,125 | -0,059 | -0,019 | 0,000 | -0,057 | -0,300 | -0,245 | -0,124 | -0,031 | 0,000 | - | - | - | - | - | - | - |
| 1:5:5 | 1:5:5 | 1:5:5 | X_1^0 | 0,944 | 0,702 | 0,510 | 0,370 | 0,287 | 0,245 | 0,232 | -0,450 | -0,320 | -0,145 | -0,522 | -0,150 | 0,000 | -0,235 | -0,143 | -0,024 | -0,057 | -0,005 | 0,000 | |
| | | | X_2^0 | 0,075 | 0,097 | 0,132 | 0,150 | 0,185 | 0,213 | 0,224 | 0,707 | 0,547 | 0,145 | 0,327 | 0,149 | 0,000 | -0,214 | -0,143 | -0,051 | -0,075 | -0,005 | 0,000 | |
| 1:5:0 | 1:5:0 | 1:5:0 | X_1^0 | 0,532 | 0,403 | 0,225 | 0,107 | 0,037 | 0,052 | 0,000 | -0,449 | -0,354 | -0,253 | -0,171 | -0,084 | 0,000 | - | - | - | - | - | - | - |
| | | | X_2^0 | -0,155 | -0,183 | -0,143 | -0,100 | -0,082 | -0,015 | 0,000 | -0,681 | -0,433 | -0,345 | -0,181 | -0,045 | 0,000 | - | - | - | - | - | - | - |
| 1:1:1 | 1:1:1 | 1:1:1 | X_1^0 | 0,761 | 0,522 | 0,354 | 0,207 | 0,131 | 0,095 | 0,037 | -0,437 | -0,371 | -0,403 | -0,276 | -0,125 | 0,000 | -0,037 | -0,057 | -0,051 | -0,01 | -0,003 | 0,000 | |
| | | | X_2^0 | -0,022 | -0,010 | 0,011 | 0,023 | 0,053 | 0,074 | 0,032 | -0,822 | -0,554 | -0,471 | -0,205 | -0,127 | 0,000 | -0,082 | -0,052 | -0,039 | -0,015 | -0,003 | 0,000 | |
| 1:1:0 | 1:1:0 | 1:1:0 | X_1^0 | 0,556 | 0,415 | 0,255 | 0,109 | 0,023 | 0,005 | 0,000 | -0,376 | -0,380 | -0,297 | -0,165 | -0,044 | 0,000 | - | - | - | - | - | - | |
| | | | X_2^0 | -0,125 | -0,125 | -0,085 | -0,003 | -0,015 | -0,010 | 0,000 | -0,723 | -0,585 | -0,375 | -0,185 | -0,049 | 0,000 | - | - | - | - | - | - | - |
| 1:5:5 | 1:5:5 | 1:5:5 | X_1^0 | 1,012 | 0,767 | 0,566 | 0,395 | 0,277 | 0,210 | 0,190 | -0,753 | -0,527 | -0,247 | -0,691 | -0,255 | 0,000 | -0,190 | -0,122 | -0,059 | -0,053 | -0,003 | 0,000 | |
| | | | X_2^0 | 0,063 | 0,065 | 0,067 | 0,090 | 0,093 | 0,105 | 0,109 | -0,547 | -0,741 | -0,570 | -0,352 | -0,157 | 0,000 | -0,103 | -0,059 | -0,039 | -0,01 | -0,004 | 0,000 | |
| 1:5:0 | 1:5:0 | 1:5:0 | X_1^0 | 0,913 | 0,635 | 0,350 | 0,193 | 0,092 | 0,019 | 0,000 | -0,652 | -0,775 | -0,649 | -0,375 | -0,160 | 0,000 | - | - | - | - | - | - | - |
| | | | X_2^0 | -0,050 | -0,013 | -0,065 | -0,030 | -0,020 | -0,005 | 0,000 | -0,500 | -0,752 | -0,605 | -0,282 | -0,000 | 0,000 | - | - | - | - | - | - | - |



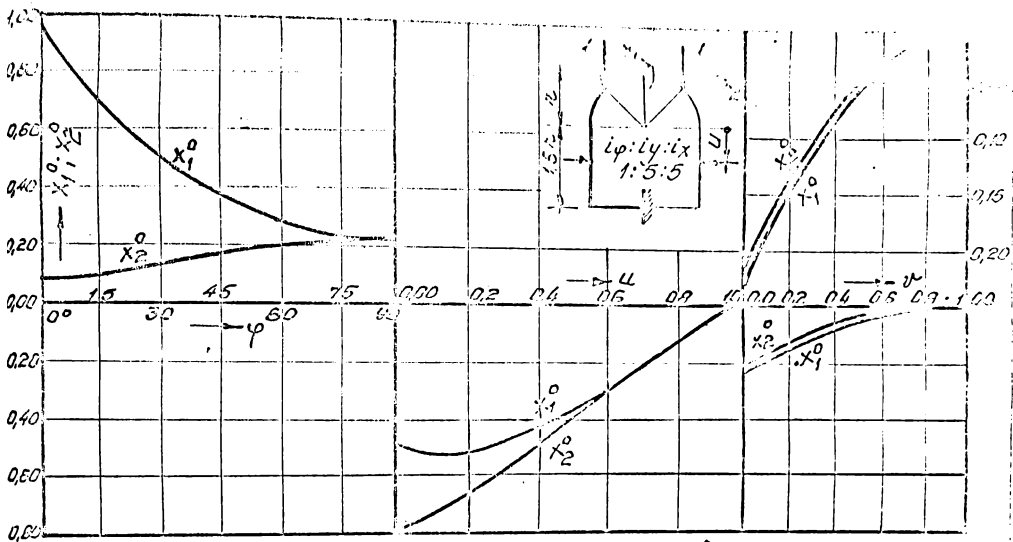


Fig. 8.2-14 Linile de influență x_1^0 ; x_2^0

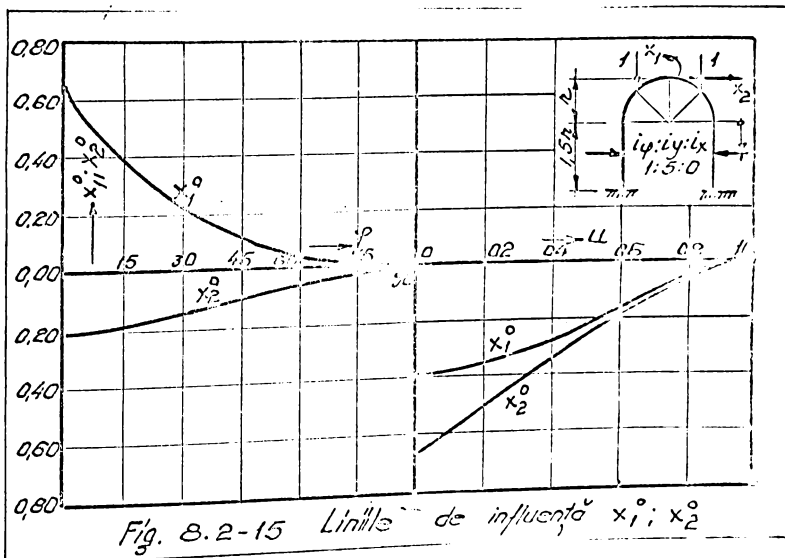


Fig. 8.2-15 Linile de influență x_1^0 ; x_2^0

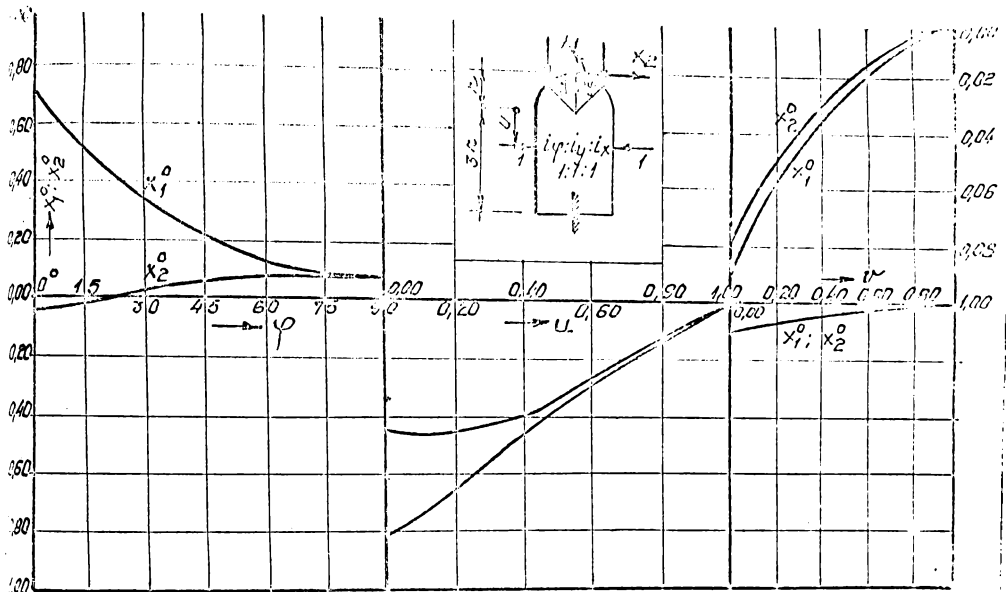


Fig. 8.2 - 16 Linii de influență $x_1^0; x_2^0$

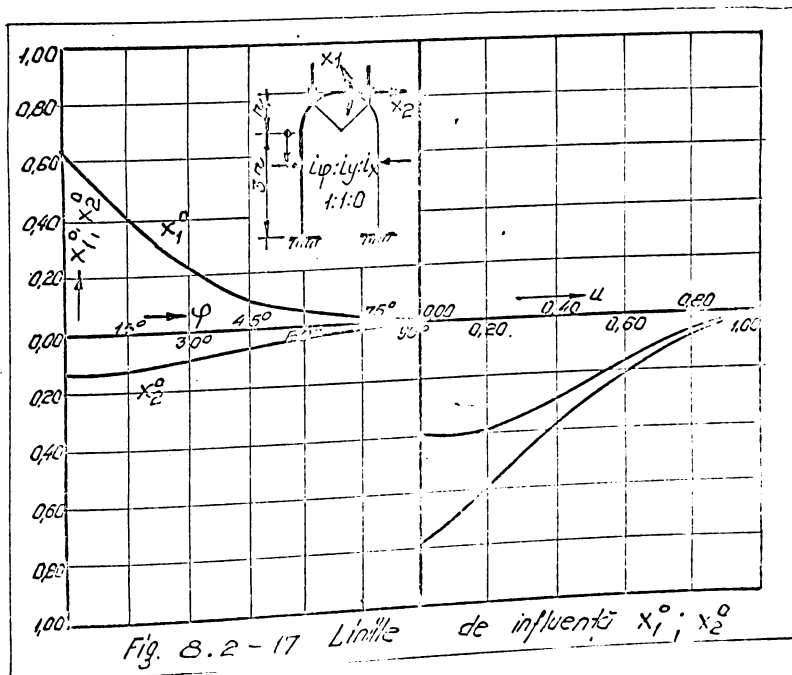


Fig. 8.2 - 17 Linii de influență $x_1^0; x_2^0$

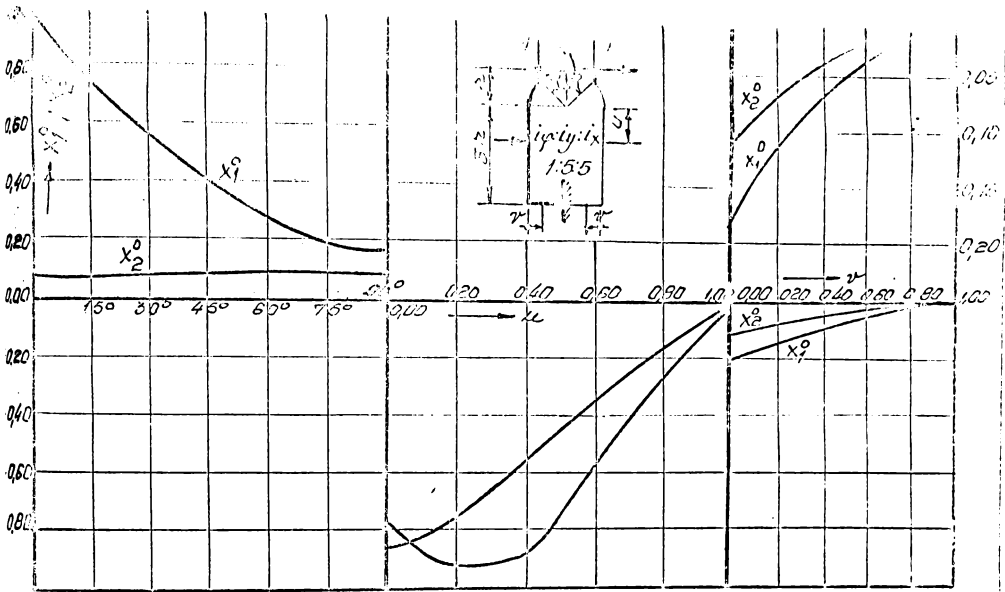


Fig. 8.2-18 Linile de influență x_1^0, x_2^0

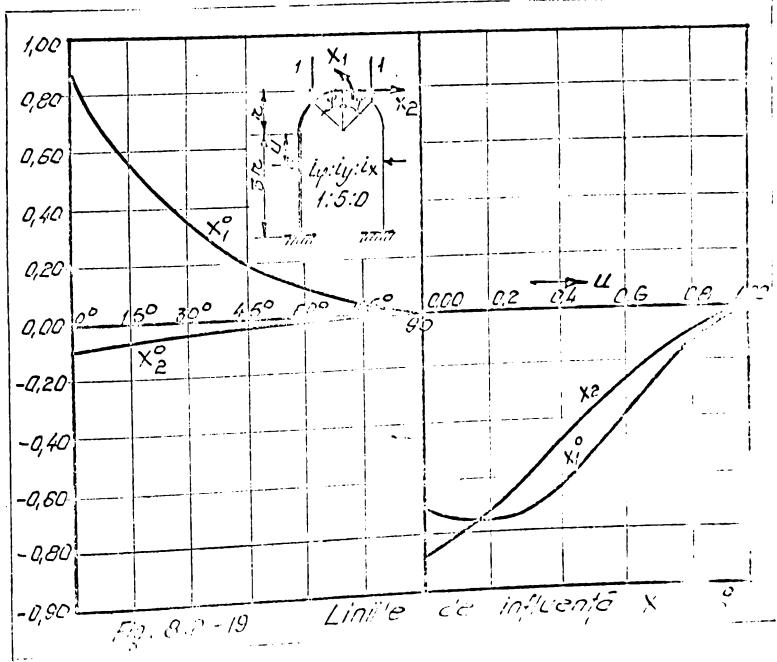


Fig. 8.2-19 Linile de influență x_1^0, x_2^0

4.- Industria orientată pe boltă

Linia de inflexiuni este utilă pentru încărcări orizontale provenite din împingerea uniformă sau neuniformă a muntelui.

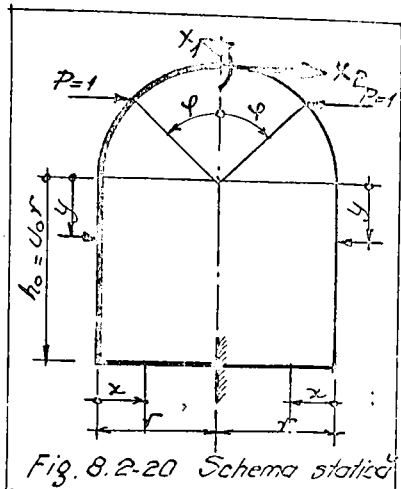


Fig. 8.2-20 Schema statică

a.- Pentru cazul când forța se află în zona $\varphi \in (0, \frac{\pi}{2})$ (fig. 8.2-20) eforturile de alongul conturului pot fi scrise după cum urmează :

$$\begin{aligned} & \text{- pentru } \theta \in (0, \frac{\pi}{2}) \quad \text{și } \theta > \varphi \\ & \left(\frac{M_{\theta}^{\circ}}{Pr}\right) = -(\cos \varphi - \cos \theta) \\ & \left(\frac{N_{\theta}^{\circ}}{P}\right) = \cos \theta; \quad \left(\frac{T_{\theta}^{\circ}}{P}\right) = \sin \theta \end{aligned} \quad (8.2-33)$$

la limita intervalului pentru $\theta = \frac{\pi}{2}$ se găsește :

$$\left(\frac{M_{\frac{\pi}{2}}^{\circ}}{Pr}\right) = -\cos \varphi; \quad \left(\frac{N_{\frac{\pi}{2}}^{\circ}}{P}\right) = 0; \quad \left(\frac{T_{\frac{\pi}{2}}^{\circ}}{P}\right) = 1 \quad (8.2-34)$$

În funcție de aceste valori se pot scrie eforturile în celelalte zone :

$$\begin{aligned} & \text{- pentru } y \in (0, h_0) \Rightarrow u \in (0, 1) \\ & \left(\frac{M_y^{\circ}}{Pr}\right) = -[\cos \varphi + uu_0]; \quad \left(\frac{N_y^{\circ}}{P}\right) = 0; \quad \left(\frac{T_y^{\circ}}{P}\right) = 1 \end{aligned} \quad (8.2-35)$$

$$\begin{aligned} & \text{- pentru } x \in (0, r) \Rightarrow v \in (0, 1) \\ & \left(\frac{M_x^{\circ}}{Pr}\right) = -(\cos \varphi + u_0); \quad \left(\frac{N_x^{\circ}}{P}\right) = -1; \quad \left(\frac{T_x^{\circ}}{P}\right) = 0 \end{aligned} \quad (8.2-36)$$

Expresiile eforturilor permit calculul integralelor ce

intră în componența deplasărilor pornind de la relațiile lor de definiție :

$$\begin{aligned}
 I_{1\varphi} &= \int_{\varphi}^{\frac{\pi}{2}} \left(\frac{M_{\theta}^0}{P r} \right) d\theta = - \left[\left(\frac{\pi}{2} - \varphi \right) \cos \varphi - (1 - \sin \varphi) \right] \\
 I_{2\varphi} &= \int_{\varphi}^{\frac{\pi}{2}} \left(\frac{M_{\theta}^0}{P r} \right) \cos \theta d\theta = - \left[\cos \varphi - \frac{1}{2} \sin \varphi \cos \varphi - \frac{1}{2} \left(\frac{\pi}{2} - \varphi \right) \right] \\
 I_{1y} &= u_0 \int_0^1 \left(\frac{M_u^0}{P r} \right) du = - u_0 \left(\cos \varphi + \frac{1}{2} u_0 \right) \\
 I_{2y} &= u_0^2 \int_0^1 \left(\frac{M_u^0}{P r} \right) u du = - u_0^2 \left(\frac{1}{2} \cos \varphi + \frac{1}{3} u_0^3 \right) \\
 I_{1x} &= \int_0^1 \left(\frac{M_x^0}{P r} \right) dv = - (u_0 + \cos \varphi) \quad (8.2-37)
 \end{aligned}$$

$$I_{2x} = u_0 I_{1x}$$

Expresiile deplasărilor totale pentru cazul când forța se află în intervalul $\varphi \in (0; \frac{\pi}{2})$ au forma :

$$\begin{aligned}
 \Delta_{1P}^0 &= - \left[\left(\frac{\pi}{2} - \varphi \right) \cos \varphi - (1 - \sin \varphi) \right] l \varphi + (u_0 \cos \varphi + \frac{1}{2} u_0^2) l y + (u_0 + \cos \varphi) l x \\
 \Delta_{2P}^0 &= \left[\left(\frac{\pi}{2} - \varphi \right) \cos \varphi - (1 - \sin \varphi) - \cos \varphi + \frac{1}{2} \sin \varphi \cos \varphi + \frac{1}{2} \left(\frac{\pi}{2} - \varphi \right) \right] l y + \\
 &+ \left[u_0 \cos \varphi + \frac{1}{2} u_0^2 (1 + \cos \varphi) + \frac{1}{3} u_0^3 \right] l y + (1 + u_0) (u_0 + \cos \varphi) l x \quad (8.2-38)
 \end{aligned}$$

Valorile liniei de influență se obțin din relațiile 8.1-8. În tabelul 8.2-3 sînt calculate valorile X_1^0 , X_2^0 și sînt reprezentate în fig. 8.2-21 ; 22 ; 23 ; 24 pentru $u_0 = 1,5$ și fig. 8.2-25 ; 26 ; 27 ; 28 pentru $u_0 = 3$. Pentru calculul acestei linii de influență este analogă celor precedente.

Handwritten title and reference: "Tabel 8.2-3"

| U ₀ | U ₁ / U ₂ | X ₁ ⁰ / X ₂ ⁰ | φ in grade | | | | | | |
|----------------|---------------------------------|---|------------|--------|--------|--------|--------|--------|--------|
| | | | 0° | 15° | 30° | 45° | 60° | 75° | 90° |
| 1,50 | 1:1:1 | X ₁ ⁰ | 0,004 | -0,025 | -0,054 | -0,171 | -0,236 | -0,275 | -0,280 |
| | | X ₂ ⁰ | -1,025 | -1,002 | -0,937 | -0,946 | -0,877 | -0,781 | -0,665 |
| | 1:1:0 | X ₁ ⁰ | 0,001 | -0,025 | -0,032 | -0,161 | -0,212 | -0,233 | -0,223 |
| | | X ₂ ⁰ | -1,002 | -0,938 | -0,975 | -0,922 | -0,832 | -0,709 | -0,567 |
| | 1:5:5 | X ₁ ⁰ | 0,017 | -0,015 | -0,093 | -0,197 | -0,307 | -0,410 | -0,495 |
| | | X ₂ ⁰ | -1,023 | -1,021 | -1,010 | -0,962 | -0,934 | -0,865 | -0,784 |
| | 1:5:0 | X ₁ ⁰ | -0,007 | -0,037 | -0,109 | -0,200 | -0,283 | -0,360 | -0,410 |
| | | X ₂ ⁰ | -1,000 | -0,933 | -0,933 | -0,946 | -0,881 | -0,790 | -0,681 |
| 3,00 | 1:1:1 | X ₁ ⁰ | 0,009 | -0,022 | -0,093 | -0,196 | -0,295 | -0,378 | -0,437 |
| | | X ₂ ⁰ | -0,935 | -0,994 | -0,937 | -0,967 | -0,933 | -0,883 | -0,822 |
| | 1:1:0 | X ₁ ⁰ | 0,030 | -0,001 | -0,075 | -0,169 | -0,260 | -0,332 | -0,378 |
| | | X ₂ ⁰ | -1,010 | -1,008 | -0,935 | -0,972 | -0,927 | -0,864 | -0,788 |
| | 1:5:5 | X ₁ ⁰ | -0,045 | -0,031 | -0,168 | -0,294 | -0,443 | -0,602 | -0,758 |
| | | X ₂ ⁰ | -0,902 | -0,902 | -0,902 | -0,897 | -0,887 | -0,870 | -0,847 |
| | 1:5:0 | X ₁ ⁰ | 0,030 | -0,003 | -0,090 | -0,213 | -0,358 | -0,508 | -0,652 |
| | | X ₂ ⁰ | -1,027 | -1,025 | -1,019 | -1,005 | -0,980 | -0,944 | -0,900 |

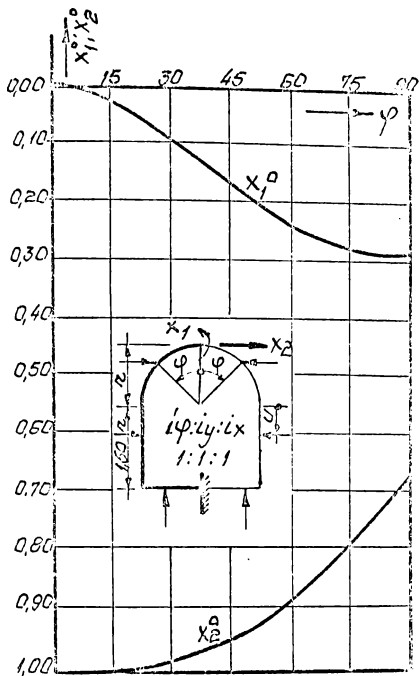


Fig.8.2-21 Linile de influență x_1^0, x_2^0

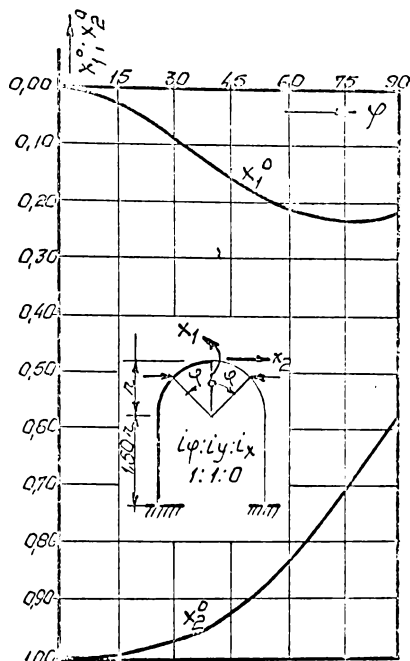


Fig.8.2-22 Linile de influență x_1^0, x_2^0

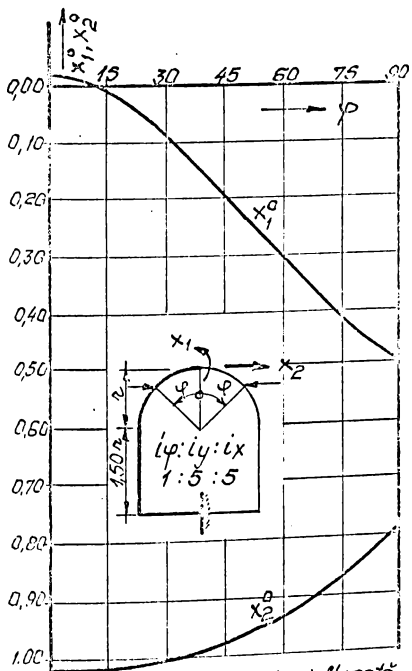


Fig.8.2-23 Linile de influență x_1^0, x_2^0

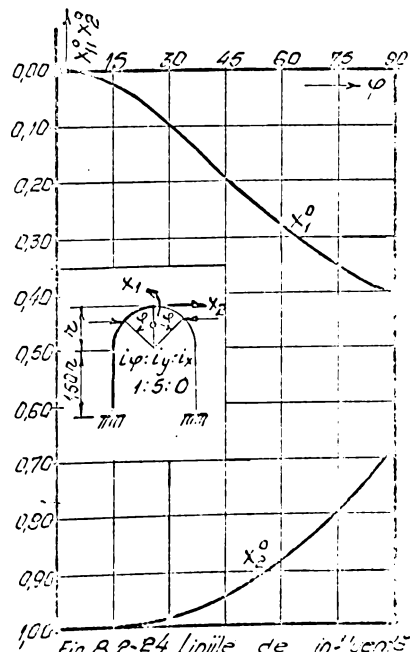


Fig.8.2-24 Linile de influență x_1^0, x_2^0

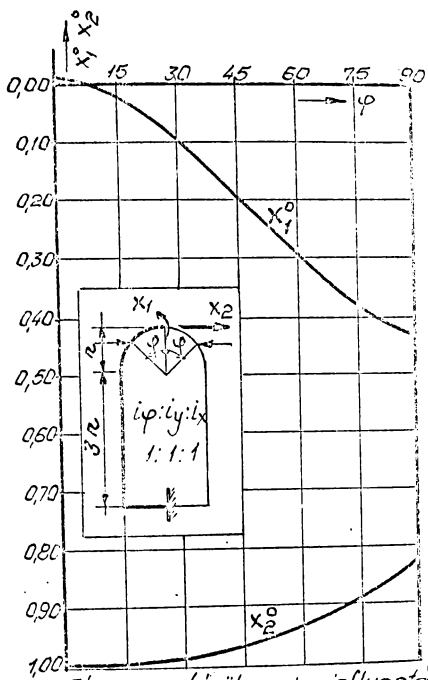


Fig. 8.2-25 Linille de influență x_1^0, x_2^0

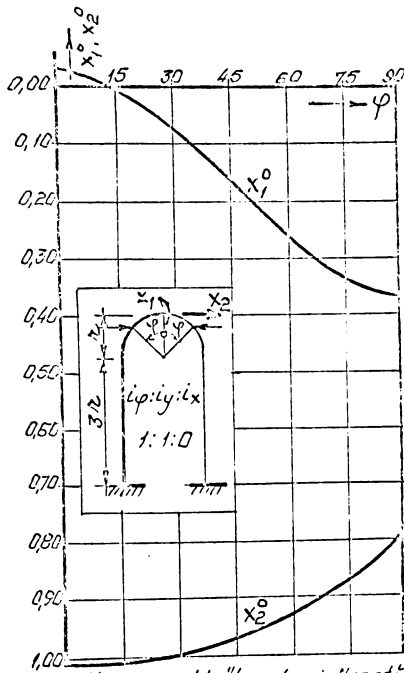


Fig. 8.2-26 Linille de influență x_1^0, x_2^0

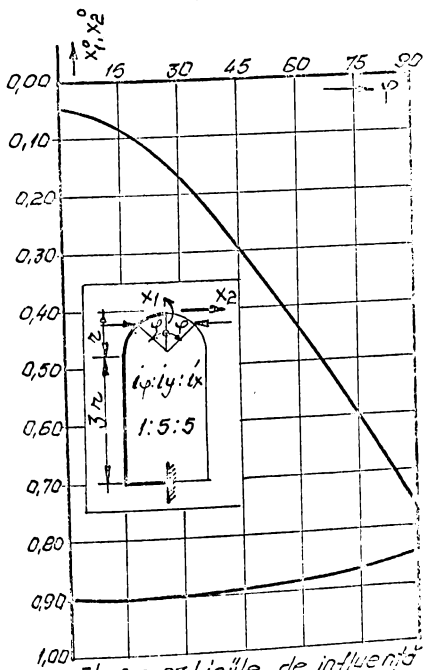


Fig. 8.2-27 Linille de influență x_1^0, x_2^0

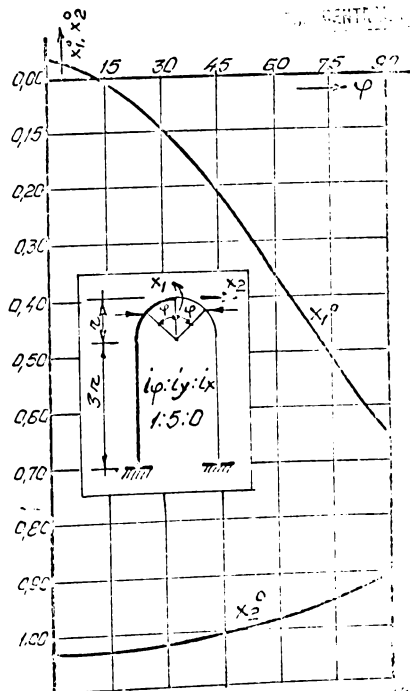


Fig. 8.2-28 Linille de influență x_1^0, x_2^0

§ 8.3.- Linii de influență ale necunoscutelor pentru structura sub formă de cerc

1.- Bazile de calcul

În calcul se adoptă secțiunea simetrică, încărcată simetric fig.8.3-1. Deoarece secțiunea este folosită la presiuni mari, se va lua în calcul numai ipoteza secțiunii cu moment de inerție constant.

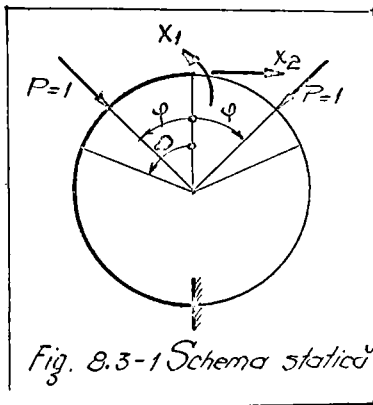


Fig. 8.3-1 Schema statică

Deoarece secțiunea este folosită la presiuni mari, se va lua în calcul numai ipoteza secțiunii cu moment de inerție constant.

Valoarea necunoscutelor poate fi determinată conform relațiilor (6.1-6)

$$\begin{aligned} x_1^0 &= -\frac{1}{\pi} (I_1 + 2I_2) \\ x_2^0 &= -\frac{1}{\pi} (2I_2) \end{aligned} \quad (8.3-1)$$

unde :

$$I_1 = \int_{\varphi}^{\pi} \left(\frac{M_{\theta}^0}{Pr} \right) d\theta ; \quad I_2 = \int_{\varphi}^{\pi} \left(\frac{M_{\theta}^0}{Pr} \right) \cos\theta d\theta \quad (8.3-2)$$

momentul încovoitor $\left(\frac{M_{\theta}^0}{Pr} \right)$ se scrie pentru o secțiune curentă $\theta > \varphi$ având forma : $\left(\frac{M_{\theta}^0}{Pr} \right) = f(\theta, \varphi)$ (8.3-3)

funcția $f(\theta, \varphi)$ se scrie în mod diferit în funcție de direcția forței unitare în raport cu centrul secțiunii.

2.- Încărcare normală

În acest caz momentul încovoitor într-o secțiune curentă

tă are valoarea :

$$\frac{M_{\theta}^0}{Pr} = -\sin(\theta - \varphi) \quad (8.3-4)$$

Valoarea integralelor 8.3-2 se calculează din relațiile:

$$I_1 = \int_{\varphi}^{\pi} \left(\frac{M_0^0}{P_r} \right) d\theta = -(1 - \cos \varphi)$$

$$I_2 = \int_{\varphi}^{\pi} \left(\frac{M_0^0}{P_r} \right) \cos \theta d\theta = \frac{1}{2} (\pi - \varphi) \sin \varphi \quad (8.3-5)$$

Necunoscutele dimensionale se scriu după relațiile

8.3-1. Se obține :

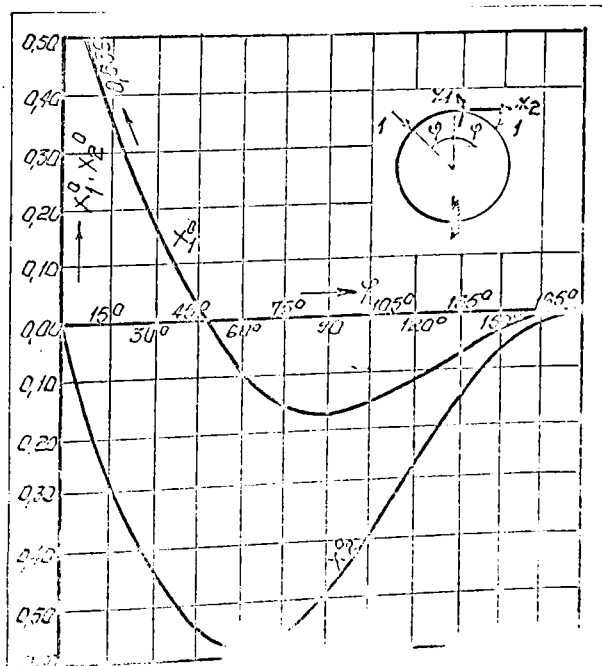
$$x_1^0 = \frac{1}{\pi} (1 + \cos \varphi) - \left(1 - \frac{\varphi}{\pi}\right) \sin \varphi$$

$$x_2^0 = -\left(1 - \frac{\varphi}{\pi}\right) \sin \varphi \quad (8.3-6)$$

Valorile necunscutelelor sînt calculate în tabelul 8.3-1 și reprezentate în fig. 8.3-2.

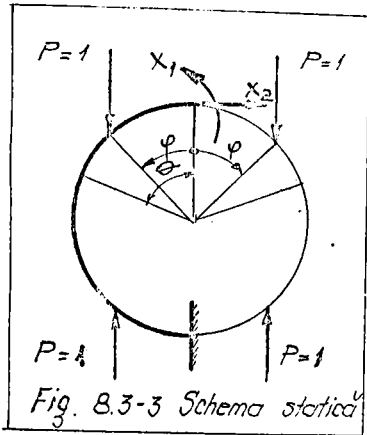
Ordonatele liniei de influență x_1^0, x_2^0 Tabel 8.3-1

| | 0° | 15° | 30° | 45° | 60° | 75° | 90° | 105° | 120° | 135° | 150° | 165° | 180° |
|---------|-----------|------------|------------|------------|------------|------------|------------|-------------|-------------|-------------|-------------|-------------|-------------|
| x_1^0 | 0,636 | 0,589 | 0,477 | 0,313 | -0,127 | -0,163 | -0,192 | -0,167 | -0,130 | -0,06 | -0,021 | -0,043 | 0,0 |
| x_2^0 | 0,000 | -0,237 | -0,417 | -0,530 | -0,573 | -0,561 | -0,500 | -0,403 | -0,269 | -0,11 | -0,004 | -0,007 | 0,0 |



3.2. Forțele verticale

momentul încovoitor de serie într-o secțiune curentă $\theta > \varphi$



(fig.8.3-3)

$$\frac{M_{\theta}^0}{Pr} = -(\sin \theta - \sin \varphi) \quad (8.3-7)$$

Expresia integralelor rezultă din relațiile :

$$I_1 = \int_{\varphi}^{\pi} \left(\frac{M_{\theta}^0}{Pr} \right) d\theta = -[1 + \cos \varphi - (\pi - \varphi) \sin \varphi]$$

$$I_2 = \int_{\varphi}^{\pi} \left(\frac{M_{\theta}^0}{Pr} \right) \cos \theta d\theta = -\frac{1}{2} \sin^2 \varphi \quad (8.3-8)$$

Expresiile necunoscutele au valorile :

$$x_1^0 = -\frac{1}{\pi} [1 - \cos \varphi + (\pi - \varphi) \sin \varphi - \sin^2 \varphi] \quad (8.3-9)$$

$$x_2^0 = \frac{1}{\pi} \sin^2 \varphi$$

Valorile numerice ale liniilor de influență au fost calculate în tabelul 8.3-2 și reprezentate grafic în fig.8.3.4. În aceste calcule s-a considerat că forța are sensul în jos pentru $\varphi \in (0, \frac{\pi}{2})$ și are sensul în sus pentru $\varphi \in (\frac{\pi}{2}, \pi)$

Ordonatele liniilor de influență x_1^0, x_2^0 Tabel 8.3-2

| φ | 0° | 15° | 30° | 45° | 60° | 75° | 90° | 105° | 120° | 135° | 150° |
|-----------|-----------|------------|------------|------------|------------|------------|------------|-------------|-------------|-------------|-------------|
| x_1^0 | 0,636 | 0,410 | 0,257 | 0,172 | 0,139 | 0,134 | 0,136 | -0,136 | -0,133 | -0,129 | -0,125 |
| x_2^0 | 0,000 | 0,021 | 0,080 | 0,169 | 0,239 | 0,289 | 0,319 | -0,319 | -0,332 | -0,352 | -0,375 |

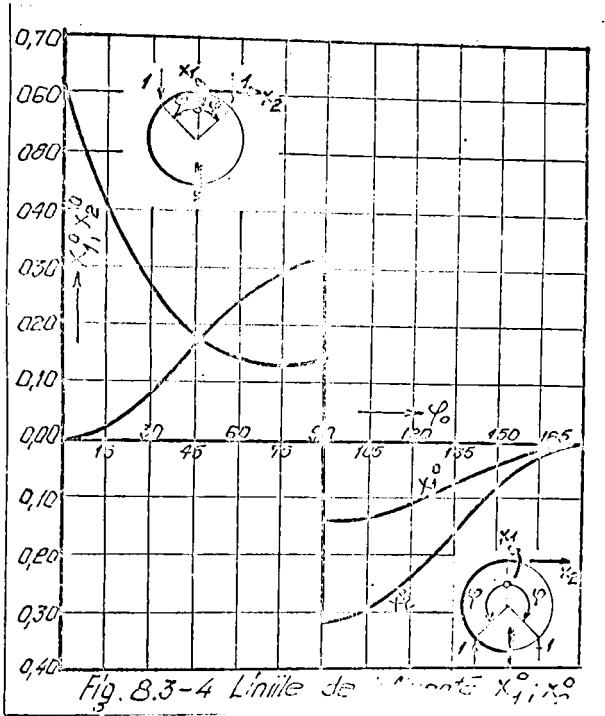


Fig. 8.3-4 Linii de momente \$x_1^0, x_2^0\$

4.- Incarcarea orizontala

momentul incovielor pe structura static determinată se

scrie sub forma: fig. 8.3-5.

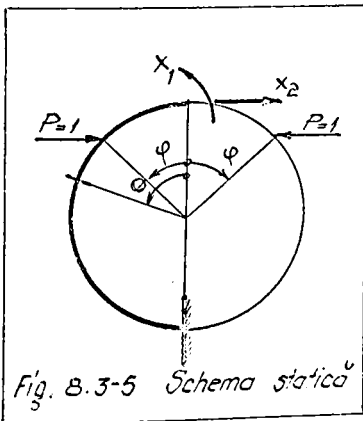


Fig. 8.3-5 Schema statică

$$\left(\frac{M_0^0}{P r}\right) = -(\cos \varphi - \cos \theta) \tag{8.3-10}$$

Expresiile integralelor ce înmă în componența necunoscuteilor cu valorile :

$$I_1 = \int_{\varphi}^{\pi} \left(\frac{M_0^0}{P r}\right) d\theta = -[\pi - \varphi] \cos \varphi + \sin \varphi$$

$$I_2 = \int_{\varphi}^{\pi} \left(\frac{M_0^0}{P r}\right) \cos \theta d\theta = [\sin \varphi \cos \varphi + (\pi - \varphi)] \tag{8.3-11}$$

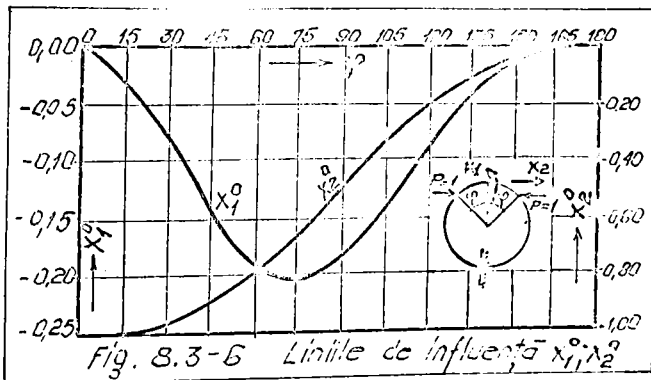
Coordonatele cilindrice se exprimă sub formă :

$$\begin{aligned} X_1^0 &= -\frac{1}{\pi} \left[(\pi - \varphi)(1 - \cos \varphi) - \sin \varphi (1 - \cos \varphi) \right] \\ X_2^0 &= -\frac{1}{\pi} \left[\sin \varphi \cos \varphi + (\pi - \varphi) \right] \end{aligned} \quad (8.3-12)$$

Valorile coordonatelor sînt calculate în tabelul 8.3-3 și reprezentate grafic în fig.8.3-6.

Ordonațiile tabel de influență $X_1^0; X_2^0$ Tabel 8.3-3

| φ | 0° | 15° | 30° | 45° | 60° | 75° | 90° | 105° | 120° | 135° | 150° | 165° | 180° |
|-----------|-----------|------------|------------|------------|------------|------------|------------|-------------|-------------|-------------|-------------|-------------|-------------|
| X_1^0 | 0,000 | -0,253 | -0,521 | -0,781 | -0,993 | -0,999 | -0,781 | -0,521 | -0,253 | 0,000 | 0,253 | 0,521 | 0,781 |
| X_2^0 | -1,000 | -0,987 | -0,971 | -0,952 | -0,930 | -0,905 | -0,877 | -0,846 | -0,812 | -0,775 | -0,735 | -0,692 | -0,646 |



§ 8.4.- Linii de influență ale necunoscutelor pentru o structură în formă de arc de cerc

1.- Dezale de calcul

Structura sub formă de arc de cerc se folosește la bolțile centralelor subterane, galeriile caoilor, galeriile de acces precum și la galerii subterane cu roți foarte bune. Execuția bolții se face cu

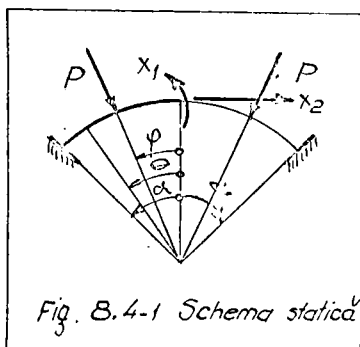


Fig. 8.4-1 Schema statică

moment de inerție constant sau variabil. Cintrile metalice se execută cu moment de inerție constant.

Necunoscutele adimensionale, în

cheia arcului fig.8.4-1 se obțin din relațiile :

$$\begin{aligned} X_1^0 &= K_{12}^0 \Delta_{2P} - K_{22}^0 \Delta_{1P} \\ X_2^0 &= K_{12}^0 \Delta_{1P} - K_{11}^0 \Delta_{2P} \end{aligned} \quad (8.4-1)$$

unde :

- Δ_{iP} sînt deplasările adimensionale din cheia arcului
- K_{ij} sînt elementele matricii inverse a necunoscutelor și depind numai de forma arcului.

Deplasările adimensionale se calculează din relațiile :

$$\Delta_{1P}^0 = \int_{\varphi}^{\alpha} \left(\frac{M_{\theta}}{P r} \right) L_{\theta} d\theta \quad (8.4-2)$$

$$\Delta_{2P}^0 = \int_{\varphi}^{\alpha} - \frac{M_{\theta}}{P r} (1 - \cos \theta) L_{\theta} d\theta$$

În relațiile 8.4-2 L_{θ} este raportul între momentul de inerție la cheia arcului J_0 și unghi curent J_{θ} . Acest coeficient poate fi constant, variabil sau continuu s-au în trepte și

forma :
$$L_{\theta} = \frac{J_{\theta}}{J_0}$$

(8.4-3)

2.- Linia de influență pentru cîmpul rotativ cu moment de inerție constant

Coefficienții matricei necunoscutei au valorile :

$$\delta_{11}^{\circ} = \int_0^{\alpha} 1 \cdot 1 \cdot d\varphi = \alpha$$

$$\delta_{12}^{\circ} = \int_0^{\alpha} 1(1 - \cos \varphi) d\varphi = -(\alpha - \sin \alpha)$$

$$\delta_{22}^{\circ} = \int_0^{\alpha} (1 - \cos \varphi)^2 d\varphi = \frac{3}{2} \alpha - 2 \sin \alpha + \frac{1}{2} \sin \alpha \cos \alpha \quad (8.4-3)$$

Elementele matricei inverse a cărei elemente sînt K_{11}° ; K_{12}° ; K_{22}° au fost calculate în tabelul 8.4.1 pentru deschideri $\alpha = 45^{\circ}$, 60° , 90° .

K_{11}° ; K_{12}° ; K_{22}° Tabel 8.4-1

| α | K_{11}° | K_{12}° | K_{22}° |
|---------------------|------------------|------------------|------------------|
| $\alpha=45^{\circ}$ | 163,650 | -15,310 | 2,810 |
| $\alpha=60^{\circ}$ | 41,844 | -7,239 | 2,207 |
| $\alpha=90^{\circ}$ | 6,722 | -2,443 | 1,524 |

Linia de influență se va determina în funcție de direcția forței. Se iau în studiu trei cazuri posibile.

a.- Inclinarea radială

momentul încovoitor pe structura de bază, pentru o secțiune $\theta > \varphi$ fig.8.4-1 are expresia :

$$\left(\frac{M_{\theta}}{P r} \right) = -\sin(\theta - \varphi) \quad (8.4-4)$$

Deplasările adimensionale se pot calcula din (8.4-2) u

(8.4-4) pentru $L_{\theta} = 1$. Se obține :

$$\Delta_{1P}^{\circ} = \int_{\varphi}^{\alpha} \left(\frac{M_{\theta}}{P r} \right) d\theta = -[1 - \cos(\alpha - \varphi)] \quad (8.4-5)$$

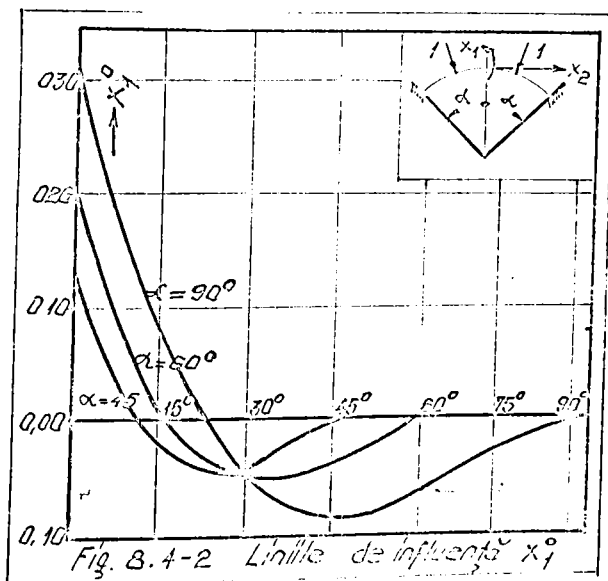
$$\Delta_{2P}^{\circ} = \int_{\varphi}^{\alpha} -\left(\frac{M_{\theta}}{P r} \right) (1 - \cos \theta) d\theta = [1 - \cos(\alpha - \varphi) - \frac{1}{2} \sin \alpha \sin(\alpha - \varphi) + \frac{1}{2}(\alpha - \varphi) \sin \varphi]$$

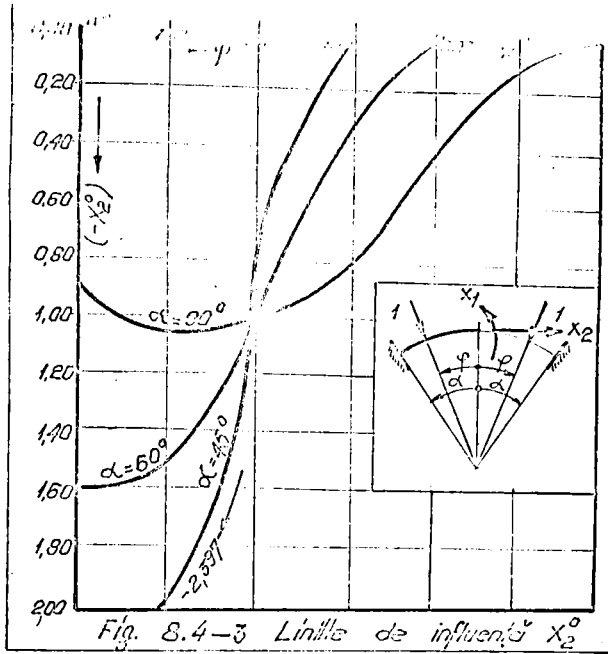
...
 ...
 ...

In tabelul 8.4-2 sînt calculate aceste elemente și sînt reprezentate grafic în fig.8.4-2 pentru X_1^0 și fig.8.4-3 pentru X_2^0

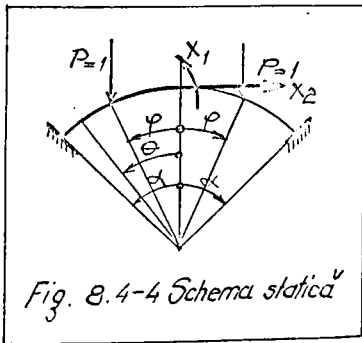
Linile de influență $X_1^0; X_2^0$ Tabel 8.4-2

| | | 0° | 15° | 30° | 45° | 60° | 75° | 90° |
|-----|---------|--------|--------|--------|--------|--------|--------|-------|
| 45° | X_1^0 | 1,374 | -0,000 | -0,000 | 0,000 | --- | --- | --- |
| | X_2^0 | -2,357 | -1,907 | -0,754 | 0,000 | --- | --- | --- |
| 50° | X_1^0 | 0,183 | 0,038 | -0,001 | -0,052 | 0,000 | --- | --- |
| | X_2^0 | -1,610 | -1,559 | -1,023 | 0,320 | 0,000 | --- | --- |
| 90° | X_1^0 | 0,333 | 0,000 | -0,033 | -0,083 | -0,083 | -0,021 | 0,000 |
| | X_2^0 | 0,912 | -1,035 | -1,000 | -0,712 | -0,511 | -0,113 | 0,000 |





b.- Încălecare verticală



Momentul încovoiător se scrie în raport cu un unghi $\theta > \varphi$

Fig. 8.4-4.

$$\left(\frac{M_\theta}{P_T}\right) = -(\sin\theta - \sin\varphi) \quad (8.4-5)$$

Deplasările se obțin rezolvând integraloale impuse de condiții -

10 :

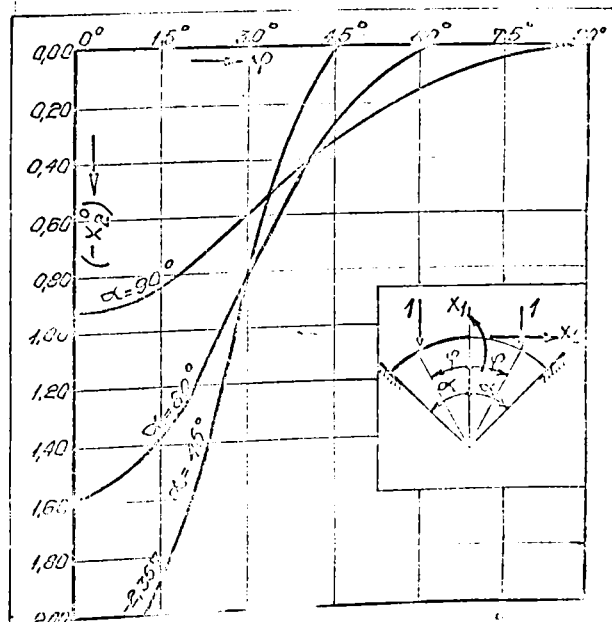
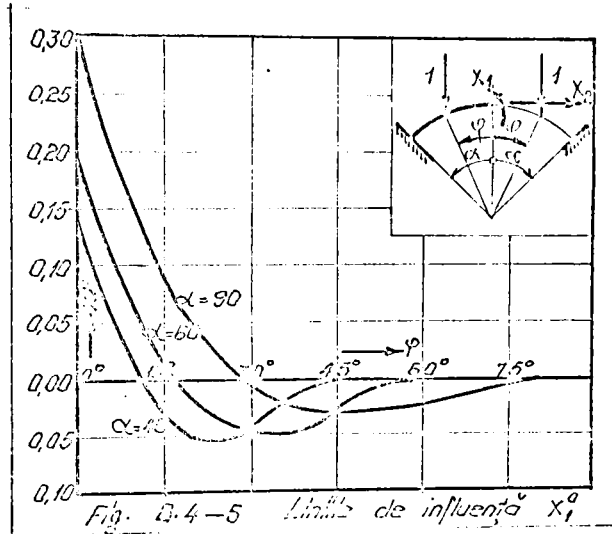
$$\Delta_{1P} = \int_{\varphi}^{\alpha} \left(\frac{M_\theta}{P_T}\right) d\theta = -[\cos\varphi - \cos\alpha] - (\alpha - \varphi) \sin\varphi \quad (8.4-7)$$

$$\Delta_{2P} = \int_{\varphi}^{\alpha} \left(\frac{M_\theta}{P_T}\right) (1 - \cos\theta) d\theta = \left[\cos\varphi - \cos\alpha - (\alpha - \varphi) \sin\varphi - \frac{1}{2}(\sin\alpha - \sin\varphi)^2 \right]$$

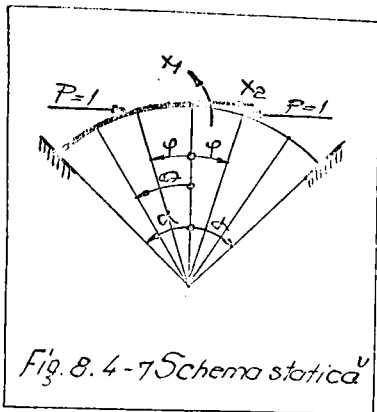
Relațiile 8.4-1 permit calculul ordonatelor liniilor de influență. Valorile X_1^0 ; X_2^0 sînt calculate în tabelul 8.4.3 și

și reprezentate grafic în fig. 3.4-5 pentru X_1^0 și fig. 3.4-6 pentru X_2^0 .

| α | X_1^0 | X_2^0 | X_3^0 | X_4^0 | X_5^0 | X_6^0 | X_7^0 | X_8^0 | X_9^0 |
|----------|---------|---------|---------|---------|---------|---------|---------|---------|---------|
| 45° | X_1^0 | 0,173 | -0,552 | -0,075 | 0,070 | — | — | — | — |
| | X_2^0 | -2,537 | -1,907 | -0,535 | 0,070 | — | — | — | — |
| 60° | X_1^0 | 0,139 | 0,043 | -0,070 | -0,026 | 0,039 | — | — | — |
| | X_2^0 | -1,670 | -1,130 | -0,500 | -0,253 | 0,039 | — | — | — |
| 90° | X_1^0 | 0,000 | 0,000 | -0,001 | -0,000 | 0,024 | -0,000 | 0,000 | — |
| | X_2^0 | -0,000 | -0,532 | -0,627 | -1,077 | -0,160 | 0,000 | 0,000 | — |



8.4. - Influența arcului 111



momentul încovoietor pe arcu de
bază se scrie pentru secțiunea cu-
rrentă $\theta > \varphi$, fig.8.4-7 :

$$\left(\frac{M_{\theta}^0}{P_T}\right) = -(\cos\varphi - \cos\theta) \quad (8.4-8)$$

Valorile deplasărilor se calcu-
lează după cum urmează :

$$\Delta_{1P}^0 = \int_{\varphi}^{\alpha} \left(\frac{M_{\theta}^0}{P_T}\right) d\theta = \int_{\varphi}^{\alpha} -(\cos\varphi - \cos\theta) d\theta = -[(\alpha - \varphi)\cos\varphi - (\sin\alpha - \sin\varphi)]$$

$$\Delta_{2P}^0 = \int_{\varphi}^{\alpha} \left(-\frac{M_{\theta}^0}{P_T}\right)(1 - \cos\theta) d\theta = [(\alpha - \varphi)\cos\varphi - (\sin\alpha - \sin\varphi) - \sin\alpha \cos\varphi] + \quad (8.4-9)$$

$$+ [\sin\varphi \cos\varphi + \frac{1}{2}(\alpha - \varphi) + \frac{1}{2}\sin(\alpha - \varphi)\cos(\alpha + \varphi)]$$

Liniiile de influență au expresiile :

$$X_1^0 = K_{12}^0 \Delta_{2P}^0 - K_{22}^0 \Delta_{1P}^0$$

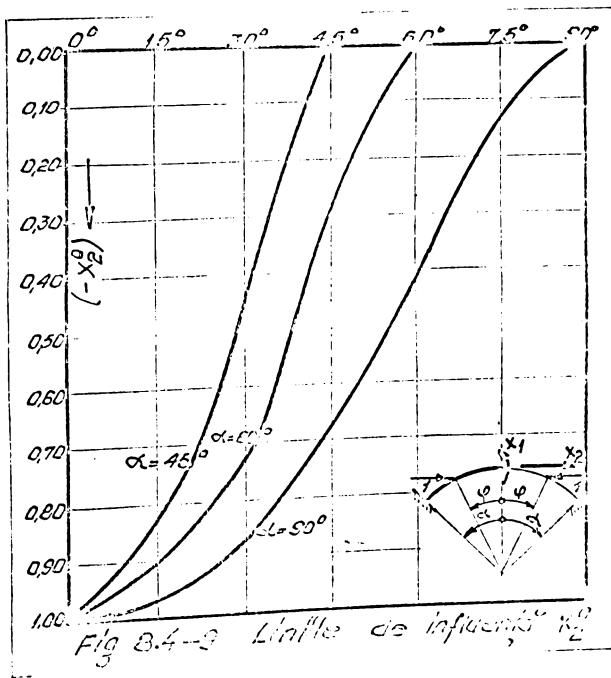
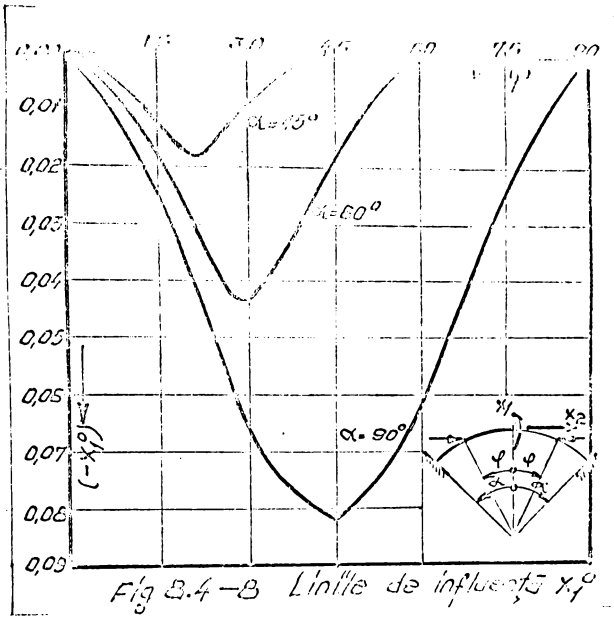
$$X_2^0 = K_{12}^0 \Delta_{1P}^0 - K_{11}^0 \Delta_{2P}^0$$

(8.4-10)

Valorile lor au fost calculate în tabelul 8.4-4 și repre-
zentate grafic în fig.8.4-8 pentru X_1^0 și în fig.8.4-9 pentru X_2^0 .

Liniiile de influență X_1^0, X_2^0 Tabel 8.4-4

| | | φ în grade sexagesimale | | | | | | |
|-----|---------|---------------------------------|--------|--------|--------|--------|--------|-------|
| | | 0° | 15° | 30° | 45° | 60° | 75° | 90° |
| 45° | X_1^0 | 0,000 | -0,012 | -0,010 | 0,000 | — | — | — |
| | X_2^0 | -1,000 | -0,835 | -0,415 | 0,000 | — | — | — |
| 60° | X_1^0 | 0,000 | -0,015 | -0,044 | -0,020 | 0,000 | — | — |
| | X_2^0 | -1,000 | -0,510 | -0,720 | -0,200 | 0,000 | — | — |
| 90° | X_1^0 | 0,000 | -0,021 | -0,065 | -0,012 | -0,065 | -0,025 | 0,000 |
| | X_2^0 | -1,000 | -0,010 | -0,000 | -0,000 | -0,000 | -0,150 | 0,000 |



3.- Linia de influență pentru fabricați cu arcadă
de inertie variabilă

Legea de variație se acceptă sub forma :

$$I_{\theta} = \frac{J_{\theta}}{J_0} = \cos^3 \alpha \theta \quad (8.4-10)$$

Coefficienții matricii necunoscutelor se exprimă analog relațiilor 7.1-3, valorile lor sînt :

$$\begin{aligned} \delta_{11}^{\circ} &= \frac{C}{4} \\ \delta_{12}^{\circ} &= -\left(\frac{C}{4} - \frac{B}{8}\right) \\ \delta_{22}^{\circ} &= \frac{C}{4} - \frac{B}{4} + \frac{A}{8} \end{aligned} \quad (8.4-11)$$

A, B, C sînt explicitate în 7.1-4 și calculate în tabelul 7.1-1.

Pentru $\alpha = 0$ se ajunge la cazul momentelor de inerție constante studiat anterior. Inversarea elementelor matricii necunoscutelor se face după relațiile 7.1-5.

a.- Indicarea rigidității

momentul încovierilor pe structura de bază fig. 8.4-1 este scris în relația 8.4-4. Se calculează deplasările arcului static determinat :

$$\begin{aligned} \Delta_{1P}^{\circ} &= \int_{\varphi}^{\infty} I_{\theta} \left(\frac{M_{\theta}^{\circ}}{P r} \right) d\theta = - \int_{\varphi}^{\infty} \sin(\theta - \varphi) \cos^3 \alpha \theta d\theta \\ \Delta_{2P}^{\circ} &= \int_{\varphi}^{\infty} I_{\theta} \left(\frac{M_{\theta}^{\circ}}{P r} \right) d\theta (1 - \cos \theta) d\theta = -\Delta_{1P}^{\circ} + \int_{\varphi}^{\infty} I_{\theta} \left(\frac{M_{\theta}^{\circ}}{P r} \right) \cos \theta d\theta \end{aligned} \quad (8.4-12)$$

Relațiile de mai sus pot fi ușor explicitate dacă se introduc următoarele integrale :

$$\begin{aligned} B' &= -8 \int_0^{\infty} \sin \varphi \cos^3 \alpha \varphi d\varphi \\ D' &= -16 \int_0^{\infty} \sin \varphi \cos \varphi \cos^3 \alpha \varphi d\varphi \end{aligned} \quad (8.4-13)$$

Valorile integralelor B', D' sînt calculate în tabelul

Valorile integralelor D, B' Tabel 8.4-5

| α | φ | D, B' | | | | | | |
|----------|-----------|---------|--------|--------|-------|--------|----------------|---------|
| | | D | 0,2 | 0,4 | 0,6 | 0,8 | 1,0 | 1,2 |
| D' | 0° | 4,000 | 4,100 | 4,600 | 3,670 | 1,300 | 3,200 | 4,245 |
| | 10° | 3,760 | 3,870 | 4,400 | 3,520 | 1,060 | 2,955 | 4,010 |
| | 20° | 3,070 | 3,200 | 3,765 | 2,660 | 0,415 | 2,315 | 3,420 |
| | 30° | 2,000 | 2,145 | 2,750 | 1,700 | -0,465 | 1,560 | 2,735 |
| | 40° | 0,695 | 0,870 | 1,560 | 0,640 | -1,360 | 0,015 | 2,200 |
| | 50° | -0,695 | -0,470 | 0,365 | 4,660 | -2,095 | 0,360 | 1,915 |
| | 60° | -2,000 | -1,705 | -0,660 | 3,065 | -2,585 | 0,100 | 1,020 |
| | 70° | -3,055 | -2,690 | -1,450 | 3,705 | -2,010 | 0,015 | 1,810 |
| | 80° | -3,760 | -3,315 | -1,905 | 3,135 | -2,930 | 0,000 | 1,810 |
| B' | 0° | 8,000 | 9,375 | 2,600 | 8,485 | 16,250 | $\infty+1,250$ | -13,825 |
| | 10° | 7,820 | 9,215 | 2,450 | 8,360 | 16,130 | $\infty+1,135$ | -13,925 |
| | 20° | 7,520 | 8,835 | 2,180 | 8,015 | 15,795 | $\infty+0,810$ | -14,830 |
| | 30° | 6,930 | 8,315 | 1,660 | 7,490 | 15,305 | $\infty+0,375$ | -14,605 |
| | 40° | 6,130 | 7,530 | 0,820 | 6,710 | 14,760 | $\infty-0,065$ | -14,970 |
| | 50° | 5,145 | 6,500 | -0,015 | 6,145 | 14,210 | $\infty-0,410$ | -15,130 |
| | 60° | 4,000 | 5,500 | -0,955 | 5,470 | 13,815 | $\infty-0,625$ | -15,210 |
| | 70° | 2,740 | 4,350 | -1,845 | 4,800 | 13,520 | $\infty-0,725$ | -15,230 |
| | 80° | 1,390 | 3,120 | -2,715 | 4,100 | 13,350 | $\infty-0,745$ | -15,235 |

Dezvoltind relațiile 8.4-12 și ținând cont de integralele 7.1-4 respectiv 8.4-13 se obțin :

$$\Delta_{1P}^{\circ} = -\left[\frac{B'}{8} \int_{\varphi}^{\alpha} \cos \varphi - \frac{B}{8} \int_{\varphi}^{\alpha} \sin \varphi \right] = \frac{1}{8} \left[(B'\alpha - B'\varphi) \cos \varphi + (B\alpha - B\varphi) \sin \varphi \right]$$

$$\Delta_{2P}^{\circ} = -\Delta_{1P}^{\circ} - \int_{\varphi}^{\alpha} \sin(\theta - \varphi) \cos \theta \cos^3 a \theta \, d\theta = \left[\frac{1}{8} (B'\alpha - B'\varphi) + \frac{1}{16} (D'\alpha - D'\varphi) \right] \cos \varphi + \left[\frac{1}{8} (B\alpha - B\varphi) + \frac{1}{8} (A\alpha - A\varphi) \right] \sin \varphi$$

În final, liniile de influență pentru încălzirea se obțin din relațiile :

$$X_1^{\circ} = K_{12}^{\circ} \Delta_{2P}^{\circ} - K_{22}^{\circ} \Delta_{1P}^{\circ}$$

$$X_2^{\circ} = K_{12}^{\circ} \Delta_{1P}^{\circ} - K_{11}^{\circ} \Delta_{2P}^{\circ}$$

(8.4-14)

unde :

- K_{ij} sînt constante pentru un arc dat ;

- Δ_{2P}, Δ_{1P} se calculează din relațiile 8.4-13 pentru diferite valori ale unghiului φ . Variabila φ intră în relațiile 8.4-13 atât direct cît și prin intermediul integralelor definite în relațiile 8.4-13 și 7.1-4. Lăcînd $a = 0$ se obține arcul cu moment de inerție constant.

b.- Încălcarea unghiului

Momentul pe arcul static determinat (fig.8.4-4) este dat

$$\text{în relația (8.4-6) : } \left(\frac{M_{\theta}^{\circ}}{P \cdot r} \right) = -(\sin \theta - \sin \varphi) \quad (8.4-15)$$

Deplasările au valorile :

$$\Delta_{1P}^{\circ} = \int_{\varphi}^{\alpha} l_{\theta} \left(\frac{M_{\theta}^{\circ}}{P \cdot r} \right) d\theta = - \int_{\varphi}^{\alpha} (\sin \theta - \sin \varphi) \cos^3 \alpha \theta d\theta \quad (8.4-16)$$

$$\Delta_{2P}^{\circ} = \int_{\varphi}^{\alpha} -l_{\theta} (1 - \cos \theta) \left(\frac{M_{\theta}^{\circ}}{P \cdot r} \right) d\theta = \int_{\varphi}^{\alpha} (\sin \theta - \sin \varphi) (1 - \cos \theta) \cos^3 \alpha \theta d\theta$$

Utilizînd definiția integralelor introduse anterior se

poate scrie :

$$\begin{aligned} \Delta_{1P}^{\circ} &= \frac{1}{8} |B'|_{\varphi}^{\alpha} + \frac{1}{4} \sin \varphi |C|_{\varphi}^{\alpha} = \frac{1}{8} (B'_{\alpha} - B'_{\varphi}) + \frac{1}{4} (C_{\alpha} - C_{\varphi}) \sin \varphi \\ \Delta_{2P}^{\circ} &= \frac{1}{16} (D'_{\alpha} - D'_{\varphi}) - \frac{1}{8} (B'_{\alpha} - B'_{\varphi}) + \left[\frac{1}{8} (B_{\alpha} - B_{\varphi}) - \frac{1}{4} (C_{\alpha} - C_{\varphi}) \right] \sin \varphi \end{aligned} \quad (8.4-17)$$

Analiza relațiilor 8.4-17 arată că Δ_{1P}° ; Δ_{2P}° sînt funcții de φ prin mărimile B'_{φ} , C_{φ} , D'_{φ} și prin $\sin \varphi$

Linia de influență se obține din 8.4-15 dînd lui φ valori cuprinse între 0 și α .

c.- Încălcarea cîlcăntului

momentul încovoiator pe arcul static determinat are v-

$$\text{loarea (fig.8.4-7) : } \left(\frac{M_{\theta}^{\circ}}{P \cdot r} \right) = -(\cos \varphi - \cos \theta) \quad (8.4-18)$$

Deplasările din încălcarea vor fi :

$$\Delta_{1P}^{\circ} = \int_{\varphi}^{\alpha} i_{\theta} \left(\frac{M_{\theta}}{P r} \right) d\theta = - \int_{\varphi}^{\alpha} (\cos \varphi - \cos \theta) \cos^3 \alpha \theta d\theta$$

$$\Delta_{2P}^{\circ} = \int_{\varphi}^{\alpha} -(1 - \cos \theta) i_{\theta} \left(\frac{M_{\theta}}{P r} \right) d\theta = \int_{\varphi}^{\alpha} (1 - \cos \theta) (\cos \varphi - \cos \theta) \cos^3 \alpha \theta d\theta$$

(8.4-19)

Utilizând definițiile anterioare ale unor integrale se poate scrie :

$$\Delta_{1P}^{\circ} = \frac{1}{8} (B_{\alpha} - B_{\varphi}) - \frac{1}{4} (C_{\alpha} - C_{\varphi}) \cos \varphi$$

$$\Delta_{2P}^{\circ} = \frac{1}{8} [(A_{\alpha} - A_{\varphi}) - (B_{\alpha} - B_{\varphi})] + \left[\frac{1}{4} (C_{\alpha} - C_{\varphi}) - \frac{1}{8} (B_{\alpha} - B_{\varphi}) \right] \cos \varphi \quad (8.4-20)$$

Valorile 8.4-20 sînt funcții numai de variabila φ . Condatele liniei de influență se obțin cu ajutorul relațiilor 8.4-14.

In concluzie :

- Existența liniilor de influență permite calculul solicitărilor pentru orice tip de încălzire.

- Lucrarea conține toate elementele necesare construirii întregii game a liniilor de influență, ceea ce ușurează în mod considerabil posibilitățile de rezolvarea problemelor ce apar în toate domeniile de folosire a structurilor folosite în calcul.

- Logoa de variație adoptată conține un parametru și poate să accepte orice altă lege de variație a secțiunii cu un coeficient de excitație. Expresiile deduse deci cu un caracter general, valabile pentru orice variație a secțiunii.

- Tabelele coeficienților priuani prezentate în lucrare ușurează determinarea liniilor de influență, cu toate că relațiile prezentate la prima vedere par complicate.

Capitolul 9 - CONCLUZII

Prezenta lucrare face un studiu asupra calculului elementelor metalice plane și a fabricării galeriilor subterane. Materialul este împărțit în opt capitole tratând în aceeași viziune principalele probleme ce apar la :

- alegerea formei cea mai adecvată a secțiunii galeriei
- mărimea și forma de distribuție a încălzirilor ce solicită elementele dintr-o galerie metalică și fabricarea galeriei
- calculul static al structurilor galeriilor în baza unor scheme logice ce pot analiza rapid mai multe variante tehnice de alcătuire a structurilor.

În capitolul 1 se evidențiază amploarea lucrărilor subterane ce urmează a fi executate în țara noastră ca urmare a realizării creșterii ponderii energiei electrice obținută pe cale hidro precum și necesitatea execuției acestor lucrări într-un timp scurt și cu maximum de eficiență economică. Scăderea realizării a acestor obiective urmează concentrarea atât a distribuitorilor cât și a căderilor, ambale țeluri condus la un nivel mare de lucrări subterane. De aici decurge și necesitatea unui studiu asupra formei, încălzirilor și calculului static rapid a acestor obiecte. Capitolul prezintă și o parte din biografia fiecărui tip de lucrări. Galeria subterană fiind din acest punct de vedere un element din ce în ce mai important este necesar să fie tratat cu cea mai mare atenție tocmai în această direcție studiile și experiența de până acum nu se găsesc la nivelul altor obiecte hidrotehnice ca baraje, conducte, etc. etc.

studii amănunțite , tehnologii moderne de execuție, etc.

luții tehnico îndrăznețe asupra galeriilor au fost abordate abia în ultimii ani.

Lucrarea de față dorește să contribuie la necesitatea de a cunoaște modul de lucru a acestor construcții astfel ca proiectarea și execuția lor să se facă în baza unor metode de calcul cât mai apropiate de realitate.

În cadrul capitolelui 2 "Studiul formei și a încărcărilor galeriilor subterane" se prezintă studiul geometriei secțiunilor pornind de la definirea sub forma generală a unui tip de bază de la care, prin particularizare, se obține o gamă foarte mare de secțiuni ce pot satisface toate necesitățile practice de alcătuirii a secțiunilor. Prin descrierea tuturor secțiunilor pornind de la una generală se dă o metodă unitară de studiu a parametrilor geometrici, de încărcare și statici.

Diagramele și tabelele originale date în cadrul acestui paragraf înlesnesc conducerea calculului și permit alegerea rapidă a parametrilor celor mai potriviți unei situații date. Se rugăște, în urma studiului tuturor parametrilor, să se definească nu o secțiune particulară ci o familie de secțiuni geometrice care au proprietatea de a avea aceeași formă (definită de un număr minim necesar de parametri) urmind ca mărimea unei secțiuni din grupul de aceeași formă să fie alcasă printr-un parametru geometric.

În cadrul unui alt paragraf se studiază variația momentelor de inerție a diferitelor forme de secțiuni. Se propun secțiuni cu moment de inerție constant precum și variabil de trepte sau continuu. Variația continuă a momentelor de inerție este dată printr-o lege ce conține un parametru a cărui alegere potrivită acoperă toate necesitățile practice de alcătuirii a secțiunilor. În lucrare sînt date diagrame care usurează alegerea

convensabilă a variației momentelor de inerție cu avantajul de a putea pune condiții suplimentare pentru alogerea grosimii aroului.

Concluziile acestui paragraf sînt rezumate pe scurt în forma :

- Fontza galonii în rezi stîncease precum și la galonii lo sub presiune de fontă cilindrici, se precizează fabricămintul cu grosime constantă.

- În rezoile degradate, gîstease, fîmî coeziune sînt indicate fabricăminturile cu variații discontinue a grosimii.

- Galonii controlatorilor hidroelectrice subterane și bolțile tunelurilor cu uzo deschidare se recomandă a fi executate cu variația constantă a grosimii bolții.

Ultimul paragraf este rezervat încredințelor ce acționează asupra fabricăminturilor și cîntecelor de sprijinire a bolțiilor. Sînt analizate separat legile de distribuție a celor mai multe tipuri de încălziri. O parte a acestui paragraf analizează fenomenole ce produc încălziri și nu pot fi prinse în calculul formă unor legi de distribuție. Acțiunea lor se introduce în calculul majorînd valoarea a călăzării. Concluzia acestui graf subliniază :

- introducerea în calculul a încălzirilor, trebuie să țină cont de conlucerea reoii cu fabricămintul, în acest scop determinarea presiunii pasive corespunzătoare fiecărei încălziri prezintă un element de bază al calculului static .

Aprecierea coeficientului de pat, al arcului de ticitate, a coeficientului împingerii active, etc., trebuie făcută cu atenție deosebită. În cele mai multe situații, caracteristici se determină pe terenuri ce se execută cu funcție de

cu maxima de operativitate.

În lucrare se demonstrează importanța deosebită a raportului dintre modulele de elasticitate a structurii de rezistență și modulul de elasticitate al rocii cu care vine în contact. Se găsește de asemenea și influența acestui factor asupra încălzirii pe care o transmitte muntele ca presiune pasivă. Astfel, pentru secțiunea circulară, la presiunea uniformă a epa, rezultă din relația 6.4-3 valoarea presiunii pasive sub forma :

$$\frac{p_H}{p} = \frac{1}{1 + \beta \frac{1}{L}} \quad (9.1)$$

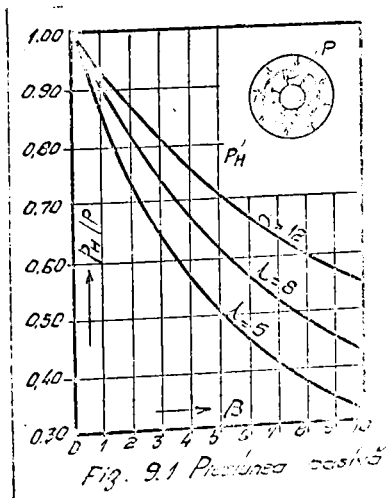
unde :

- p , presiunea exterioră uniform distribuită radial

$$\beta = \frac{E(1+\mu_r)}{E_{roci}a^2}$$

- $L = \frac{r}{a}$, grosimea relativă a structurii.

Relația pune în evidență dependența presiunii pasive în raport cu β , (raportul modulelor de elasticitate).



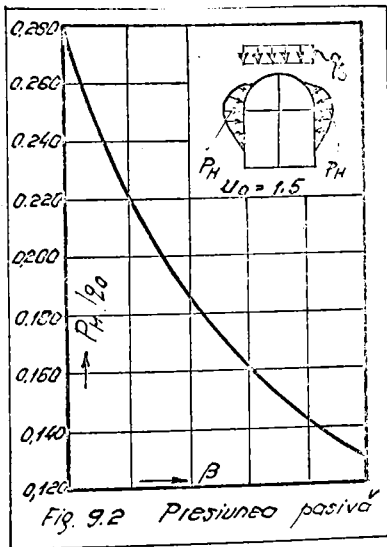
Relația de mai sus prezintă și diagrama alăturată pune în evidență că : - pentru o roci dură $\beta \rightarrow 0$ rezultă $p_H \rightarrow p$. Structura va fi în echilibru din punct de vedere al acestei încălziri și eforturile vor fi nule așa ca se vede din diagrama fig.6.4-2 ;

- pentru rocile slabe $\beta \rightarrow \infty$ rezultă $p_H \rightarrow 0$. În acest caz încălzirea este puternică datorită de către presiunea internă.

Relația 9.1 pune în evidență și influența grosimii relative a îmbrăcămintei, prin interacțiunea parametrului λ .

Pentru alte tipuri de secțiuni se propun legile de variație a încărcărilor din presiunea pasivă rezultând și mărimea lor. Astfel pentru secțiunea mănec de ceș avînd forma definită de $u_0 = 1,5$ și încălzirea din presiunea uniformă a rocii, scriind egalitatea deformațiilor îmbrăcămintei și a rocii rezultă

$$\frac{P_H}{q_0} = \frac{0,110}{0,39 + \frac{6}{\lambda^3} \beta} = f(\beta, \lambda) \quad (9.2)$$



Aceste diagrame pot fi construite și pentru alte tipuri de încălziri sau pentru combinații de încălziri, ele pun în evidență mărimea presiunii pasive în raport cu factorul β . În lucrare se calculează toate elementele necesare ridicării diagramelor de tipul 9.1 și 9.2 pentru toate situațiile de încălziri.

Cu cât valoarea β este mai mică, cu atât presiunea pasivă este favorabilă conlucrării structurii cu muntele. Din analiza acestor curbe rezultă:

- micșorarea coeficientului β conduce la o distribuție mai favorabilă a eforturilor în structură. Rezultă justificată realizarea injecțiilor de umplutură și consolidare pentru mărirea lui E_{rocii} și deci micșorarea parametrului β
- Injecțiile de consolidare sînt eficiente mai ales în zona în care roca are posibilitatea să acționeze prin încălzirea

pasivă deci neapărat și lateral nu numai în boltă (cum se obișnuiește).

Capitolul 3 "Contribuții la calculul câmpurilor gale-riilor subterane". Se scrie matricea coeficienților necunoscutelor sub o formă adimensională și se definesc necunoscutele adimensionale.

Acest mod de scriere are avantajul de a se putea generaliza atât la elementele matricii coeficienților cât și necunoscutelor. Coeficienții vor fi valabili pentru întreaga serie de secțiuni, geometric asemenea, cu alte cuvinte coeficienții nu sînt legați decât de forma secțiunii nu și de mărimea ei. Calculatoarele sînt prezentate pentru cazul unei secțiuni și încărcări de formă oarecare. În paragrafele următoare ale acestui capitol se analizează influența forței axiale și a curburii liniiei mediane a structurii în calculul deformațiilor unitare și deformațiilor din încălzirea exterioră. Se precizează cu exactitate ocazie relațiile ce dau influența procentuală a acestor mărimi dîndu-se și diagrame de calcul (fig.3.2-2, 4 pentru efectul forței axiale respectiv fig.3.3-1, pentru efectul curburii) din care rezultă exact situațiile cînd aceste efecte pot fi neglijate (în raport cu efectul momentului încovoitor) respectiv cînd trebuie luate în considerare și sperul lor procentual. În încheiere se dau relațiile generale pentru calculul deformațiilor în punctele importante ale structurii. În raport cu deformațiile în anumite puncte se scrie ecuația deformației liniar ei mediane, ecuație ce se folosește pentru stabilirea încălzirii pasive a montajului.

Capitolul se încheie cu o schemă logică pentru calculul eforturilor într-o secțiune de formă oarecare.

Capitolele 4 și 5 sînt rezervate studiului c

iau naștere din diferite încălziri în secțiunile de feră specială și mîner de coș folosite la galeriile de fugă ale centralelor hidroelectrice. Se iau în studiu formule cele mai des folosite în construcția galeriilor. Astfel, pentru secțiunea mîner de coș se adoptă parametrii $k_1 = k_2 = 3$; $k_1 \sin \alpha_0 = 1$, rezultă o secțiune ce se poate înscrie într-un pătrat.

Pentru secțiunea mîner de coș se alege două forme corespunzătoare unor parametrii $u_0 = 1,5$ (folosită la galeriile tunelurilor) respectiv $u_0 = 3$ (folosită la galeriile înalte ale centralelor subterane).

Se studiază mai multe tipuri de variație ale momentelor de inerție astfel ca inginerul proiectant să poată alege variația cea mai favorabilă.

Schemele logice de calcul, tabelele și diagramele de variație a eforturilor calculate pentru diferite tipuri de încălziri permit un calcul rapid al structurii, cu posibilități de studiu a diferitelor situații impuse de variația parametrilor fizici de alungă galeriei.

În calculul eforturilor se semnaleză influența deosebită a conlucrării reci cu fabricăminten. Aceasta se pune în evidență cu atât mai mult cu cît calculele sînt conduse pentru eforturi dimensionale.

Pentru secțiunea mîner de coș spre exemplu se poate scrie valoarea momentului în cheia arcului din secțiunea presiunii uniforme : însumînd efectul încălzirii e_0 , al reacțiunii (după una din legile de distribuție a reacțiunii) și al presiunii pozitive. Se obține : preziența unuia uniform distribuit pentru $\varphi = 0$ (vezi tabela 5.3-2)

$$\frac{M\varphi}{2or^2} = 0,305 \quad \frac{N\varphi}{2or} = 0,017$$

- din reacțiunea uniform distribuită e_0 (vezi tabela

5.2-2) pentru $\varphi = 0$

$$\frac{M\varphi}{q_0 r^2} = -0,032 ; \quad \frac{N\varphi}{q_0 r} = -0,053$$

- Din presiunea pozitivă, pentru $\varphi = 0$ (vezi tabela

5.3-3 și fig.9-2)

$$\frac{M\varphi}{q_0 r^2} = -0,275 f(\beta; \lambda)$$

$$\frac{N\varphi}{q_0 r} = -0,697 f(\beta; \lambda)$$

funcția $f(\beta, \lambda)$ se găsește pentru orice tip de încălzire sau pentru o combinație de încălziri după modelul descris pentru obținerea relației (9.2) sau curbei din fig.9.2.

Pentru acest caz funcția $f(\lambda, \beta)$ are expresia :

$$f(\beta; \lambda) = \frac{0,110}{0,390 + \frac{6}{\lambda^3} \beta}$$

însumând cele trei efecte se găsesc relațiile solicitărilor în cheia boltii ($\varphi = 0$)

$$\frac{M\varphi}{q_0 r^2} = 0,273 - 0,275 \frac{0,110}{0,390 + \frac{6}{\lambda^3} \beta}$$

$$\frac{N\varphi}{q_0 r} = -0,036 - 0,697 \frac{0,110}{0,390 + \frac{6}{\lambda^3} \beta}$$

(9.3)

Admițând o structură cu moment de inerție constant cu grosimea relativă $\lambda = 5$ se obțin diagramele de variație ale solicitărilor unui punct de pe structură în raport cu variația modulelor de elasticitate a betonului structurii și a marelui

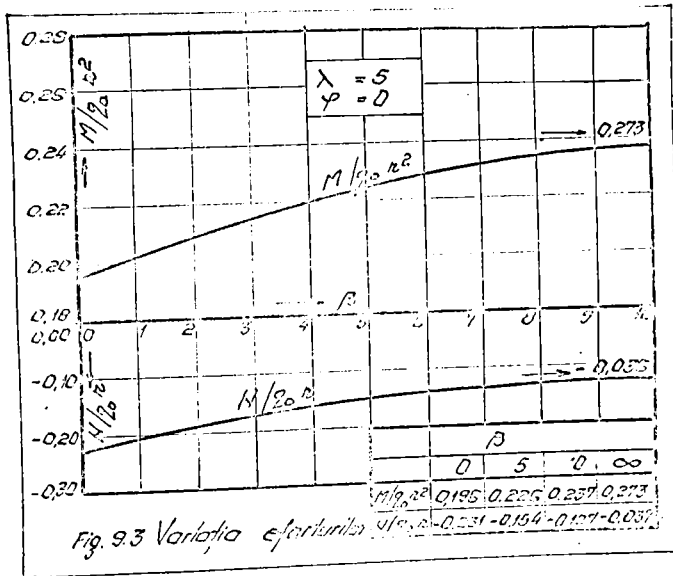
$$\beta = \frac{E_{\text{structură}} (1 + 1/\mu_{\text{rocă}})}{E_{\text{rocă}}}$$

indicat după datele calculate în tabelul alăturat.

Astfel de diagrame se pot obține și pentru combinații de încălziri în diferite puncte ale structurii. Analiza efectului modulelor de elasticitate ai rocii conduce la o serie de momente înconveniente de alegere pentru rocă care pe de altă parte înțelegerea întotdeauna în condiții de câștig și mai avantajoase, decât în cazul în care se lucrează cu rocă și pentru încălzirea în condiții de presiune

a apei în secțiunea circulară fiind efortul de întindere (vezi fig.5.4-2) este mare în cazul unor roți dure și tinde către o valoare foarte mare pentru roți slabe.

În cadrul capitoului 6 se conduce în detaliu calculul eforturilor pentru fiecare tip de încărcare având în vedere importanța acestei secțiuni în tuneluri sub presiune.



Se pot trage următoarele concluzii :

- Calculul pentru obținerea eforturilor în secțiunile circulare din încărcările specifice tunelurilor se conduce ținând cont de caracterul roții în care este executată gaura.
- Pentru fiecare tip de încărcare, se pot obține grafice de eforturi în coordonate generalizate, ce ajută mult calculul.
- Reacțiunea se alege diferențiat pentru fiecare tip de roți.
- Diagrame de eforturi pentru o încărcare dată se

obțin prin însumarea următoarelor efecte

$$S = S_q + S_r + S_{pq} + S_{pr} + S_a$$

unde :

-- S , efortul (M_φ , H_φ , W_φ) total datorat unei încălziri q ;

- S_q , efortul puter datorat încălzirii q ;

- S_r , efortul produs de reacțiunea auztelui calculată în funcție de componenta verticală P a încălzirii. Valoarea totală P a încălzirii poate fi citită din tablă, ea fiind forța tăietoare a încălzirii putere q în punctul $\varphi = \pi$;

- S_{pq} , S_{pr} - eforturile datorate presiunii pasive a încălzirii putere q și a reacțiunii corespunzătoare. Incălzirea din presiunea pasivă se obține din relația :

$$\delta_{Hq}^\circ + \delta_{Hr}^\circ + \delta_{Hp}^\circ = 2 \frac{P_H}{k\tau}$$

- S_a , eforturile datorate aderenței potențiale cu masa.

- Eforturile datorate frecvenței de umplere a reșei pot fi luate în calcul ca o presiune uniformă din extensiile excavatiilor.

→ Eforturile din temperatură pot deveni importante dacă execuția închiderii chesi bolții nu a fost făcută la temperatura corespunzătoare sau dacă tunelul se găsește brusc și fiind pătrunderea aerului în lungul tunelului.

Capitolul 7 studiază bolțile cu mare deschidere în te la galeriile tunelurilor săpate în roci dure precum și bolțile centurilor hidroelectrice sustenene cu deschidere

În acest capitol se prezintă variația membranelor de ție după o lege ca funcție cu parametrii. Legea de variație este propusă cu posibilitatea înținerii unor condiții suplimentare asupra distribuțiilor caracterilor de alungul arcilor. În concluzie se pun condiții de echilibru mecanic și a variațiilor de încălzire.

Se propune de asemenea un calcul care să țină cont de elasticitatea reții când se modifică și se trebuie aduce atât la calculul invențiilor (relațiile 7.1-13) cât și a deplasărilor din încălzire (relațiile 7.1-15).

Calculul prezentat în acest capitol dau posibilitatea analizei corecte a efectului elasticității muntelui asupra distribuției eforturilor și alegerea soluției celei mai bune în proiectarea lor. În urma acestor calcule se impun concluziile :

4. Bolțile galeriilor subterane efectuate în scopul excavației centralilor hidroelectrice vor trebui calculate ținând cont de raportul modului de elasticitate al betonului și al reții. Mărimea eforturilor variază foarte mult în raport cu valoarea β , ce caracterizează acest raport.

- Pentru deschideri mari ale bolților se pot pune condiții suplimentare privitoare la alegerea variației momentului de inerție, obținându-se economii ale volumului lucrării până la 15 %.

Capitolul 8, vine în ajutorul inginerului proiectant prin intermediul liniilor de influență a reacțiilor și momentelor solicitate pentru toate tipurile de acțiuni studiate în această lucrare. Se prezintă calcule detaliate privind tracțiunea liniilor de influență a diferitelor tipuri de acțiuni a forțelor și vite forze de variație a momentelor de inerție. Prin acest material detaliat se dă posibilitatea inginerului proiectant să facă calculul eforturilor și pentru alte tipuri de încălzire, simetrice în raport cu axa de simetrie a structurii, care a fost studiată în capitolele 4,5,6,7 sau să accepte alte tipuri de distribuții decât cele clasice. În acest capitol se pun la bază teoretice de deformare a ordonatelor liniilor de influență pentru încălzire simetrică cât și calculul efectelor

acester ordonate pentru o gamă foarte largă de secțiuni și unghiuri de acțiune a încălzirii. Diagramele obținute dau sugestiv valoarea deformărilor pentru diferite tipuri de încălziri.

Cu ocazia întocmirii listelor de influență pentru arce cu momente de incanție variabile s-au calculat tabele ale unor funcții integrale cu ajutorul mașinii electronice de calcul RECEPT 1.

În cadrul capitoului se dau și schemele logice pentru programarea calculului listelor de influență la un calculator.

În concluzie :

- Materialul teoretic și grafic precum și tabelele calculate pentru diferite secțiuni și situații de încălzire dau posibilitatea inginerului proiectant să aleagă soluția cea mai bună și să conducă rapid calculul static și de rezistență așa cum o cere la ora actuală cerința rapidă a galeriilor subterane.

- Schemele logice de calcul prezentate permit analiza mai multor soluții astfel că alegerea unei soluții se poate face în urma unor calcule amănunțite.

- Măsurarea deformărilor este mult influențată de condiționarea muntelui cu înfrumusețarea structurii galeriei. Se dau în acest sens relații și diagrame ce descriu acest fenomen. Variabila problemei este luat raportul modului de elasticitate al înfrumusețării și al rocii. Rezultă că este foarte necesar să se cunoască cât mai exact acest raport prin măsurători din cadrul modului de elasticitate al rocii.

- În lucrarea de constructivitate importanța injectării cimentului și consolidării se arată la galeriile subterane

la aceste injectii se înfrumusețește condiționarea muntelui și înfrumusețarea galeriei și se măsoară raportul modului de elasticitate al înfrumusețării și al rocii.

recii. Realizarea unor ancore în interiorul mantalei micșorează de asemenea împingerea mantalei asupra galeriei.

Se demonstrează de asemenea importanța excenției injecțiilor și în părțile laterale ale galeriei pentru ei se măsoară rezistența pasivă a mantalei. Această prescripție este importantă având în vedere practica excențiilor acestor injecții numai la partea superioară a galeriei, acestea având mai ales rolul de injecții de umplutură și mai puțin de consolidare.

- Prescripțiile aplicantare ce privesc injecțiile de umplutură și consolidare, care au de micșorat a presiunii mantalei, cunoașterea cât mai exactă a modului de elasticitate a rocii devin elemente a căror cunoaștere și aplicare judicioasă pot compensa o micșinare nejustificată a grosimii fabricămintului.

- Alegerea secțiunii se face în funcție de mărimea și forma de distribuție a încălzirii preponderante, precum și de calitatea rocii, astfel : pentru aducțiuni sub presiune (înclăcare principală fiind presiunea interioară a apei, uniformă distribuită) rezultă secțiunea cilindrică ca cea mai economică din punctul de vedere al producției încălzirii, pentru aducțiuni cu forța liberă unde încălzirea principală poate deveni împingerea mantalei se indică secțiunea unor de coș cu boltă la partea superioară având momente de incuție variabile la deschideri și încălziri mari.

Alegerea parametrilor se face astfel încât secțiunea să aibă lățimea mai mică decât înălțimea pentru a micșora împingerea verticală a mantalei la aceeași secțiune de umplutură. Dacă împingerea laterală devine mare se preferă momente de incuție constante pe părțile laterale. Împingerile laterale sunt preferate a fi preluate prin pereții laterali curbi (secțiunea de forță specială). Dacă nu s-ar avea împingeri verticale pe radierul

galeriei sînt indicate secțiunile cu încastrare, care sînt mult mai rigide după cum se poate citi din diagramele ofensurii date în capitolele 4,5). Pentru împingeri mari ale materialului pe radial sau axial cu tendințe de umplere se preferă secțiuni cu grosimi constante sau sub forma unor bășii descendente.

BIBLIOGRAPHIE

- 1.- Mihai BĂLĂ - Construcții hidrotehnice și centrale hidro-
electrice vol.2. Făclare didactice și pedagogice
București 1967
- 2.- Mihai BĂLĂ, Theodor Popa, Michael Kon - Mecanica rozi-
lor și tuneluri hidrotehnice. Oficiul de documentare
și publicații tehnice București 1973
- 3.- M.M.Ștegin - Construcții hidrotehnice vol.2 (traducere din
limba rusă după ed. II-a revizuită și completată). Edi-
tura tehnică București 1959
- 4.- Dr. Ing. H. Kress - Tunnelbauwerke . Berlin 1954
- 5.- G. Lurdu, P. Mony - Construction des tunnels et souterrains
Paris. Eyrolles 1953
- 6.- Petre Teodorescu - Construcția tunelurilor. Editura Gai-
ferato 1960
- 7.- M. I. Dandurov - Metode de căi de comunicație (traducere din
limba rusă). Oficiul de documentare Gai București
1959
- 8.- Ch. Adress - Les grands souterrains transalp. Eyrolles
Eyrolles 1955
- 9.- F. F. Gabin - Uzine hidroelectrice (traducere din limba rusă)
Editura energetică București 1965
- 10.- F. Mosony - Water power development vol. I. Editura Gai
București 1965
- 11.- G. Dawance et M. Bécalle - Application de l'hydrocinématique
dynamique à l'étude du développement et de la
partition des contraintes autour des galeries.
Annales BBLM - 1955-1956

- 12.- Barth Steffen - Elastische Probleme beim Entwurf der Kaverne des Turgo polcharwerkes Waldeck II .
"Bautechnik" 1972
- 13.- K.V.Torzghi - Mecanique theorique des sols. Ed.Dunod, Paris 1958
- 14.- Mihai Stanciu - Mecanica rocilor. Editura didactică și pedagogică București 1962
- 15.- A.N.Dinik, A.S.Luckgaevski, G.M.Sarin - Repartizarea ciferelor în jurul unor lucrări minore subterane. Bul. Academiei URSS 1955
- 16.- D.N.Burdzgia - Calculul static al tunelurilor hidrotehnice Moscova 1961
- 17.- K.S.Songiev - Probleme tip de câptușeli de tuneluri hidrotehnice. Hidroproiect. Tbilisi 1955
- 18.- G.B.Galerkin - Culegere de opere vol.1 - Moscova 1962
- 19.- V.I.Fedorov - Calculul câptușelilor tunelurilor hidrotehnice la presiunea interioară
- 20.- E.G.Zurabov și E.O.Bugaeva - Tuneluri hidrotehnice a centralelor hidroelectrice . Moscova 1962
- 21.- A.N.Panarin - Calculul câptușelilor tunelurilor sub influența temperaturii. Moscova 1956
- 22.- Tincliu - Susținerea suspendată . Revino de l'Industrie Miniere 7/1955 Paris
- 23.- St.Bence ș.a.- Susținerea ancorată . Revista minieră 11/1954
- 24.- O.Kuhn - Indicații practice pentru proiectarea susținerii calcinilor. Cărbunul nr.12/1954 - RRS
- 25.- St.Bence, N.L. și alții - Susținerea cu ancore și torozi. Ed. Tehnică 1957
- M.Laurent - M. cu

- 27.- K.H.Frühkol - Rock Bolting Handbook Atlas Copco Sweden
1969
- 28.- A.Gilbert, A.Manta - Soutènements provisoires dans les
galeries des usines hydroelectriques roumaines
Travaux 1971/5
- 29.- Leili mercolio - El componente sento statico provocato dalla
pressione hidrostatica e della variazioni termiche
delle gallerie e dei pozzi praticato attraverso roccia
strutturato - L'Energia Elettrica 1/1952
- 30.- Eraser Hugh - Records trouble at Navajo tunnel . "West.
Constr." 1972 nr.9
- 31.- The Keyors project in Scotland.Part.I "Water Power" 1972
- 32.- Minhole drives tiny tunnels in hard rock. "Engines-etc"
1972
- 33.- Puig Willi - Pumpspeicherwerk Waldock II "Techningenieur"
1972
- 33'- Willott D.G. - The Churchill Falls Power Development
Part.1 . "Water Power" 1971
- 34.- Aorahau Kurt - Heinz -- Stand der Kavernenbautechnik für
Pumpspeicherwerke in Mitteleuropa "Wasserwirtschaft"
1972 nr.4
- 35.- Rabcowicz L.V., Gaiser J., Mackel F. - Die Bedeutung der
Messung im Hohlraumbau.Teil II.Berichtingenieur 1972 nr.4
- 36.- Arthur Harold G. - The Stillwater Tunnel Experiment
"West. Constr." 1972 nr.8
- 37.- J.C.acydent - Stresses in oval tubes under internal
suro.Proceedings of the Society for experimental
analyses 1/1954
- 38.- n.Vasiloscu, Eh.M.Iuca - Calculul câmpurilor ciontiale
de advecție sub presiune,privită sub un nou aspect

"Hidrotehnică" 3/48 București

- 39.- A.Passek - Metode pentru instalării hidrotehnice. Moscova
- 40.- Wiernecki Janzy - Etude des différents modes de sol sur les conduites dans un revêtement de tunnel de forme circulaire. "Ann.Inst.Tech.natia.et trav. public" 24/1971
- 41.- A.Mazur - Experiența apărării de proiectare și construcție a canalelor subterane. Hidrotehnică Științ. Univ. Iași 7/1956 ; 2/1957
- 42.- L.Mainardi - Canalele hidroelectrice subterane. Le monde souterrain 71/1952
- 43.- Lewin J - Canale subterane. Engineering 24/1950
- 44.- Gh.Jüeger - Tendințele actuale în proiectarea tunelurilor sub presiune și a galeriilor blindate, la canalele subterane. Proceedings of the Institution of Civil Engineers 3/1955
- 45.- R.Prigcu, M.Gaștăntinescu - Calculul barelor arcuite prin metoda rezoluției. Studii și cercetări de mecanică aplicată 4/1953
- 46.- Radu Prigcu - Le calcul triangul des barres-voûtes par la méthode de résolutions. Énergie électrique 11/1971
- 47.- M.Șăliș, Gh.Popu, I.David - Contribuții la calculul arceilor încastrate cu moment de inerție variabil. Științe Inst.politehnice Timișoara vol.1 / 1954
- 48.- M.Șăliș, Gh.Popu, I.David, D.Marcas - Diagrame pentru calculul și proiectarea arceilor dublu încastrate cu momente de inerție variabile pentru încărcări distribuite. Științe Inst.politehnice Timișoara vol.1/1954
- 49.- M.Șăliș, Gh.Popu, I.David - Metode tehnice - "Tratatul de calcul al arceilor dublu încastrate cu momente de inerție variabile pentru încărcări distribuite"

- distribuit. Buletinul Inst. politehnic Timişoara vol. 7
1955
- 50.- M. Băilă, Gh. Popa, I. David, D. Arsenio - Lini de influență ale
deplasărilor pentru arce circulare, în cercato redial.
Buletinul Inst. politehnic Timişoara 1/1957
- 51.- D. Mateescu, I. Măntănuş - La calcul de l'anneau central de
la dot d'une eprouve metalique. Construction metalli-
quo, Paris 3/1959
- 52.- J. Talbot - La mécanique roches. Ed. Dunod, Paris 1953
- 53.- R. V. Forzaghi - Mécanique théorique des sols. Ed. Dunod,
Paris 1952
- 54.- G. Cassado, J. L. Hernandez - Calcul des grandes ossatures.
Dunod, Paris 1954
- 55.- R. Brigu - Cours de construction hidrotechnice. Editura didac-
tică Bucurşti 1951
- 56.- D. Roşu - Construcţiile metalice hidrotehnice - Control de
multiplicare a Institutului politehnic Timişoara
(pentru uz intern) Timişoara 1953
- 57.- P. Kszto - A bányászati okozta közetmozgások és károsítá-
hatásuk. A bányászati közelemechanika, elne: kőelje-
töttrajezetek a földalatti vasutépítés - bányászati
udályépítés kődeli közlekedési Kiadó, Budapest 1952
- 58.- G. Grigoric - Berechnung des Grubendruckes. Montanistische
Menschen XLVII nr. 23/1935
- 59.- A. A. Popov - În legătură cu unele erori privind problema
de presiune a rocilor. Ugal 1953 nr. 10 (traducere)
- 60.- S. S. Danilov - Russet i projektirovanie polozamih kuznecov
tij. Strojinstvo. Moscova 1950
- 61.- F. Pincelut - Les études de pressions de terrains entranées
des dans les mines. Conf. Internat sur les pressions de

- de terrains et la sustentation dans les chantiers
d'exploration . Liège 1951
- 62.- P. Bădulescu, M. Borog - Stabilirea unor caracteristici
mecanice ale rocilor prin încercări pe teren - Inginer-
tehnica 1/1954
- 63.- x x x SBAS 4775/55
- 64.- M. Bănușescu, M. Mădălar - Geotehnică și procedee de fundații
Editura Marelui Școala 1974
- 65.- J. Mandin, R. V. Mager jr. - Unporiental deformation of se-
dimentary rocks under confining pressure. Bull. Amer.
Assoc. Petrol. Geol. 41, 1, 1957
- 66.- M. M. Protodinaucov, V. S. Jemelikov - Determinarea rezistenței
lor rocilor pe probe de orice formă . G. G. 32, 1957,
Traducere R. R.
- 67.- C. V. Pavlov - Săperea și susținerea lucrărilor miniere. Edi-
tura tehnică 1953
- 68.- Galeria cu forma specială
- 69.- P. Mazilu - Statica construcțiilor. Ed. tehnică București
1959
- 70.- A. Gheorghiu - Statica construcțiilor. Ed. tehnică București
1955
- 71.- R. Agent - Sisteme reticulare nedeterminate . Ed. tehnică
București 1970
- 72.- M. Bălă, Gh. Popa, I. David, D. Arsenie - Efectul curburii în
calculul arceilor cu secțiune variabilă. Bul. Școala
lui politehnică Timișoara 1953
- 73.- S. Simoshenko - Teoria plăcilor plane și curbe. Ed. G. G.
1958 București
- 74.- J. Goguel - Traité de technique . Masson et Cie. Editeur,
Paris 1953

- 75.- A.A.Boles, R.P.Voinoa - Rezistența materialelor II. Ed. tehnică 1958 București
- 76.- H.Laurson - Matrices analysis of structures. Mc.Graw Hill, New-York
- 77.- G.G.Kurabov, N.O.Buganova - Tuncle hidrotehnice, Moscova 1970
- 78.- D.Anastasescu, I.Murtescu - Efectul variației temperaturii și a deplasării rezervoarelor în calculul caștelor speciale. Studii și încercări de mecanică aplicată. Acad. R.S.România 1-18 1955
- 79.- I.E.Fonariu - Calculul căptușelilor tunelurilor sub influența temperaturii, Moscova 1968
- 80.- P.Chauon - Le calcul pratique des constructions a inertie variable, Eyrolles Paris 1961
- 81.- Contribuții la calculul acestor cu momente de inerție variabile - I.ȘTEI, Gh.Ștef, I. David - Bul. Institutului politehnic din Iași 1954
- 82.- W.A.Jenkins - Analysis of arch dams of variable thickness. Transaction of the A.S. of CE 1952
- 83.- V.Bauzil - Calcul des barrages - voutes, Eyrolles 1959
- 84.- C.Avram - Căminii combinate - C. Tehnică București 1959
- 85.- B.Prokofiev - Kurs stroitelnoi mehaniki, Moscova 1954
- 86.- (x x x) - Ministerul construcțiilor industriale. Proiect automată a construcțiilor. Programe de calcul. Moscova 1971
- 87.- Fenves St.I. - Computer Methods in Civil Engineering